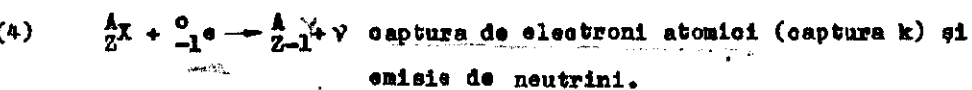
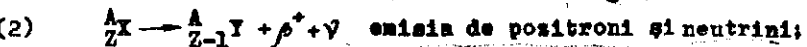
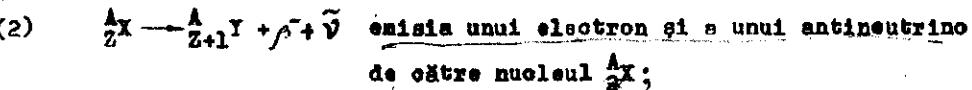


Spectrul particulelor emise în dezintegrarea α este discret,
energiile acestora diversi isotopi fiind cuprinse între 3 și 9 MeV.

Surse de particule. Sunt cunoscute trei tipuri de dezintegrare

β :



Spectrul energetic al electronilor este continuu, deși energia de dezintegrare este bine definită, din cauza faptului că în dezintegrarea β⁺ sau β rezultă trei particule (electronul, neutrinul și nucleul de recoil), electronii sunt emisi cu energii de la valoarea zero pînă la o energie maximă.

Surse de radiatii. Nucleul este un sistem cuantic, care se poate afla numai în anumite stări energetice. Starea energetică cea mai joasă a unui nucleu dat se numește stare fundamentală. Stările de energie superioare se numesc stări excitate. Aflat într-o stare excitată, nucleul sedezexitate spontan într-un timp de ordinul $10^{-11} - 10^{-16}$ s. Există două moduri dedezexcitare: radiativă cu emisie de radiație electromagnetică, respectiv neradiativă sau conversie internă. Fotonii emisi au energii de ordinul KeV - MeV. În urma dezintegrărilor α sau β se obțin foarte des nucleu exitate (în stări excitate), care reprezintă surse de radiații. Tranzițiile făcindu-se între stări (nivele) cu energia bine definită spectrul acestor radiații este discret.

De obicei ca surse de radiații se pot utiliza preparatele radioactive. De multe ori dezintegrarea α are loc pe mai multe nivele energetice ale nucleului resultant (nucleul descendent sau nucleul fiică); în acest caz, la un act de dezintegrare se pot emite, în cascadă, quante cu diverse energii.

INTRODUCERE

II. SURSE DE RADIATIE DIN LABORATORUL DE FIZICA NUCLEARĂ

In orice experiment de fizică nucleară se folosesc ca instrumente de lucru fascioane de particule, emise de diverse surse. Sursele se pot împărti după mai multe criterii:

- tipul de particule emise: electroni, particule α, protoni, neutrini, etc;
- energia de emisie a acestor particule; domeniul energetic; spectru continuu sau discret;
- modul de producere al particulelor utilizate: dezintegrarea radioactivă, reacții nucleare, acceleratoare de particule, etc.

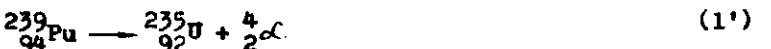
In laboratorul de fizică nucleară se utilizează drept surse mai ales isotopi radioactivi artificiali. Ca sursă de neutrini, se utilizează un amestec de Pu, emițător de particule α, cu beriliu. De aceea vom trata în continuare numai aceste tipuri de surse.

1.1. Surse radioactive.

✓ Surse de particule α. Particulele α sunt nucleu de ${}^4_2\text{He}$. Nucleele grele $\frac{A}{Z}X$, pot emite particule α, după schema:

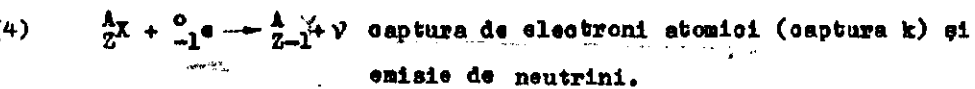
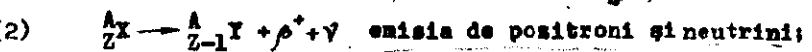
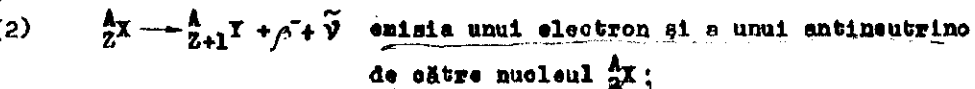


dacă masa sistemului inițial este mai mare decît masa totală a sistemului final. Ca exemplu vom da dezintegrarea α a ${}^{239}_{94}\text{Pu}$:



Spectrul particulelor emise în dezintegrarea α este discret, energiile pentru diverse isotopi fiind cuprinse între 3 și 9 MeV.

Surse de particule β. Sunt cunoscute trei tipuri de dezintegrare:



Spectrul energetic al electronilor este continuu deși energia de dezintegrare este bine definită, din cauza faptului că în dezintegrarea β⁺ sau β rezultă trei particule (electronul, neutrinul și nucleul de recoil), electronii sunt emisi cu energii de la valoarea zero pînă la o energie maximă.

Surse de radiatii γ. Nucleul este un sistem cuantic, care se poate afla numai în anumite stări energetice. Starea energetică cea mai joasă a unui nucleu dat se numește stare fundamentală. Stările de energie superioare se numește stări excitate. Aflat într-o stare excitată, nucleul se desexcite spontan într-un timp de ordinul $10^{-11} - 10^{-16}$. Există două moduri de desexcitare: radiativă sau emisie de radiatii electromagnetică, respectiv neradiativă sau conversie internă. Fotonii emisi au energii de ordinul KeV + MeV. În urma dezintegrărilor α sau β se obțin foarte des nucleu excitat (în stări excitate), care reprezintă surse de radiatii γ. Tranzitiiile făcindu-se între stări (nivele) cu energie bine definită spectrul acestor radiatii este discret.

De obicei ca surse de radiatii γ se pot utiliza preparatele radioactive. De multe ori dezintegrarea β are loc pe mai multe nivele energetice ale nucleului resultant (nucleul descendent sau nucleul fiică); în acest caz, la un act de dezintegrare se pot emite, în cascadă, cuante γ cu diverse energii.

INTRODUCERE

II. SURSE DE RADIATIE DIN LABORATORUL DE FIZICA NUCLEARĂ

In orice experiment de fizică nucleară se folosesc ca instrumente de lucru fascioane de particule, emise de diverse surse. Sursele se pot împărti după mai multe criterii:

- tipul de particule emise: electroni, particule α, protoni, neutroni, etc;
- energia de emisie a acestor particule: domeniul energetic; spectru continuu sau discret;
- modul de producere al particulelor utilizate: dezintegrarea radioactivă, reacții nucleare, acceleratoare de particule, etc.

In laboratorul de fizică nucleară se utilizează drept surse mai ales isotopi radioactivi artificiali. Ca sursă de neutroni, se utilizează un amestec de Pu, emițător de particule α, cu beriliu. De aceea vom trata în continuare numai aceste tipuri de surse.

1.1. Surse radioactive.

✓ Surse de particule α. Particulele α sunt nucleu de ${}^4_2\text{He}$. Nucleele grele $\frac{A}{Z}X$, pot emite particule α, după schema:



dacă masa sistemului inițial este mai mare decît masa totală a sistemului final. Ca exemplu vom da dezintegrarea α a ${}^{239}_{94}\text{Pu}$:



Reprezentarea grafică a unei scheme generale de dezintegrare dată în fig.1:

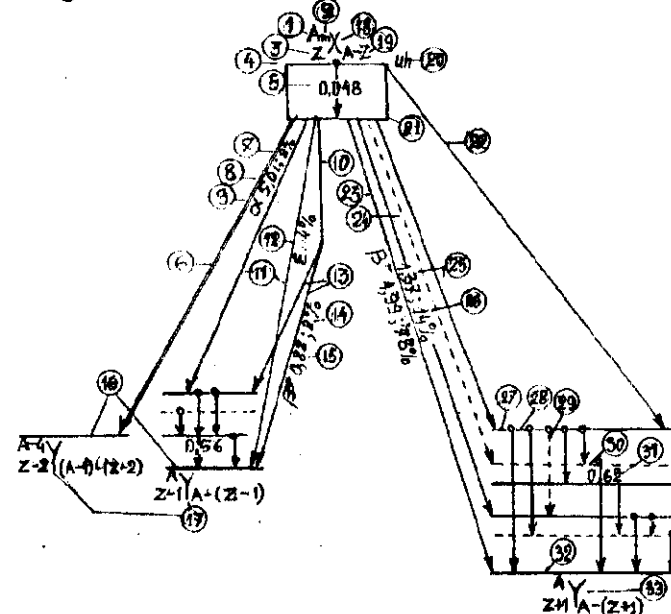


Fig.1 - Reprezentarea grafică a schemelor de dezintegrare

1. Număr de masă.
2. Stare metastabilă.
3. Număr atomic.
4. Nivelul stării metastabile.
5. Energia tranzitiei izomerice (MeV).
6. Tranzitie α .
7. Abundența relativă a radiației (%) ;
8. Energia radiației α (MeV);
9. Simbolul tranzitiei;
10. 1.02 MeV.
11. Tranzitie prin captură electronică;
12. Abundența relativă a capturii electronice (%);
13. Tranzitie β plus (%);
14. Abundența relativă a radiației β plus (%);
15. Energia radiației β plus (MeV);
16. Nivele fundamentale ale nucleelor derivate.
17. Simbolurile chimice ale nuclizilor derivați.
18. Simbolul chimic al nuclidului inițial.
19. Nr. de neutroni.
20. Timp de injumătărire a stării metastabile (izomere).
21. Nivel fundamental.
22. Tranzitie beta minus.
23. Tranzitie beta minus incertă.
24. Energia radiației beta minus (MeV).
25. Abundența relativă a radiației β minus (%);
26. Nivel excitat al nuclizului derivat;
27. Nivel excitat, incert;
28. Tranzitie gama;
29. Tranzitie gama incertă;
30. Nivel fundamental al nucleului derivat.
31. Energia quantelor gama (MeV);
32. Nivel fundamental al nuclidului derivat;
33. Simbol chimic al nuclidului derivat.

1.2. Scheme de dezintegrare. Factori de schema.

Informațiile obținute experimental privitor la caracteristicile nucleare fundamentale și excitate (energie, spin, paritate și viață, momente magnetice și electrice), precum și cele care

se referă la tranzitiiile nucleare de orice tip (energie, intensitate, etc.), sunt folosite la construirea schemelor de dezintegrare a nucleelor.

In fig.1 este dată o schema generală de dezintegrare cu indicarea modului cum trebuie "citită" o asemenea schema. In fig.2 este reprezentată schema de dezintegrare a nucleului ^{80}Br (care are proprietatea de a fi instabil față de dezintegrările β^- , β^+ și captură electronică(e)).

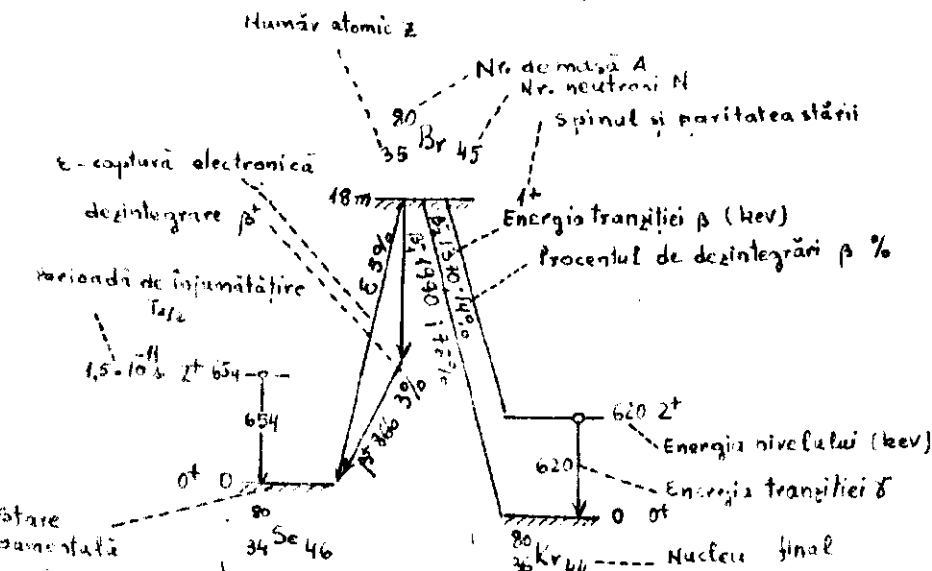


Fig.2 - Schema de dezintegrare a ^{80}Br și modul cum trebuie "citită"

Din schemele de dezintegrare se poate evalua pentru fiecare tranzitie așa numitul "factor de schema" ce caracterizează fiecare tranzitie. Factorul de schema este definit ca probabilitatea ca la o dezintegrare a nucleului dat să se emite o radiație de tip și energie dată (L_1). Echivalent, se poate defini prin numărul de radiații de tip L_1 , care se emit prin dezintegrarea a o sută de nuclee și împărțit la 100.

Din schema din fig.2 se vede că factorii de schema pentru tranzitiiile e , β^+ , β^- și β_1^- și β_2^- sunt respectiv:

$$f_e = 0.05; f_{\beta^+} = 0.03; f_{\beta^-} = 0.78; f_{\beta_1^-} = 0.14. \text{ Toate aceste radi-}$$

atii se emite prin dezintegrarea nucleelor ^{80}Br aflate in starea fundamentală. Razele γ se emite după ce nucleul s-a dezintegrat β^- sau β^+ , E_i , de pe stări excitata ale nucleului final. De aceea, probabilitatea de emisie γ la o dezintegrare a nucleului initial este dată de produsul a două probabilități: probabilitatea ca la dezintegrarea primară (β^+, β^-, E), să se formeze starea excitată E_i și probabilitatea ca starea E_i să sedezexeite cu emisie radiatiei γ . Probabilitatea de formare a stării de 620 kev in ^{80}Kr este dată de probabilitatea de dezintegrare pe calea β^- , deci este chiar f_{β^-} . Starea 620kev se poate dezexcita numai prin emisie cuantei γ de 620kev și prin conversie internă (CI).

Stiind că raportul dintre probabilitatea de tranziție prin conversie internă P_{OI} și probabilitatea P_γ de tranziție prin emisie γ este

$$\frac{P_{OI}}{P_\gamma} = \alpha_{620} \quad (5)$$

(6)

$$P_{\beta^-} + P_{OI} = 1$$

rezultă că

$$P_{\beta^-} = \frac{1}{1 + \alpha_{620}} \quad (7)$$

Final, se obține factorul de schema pentru tranziția γ de 620 kev

$$f_{\gamma_{620}} = f_{\beta^-} \cdot P_{\gamma_{620}} = f_{\beta^-} \cdot \frac{1}{1 + \alpha_{620}} \quad (8)$$

Dacă nivelul excitat E_i se poate dezexcita prin diferite tranziții γ_i , trebuie să se țină cont de ponderea P_{γ_i} a fiecărei tranziții implicate.

La tranziții γ de energie mare (~ 1 Mev) coeficientul de conversie $C < 1$ și poate fi neglijat.

Schemele de dezintegrare ale nucleelor variază foarte mult dela un nucleu la altul, astfel că unele sunt foarte simple, ca în cazul nucleului ^{60}Co , iar altele sunt foarte complicate. Nucleele cu cele mai simple scheme de dezintegrare, ca de ex. ^{60}Co , ^{137}Cs , ^{57}Co , ^{22}Na etc. sunt folosite frecvent ca surse etalon și de aceea se află în dotarea

laboratorului de fizică nucleară. Aceste surse au în plus o durată de viață relativ mare, ceea ce permite utilizarea lor un timp mai îndelungat atât în calibrări energetice cît și la determinarea activității surSELOR radioactive. În laborator se lucrează și cu surse radioactive cu o durată de viață este foarte scurtă (de ordinul secundelor sau minutelor) - ca de ex. Al , Ag , V , Mn , etc și care nu pot fi păstrate și folosite un timp mai îndelungat. Ele se prepară în cursul lucrării de laborator prin iradierea unui material neradioactiv (Al natural, Ag - natural etc.) cu neutronii obținuți la sursa de neutroni din laborator. Prin captura neutronilor de către anumiți izotopi stabili din elementul natural se formează alți izotopi, cu exces de neutroni și instabili, ei se vor dezintegra de obicei cu emisie β^- , urmate (sau nu) de emisie γ .

La sfîrșitul capitolului sunt date schemele de dezintegrare ale surSELOR etalon, existente în laboratorul de fizică nucleară: ^{22}Na , ^{57}Co , ^{60}Co , ^{133}Ba , ^{137}Cs , ^{241}Am și schemele nucleelor radioactive care se obțin în laborator: ^{28}Al , ^{108}Ag , ^{110}Ag , ^{52}V , ^{116}In , ^{198}Au , ^{56}Mn .

1.3. Surse de neutroni (C , Be)

Neutronul este o particule elementară care intră în componiția tuturor nucleelor cu numărul de masă $A > 1$. Are masa apropiată de a protonului $m_n = 1,0086054$ u, sarcina zero și spinul $1/2$. În stare liberă se dezintegrează după schema:



cu un timp de înjumătățire de 11,7 min.

Neutronii, neavând sarcină electrică, sunt proiectile ideale pentru producerea de reacții nucleare. Unele din aceste reacții, cum ar fi cele de captură a neutronilor sunt folosite pentru producerea de izotopi radioactivi, altele, cum ar fi reacția de fisiune, se folosesc pentru producerea de energie. Fizica neutronilor este astfel una din ramurile cele mai importante ale fizicii nucleare și este de înțeles necesitatea unor surse de neutroni de intensități din cele mai variate

și în domenii energetice de la 0 pînă la zeci de MeV.

Neutronii liberi se obțin ca rezultat al reacțiilor nucleare; energia de emisie este de ordinul MeV. Astfel, una din cele mai utilizate reacții nucleare pentru producerea neutronilor este



Sursa se pregătește amestecind un izotop de radioactiv cu Be. Amestecul, sau compusul, săt capsulate mai întâi într-un cilindru sudat de Ta, apoi într-un cilindru de oțel. Printre cei mai utilizati radioizotopi, pentru surse de neutroni, este și ^{239}Pu (reacția 1'). Sursa din laboratorul nostru este de Pu - Be cu intensitatea de $10^7 \text{ n}/\text{sec}$.

In fig.3 se prezintă spectrul neutronilor emisi de această sursă.

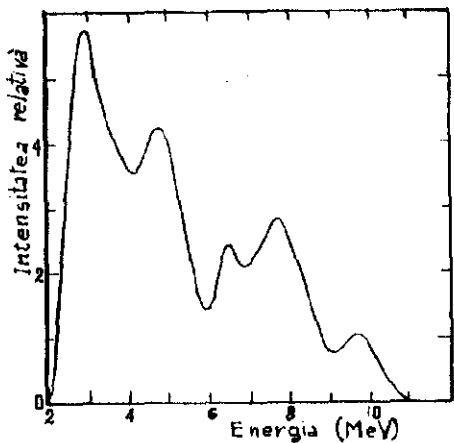


Fig.3

neutronul, față de direcția de mișcare a particulei înhodante; pe de altă parte particulele, care provoacă reacția nucleară, sunt ele însese frinse în mod diferit, în urma interacțiunilor coulombiene cu electronii și nucleele de substanță.

Cilindrul sursei PuBe este plasat ca în fig.4 în centrul unui bac cu $\phi = 80 \text{ cm}$, umplut cu apă, folosită ca moderator. Ocum pentru neutroni lenti, setăunea de activare a probelor (captura neutronilor de către nucleele probei) variază ca $1/v$, unde v este viteza neutronilor,

radioactivitatea indușă într-o probă va fi proporțională cu numărul neutronilor termici care se găsesc într-un anumit punct în bac.

In procesul de incetinire a neutronilor radizi, concurează două efecte:

a. cicoanir, ou nucleu de hidrogen, prin care neutronii pierd o parte din energia lor; pierderea de energie are loc pînă când neutronii incetiniți ajung la echilibru termic cu nucleile mediului;

b. absorbția în apă; absorbția este atât mai mare cu cît neutronii sunt mai lenti decărcă setăunea efectiva de absorbție a hidrogenului variază după legea $1/v$. Se poate considera că sunt absorbți práctic numai neutronii termici.

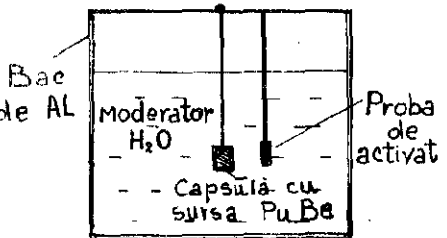


Fig.4 - Bacul cu sursa de neutroni.

ce astă mai mare cu cît neutronii sunt mai lenti decărcă setăunea efectiva de absorbție a hidrogenului variază după legea $1/v$. Se poate considera că sunt absorbți práctic numai neutronii termici.

Cele două efecte au o acțiune contrară: primul duce la o mărire a numărului de neutroni termici, al doilea la scăderea lui. La începutul incetinirii este preponderent efectul de termalizare decărcă numărul de neutroni termici și mic. La sfîrșit însă, numărul de neutroni termici este mare și absorbția este dominantă. Din concurența acestor două efecte rezultă o creștere rapidă a numărului de neutroni termici cu distanță, pînă la un maximum, și apoi o scădere, mai lentă, pînă la zero. Distanța optimă de expunere a probelor în experiențele de activare este de $5 \pm 15 \text{ cm}$ față de sursa de neutroni.

In unele surse intense, după termalizare, neutronii sunt absorbiți în foi subțiri de cadmiu, pentru radioprotecție. Pentru energii ale neutronilor mai mici de $0,4 \text{ eV}$ are loc reacția:



Radiatiile γ emise de sursa Pu-Be și care apar din reacțiile nucleare (n, γ) cu isotopii Cd și cu nucleele moderatorului sunt parțial absor-

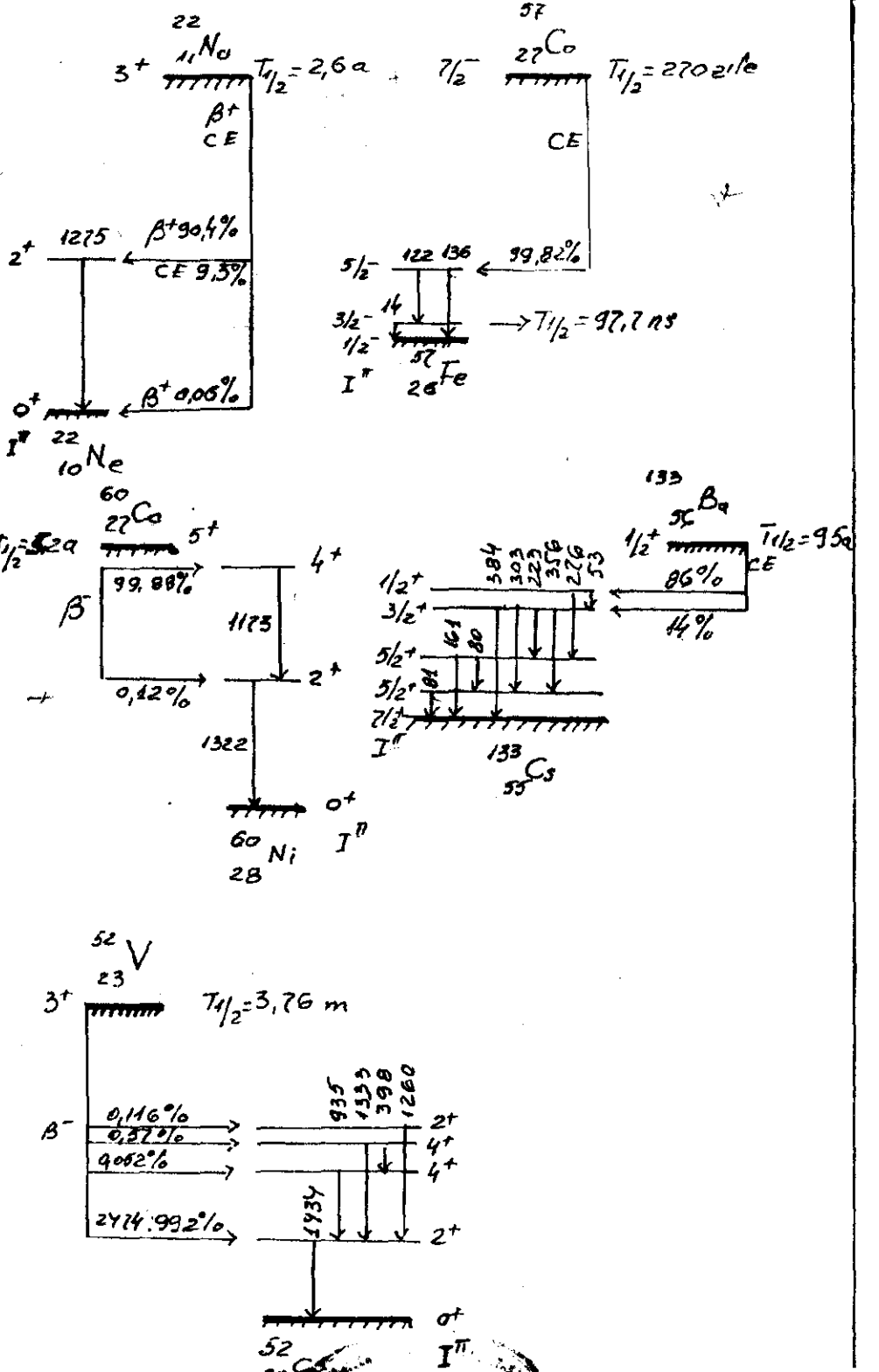
bite intr-un strat de Pb care se adaugă la sursele intense, exterior.

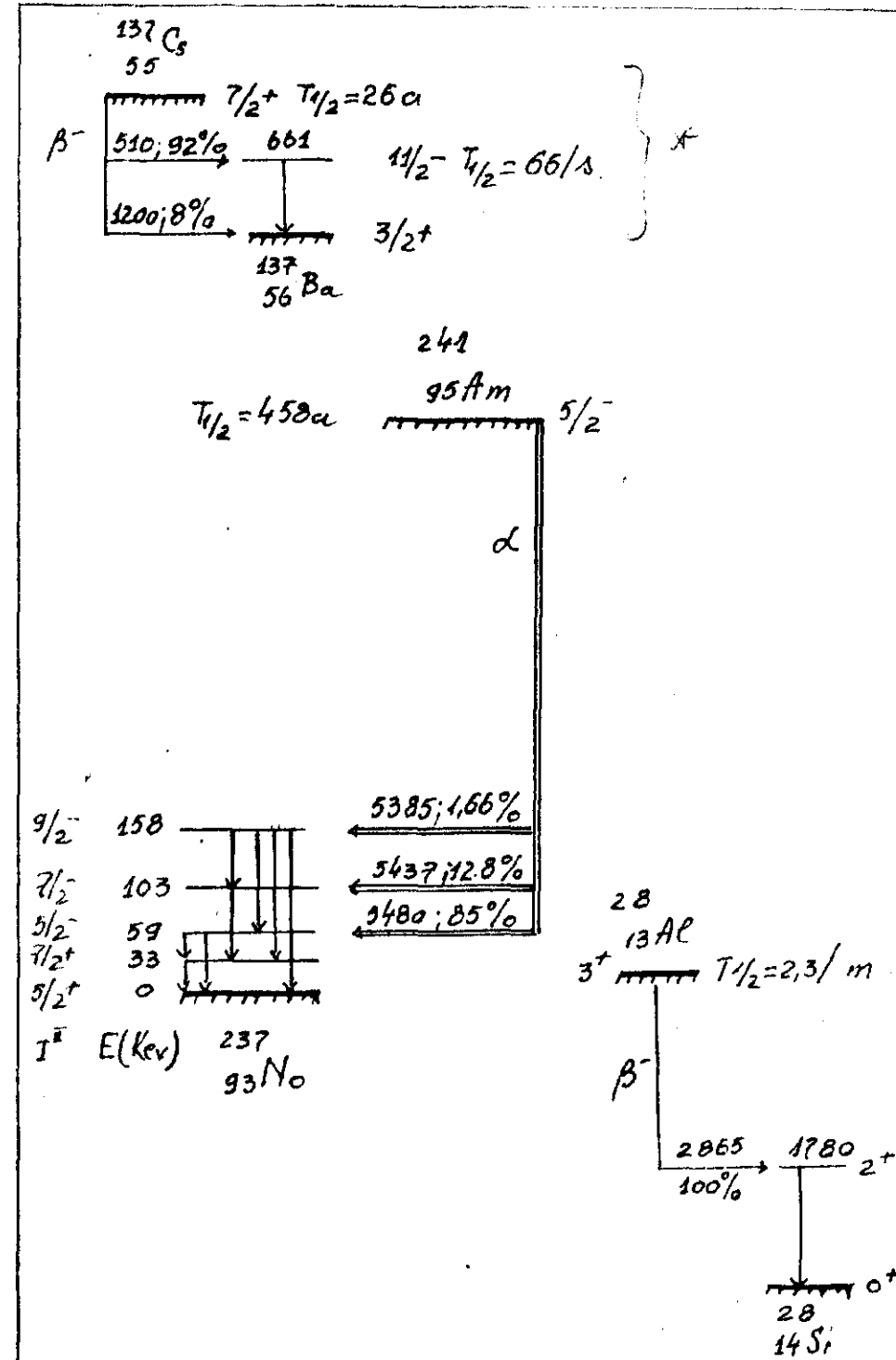
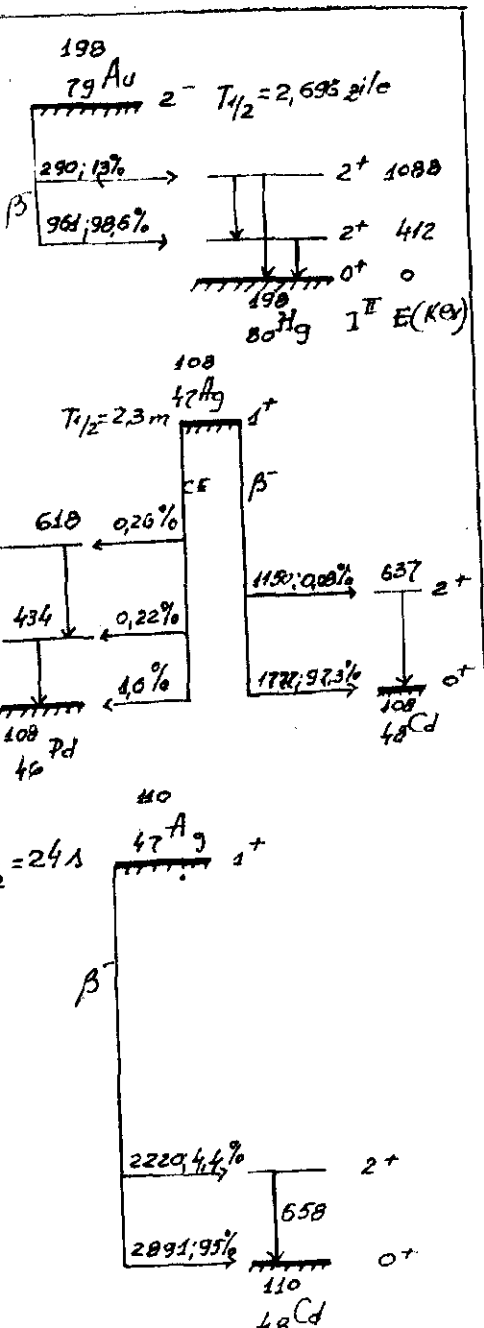
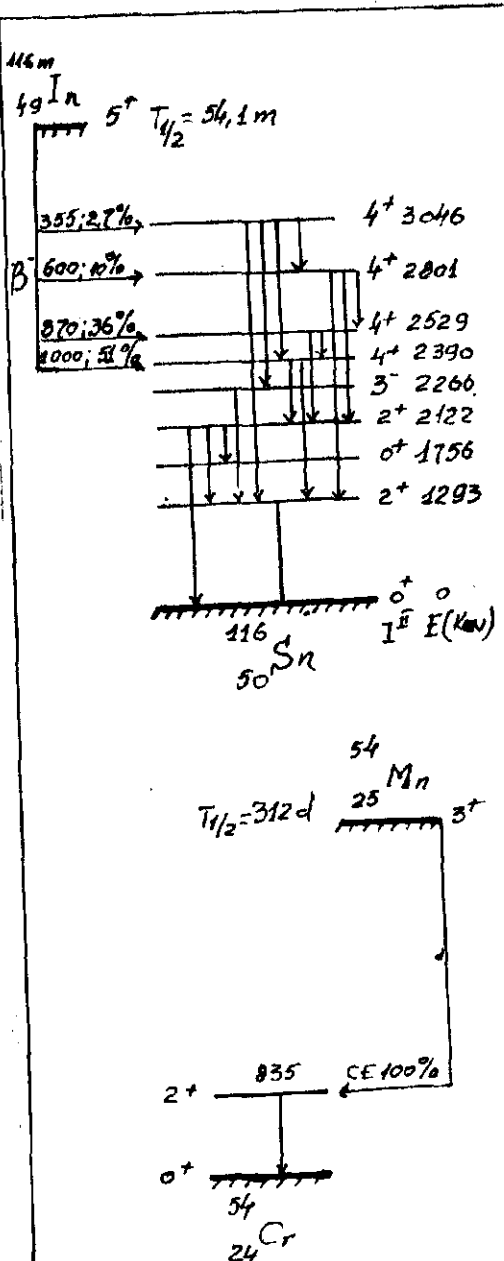
La o asemenea sursă de neutroni se iradiază diferite elemente, obținindu-se radioizotopi activi, cu tempi de viață mici.

Bibliografie

- [1] P. Sandru, A. Topa - Radionuclizi, Edit. Acad. R.S.România, Bucureşti, 1960.
- [2] K. Siegbahn (ed.) - α , β , γ Ray Spectroscopy-North-Hell. Publ. Comp. Amsterdam, 1965.
- [3] O.H. Lederer, V.S. Shirley - Table of Isotopes, Copyright 1978 by John Wiley Sons, Inc. Printed in SUA

FD 4086/21





I 2. PRELUCRAREA DATelor EXPERIMENTALE

2.1. Notiuni introductive.

Erorile experimentale pot fi clasificate în erori sistematice și erori statistice. Erorile sistematice sunt legate de metoda experimenterilor, imprecizia metodelor și aparaturii și au un sens bine definit. Aceste erori sunt reduse de obicei prin corecții. De exemplu timpul de rezoluție finit al unei instalații de detectie, duce la scăderea numărului de particule detectate, în comparație cu cele ce intră în detector. Corecția de timp mort va elmina această eroare (Vezi capituloare introductive I 3 și I 4).

Erorile statistice, nu pot fi evitate practic niciodată. În măsurarea unei mărimi macroscopice, ele sunt rezultatul unor multiple acțiuni necontrolabile, în însâși procesul de măsurare. Totuși se presupune că fluctuațiile măsurătorilor pot fi făcute în principiu cît de mici dorim. De aceea se spune că mărimea macroscopică de măsurat (de exemplu masa unui corp sau lungimea unei bare) are o valoare bine determinată în timp ce rezultatele măsurătorilor fluctuează, caracteristic aparaturii de măsură folosite. Rezultatele măsurătorilor se supun unei distribuții continue, cel mai adesea distribuția Gauss (distribuția normală).

Așa cum trebuie să văd în fizica nucleară; în microumbră fluctuațiile mărimilor măsurabile, de regulă, sunt principiale; pe de altă parte mărimea măsurabilă (de exemplu, numărul acelor de dezintegrare în unitatea de timp) nu este continuă ci discretă. Datorită acestui fapt, vom vedea în paragraful următor că distribuția care găzduiește statistica procesului de dezintegrare este distribuția Poisson.

Rolul statisticii în microumbră este mult mai adinc decât în macroumbră. Caracterul statistic fiind întrinsec proceselor din microumbră, statistică va fi folosită atât la prelucrarea rezultatelor cît și pentru studiul naturii fenomenelor studiate. Reluând același exemplu, legile dezintegrării radioactive au fost stabilite numai pe baza unui studiu statistic sistematic, care a arătat că acelora de dezintegrare sunt independente.

2.2. Statistica procesului de dezintegrare radioactive. Distribuția Poisson.

Să considerăm un ansamblu N de nuclei radioactive. Dezintegrarea unui nucleu, prin emisie de particule, este independentă de starea celorlalte nuclei. De aceea, definim constanta de dezintegrare λ , ca fiind probabilitatea ca un nucleu radioactive să se dezintegreze în unitatea de timp.

Să exprimăm probabilitatea dw_1 ca nucleul să nu se dezintegreze un timp t , dar să se dezintegreze în intervalul infinit mic de timp $(t, t + dt)$; dacă notăm cu $w_0(t)$ probabilitatea ca nucleul să nu sedezintegreze pînă la momentul t și din definiția constantei de dezintegrare cu λ că probabilitatea ca el să se dezintegreze în intervalul dt avem:

$$dw_1 = w_0(t)\lambda dt = -dw_0 \quad (1)$$

Integrind relația (1) obținem expresia probabilității $w_0(t)$ ca nucleul să nu se dezintegreze în timpul t :

$$-\int_{w_0}^0 \frac{dw_0}{w_0(t)} = \lambda \int_0^t dt \rightarrow w_0 = \exp(-\lambda t) \quad (2)$$

Probabilitatea ca nucleul să se dezintegreze în intervalul de timp t este evident:

$$w_1(t) = 1 - w_0(t) = 1 - \exp(-\lambda t) \quad (3)$$

Să considerăm două nuclei radioactive. Să exprimăm probabilitatea ca niciunul să nu se dezintegreze în t : $w_0(t) = \exp(-2\lambda t)$; probabilitatea că numai unul să se dezintegreze: $w_1(t) = \exp(-\lambda t)[1 - \exp(-\lambda t)]$

Cda 68/982 Fasc 2

probabilitatea ca ambele să se dezintegreze: $w_2(t) = [(1 - \exp(-\lambda t))^2]$

Pentru N nucleo radioactive:

probabilitatea ca nici unul să sedezintegreze: $w_0 = \exp(-N\lambda t)$

probabilitatea ca numai unul să sedezintegreze: $w_1 = N \exp[-(N-1)\lambda t] \times [1 - \exp(-\lambda t)]$

probabilitatea ca numai k nucleo să sedezintegreze:

$$w_k(t) = C_N^k \exp[-(N-k)\lambda t] [1 - \exp(-\lambda t)]^k; C_N^k = \frac{N!}{k!(N-k)!}$$

→ În cazurile reale $k \ll N$ și $\lambda t \ll 1$ (4) adică timpul t este mult mai mic decât timpul de înjunghiere al radionuclidelui: atunci

$$N! \approx N^k (N-k)! \text{ și } [1 - \exp(-\lambda t)]^k \approx (\lambda t)^k$$

și probabilitatea ca să sedezintegreze k nucleo în timpul t este descrisă de distribuția

$$w_k(t) = \frac{N^k (N-k)!}{k! (N-k)!} \exp(-N\lambda t) \cdot (\lambda t)^k = \frac{(N\lambda t)^k}{k!} \exp(-N\lambda t) \quad (5)$$

Această distribuție se numește distribuția Poisson, și semnificația ei este următoarea: dacă se consideră foarte multe intervale egale de timp t, numărul de nucleo care sedezintegrează în aceste intervale, k_1, k_2, \dots sunt distribuite după formula (5).

Numărul mediu de nucleo care sedezintegrează se calculează în mod obișnuit:

$$\bar{k} = \sum_{k=0}^{\infty} k w_k(t) = \sum_{k=0}^{\infty} \frac{k (N\lambda t)^k}{k!} \exp(-N\lambda t) = \\ = N\lambda t \left[\sum_{k=1}^{\infty} \frac{(N\lambda t)^{k-1}}{(k-1)!} \right] \exp(-N\lambda t) = N\lambda t \quad (6)$$

Deci $N\lambda t$ este egală cu valoarea medie a numărului de nucleo care sedezintegrează în timpul t, cu condițiile (4). Distribuția (5) devine:

$$w_k = \frac{\bar{k}^k}{k!} \exp(-\bar{k}) \quad (7)$$

unde am notat valoarea medie cu \bar{k} .

→ Evident că numărul de particole n, (urmărită de un detector, în care intră radiatiile emise de această surse), este proporțional cu numărul de dezintegrări k:

$$n = \gamma k$$

În ceea ce este numărul de pulsuri înregistrate în același tot de o distribuție Poisson adică:

$$w_n(t) = \frac{\bar{n}^n}{n!} \exp(-\bar{n}) \quad (8)$$

cu valoarea medie $\bar{n} = gk = g N\lambda t$

Relația (8) poate fi interpretată din două puncte de vedere.

A) Să presupunem că avem mai multe instalații de detectie compuse din surse și detectori identici. În timpul t primul numărător înregistrează n_1 pulsuri, al doilea n_2 s.a.m.d. Numerele n_1, n_2, \dots sunt distribuite după formula (8). Ez

B) Într-o a doua variantă experimentală putem presupune că avem o singură sură și înregistram numărul de pulsuri n_1, n_2, \dots , în decursul unor intervale t de timp egale. Dacă activitatea sursei poate fi considerată constantă, atunci mărimile n_1, n_2, \dots sunt distribuite după o legătura Poisson.

→ Distribuția Poisson (7) sau (8) este determinată de un singur parametru, numărul mediu de eote (dezintegrări, pulsuri etc.). Determinarea experimentală a lui \bar{n} este scopul majorității măsurătorilor efectuate în fizica nucleară. Dacă $\bar{n} < 1$, atunci w_n scade monoton cu creșterea lui n. Cind $\bar{n} > 1$, w_n începe să crească, atingând valoarea maximă pentru $n = \bar{n}$, după care scade monoton. Dependența lui w_n de n , pentru diferiți parametri \bar{n} este dată în fig.1. Pe măsura creșterii lui \bar{n} , maximul devine

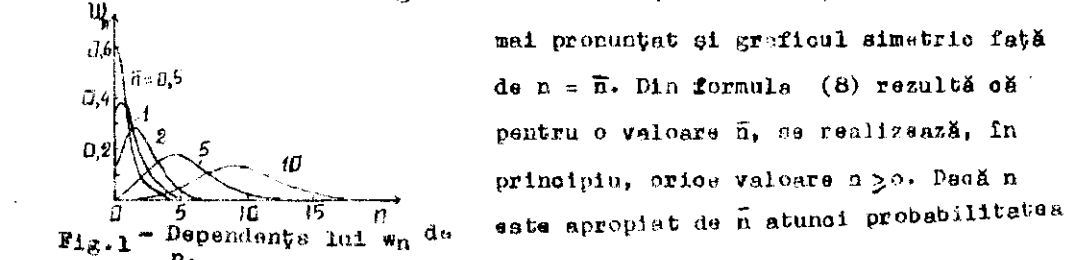


Fig.1 - Dependența lui w_n de n .

mai pronunțat și graficul simetric față de $n = \bar{n}$. Din formula (8) rezultă că pentru o valoare \bar{n} , se realizează, în principiu, orice valoare $n \geq 0$. Dacă n este apropiat de \bar{n} atunci probabilitatea

w_n este mai mare și devine cu atit mai mică cu cît valoarea n este mai departată de \bar{n} .

→ Ca măsură a abaterii mărimii n dela valoarea medie \bar{n} folosim dispersia definită de formula:

$$\sigma^2 = (n - \bar{n})^2 = \bar{n}^2 - \bar{n}^2 \quad (9)$$

Mărimea $G = \sqrt{(n - \bar{n})^2}$ se numește eroare absolută sau eroare medie pătrată a mărimii n , iar mărimea $\xi = G/\bar{n}$ se numește eroare relativă.

Pentru calculul dispersiei, în cazul distribuției Poisson, folosim formula cunoscută a mediei:

$$\bar{n}^2 = \sum_{n=0}^{\infty} \frac{n^2(\bar{n})^n}{n!} e^{-\bar{n}} = \bar{n} + \bar{n}$$

De unde rezultă, folosind definiția (9):

$$\text{dispersia: } G^2 = \bar{n}; \text{ eroarea absolută: } G = \sqrt{\bar{n}}, \quad (10)$$

eroarea relativă:

$$\xi = 1/\sqrt{\bar{n}} \quad (11)$$

Relațiile (10) și (11) au o importanță deosebită în aplicațiile legii Poisson. Ele au semnificația următoare.

Dacă se notează indicațiile n_1, n_2, \dots ale instalației de numărare, definite în foarte multe intervale de timp egale, pentru o sursă de intensitate constantă, atunci în majoritatea cazurilor n se va deosebi de \bar{n} nu mai mult de $\sqrt{\bar{n}}$.

Din relația (11) se poate afla numărul n de particule care trebuie înregistrat pentru a atinge o anumită eroare relativă ξ . Astfel pentru măsurarea valorii medii cu eroarea de 1% este necesar să se numere $n = 1/\xi^2 = 10^2$ particule. Pentru ca eroarea să fie de 1% trebuie numărate 10^4 particule ș.a.m.d.

2.3. Legătura distribuției Poisson cu distribuția Gauss.

Am remarcat în paragraful anterior că, pe măsură ce crește \bar{n} , distribuția Poisson (8) devine din ce în ce mai simetrică față de $n = \bar{n}$. Dacă se

îndeplinește condiția

$$\sqrt{\bar{n}} \gg 1 \quad (12)$$

se atinge o simetrie perfectă (practic pentru $\bar{n} \sim 20$). În aceste condiții în locul probabilității $w_n(t)$ se poate introduce o altă mărime $P(n)$, definită ca o densitate de probabilitate; probabilitatea ca numărul de pulsuri înregistrate la instalarea de numărare să fie în intervalul $n, n+dn$ va fi $P(n)dn$. (Evident intervalul dn este foarte mic în comparație cu mărimea n ce ne interesează). Distribuția discretă w_n se transformă într-o continuă. Se poate arăta că mărimea n se supune acum distribuției Gauss:

$$P(n) = \frac{1}{\sqrt{2\pi\bar{n}}} \exp \left[-(n - \bar{n})^2 / 2\bar{n} \right] \quad (13)$$

→ Mărimea $y = n - \bar{n}$, având semnificația abaterii numărului n , dela valoarea medie \bar{n} este distribuită tot după o lege Gauss:

$$P(y) = \frac{1}{\sqrt{2\pi\bar{n}}} \exp \left[-y^2 / 2\bar{n} \right] \quad (14)$$

Să calculăm cu ajutorul relației (14) probabilitatea $P(y_1 \leq y \leq y_2)$, ca mărimea y să fie inclusă în intervalul $[y_1, y_2]$

$$P(y_1 \leq y \leq y_2) = \frac{1}{\sqrt{2\pi\bar{n}}} \int_{y_1}^{y_2} \exp(-y^2/2\bar{n}) dy$$

Făcind schimbarea de variabilă $y = z\sqrt{\bar{n}}$ obținem

$$P(y_1 \leq y \leq y_2) = \frac{1}{\sqrt{2\pi}} \int_{z_1}^{z_2} \exp(-z^2/2) dz = \frac{1}{\sqrt{2\pi}} \int_0^{z_2} \exp(-z^2/2) dz - \frac{1}{\sqrt{2\pi}} \int_0^{z_1} \exp(-z^2/2) dz \quad (15)$$

Dacă se fac calculele în (15) pentru următoarele cazuri $z_1 = -1$, $z_2 = 1$; $z_1 = -2$, $z_2 = 2$; $z_1 = -3$, $z_2 = 3$ rezultă:

$$P(|y| \leq \sqrt{\bar{n}}) = 2 \frac{1}{\sqrt{2\pi}} \int_0^1 \exp(-z^2/2) dz = 0,682 \quad (16)$$

$$P(|y| \leq 2\sqrt{\bar{n}}) = 0,954 \quad (17)$$

$$P(|y| \leq 3\sqrt{\bar{n}}) = 0,997 \quad (18)$$

Concluzia formulelor (16-18) este următoarea: dacă se înregistrează pulsurile instalației de numărare, într-un număr mare de intervale egale, cu indeplinirea relației (12), în 62,8% de cazuri numărul de pulsuri se va deosebi de \bar{n} cu mai puțin de $\sqrt{\bar{n}}$, în 95,4% cu mai puțin de $2\sqrt{\bar{n}}$ și în 99,7% nu mai mult de $3\sqrt{\bar{n}}$.

2.4. Eroarea medie pătratică a unei funcții de ℓ variabile aleatorii. Teorema de propagare a erorilor.

Fie o funcție u care depinde de ℓ variabilele aleatorii x_1, x_2, \dots, x_ℓ , unde x_i sunt valori ale mărimilor fizice direct accesibile măsurării

$$u = f(x_1, x_2, \dots, x_\ell) \quad (19)$$

Presupunând că f este funcție continuă, derivabilă, o vom dezvolta în serie Taylor în vecinătatea punctului $\bar{x}_1, \bar{x}_2, \dots, \bar{x}_\ell$.

$$u = f(\bar{x}_1, \bar{x}_2, \dots, \bar{x}_\ell) + \sum_{i=1}^{\ell} \left(\frac{\partial f}{\partial x_i} \right)_{\bar{x}_1} \cdot (x_i - \bar{x}_i) + R(x) \quad (20)$$

unde $R(x)$ este suma termenilor de ordin egal și superior lui doi în raport cu $x_i - \bar{x}_i$ ($i=1, \dots, \ell$). Deoarece erorile $x_i - \bar{x}_i$ sunt mici termenul $R(x)$ este neglijabil. Folosim pentru valoarea medie notația $\langle u \rangle = \bar{u}$,

$$\langle u \rangle = \bar{u} = \langle f(\bar{x}_1, \dots, \bar{x}_\ell) \rangle + \sum_{i=1}^{\ell} \left(\frac{\partial f}{\partial x_i} \right)_{\bar{x}_1} \langle (x_i - \bar{x}_i); (x_i - \bar{x}_i) \rangle = 0 \quad (21)$$

și deci: $\langle u \rangle = f(\bar{x}_1, \dots, \bar{x}_\ell)$

$$\begin{aligned} \sigma_u^2 &= \langle (u - \bar{u})^2 \rangle = \sum_{i=1}^{\ell} \left(\frac{\partial f}{\partial x_i} \right)_{\bar{x}_1}^2 \langle (x_i - \bar{x}_i)^2 \rangle + \sum_{i \neq j} \left(\frac{\partial f}{\partial x_i} \right)_{\bar{x}_1} \left(\frac{\partial f}{\partial x_j} \right)_{\bar{x}_1} \\ &\quad \langle (x_i - \bar{x}_i)(x_j - \bar{x}_j) \rangle \end{aligned} \quad (22)$$

decareces:

$$\langle (x_i - \bar{x}_i)(x_j - \bar{x}_j) \rangle = \langle (x_i - \bar{x}_i) \rangle \langle (x_j - \bar{x}_j) \rangle = 0$$

căci x_i sint independente; rezultă:

$$\sigma_u^2 = \sigma_f^2 = \sum_{i=1}^{\ell} \left(\frac{\partial f}{\partial x_i} \right)^2 \sigma_{x_i}^2 \quad (23)$$

Relația 23 poartă numele de teorema de propagare a erorilor și leagă eroarea absolută a mărimii u de erorile absolute ale mărimilor x_i .

2.5. Numărarea în prezența fondului.

Vom aplica formula (23) la cazul simplu al calculului erorii absolute pentru viteza de numărare a unei surse, cu corecția de fond. Să considerăm o instalație de numărare asemănătoare celei din fig. 2 cap.I 4 care înregistrează în timpul t , n pulsuri în prezența unei surse de radiație. Îndepărțind sursa de radiație instalația înregistrează n_f pulsuri de fond în timpul t_f . Aceste pulsuri de fond se datoră, radiației cosmică și sursei radioactive care există în laborator: elemente radioactive naturale sau urme de elemente radioactive artificiale.

Să notăm cu r viteza de numărare în prezența sursei definită:

$$r = \frac{n}{t} \text{ cu eroarea absolută } \sigma_r = \sqrt{\frac{n}{t}} = \quad (24)$$

cu F viteza de numărare în absența sursei:

$$F = \frac{n_f}{t_f} \text{ cu eroarea absolută } \sigma_F = \sqrt{\frac{n_f}{t_f}} \quad (25)$$

$$\text{și cu } R = r - F \quad (26)$$

viteza de numărare cu corecția de fond.

In formulele (24) și (25) am considerat că numărul de pulsuri înregistrate se supune distribuției Poisson și deci eroarea lui absolută este dată de formula (10).

APLICIND FORMULA (23) PENTRU VITEZA DE NUMĂRARE R SE OBȚINE

$$\sigma_R^2 = \sigma_r^2 + \sigma_F^2 \quad (27)$$

INTRODUCEND EXPRESIILE ERORILOR (24) și (25) SE OBȚINE

$$\sigma_R = \sqrt{\frac{n}{t^2} + \frac{n_f}{t_f^2}} = \sqrt{\frac{r}{t} + \frac{F}{t_f}} = \sqrt{\frac{R+F}{t} + \frac{F}{t_f}} \quad (28)$$

ÎN PARTICULAR, DACĂ $t_f = t$, (28) DEVINE:

$$\frac{G_R}{R} = \frac{R+2F}{t}$$

Eroarea relativă a vitezei de numărare, va fi:

$$\xi_R = \frac{G_R}{R} = \frac{1}{t} \sqrt{\frac{R+2F}{R}} = \frac{1}{t} \sqrt{\frac{r+F}{r-F}} \quad (30)$$

Se vede imediat că ξ_R este cu atit mai mare cu cît $r-F$ este mai mic, adică cu cît proba este mai slabă, mai puțin activă.

Expresia (30) permite determinarea timpului de numărare t , egala pentru probă și fond, necesar pentru a avea o anumită abatere standard relativă:

$$t = \frac{1}{\xi_R^2} \frac{R+2F}{R^2} = \frac{1}{\xi_R^2} \frac{r+F}{(r-F)^2} \quad (31)$$

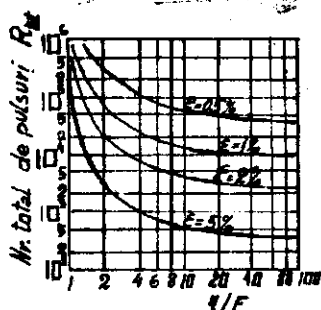


Fig.2 - Numărul total de pulsuri $R_{tot} = r \cdot t$ necesar, în prezență fondului, pentru a avea o anumită abatere standard relativă pentru un raport r/F dat.

In sfîrșit, trebuie spus că timpul t definit de (31) trebuie determinat astfel încât viteza de numărare R să săibă semnificație fizică, adică:

$$R \geq 3\xi_R \quad (33)$$

Rezultă că timpul minim de măsură este:

$$t_{min} = 9 \frac{R+2F}{R^2} \quad (34)$$

și deci, de regulă, $t \geq t_{min}$. În practică, în special în proiectarea

(29)

unor lucrări radiometrice, se consideră condiția ca viteza de numărare R să fie mai mare sau egală cu de trei ori viteza fondului, adică:

$$R \geq R_{min} = 3F \quad (35)$$

Această condiție implica pentru t din (31) relația:

$$t_{(R=3F)} = \frac{1}{\xi_R^2} \cdot \frac{0.555}{F} \quad (36)$$

Relația (31) permite calcularea timpului necesar ca, pentru un anumit fond să obținem o eroare stabilită anticipat.

In lucrările de laborator se determină diferite mărimi care într-un mod corect depind de viteza de numărare. Eroarea acestor mărimi este determinată, de cele mai multe ori, cu ajutorul teoremei de propagare a erorilor, în care intervin deci și erorile vitezei de numărare și a fondului, erori definite de relațiile de mai sus. De aici importanța deosebită a acestor expresii în efectuarea corectă a măsurătorilor în laborator.

2.6. Metoda celor mai mici pătrate.

Pentru a verifica experimental o lege fizică, se fac de obicei măsurători ale mărimilor fizice ce intră în relația (legea) ce leagă aceste mărimi. Măsurările noastre sunt însă afectate de erori. Să presupunem că legea fizică leagă funcțional mărimea y de măsurat, de mărimea x , de asemenea măsurabilă,

$$y = f(x, a_1, a_2, a_3, \dots, a_n) \quad (37)$$

unde a_1, a_2, a_3 sint niște parametri.

De exemplu, legea dezintegrării radioactive leagă activitatea sursei de timp, prin legea

$$\Lambda = \Lambda_0 \exp(-\lambda t) \quad (38)$$

unde parametrii Λ_0 și λ sint, respectiv, activitatea la momentul zero și constanta de dezintegrare, specifică izotopului radioactive dat.

Dacă se pune sursa în fața unui detector de radiație viteza de numărare a acesteia este proporțională cu activitatea deci viteza

de numărare va scădea după o lege exponentială, asemănătoare cu (38)

$$R = R_0 \exp(-\lambda t) \quad (39)$$

sau

$$\ln R = \ln R_0 - \lambda t \quad (39')$$

Pentru a verifica legea (39), deci și (38), măsurăm experimental vitezele de numărare, la diverse momente t . Presupunem că timpul se poate măsura cu o precizie mult mai bună decât viteza de numărare, a cărui eroare este dată de expresia (28).

Intrebarea pe care ne-o punem în experimentul nostru particular este: ne permit măsurătorile valorilor vitezelor de numărare, la diverse momente, să spunem că legea dezintegrării radioactive este corectă?

Intrebarea generală, pe care ne-o punem cind verificăm legea fizică (37) este: ne permit măsurătorile efectuate pentru diverse argumente x ale mărimii y , în limita erorilor experimentale, să spunem că legea (37) este corectă?

Unul din procedeele care ne permit să răspundem la această întrebare poartă numele de metoda celor mai mici pătrate.

Să presupunem că facem n măsurători y_1, y_2, \dots, y_n , cu erourile $\sigma_1, \sigma_2, \dots, \sigma_n$, pentru argumentele x_1, x_2, \dots, x_n . Considerăm legea (37) și construim funcția χ^2 definită:

$$\chi^2 = \sum_{i=1}^n \frac{[f(x_i, a) - y_i]^2}{\sigma_i^2} \quad (40)$$

Dacă punctele experimentale se grupează în jurul curbei teoretice $f(x, a)$, ca în figura 3, astfel încât majoritatea lor se află față de curbă la mai puțin de o abatere standard, spunem că datele experimentale verifică legea $f(x, a)$; în acest caz χ^2 este minim. Această condiție de minim este folosită pentru determinarea parametrilor necunoscuți din expresia lui $f(x, a)$.

Cele m condiții ca χ^2 să fie minim sunt de forma:

$$\frac{\partial \chi^2}{\partial a_k} = 0 \quad 1 \leq k \leq m \quad (41)$$

unde m este numărul de parametri din legea (37). Relațiile (41) ne permit să formăm un sistem de m ecuații din care să determinăm parametrii a_i

În cazul unei legi polinomiale:

$$f(x_i) = \sum_{j=1}^m a_j x_i^{j-1} \quad (42)$$

funcția devine

$$\chi^2 = \sum_{i=1}^n \frac{\left[\sum_{j=1}^m a_j x_i^{j-1} - y_i \right]^2}{\sigma_i^2}$$

iar derivata parțială în funcție de parametrul a_k :

$$\frac{\partial \chi^2}{\partial a_k} = 2 \sum_{i=1}^n \frac{\left[\sum_{j=1}^m a_j x_i^{j-1} - y_i \right] x_i^{k-1}}{\sigma_i^2} = 0 \quad (43)$$

Cele m ecuații liniare din care se pot obține parametrii a_k se obțin din (43) prin schimbarea între ele a sumelor după j și i

$$\sum_{j=1}^m a_j \sum_{i=1}^n x_i^{j+k-2} = \sum_{i=1}^n y_i x_i^{k-1} \quad (44)$$

$$\text{Dacă notăm } B_{k,j} = \sum_{i=1}^n \frac{x_i^{j+k-2}}{\sigma_i^2} \text{ și } B_{k,m+1} = \sum_{i=1}^n \frac{y_i x_i^{k-1}}{\sigma_i^2}$$

sistemul de ecuații se va scrie:

$$\begin{aligned} B_{11}a_1 + B_{12}a_2 + \dots + B_{1m}a_m &= B_{1,m+1} \\ B_{21}a_1 + B_{22}a_2 + \dots + B_{2m}a_m &= B_{2,m+1} \\ &\vdots \\ B_{m1}a_1 + B_{m2}a_2 + \dots + B_{mm}a_m &= B_{m,m+1} \end{aligned} \quad (45)$$

În cazul particular al funcției liniare

$$f(x_i) = a_1 + a_2 x_i \quad (46)$$

cele două ecuații din care se scoț parametrii a_1 și a_2 sint:

$$a_1 \sum_{i=1}^n \frac{1}{\sigma_i^2} + a_2 \sum_{i=1}^n \frac{x_i}{\sigma_i^2} = \sum_{i=1}^n \frac{y_i}{\sigma_i^2} \quad (47)$$

$$a_1 \sum_{i=1}^n \frac{x_i}{\sigma_i^2} + a_2 \sum_{i=1}^n \frac{x_i^2}{\sigma_i^2} = \sum_{i=1}^n \frac{y_i x_i}{\sigma_i^2}$$

Rezolvind sistemul (47) obținem:

$$\begin{aligned} a_1 &= \frac{\sum_{i=1}^n \frac{y_i}{\sigma_i^2} - \sum_{i=1}^n \frac{x_i}{\sigma_i^2}}{\sum_{i=1}^n \frac{1}{\sigma_i^2} - (\sum_{i=1}^n \frac{x_i}{\sigma_i^2})^2} \\ a_2 &= \frac{\sum_{i=1}^n \frac{1}{\sigma_i^2} \sum_{i=1}^n \frac{y_i x_i}{\sigma_i^2} - \sum_{i=1}^n \frac{y_i}{\sigma_i^2} \sum_{i=1}^n \frac{x_i}{\sigma_i^2}}{\sum_{i=1}^n \frac{1}{\sigma_i^2} \sum_{i=1}^n \frac{x_i^2}{\sigma_i^2} - (\sum_{i=1}^n \frac{x_i}{\sigma_i^2})^2} \end{aligned} \quad (48)$$

Remarcăm că relația (39') este o funcție lineară ca și (46) deci parametrii $\ln R_0$ și λ se vor găsi din relații de tipul (48) (Vedi lucrarea "Determinarea timpului de înjumătățire din metoda curbelor de dezintegrare").

Din relațiile (48), aplicând teorema de propagare a erorilor, în presupunerea că numai mărimele y_i sint afectate de eroare, se pot obține erorile absolute a parametrilor a_1 și a_2 , respectiv $\sigma_{a_1}, \sigma_{a_2}$.

Pentru a răspunde la întrebarea pusă inițial, dacă legea (37) se verifică experimental, să dăm mai întâi valoarea medie a lui $\langle \chi^2 \rangle$ (Calculul se poate găsi în lucrarea [3]). Dacă presupunem că mărimele y_i se supun distribuției Gauss se arată că

$$\langle \chi^2 (a_1, a_2, \dots, a_m) \rangle = n-m \quad (49)$$

unde n este numărul datelor experimentale iar m numărul parametrilor.

Pentru a estima corectitudinea legii și a experimentului, cu valoările parametrilor obținuți din sistemul (45) se calculează funcția χ^2 . Deosebim trei cazuri:

1. $\chi^2 \approx n-m$, legea (37) se verifică experimental;
2. $\chi^2 \gg n-m$ implică fie legea (37) nu este corectă, fie erorile experimentale au fost subestimate;
3. $\chi^2 \ll n-m$ erorile experimentale, făcute la măsurările lui y_i , au fost supraestimate.

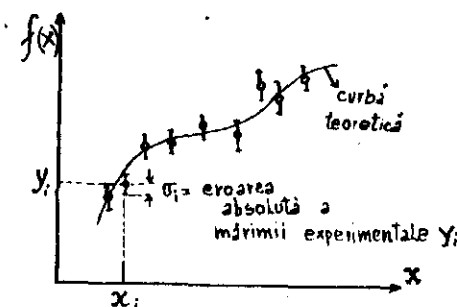


Fig.3 - Curba teoretică $f(x)$ și confirmarea experimentală.

2.7. Bibliografie

- [1] H.G.Worthing, J.Geffner - Prelucrarea datelor experimentale, Ed.Tehn., 1959.
- [2] M.Onescu - Fluctuații statistice în măsurarea radiațiilor, IFA/MR/2, Măgurele - București, 1958
- [3] C.I.Nistor - Prelucrarea automată a datelor fizice, U - București (1979)

2.8. Probleme

- a) Se dă formula (4) din lucrarea 6, $\Delta = 16 R d^2 / S f_t \varepsilon_t D^2$. Se consideră că sunt afectate de eroare mărimele R, d și se presupune cunoscută abaterea standard σ_d ; R este viteza de numărare. Să se deducă formula pentru eroarea absolută a lui Δ .

- b) Se măsoară numărul N_1 de pulsuri în prezență sursei un timp t_1 și numărul N_2 de pulsuri în absență sursei un timp t_2 . Care este eroarea la viteza de numărare.
- c) Se dau doi contori care înregistrează respectiv $R_1 = 100$ imp/min, $F_1 = 20$ imp/min și $R_2 = 60$ imp/min, $F_2 = 5$ imp/min (vezi paragraful 2.5). Care este relația între timpuri de măsurare pentru cei doi contori, ca eroarea relativă să fie aceeași.
- d) Viteza de numărare în prezență sursei este de aproximativ 20 imp/min. Viteza de numărare a fondului este de 15 imp/min. Cât timp va trebui să dureze determinările ca eroarea la viteza de numărare, cu corecția de fond, să fie de 5%.
- e) O probă radioactivă are viteza de numărare cu corecția de fond, în geometria aleasă, de 10 imp/min. Dacă fondul instalăției este de 20 imp/min, cît trebuie să dureze măsurările ca eroarea relativă să fie de 10%.
- f) Cu o instalație de numărare se determină în prezență sursei 90 imp. în 5 min. În absență sursei, fondul este de 70 imp în 10 minute. Să se arate dacă rezultatul este semnificativ statistic.
- g) Explicați modul în care cunoașterea valorii medii a funcției χ^2 ne poate sugera, în metoda celor mai mici pătrate, dacă o ipoteză teoretică, privind anumite rezultate experimentale, este bună sau nu.
- h) Pentru a trasa o curbă de dezintegrare se determină viteza de numărare în prezență sursei, la diverse momente (Vezi lucrarea 7). Descrieți modul cum se face prelucrarea datelor experimentale pentru a obține eroarea, în determinarea constantei de dezintegrare.
- i) Cum aflați eroarea la determinarea coeficientului μ de absorbție lineară (lucrarea 4), folosind metoda celor mai mici pătrate.

I 3. INTERACTIA RADIATIEI CU SUBSTANTA. DETECTIA

Energia absorbită în substanță, la trecerea radiatiei, conduce la apariția unor schimbări diverse, care pot fi utilizate pentru înregistrarea însăși a radiatiei: într-un gaz, de exemplu, la trecerea particulelor încărcate cu energie mare se formează în procesul de ionizare, perechi de electroni liberi și ioni, care schimbă rezistența electrică a volumului de gaz. La întrebarea ce se întimplă cind radiatia traversează substanță, răspunsul cuprinde două aspecte:

1. Ce se întimplă cu particulele din fascicul de radiatie care traversează substanță: ce energie se pierde pe unitatea de lungime, dacă particulele sunt încărcate; cum sunt deviate din fascicul; cum sunt absorbite etc.

2. Ce se întimplă cu însăși substanță la trecerea radiatiei: ionizarea, apariția unor schimbări de structură, apariția unor izotopi radioactivi etc.

La trecerea radiatiei prin substanță, depinzind de felul particulelor putem avea interacții electromagnetice sau (și) nucleare. Tabloul interacției poate să fie destul de complex, dar în detectie ne vor interesa numai acele procese, care, în domeniul dat de energie al particulelor, duce la pierderea cea mai importantă de energie. Simplificările necesare pentru înțelegerea efectelor celor mai importante pentru detectie fiind diferite, vom menționa separat efectele radiatiei în substanță, pentru diverse tipuri de particule: 1. pentru particule încărcate sile, protoni, deuteroni, particule α , ioni; 2. pentru particule încărcate ușoare, electroni și pozitroni; 3. fotoni } ; 4. neutroni.

3.1. Trecerea particulelor încărcate grele prin substanță.

Considerăm o particulă grea, cu sarcină electrică (α , d , t , α , ion...) și cu energia de ordinul MeV. Această energie este cu câteva ordine de mărime mai mare decât energia de legătură a electronilor în atomii substanței. Pe de altă parte, electronii au masa de circa 1/1840 ori mai mică decât a unui proton (p). Tipurile de interacție pe care le poate suferi particula sunt:

1. interacția coulombiană cu electronii atomilor;
2. captura sau pierderea de electroni;
3. interacția electromagnetică cu nucleele (imprăștierea elastică Rutherford);
4. interacție tare cu nucleele (reacții nucleare).

Primele două procese conduce la ionizarea și excitarea atomilor substanței; în aceste interacții fascioul de particule grele încărcate pierde practic toată energia, celelalte două procese fiind mult mai puțin probabile. Mărimile ce caracterizează ionizarea și excitarea produsă de particulele încărcate sunt: [1], [2]

- pierderea de energie pe unitatea de lungime - $\frac{dE}{dx}$ (puterea de stopare);

- parcursul R ;

Precizări privind aceste mărimi găsiți și în lucrarea 1, "Detectarea radiatiei cu ajutorul emulsiilor nucleare".

Vom menționa însă câteva cifre. În aer, în condiții normale, o particulă α pierde la un act de ionizare circa 30 eV. Ea produce pe mm câteva mii de perechi ion-electron. Astfel parcursul în aer a unei particule α cu energie de câțiva MeV, este de ordinul centimetrelor. În substanță solidă parcursul va fi de aproximativ 10^3 ori mai scurt, adică de ordinul sutimilor de mm.

Traекторia particulelor grele se apropie de o dreaptă, dacă fiind că, la fiecare act de ionizare, practic particulele α , mult mai grele ca electronii, nu sunt deviate.

3.2. Interacția electronilor cu substanță.

Electronul, cu energia de câțiva MeV, la trecerea prin substanță, își poate schimba sensibil impulsul la fiecare ciocnire, putând fi imprăștiat la unghiuri mari, chiar la 180° . Principalele procese prin care electronul (pozitronul) interacționează cu substanță sunt următoarele [1]:

1. Interacția coulombiană cu electronii legați în atom în urma căror atomi sunt excitați și ionizați.

2. Imprăștierea elastică, coulombiană pe nuclee, în urma căruia electronul este puternic deviat; acest proces este responsabil pentru imprăștierea înapoi a electronilor din fascioul (backscattering); aceste ultime două procese sunt studiate în lucrările 2 și 3.

3. Imprăștierea inelastica coulombiană pe nuclee, cu emisia de radiație electromagnetică. Procesul este cu atât mai important cu cât numărul atomic al substanței este mai mare și energia electronilor mai mare.

4. Anihilarea pozitronului și electronului: procesul se petrece de obicei după ce pozitronul a fost înconjurat în substanță constă în emisia a două cuante γ de 0,511 MeV fiecare:

$$e^+ + e^- \rightarrow 2\gamma$$

La fel ca la particulele grele se definesc ionizarea pe unitatea de lungime (puterea de ionizare) și parcursul. În cazul electronilor sunt foarte importante efectele cuantice și relativiste; astfel la imprăștierea electronului pe electron apar efectele cuantice de schimb, iar electronul este considerat o particulă relativistă chiar la energii de ordinul keV.

În domeniul nerelativist, pentru una și aceeași viteză, pierderile prin ionizare sunt aproximativ aceleași pentru electroni și particule grele; pierderile pentru una și aceeași energie sunt proportionale cu masa particulelor; astfel pierderea de energie pe unitatea de lungime, pentru o particulă α , este de circa 7600 ori mai mare decât pentru un electron nerelativist, de aceeași energie.

Pierderile prin ionizare pentru particulele relativiste cu un eșec relativ slab cu energia electronilor. În schimb electronii încep să piardă energie prin împărțirea coulombiană inelastich (radiatia X). Pierderea de energie prin radiatia este cu atât mai importantă cu cât energia electronilor este mai mare și Z al substanței este mai mare. (proporționalitatea cu Z^2). Fig.1 reproduce aceste caracteristici ale pierderii de energie pentru electroni de diverse energii, în Pb.

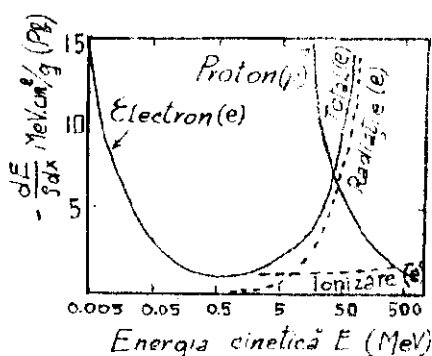


Fig.1 - Compararea pierderii de energie a electronilor prin ionizare și radiatia cu pierderea de energie a protonilor prin ionizare, în Pb.

În substanță, deși este de natură electromagnetică, se deosebește fundamental de interacția particulelor încărcate; fotonii, neavând sarcină nu suferă acțiunea forțelor coulombiene de distanță lungă. În electro-dinamica cuantică se arată că interacția fotonilor γ cu electronii are loc într-un domeniu de ordinul lungimii de undă a radiatiei, adică $10^{-13} - 10^{-14}$ m pentru $E_\gamma = 1$ MeV, cu trei ordini mai mic decât raza atomului. De aceea cuantele γ , trecind prin substanță, interacționează rar cu electroni, comparativ cu o particulă încărcată. Vom trece în revistă procesele prin care o cantă γ interacționează cu substanță, și în care apar electroni de energie mare. Amănunte privind acțiunea acestor procese găsiți în lucrarea (4) "Interacția radiatiei γ cu substanță".

1. Efectul fotoelectric este absorbiția unei cuante γ de către un atom, cu emisia unui electron. În urma acestui proces un electron capătă o energie cinetică, egală cu energia cuantei γ , minus energia de legătură. Atomul rămas excitat se dezexcită prin emisie de radiată și sau electroni Auger.

2. Efectul Compton este împrăștierea cuantelor γ pe electroni liberi; energia inițială se imparte între fotonul împrăștiat și electronul de recul.

3. Producerea de perechi este transformarea cuantei γ , într-o pereche particulă antiparticulă (electron - pozitron) în cimpul Coulombian al altrei particule. Energia cuantei γ se imparte în energiile de repaus a electronului și pozitronului și energiile cinetice ale acestora și a particulei, în cimpul căreia a avut loc transformarea; aceasta poate fi un nucleu sau, mai rar, un electron din substanță.

Aceste procese prezintă importanță pentru detectia radiatiilor γ , deoarece în toate cazurile apar electroni, care pot ioniza substanță. Din energia electronilor detectați se poate extrage și spectrul radiatiilor γ . (Vezi lucrarea "Spectrometria radiatiilor γ ").

Subliniem că, deoarece fotonii pot exista numai cu viteza luminii, nu se vorbește de incetinirea acestora în substanță; ei pot fi absorbiți în substanță (efect fotoelectric, efect fotonuclear) sau pot fi împăștiati la unghiuri mari cu mărirea lungimii de undă. Astfel pentru radiatiile γ nu definim pierderea de energie pe unitatea de lungime, sau parcursul. Pentru a caracteriza atenuarea unui fascicul de fotonii γ în substanță se introduce coefficientul de atenuare μ , definit ca probabilitatea ca un foton γ să interacționeze pe unitatea de lungime.

Atunci μdx este probabilitatea ca fotonul să interacționeze pe distanță dx . Dacă avem I fotonii, care ajung în unitatea de timp la stratul de grosime dx , din fascicul vor fi scoși, pe această distanță, $\mu I dx$ fotonii (Fig.2). Scăderea numărului de fotonii este:

$$dI = -\mu I(x)dx \quad (1)$$

Integratorul relația (1) cu condiția $I(x=0) = I_0$ obținem:

$$I = I_0 e^{-\mu x} \quad (2)$$

Mărimea:

$$e^{-\mu x} = \frac{I}{I_0} \quad (3)$$

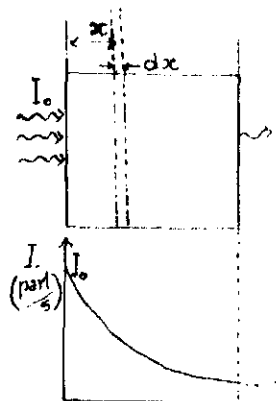


Fig.2 - Deducerea relației 2.

are semnificația probabilității ca un foton să străbată distanța x din substanță fără a fi absorbit. Evident:

$$1 - e^{-\mu x} = \varrho \quad (4)$$

este probabilitatea ca fotonul să fie absorbit pe distanța x , în substanță.

Deoarece atenuarea fascioului se dătoarează în principal proceselor fotoelectrice

Compton și formare de perechi:

$$\mu = \mu_e + \mu_f + \mu_p \quad (5)$$

Despre legătura coeficientului de absorbție μ sau secțiunile de producere a celor trei efecte și dependența sa de energia fotonilor și numărul atomic Z al substanței, consultați lucrarea 4, "Interacția radiatiilor cu substanță".

3.4. Tipuri de detectori.

~~Ionizarea provocată la interacția particulelor încărcate cu substanță este la originea altor efecte, cum ar fi emisia de lumină, schimbările chimice, variația rezistenței electrice etc., care stau la baza detectiei. Radiatiile γ sunt detectate dacă au apărut electroni încărcuți din efectele descrise în paragraful 3.3.~~

Cei mai utilizăți detectori în fizica nucleară și semnalul electric sunt trecuți în tabelul 1. Sunt menționate următoarele date: interacția care stă la baza detectiei, tipul de detector, particulele care sunt detectate și tipul semnalului obținut. În cazul particulelor nefișăcate, în paranteză se trăsă particulele secundare încărcate ce asigură detectia. Semnalul detectorului este fie sub formă de pulsuri, adică un

răspuns individual pentru fiecare particulă, fie un semnal proporțional cu numărul de particule ce intră în detector în unitatea de timp (current) sau un răspuns proporțional cu numărul de particule ce au intrat în detector într-un anumit timp (semnal integral).

Tabelul 1

Interacția	Detectorul	Particulele detectate	Semnalul
Ionizarea gazului	Camera de ionizare	$\beta, p, d, \alpha, n(F, \alpha), x(e), \gamma(e)$	puls, current, integral
	Contorul proporțional	$\beta, x(e), n(\alpha, p), \gamma(e)$	puls
	Contorul G-M	β, γ	puls
Ionizarea solidului	Detectori ou semiiconductori	$p, d, \alpha, \text{ioni}, n(F, \alpha), \gamma(e), x(e)$	puls, current
Fluorescență	Detectori ou scintilatori	$\gamma(e), \beta, \text{ioni}, n(p)$	puls

Deseori, vorbind de calitățile unui detector vom menționa eficacitatea de detectie, rezoluția energetică și timpul de rezoluție.

Eficacitatea. Numim eficacitate a detectorului (ϵ_d) raportul dintre particulele care au dat semnal înregistrabil la ieșirea detectorului și numărul de particule din cimpul de radiație care au intrat în zona sensibilă a detectorului. Pentru particulele încărcate eficacitatea este de obicei unitatea. Pentru fotonii γ , care pot străbate mediul detectorului fără a interacționa în zona sensibilă, eficacitatea este mai mică decât unitatea. Să estimăm eficacitatea unui fasciul colimat de

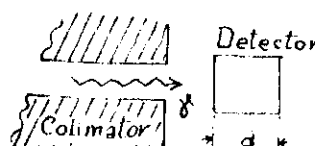


Fig.3 - Detectia cuantelor γ .

fotoni, care intră în zona sensibilă a unui detector, care are grosimea d (Fig.3). Eficacitatea, conform primei definiții, nu este altceva decât probabilitatea ca un foton să interacționeze în zona sensibilă a detectorului. Deci, din relația (4)

$$\epsilon_d = 1 - \exp(-\mu d) \quad (5)$$

Lda. 68/982 fasc 3

De obicei, în cazul cuantelor γ , cu energii mai mari de ordinul sutele de keV, chiar în cazul utilizării unor detectoare solizi (semiconducatori sau scintilatori), $\mu d \ll 1$ și exponențiala din (5) poate fi descompusă în serie, oprindu-ne la primii doi termeni. Atunci:

$$\mathcal{E}_d \approx \mu d \quad (6)$$

Rezoluția energetică. Energia este cheltuită de particulele încărcate în mediu detectorilor menționați în tabelul 1, mai ales în procesele de ionizare și excitare. În felul acesta detectorul transformă energia particulei în semnal electric. De exemplu, să presupunem că mediul sensibil este un gaz pus într-un cimp electric. În urma ionizării se produc sarcini electrice, ioni și electroni, care se vor deplasa în cimp. Dacă detectorul este legat în serie cu o rezistență de sarcină R (fig.4), curentul apărut la deplasarea sarcinilor în cimp va determina un puls de tensiune pe rezistență R . Această puls poate fi înregistrat cu o electronică adecvată. Să presupunem că un detector cu gaz înregistrează particule α cu energia de 1 MeV. La fiecare act de ionizare particula încărcată pierde energie de ionizare $w \approx 30$ eV.

Se vor produce astfel aproximativ

$$N = \frac{E_d}{w} \approx 3,3 \cdot 10^4 \text{ ioni}$$

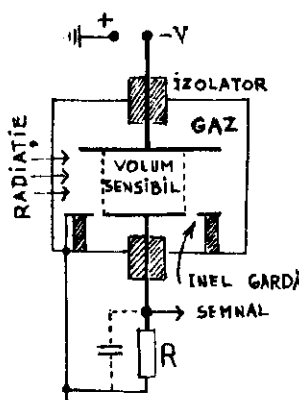


Fig.4 - Schema unei camere de ionizare

Pentru o particulă α de 1 MeV numărul de perechi electron-gol este aproximativ $3,3 \cdot 10^5$ perechi.

In cazul detectoarelor cu scintilatori ionizarea și excitarea mediului conduce pînă la urmă la o emisie de lumină (fluorescență), care este transformată în semnal electric cu ajutorul unui fotomultiplicator.

Emisia de lumină în scintilator este de obicei în domeniul vizibil sau ultraviolet. Astfel, în medie, pentru producerea unui astfel de foton într-un scintilator NaI (Tl) particula cedează o energie $w \approx 300$ eV. Reluind exemplul unei particule încărcate cu energie de 1 MeV, în scintilator se produc circa 3300 fotoni (care apoi pot fi convertiți în electroni prin efect fotoelectric pe o photocatodă).

In toate cazurile menționate energia particulelor a fost transformată în semnal electric (în cazul detectoarelor din fig.4, în puls de tensiune pe rezistență R). Amplitudinea acestui puls este de obicei proporțională cu numărul de purtători de sarcină produsi în regiunea sensibilă a detectoarelor, deci cu energia particulei. Cu toate acestea chiar dacă iradiem substanța detectoarelor cu particule monoenergetice, amplitudinea pulsurilor de tensiune V nu este pentru fiecare particulă aceeași, ci ascultă de distribuția Gauss. Aceasta înseamnă că probabilitatea ca un puls să aibă valoarea între V și $V + dV$ este dată de expresia:

$$\rho(V)dV = \frac{1}{\sigma\sqrt{2\pi}} \exp \left[\frac{-(V-\bar{V})^2}{2\sigma^2} \right] dV \quad (7)$$

unde \bar{V} este valoarea medie iar σ poartă numele de eroare absolută sau abatere standard a amplitudinii V . Funcția $\rho(V)$ poartă numele de densitate de probabilitate și este reprezentată în fig.5. Lărgimea la semiînălțime a acestei curbe o notăm cu ΔV . Numește rezoluție energetică raportul dintre semilărgimea ΔV la semiînălțimea distribuției semnelor și amplitudinea medie \bar{V} a semnelor. Decoarece $\bar{V} \sim E$ putem scrie:

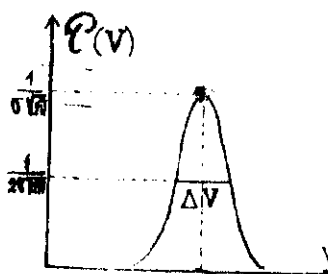


Fig.5 - Distribuția Gauss a amplitudinii pulsurilor unui detectoare.

$$\eta = \frac{\Delta V}{\bar{V}} = \frac{\Delta V}{V} = 2,36 \frac{\sigma}{V} \quad (8)$$

Să încercăm să motivăm unele din cauzele pentru care se obține o eroare absolută a amplitudinii de semnal V .

In primul rînd, dacă considerăm independente actele de producere a purtătorilor de sarcină (ioni și electroni în gaz, electroni și goluți în semiconducțori), sau a fotonilor în scintilator, numărul acestora N se supune distribuției Poisson, și deci abaterea standard va fi \sqrt{N} (vezi relațiile 8, 10 și 11 din capitolul 2 "Prelucrarea datelor experimentale".

Deoarece numărul de purtători $N = \frac{E}{w}$, unde E este energia particulei și w este energia pierdută pentru producerea unei perechi de purtători, obținem că rezoluția energetică trebuie să fie:

$$\eta = \frac{\Delta E}{E} \geq 2.36 \frac{\sqrt{N}}{N} = 2.36 \sqrt{\frac{w}{E}} \quad (9)$$

Factorii care conduc la înrăutățirea acestei rezoluții sunt zgomotul detectorului și zgomotul electronic. De exemplu, în cazul detectorilor cu scintilatori la înrăutățirea rezoluției contribuie: eroarea absolută a coeficientului de conversie a fotonilor în fotoelectroni, eroarea absolută a factorului de multiplicare a electronilor pe diode, zgomotul fotomultiplicatorilor etc.

In cazul în care actele de ionizare nu pot fi considerate strict independente, eroarea absolută a numărului de purtători este mai mică decât \sqrt{N} . Se introduce obicei un factor de corecție $F < 1$, numit factorul Fano, care este raportul dintre dispersia experimentală a numărului de purtători σ_e^2 și dispersia teoretică $\sigma^2 = N$. În felul acesta relația (9) devine

$$\eta \geq 2.36 \sqrt{\frac{Fw}{E}} \quad (10)$$

Pentru camerele de ionizare factorul lui Fano este de ordinul lui 0,7, pentru detectorii cu semiconducțori $\sim 0,1$ iar pentru scintilatori 1.

Rezoluția temporală. Numim temporă intervalul de timp minim dintre începutul unui semnal electric produs la ieșirea detecto- rului și primul semnal ulterior care poate fi din nou înregistrat.

Să presupunem că un detector este utilizat pentru înregistrarea simplă a particulelor din cimpul de radiație. Semnalul detecto- rului este pre-

lucrat (vezi cap. 14 "Electronica nucleară" fig. 2) de un preamplificator și un amplificator și este analizat cu ajutorul unui discriminator; înregistrarea se face cu un numărător. La orice astfel de sistem există un timp Θ , timpul mort, care trebuie să urmeze unui puls, cît alt semnal, provoacă în detector de o particulă a cimpului de radiație, nu mai poate fi rezolvat. Distingem două tipuri limită de instalații. Tipul I paralizabil, în care o a doua particulă sosită pe detector, într-un interval mai mic decât Θ , extinde timpul mort cu înălță un interval Θ ; tipul II, neparalizabil, unde un al doilea eveniment apărut în intervalui lui Θ nu are nici un efect. Un exemplu de tip I de aparatură este contorul Geiger-Muller (vezi paragraful 35), celelalte tipuri de detector fiind în general de tipul II. Felul cum sunt numărate particulele la cele două tipuri de detectori este sugerat de fig. 6

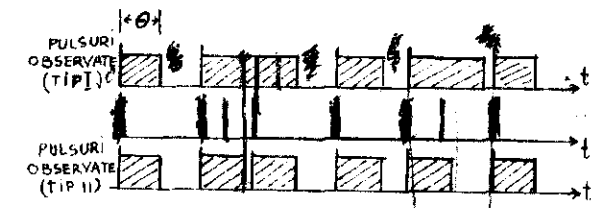


Fig. 6 - Timpul mort al aparaturii paralizabile și neparalizabile.

Presupunem că înregistrarea evenimentelor unui proces nuclear se supune distribuției Poisson. Probabilitatea ca un eveniment să apară în intervalul dt este $R dt$ unde R este viteza de numărare. Probabilitatea de a observa un eveniment între t și $t + dt$ este $R \exp(-Rt)dt$. Aceasta este și distribuția intervalelor de durată t , între două evenimente. Dacă considerăm un număr mare de intervale R în unitatea de timp, numărul de intervale cu durată între t_1 și t_2 este:

$$r = R \int_{t_1}^{t_2} R \exp(-Rt)dt = R[\exp(-Rt_1) - \exp(-Rt_2)] \quad (11)$$

Numărul de intervale în unitatea de timp mai mare ca Θ va fi pentru tipul II de detectori, viteza de numărare r : dacă $t_1 = \Theta$ și $t_2 = \Theta$ din (11)

obținem:

$$r = R \exp(-R\theta) \quad (12)$$

Pentru cazul $R\theta \ll 1$, după descompunerea exponențială (12) în serie obținem:

$$r \approx R(1-R\theta) \text{ sau } R \approx r(1+r\theta) \quad (13)$$

Tipul II de aparatură nu funcționează o durată θ după fiecare puls. Dacă viteza de numărare observată este r , fractiunea de timp mort dintr-o secundă este $r\theta$, iar fraciunea de timp în stare de funcționare este $1-r\theta$. Raportul dintre viteza de numărare reală și cea observată este:

$$\frac{r}{R} = 1 - r\theta \text{ sau } R = \frac{r}{1-r\theta}$$

în cazul $R\theta \ll 1$, se descompune în serie $1/(1-r\theta)$ și se obține tot relația (13), $R = r(1+r\theta)$.

Astfel cunoșcind timpul mort θ al unei instalații pe baza relației (13) putem determina viteza de numărare R , din viteza r observată.

Comportarea celor două tipuri de aparatură este arătată în fig.7. Reprezentarea are un maxim pentru $R\theta = 1$ și apoi descrește la zero, pentru aparatura paralizabilă, fapt ce este nedovit la viteze mari de numărare. Timpul mort al echipamentului electronic al detectorului este măsurat cu ajutorul unui generator de semnale duble. Timpul mort

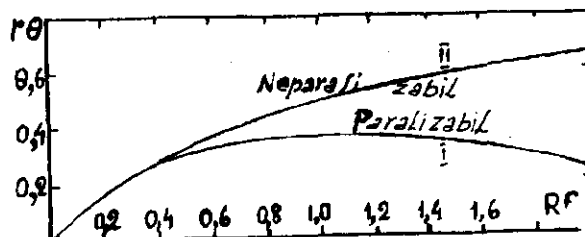


Fig.7 - Comportarea aparaturii paralizabile și neparalizabile.

al detectorului și al electronicii se determină de obicei prin metoda celor două surse.

Să presupunem că măsurăm vitezele de numărare a două surse într-o geometrie constantă: r_1 este viteza de numărare a primei surse; r_2 viteza de numărare a celei de-a doua surse și r_{12} viteza de numărare cind sursele se află ambele în fața detectorului. Atunci vitezele de numărare adevărate vor fi legate de vitezele de numărare observate prin relația (13)

$$\begin{aligned} R_1 &= r_1 + r_1^2 \theta - F \\ R_2 &= r_2 + r_2^2 \theta - F \\ R_{12} &= r_{12} + r_{12}^2 \theta - F \\ R_{12} &= R_1 + R_2 \end{aligned} \quad (14)$$

Pentru vitezele de numărare măsurate s-a făcut în relațiile (14) corecția de fond, F fiind numărul de pulsuri înregistrat de instalație în absența oricărei surse. Eliminând din ecuațiile (14) mărimile R_1 , R_2 , R_{12} obținem:

$$\theta = \frac{r_1 + r_2 - r_{12} - F}{r_{12}^2 - r_1^2 - r_2^2} \quad (15)$$

Pentru detectorii cu scintilatori, folosite în laborator timpul θ este de ordinul 10^{-6} sec, astfel că pentru viteze de numărare sub 10^3 pulsuri pe secundă corecția (13) nu are rost să fie făcută.

In paragrafele următoare vom prezenta mecanismul de transformare a energiei particulelor cu sarcină, în pulsuri electrice, de către detectorii din tabelul 1.

3.5. Detectorii cu gaz.

Așa cum am menționat zona sensibilă a acestui detector este spațiul dintr-o înaintă umplută cu gaz, aflat între doi electrozi, cu geometrie plană ca în fig.4 sau cu geometrie cilindrică ca în fig.8.

Particulele cu sarcină electrică și energie suficientă, care pătrund în regiunea sensibilă dintre electrozi ionizează gazul. Ionii și electronii, care s-au format în perechi se deplasează în cimpul electric

iar în circuitul detectorului ia naștere un curent. În funcție de tensiunea aplicată pe electrozi, detectorii cu gaz își schimbă proprietățile. În fig.9 este reprezentat numărul de perechi de ioni colectat în funcție de tensiunea aplicată pe un detector cu gaz carecăre. Curba 1 este pentru particule care produc în medie, fiecare, N_1 perechi ion-electron în gaz, iar curba 2 este pentru particule cu energie cinetică mai mare, care produc N_2 perechi de ioni. În regiunea I cimpul nu este suficient de intens și o parte din perechile ion-electron se recombină, înainte ca să fie separate și purtătorii de sarcină colectați. În regiunea II cimpul electric asigură colectarea sarcinilor dela perechile N_1 (sau N_2): este regimul camerei de ionizare. În regiunea III electronii capătă în cimpul electric energie cinetică suficientă, astfel încât să producă ionizări secundare. Sarcina inițială, apărută la ionizarea primară, este multiplicată. În prima parte a regiunii III coeficientul de multiplicare rămâne constant pentru o anumite diferență de potențial și numărul total de ioni colectați este proporțional cu numărul de ioni primari (N_1 sau N_2). Detectorul lucrează în regim de contor proporțional și coeficientul de multiplicare poate fi între 10^2 și 10^4 , sau mai mare.

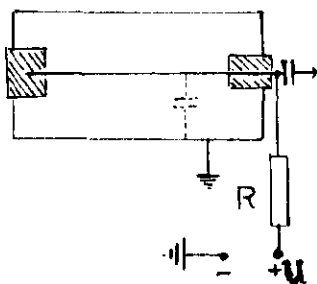


Fig.8 - Detector cu ionizare în gaz (geometrie cilindrică a electrozilor)

de ion. În regiunea I cimpul nu este suficient de intens și o parte din perechile ion-electron se recombină, înainte ca să fie separate și purtătorii de sarcină colectați. În regiunea II cimpul electric asigură colectarea sarcinilor dela perechile N_1 (sau N_2): este regimul camerei de ionizare. În regiunea III electronii capătă în cimpul electric energie cinetică suficientă, astfel încât să producă ionizări secundare. Sarcina inițială, apărută la ionizarea primară, este multiplicată. În prima parte a regiunii III coeficientul de multiplicare rămâne constant pentru o anumite diferență de potențial și numărul total de ioni colectați este proporțional cu numărul de ioni primari (N_1 sau N_2).

Detectorul lucrează în regim de contor proporțional și coeficientul de multiplicare poate fi între 10^2 și 10^4 , sau mai mare.

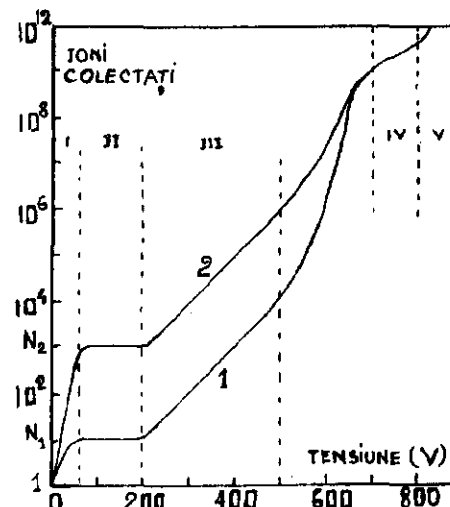


Fig.9 - Numărul de ioni colectați în funcție de tensiunea aplicată pe detectorul cu gaz.

În regiunea a IV-a la anod se produce o avalanșă de ioni, datorită ionizărilor secundare numeroase și dependență de ionizarea primară se pierde. Aceasta este regiunea contorului Geiger-Müller. Pentru tensiuni mai mari contorul intră în regim de descărcare continuă și poate fi distrus.

Pentru măsurarea în cele mai bune condiții a energiei particulei, în cazul în care detectorul lucrează în regiunea II, este necesar ca toți electronii și ionii să ajungă la electrozii camerei. Această colectare totală este impiedicată de două procese: 1) difuzia electronilor și ionilor determinată de agitația termică a gazului; 2) recombinarea, adică procesul formării de atomi neutri prin cicoonirea ionilor pozitivi și a ionilor negativi, și mai puțin probabil a ionilor pozitivi cu electronii; ionii negativi se formează la cicoonirea electronilor cu atomii sau moleculele unor substanțe din gaz. Influența acestor două procese este puternică în regiunea I de lucru a detectorului (fig.9); în regiunea II, cimpul este suficient ca efectele recombinării și difuziei să devină neglijabile. Pentru ca un electron să producă ionizări secundare, cimpul trebuie să fie suficient de intens pentru ca între două cicooniri, el să capte energie suficientă pentru ionizarea gazului. În configurațiile cilindrice de detectori (fig.8) cimpul electric are în preajma firului central, dacă acesta este foarte subțire, valori apreciabile și condiția menționată anterior poate fi îndeplinită, pentru diferențe de potențial de numai câteva sute de volți. Astfel, aceste geometrii sunt preferate pentru contorii proporționali și contorii G - M.

Coefficienții mari de amplificare fac să apară în timpul ionizării un mare număr de ioni, a căror viteză de transport fiind mai mică cu circa trei ordine de marime decât a electronilor, înconjură anodul (firul central, în geometria cilindrică) și astfel intensitatea cimpului electric scade. La proiectarea contorilor proporționali se estimează limita permisă pentru factorul de multiplicare, pentru care nu avem o

scădere a cimpului care se dă în o redare marcată a însemnă factorul de multiplicare.

În schimb, la detectorii G. - M., unde nu avem măsuratori de amplitudine a semnalului, scăderea cimpului în timpul multiplicării este folosită pentru stingerea descărăcării în contor.

Procesul ionizării secundare nu este singurul care determină multiplicarea electronilor într-un detector cu gaz. O ionizare suplimentară se obține datorită fotonilor emisi de către atomii și moleculele excitate. Fotonii pot veni din gazul din cameră și mai ales din electrozii metalici, electroni prin efect fotoelectric. Să presupunem că fiecare electron primar produce M electroni secundari și lăsă un număr de molecule exitate care vor emite fotonii, să notăm cu β probabilitatea ca la fiecare electron secundar să apară un fotoelectron. Atunci multiplicarea totală a electronilor va fi:

$$M_t = M + M^2 \beta + M^3 \beta^2 + \dots = \frac{M}{(1-\beta)}$$

Pentru $M\beta \rightarrow 1$, $M_t \rightarrow \infty$ și avem o descărcare în tot volumul gazului (reuniunile IV și V din fig.9).

~~3.6. Detectorii cu semiconductori.~~ În semiconductori atomii sunt fixați în nodurile rețelei cristaline; radiația incidentă produce electroni și goluri și semnalul este obținut în procesul de colectare al acestor purtători de sarcină, de plăcile unui condensator. Față de detectorii cu gaz avantajele sunt deosebite: în volumul sensibil este o masă mult mai mare, rezoluția temporală și energetică a detectorilor este mult mai bună. Calitățile acestor detectori sunt determinate de următoarele proprietăți:

1. energia medie necesară pentru producerea unei perechi electron - gol este de circa 3 eV;
2. se poate elimina recombinarea și captarea purtătorilor;
3. viteza de transport mare a purtătorilor de sarcină;
4. trebuie asigurată o rezistență specifică mare în condiții de

puritate deosebită a materialului semiconductor (impurități mai puține de 1 atom la 10^9).

Dificultățile de purificare foarte înaltă nu au permis decât realizarea unor detectori de Ge pur, răciti la temperatură de 78°K , utilizati pentru detecția radiațiilor X și γ moi.

Pentru a înțelege apariția acestor purtători, să amintim cîteva noțiuni legate de fizica semiconducțořilor. Atomii de siliciu și germaniu sunt tetravalenți astfel că, legătura în cristal se realizează prin punerea în comun a cîte patru electroni de către fiecare atom. Prin apropierea atomilor între ei se nasc forțe de interacție care duc la despicarea nivelelor de energie: în rețeaua cristalină, în locul unor nivele energetice apar zone (benzi) de energii posibile și interzise pentru electroni. Putem spune că electronii din astfel zone aparțin cristalului în întregime. Electronii fiind particule cu spinul $1/2$, se supun principiului de excludere a lui Pauli și pot ocupa o zonă în număr determinat.

Ultimale două zone în cristalul pur, reprezentate în fig.10, sunt zona de conduction și zona de valență, separate printr-o zonă interzisă de lărgime E . La temperatură $T = 0^{\circ}\text{K}$ zona de valență este complet ocupată, iar zona de conduction este complet liberă. În condițiile aplicării unui cimp electric, currentul nu circulă. La temperaturi diferite de 0°K unii electroni, datorită agitațiilor termice, a-

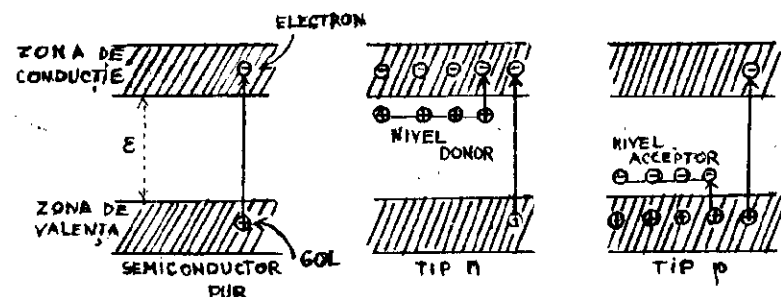


Fig.10 - Schemele energetice ale semiconducțořului pur, cu imparități de tip n și impurități de tip p; E = lărgimea zonei interzise.

jung în zona de conductie. În zona de valență rămân goluri și ceilalți electroni din această zonă au posibilitatea în cimp electric să se deplaseze în locurile libere. Deci la aplicarea unui cimp avem un curent asigurat în mod egal de deplasarea electronilor în cimp, din zona de conductie și a golurilor din zona de valență.

In cazul trecerii unei particule de energie mare prin cristal, se produc, datorită ionizării, electroni, care la rîndul lor pot ioniza și scoate electroni din diverse benzi energetice. În primul stadiu, care durează un timp de 10^{-12} sec., cîrk este și frînată particula încărocată în cristal, în zona de conductie apar electroni și în zona de valență goluri. În al doilea stadiu, ca rezultat al interacțiilor în interiorul cristalului, electronii ajung la baza zonei de conductie și golurile la virful zonei de valență într-un interval de 10^{-12} sec.

Energia de ionizare este comparabilă cu lărgimea zonei interzise. Pentru ca la colectarea golurilor și electronilor proveniți din ionizare să avem un semnal care să se deosebească net de zgomotul termic, trebuie ca rezistența specifică a semiconductorului să fie foarte mare de ordinul a $10^9 \Omega \text{ cm}$. O asemenea cerință, chiar la detectorii răciți este greu de realizat pentru cristalele reale care au defecte și impurități. Într-un cristal cu impurități pentavalente, impurități donoare, apar nivele permise pentru electroni în preajma zonei de conductie.

Electronii pot trece ușor de pe aceste nivele în zona de conductibilitate și astfel conductia este asigurată de către electroni; semiconductorul se numește de tip N. Dacă în cristalul de siliciu sau germaniu există impurități trivalente, se crează nivele permise, pe care se pot capta electroni în preajma zonei de valență. În banda de valență rămîn goluri. Semiconductorul conținind impurități trivale este de tip "p" și curentul predominant este de goluri (fig.10 a).

Mărimea rezistivității pentru detectorii cu semiconductor se realizează prin două metode: 1. cu jonoțiuni n,p polarizate invers; 2. să se producă o compensare a impurităților în semiconductor și acesta să fie ținut la temperatură scăzută.

Detectori cu jonoțiune n,p. Jonoțiunea se realizează în modul următor: într-un cristal de siliciu cu slabe impurități de tipul p, se injecteză pe o față impurități de tipul n; se zice că dopăm semiconductor. Se crează un strat subțire cu grosimea $0,1 \mu\text{m}$, semiconductor de tip n^+ , în contact cu un semiconductor de tipul p. Din cauza concentrației diferite a purtătorilor, electronii în porțiunea n și goluri în porțiunea p, se produce la contact o difuzie a electronilor înspre regiunea p și o difuzie a golurilor înspre regiunea n. Apare astfel un salt intern de potențial, care crează o regiune sensibilă, foarte subțire, de ordinul 10^{-4} cm a semiconductorului, sărăcită de purtători; la trecerea prin ea a unei particule se produc perechi de electron - gol care se deplasează, sub acțiunea cimpului electric, dînd semnal în circuitul exterior

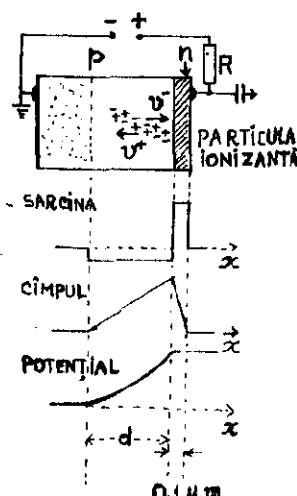


Fig.11 - Sarcina, cimpul și distribuția de potențial într-o diodă polarizată invers.

unde N este numărul ionilor acceptori în unitatea de volum, ϵ constanta dielectrică a semiconductorului și e

$$\frac{d^2u}{dx^2} = \frac{N}{\epsilon}$$

sarcina elementară. Integrind cu condițiile $U(0) = 0$ și $\frac{dU(x)}{dx} = 0$ obținem

$$U(x) = \frac{eN_a x^2}{2} \quad (16)$$

Pentru $x = d$, $U = U_1 + U_0$, unde U_1 este tensiunea inversă aplicată și U_0 este saltul intern de potențial.

Cu aceste condiții putem din (16) să scoatem valoarea zonei sensibile d:

$$d = \sqrt{\frac{2\varepsilon(U_1 + U_0)}{eN_a}} \approx \sqrt{\frac{2\varepsilon U_1}{eN_a}} \quad (17)$$

In laborator se va folosi pentru detecția particulelor β , la lucrarea de spectrometrie. Un detector juncțiune, p⁺,n, numit cu strat barieră, care se realizează în felul următor. Siliciul de tip n, expus la aer se oxidează. Un strat foarte subțire de Au este aplicat peste această suprafață. Stratul de oxid acoperit cu aur are caracteristicile unei păburi de tip p⁺, aurul jucând un rol important în crearea acestei regiuni. Cealaltă parte, care se pozitivează, este aluminizată. Detectorii aceștia, cu rezoluția foarte bună energetică și temporală, utilizati la detecția particulelor grase încărcate și a electronilor de mică energie, se realizează cu grosimi sensibile între 50 μm și 2000 μm . În utilizarea lor trebuie luate însă precauții deosebite, mecanice și electrice; electronică de preluare a semnalelor este specială, pentru a nu se înrăutăți rezoluția energetică a detectorilor.

Detectorii n-i-p- Pentru detecția cantelor X și γ trebuie realizate zone sensibile mai mari. Formula (17) ne sugerează că o maximă a zonei sensibile d se poate realiza prin reducerea sarcinii spațiale N_a . Introducerea unor donori electric activi într-un semiconducator de tip p va face ca cristalul să devină "intrinsec" în sensul că, curentul va fi de goluri și de electroni în mod egal. Introducerea acestor donori se face de obicei prin difuzia ionilor de Li în cristale de Ge sau Si de tip p. Detectorii se mai numesc cu litiu driftat.

3.7. Detectori cu scintilatori

Un detector cu scintilator constă dintr-o substanță fluorescentă (scintilatorul) în contact optic cu un fotomultiplicator (fig.12). La trecerea unei particule ionizante prin scintilator o parte din energia acesteia se convertește, după un lanț de procese, în energie luminoasă. Scintilatorul este astfel ales încât să fie transparent la propria sa emisie de lumină.

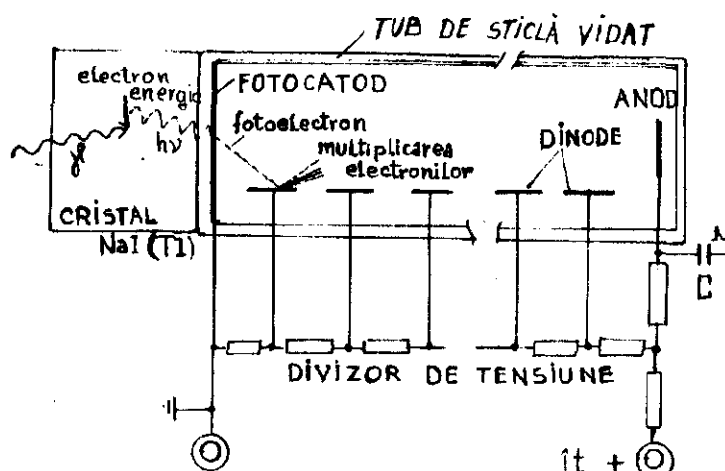


Fig.12 - Sistemul scintilator-fotomultiplicator

a) Scintilatorul. Cei mai utilizați scintilatori pentru detecția radiațiilor nucleare sunt: scintilatorii anorganici, cum ar fi iodurile alcaline și ZnS, cu adăugiri de impurități active; cristale organice din hidrocarburi aromate foarte pure; diversi compuși organici, dizolvăți în hidrocarburi aromate lichide; compuși organici dizolvăți în soluții solide de hidrocarburi aromate cu plastici.

Cristalele anorganice cele mai utilizate sunt iodurile alcaline, cum ar fi cele de NaI activate cu Tl. Cristalele de NaI(Tl) au o eficacitate de conversie a energiei particulei în energie luminoasă ridicată și se pot obține cu dimensiuni relativ mari. Timpul mediu de scintilație este de ordinul a 230 nsec.. Cristalele se cresc în vid și sunt ținute permanent închise pentru că sunt foarte higroscopicice. Ambele tipuri de

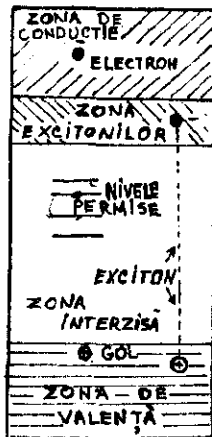
cristale sunt folosite în special pentru detecția radiațiilor gama căci elementele componente au Z mare. Iodura de $\text{LiI}(\text{Eu})$ este utilizată în detecția neutronilor lenti în reacția $^{6}\text{Li}(n,\alpha)^{3}\text{H}$.

Să expunem calitativ procesele fizice ce se petrec în cristalele ionice, de tipul $\text{NaI}(\text{Tl})$, la trecerea prin cristal a unei radiații ionizante. În fig.13 se prezintă zona de valență ocupată complet de electroni; zona interzisă, zona de excitare și zona de conductie.

În interiorul zonei interzise se află nivele discrete de energie, permise pentru electroni și care sunt determinate de stările ionilor activi (în cazul nostru Tl) și alte impurități. În halogenurile alcaline lărgimea zonei interzise este de circa 7 eV și lărgimea zonei excitate de circa 1 eV. La trecerea unei particule încărcate prin cristal electronii primesc suficientă energie pentru a trece în zona de conductie.

Fig.13 - Zonele energetice ale unui cristal de halogenură alcalină cu impurități activatoare.

In zona de valență rămân goluri; fenomenul este de ionizare. Un alt proces posibil este excitarea; electronul primește o energie suficientă pentru a ajunge în zona de excitare, dar rămâne legat de gol (excitonul). Recombinarea golurilor și electronilor din zona de conductie se petrece relativ lent, iar, la anihilarea excitonului, spectrul de emisie coincide cu spectrul de absorbție și cristalul e netransparent pentru această radiație. Captarea purtătorilor de către nivelele datorate impurităților (activatorilor) conduce la apariția fotonilor a căror energie este mult mai mică decât lărgimea zonei interzise. Spectrul acestor fotoni este în afara spectrului de absorbție. De prezența nivelor energetice ale ionilor activatori se leagă astfel și mecanismul principal de scintilație.



Scintilatorii organici cei mai utilizati sunt hidrocarburile aromatice în formă cristalină pură (antracenul și stilbenul) sau hidrocarburile aromatice cu diversi dizolvanți în amestec solid sau lichid. Pentru scintilatorii organici este caracteristic un timp mediu de scintilație mai scurt ca la scintilatorii anorganici, de ordinul 10^{-8} - 10^{-9} sec. Conținutul mare de hidrogen al acestor cristale le face potrivite pentru detecția neutronilor.

b) Fotomultiplicatorul și acordul scintilator-fotomultiplicator

Să urmărim procesele ce se întimplă în a doua parte a detectorului și anume în fotomultiplicator. Fotonii de lumină aparținând scintilatorului cad pe un strat metalic, numit photocatodă din care smulg electroni prin efect fotoelectric. Sub acțiunea unui cimp electric fotoelectronii sunt îndreptați spre niște electrozi numiți dinode, unde are loc emisia secundară de electroni; electronul incident, cu energie de 100-200 eV smulge din dinodă patru sau mai mulți electroni, care se vor multiplica pe dinodele următoare și.a.m.d. Între photocatod, dinode și anodul se colecteză sarcina astfel multiplicată și se divide o diferență de potențial care poate varia între 1000 și 2500 V. Multiplicarea sarcinii inițiale este de ordinul 10^4 - 10^8 ori. În felul acesta se naște un puls electric care este înregistrat de electronică adecvată.

Scintilatorul este cuplat optic cu fotomultiplicatorul cu ajutorul unei unsori anorganice. Firmele producătoare dau indicații privind diametrul photocatodului, sensibilitatea spectrală, curentul de intuneric, multiplicarea, rezoluția temporală și rezoluția amplitudinii semnalului.

De obicei catodul semitransparent este depus prin evaporare pe partea interioară a fototubului. Sensibilitatea spectrală depinde de materialul catodului și transmisia ferestrei tubului. Tipul de photocatod este indicat de obicei cu ajutorul literei S, urmată de un număr. De ex.: S 11 = o photocatodă de cesiu cu antimoniul (Cs, Sb) depusă pe sticlă; lungimea de undă minimă 3500 Å.

O photocatodă este caracterizată prin eficacitatea cuantică $\eta(\lambda)$, care se definește ca raportul dintre intensitatea curentului photocatodului și energia fotonilor cu lungimea de undă λ ce cad în unitatea de timp pe photocatod. $\eta(\lambda)$ se exprimă în A/W sau electron/cuantă

$$1 \text{ A/W} = \frac{hc}{e\lambda} \frac{\text{electron}}{\text{foton}} = \frac{1,2410^{-6}}{\lambda \text{ (m)}} \frac{\text{electron}}{\text{foton}}$$

Eficacitatea de conversie a photocatodului C_p se leagă de intensitatea spectrală a sursei (în cazul nostru scintilatorul) prin relația

$$C_p = \frac{\int I(\lambda) \eta(\lambda) d\lambda}{\int I(\lambda) d\lambda} \quad (\frac{A}{W})$$

unde $I(\lambda)$ este intensitatea spectrală a scintilatorului.

Dacă intensitatea spectrală și eficacitatea cuantică au domenii de lungimi de undă care se suprapun în ceea mai mare parte, atunci eficacitatea de conversie C_p are o valoare mare și se spune că avem un acord bun scintilator-fotomultiplicator.

Observație: La o iluminare intensă sub tensiune, ionii de Cs se îndepărtează de la suprafața catodului și energia de extracție a electronilor la suprafața stratului fotosensibil crește. Photocatodul își poate totuși recăpăta după un timp de "odihnă" sensibilitatea. De aceea este necesar ca fotomultiplicatorul să fie complet eoranat față de lumină din încăpere, în timpul cât pe el se aplică tensiunea.

Multiplicarea pe sistemul de dinode. Tensiunea U_0 aplicată pe fotomultiplicator se divide între anod și catod pe un sistem de $n=8 \div 12$ dinode. Ca rezultat al emisiei secundare, pe o dinodă, fiecare electron se multiplică de δ ori. De obicei coeficientul δ crește cu diferența de potențial între două dinode, stingând un maxim pentru valoarea U_m . Coeficientul de multiplicare are expresia

$$\mathcal{M} = \delta^n$$

Pentru o emisie a photocatodului de ordinul a 10^{-9} A și pentru amplificare obișnuită $\mathcal{M} = 10^6$, curentii la anod ating valoarea 1mA; aceasta

conduce la crearea unei sarcini spațiale suficiente ca, prin capacitatele parazite să influențeze diferența de potențial între ultima dinodă și anod. De aceea, uneori se preferă ca semnalul spectrometric să fie cules de pe ultima dinodă.

Vom enumera pe scurt sursele de zgomot.

Emisia termoelectronică a photocatodei și dinodelor este cea mai importantă sursă de zgomot. Pentru $20^\circ C$, 1 cm^2 dintr-o photocatodă Cs-Sb, emite cam 10^5 electroni/sec., ca rezultat al termoemisiei. La o suprafață de 5 cm^2 avem la ieșire circa $5 \cdot 10^5$ pulsuri/sec. cu amplitudinea de ordinul $10^{-6} C$, unde M este factorul de multiplicare și C este capacitatea de ieșire. Amplitudinea aceasta este în general foarte mică în comparație cu amplitudinea pulsurilor provocate de radiație. Deoarece emisie este întimplătoare există o probabilitate finită ca să fie emisi mai mulți astfel de electroni. Viteza de numărare a pulsurilor de fond depinde de constanta de timp la ieșirea fotomultiplicatorului și scade rapid la amplitudini mari.

Fluctuațiile curentului de scurgere prin rezistență izolațiilor între anod și catod este o altă sursă de zgomot. Aceste surse de zgomot pot concura cu emisia termoelectronică, la coeficienți de multiplicare sub 10^4 .

Emisia la rece a sarcinilor din virfurile ascuțite poate fi importantă în cazul unor cimpuri intense.

Alte surse sunt ionizarea gazelor remanente din tub și emisia β a ^{40}K , care intră în componența sticlei.

De obicei la o temperatură normală, în special datorită emisiei termoelectronice, nu pot fi detectate radiațiile cu energie sub 10 keV.

c) Numărul de electroni ce sunt colectați de anod este dat de relația:

$$N_c = N_p M$$

unde N este numărul de fotoni ce apar în scintilator, "p" este proba-

bilitatea ca un foton să producă un fotoelectron, care să ajungă pe prima dinodă și M este factorul de multiplicare. Dacă considerăm toți acești factori independenți rezoluția energetică este:

$$\frac{\Delta E}{E} = 2,36 \sqrt{\frac{U_N^2}{N^2} + \frac{U_p^2}{p^2} + \frac{U_A^2}{M^2}}$$

O prelucrare a ultimei relații conduce la expresia:

$$\frac{\Delta E}{E} = 2,36 \sqrt{\frac{U_p^2}{p^2} + \frac{1+p(\delta-1)}{N_p(\delta-1)}}$$

Dacă N este proporțional cu energia particulei E . Expressia (4) poate fi pusă sub forma:

$$\frac{\Delta E}{E} = \sqrt{C_1 + \frac{C_2}{E}} \quad (5)$$

Dispersia \bar{U}_t pentru timpul t^* dela intrarea particulei în detector și pînă cînd semnalul la ieșirea din amplificator atinge o anumită valoare de prag V_p , depinde de mai mulți factori cum ar fi: caracterul statistic al apariției fotoniilor în scintilator; imprăștierea în timp a sosirii fotoniilor pe photocatodă; imprăștierea duratei deplasării electronilor în fotomultiplicator; fluctuațiile temporale care privesc excitarea cristalului. Pentru amănunte să se consulte lucrările din bibliografie.

Detectorii discutați în acest capitol nu epuizează varietatea metodelor de detectie în fizica nucleară. Alegerea acestora este justificată de răspindirea lor și de faptul că sunt folosite în laboratorul de fizică nucleară la care se referă prezentul îndrumar. Descrierea altor detectori, mai speciali, poate fi găsită în bibliografia generală indicată sau în cea dată la prezentul capitol.

Bibliografie

- 1 Gh.Cristea - Dispozitive și circuite în instalații cu izotopi radioactivi, Ed.Tehn., Buc., 1965
- 2 N.Ghiordănescou - Metode experimentale în fizica neutronilor, Universitatea București
- 3 W.I.Price - Nuclear Radiation Detection Mc Graw Hill Book Comp., New York, 1964.

50-27/DA I. ELEMENTE DE ELECTRONICA NUCLEARĂ

4.1. Lant electronic pentru numărarea pulsurilor.

In capitolul rezervat detectiei suntem să vedem cum energiile particulelor se transformă în semnale electrice. Vom analiza în continuare numai modul cum sunt prelucrate semnalele sub formă de puls de tensiune.

Forma semnalelor (fig.1) furnizate de un sistem de detectie se caracterizează prin: t_1 - durata frontului, t_2 - timpul de revenire și U - amplitudinea impulsului

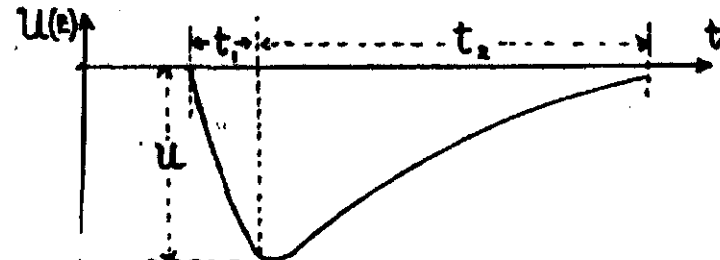


Fig.1 - Forma impulsului de tensiune $U(t)$ furnizată la detectie unei radiati.

Alte caracteristici importante sunt: rezistența detectorului R_D , capacitatea detectorului C_D și sarcina colectată Q . Mărimea sarcinii Q este (excepțind contorii Geiger-Müller) proporțională cu energia dissipată de radiatie în detector. Mărimele parametrilor U , R_D , t_1 și t_2 variază în limite foarte largi, depinzând de tipul detectorului și de primul circuit de prelucrare a semnalului.

Ca exemplu vom menționa aparatul electronică pentru cea mai simplă utilizare a detectorilor de radiație și anume înregistrarea pulsurilor de către sistemul din fig.1. Semnalul detectorului este prelucrat

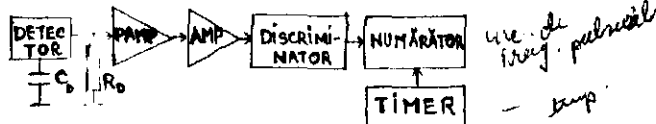


Fig.2 - Sistem de numărare a pulsurilor

de un preamplificator și un amplificator și este analizat cu ajutorul unui discriminător; înregistrarea se face cu un numărător, un circuit logic de înregistrare a pulsurilor. Detectorul poate fi destul de departe de amplificator, în cîmpul de radiație; cablul care face legătura între ei atenuază amplitudinea semnalului și-i strică caracteristicile temporale. De aceea preamplificatorul se placează imediat după detector sau este conectat direct; în felul acesta pe cablul de legătură de capacitate cît mai mică, atenuările și deformările semnalului sunt minime. Principala caracteristică a preamplificatorului este să transforme caracteristica de impedanță mare în impedanță mică (de 93 sau 50Ω) pentru a se putea astfel utiliza cabluri de lungime necesară pînă la amplificator. Cu ajutorul preamplificatorului se obține și o anumită amplificare și o filtrare a semnalului în vederea reducerii zgomotelor și o anumită formare a semnalului.

Amplificarea principală este asigurată de amplificator; pentru circuitele tranzistorizate amplitudinea pulsului la ieșirea amplificatorului este între 0 și 10 volți, în timp ce amplitudinea la intrare poate fi de ordinul milivoltelor, sau chiar mai mică pentru camerele de ionizare sau detectorii cu semiconductori. Astfel, în acest caz, sunt necesare amplificări ale cuplului preamplificator - amplificator de ordinul 10^3 - 10^4 . Detectorii cu scintilație necesită amplificări totale mai mici de ordinul 10 - 10^2 . Tuburile G - M pot da semnale de ordinul 0,1 - 1 V,

astfel încît în acest caz este nevoie de amplificări numai de ordinul unităților. Amplificatorul mai îndeplinește și importantele funcții de filtrare pentru reducerea zgomotului și de formare a semnalului pentru operații ulterioare.

Funcția discriminatorului (numit mai precis discriminator integral), este să genereze la ieșire un semnal logic, de amplitudine și lărgime standard, dacă semnalul de la intrare depășește o anumită valoare V_p , numită prag. Aceste pulsuri sunt necesare circuitelor logice care urmează. Discriminatorul elimină astfel semnalele de joasă amplitudine ale amplificatorului, care se pot datora zgomotului electronic, sau fondului de radiație. Amplificarea și pragul de discriminare se coreleză pentru fiecare experiment concret astfel încît amplitudinile minime de interes să depășească valoarea de prag V_p .

Alegerea pragului de discriminare trebuie să țină seama de două cerințe contradictorii: reducerea cît mai mult posibil a pulsurilor parazite date de zgomotul de fond și să se păstreze cît mai multe evenimente de interes.

Numărătorul este un circuit logic care înregistrează și afișează numărul de pulsuri de la ieșirea discriminatorului. Unele numărătoare pot avea un registru mecanic și un afișaj electronic. Principalele caracteristici ale unui numărător sunt numărul maxim de pulsuri pe care-l poate afișa și frecvența maximă la care pot lucra: 10 MHz, 50 MHz, etc.

Timpul cît se face numărătoarea poate fi comandat de un circuit electronic special TIMER, care asigură startul și stopul numărătorului. Obicei TIMER-ul constă dintr-un numărător conectat la un oscilator de frecvență fixă.

In laboratorul de fizică nucleară astfel de sisteme de numărare sunt folosite la lucrările "Absorbția radiațiilor β ", "Retroimprăștieră radiațiilor β " și "Determinarea timpului de înjumătărire, din analiza curbelor de dezintegrare". Aparatura electronică este modulară, construită în standardul NIM.

(Nuclear Instrument Module). Sistemul este compus dintr-un rao de alimentare, numit BIN, în care pot fi introduse module de anume dimensiuni și cu conexiunile de alimentare strict fixate. Standardizarea aceasta a fost posibilă în urma dezvoltării electronicii pe bază de circuite integrate și a fost dictată de necesitățile economice și de eficiență a apărutii nucleare. Avantajele sistemului sunt evidente: flexibilitatea în utilizarea diverselor module și posibilitatea de a le schimba în timpul experimentului; ușurința în restructurarea aparaturii; creșterea coefficientului de utilizare; ușurința schimbului între laboratoare; ușurința în măsurare; reducerea timpului de conopere și pregătire a unui experiment.

Acest standard pune o serie de condiții de compatibilitate: compatibilitatea mecanică în ceea ce privește dimensiunile, conectorii de alimentare și conectorii de semnal (BNC); alimentarea modulilor se face cu tensiuni continue: -6V, +6V, -12V, +12V, -24V, +24V; semnalele analogice sint între 0 - 10 V, iar semnalele logice sint pentru DA dela 5V la 12 V și pentru NU în jurul lui zero volți.

4.2. Electronica de prelucrare a semnalelor. Preamplificator. Amplificare.

Capacitatea C_D a detectorului este de 1-10 pF și e bine să fie cît mai mică pentru ca tensiunea $U = Q/C_D$ (1) furnizată de detector să fie cît mai mare.

Sarcina electrică Q colectată de detector fiind foarte mică ($10^{-17} \div 10^{-12}$ C) și semnalul U va fi mic, putând fi între 10 μ V și 100 mV, în funcție de detectorul utilizat și energiile radiatiilor detectate.

Preamplificatorul realizează prima amplificare a curentului și tensiunii furnizate de detector și este necesar să fie pus în imediata apropiere a detectorului pentru a nu mări capacitatea detectorului C_D și pentru ca semnalele parazite să fie cît mai mici.

Calitatea spectrelor măsurate, caracterizată prin rezoluție, linearitate și stabilitatea calibrării energetice și viteza maximă de detectie la care și păstrează constanță acești parametri, depinde de detectorul utilizat și de următorii parametri ai preamplificatorului și amplificatorului utilizat:

1. Linearitatea reprezintă păstrarea constantă a coeficientului de amplificare $K = u_o/u_i$ pentru tensiuni de ieșire u_o pînă la cel puțin 10 V (pentru ultima cascadă de amplificare).
2. Zgomotul de fond (dat de mișcarea termică a electronilor în rezistențele de la intrarea preamplificatorului să fie cît mai redus pentru a nu lărgi suplimentar rezonanțele (picurile) și pentru a putea măsura radiatii de energie cît mai mică.
3. Transformarea optimă scopului experienței, a formei impulsurilor. Aceasta se realizează cu circuite simple de diferențiere sau integrare. Acestea se realizează cu circuite simple de diferențiere sau integrare.

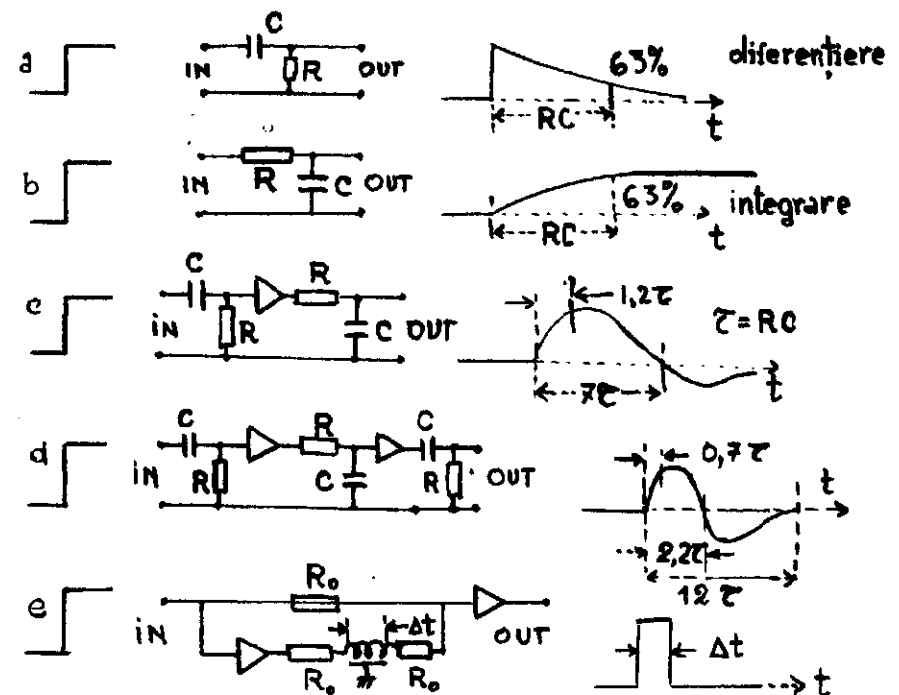


Fig.3

grare RC fig.3a - d său cu linii de întărirea fig.3 e care să taie co-
nile prea lungi ale impulsurilor și, în felul acesta, permitând viteze mai
rite de detectie și analiză.

In scopul imbunătățirii rezoluției se realizează integrarea semnalului (cu un $\text{RC} \gg$ timpul de colectare al sarcinilor) iar în vedere, detectării mai exacte a momentului detectiei semnalul se diferențiază. Unele amplificatoare permit reglarea acestor constante de timp de integrare sau diferențiere în vederea obținerii semnalului de formă optimă și raport semnal/zgomot cît mai bun.

Amplificatoarele posedă, deasemenea comutatoare care permit variarea coeficientului de amplificare. De obicei coeficientul se alege de astfel încât impulsurile corespunzătoare radiațiilor de energie maximă să furnizeze la ieșirea amplificatorului impulsuri de amplitudine mult sub nivelul maxim al posibilităților de analiză ($\sim 9\text{V}$).

Circuite de coincidență și anticoincidență.

Circuitul de coincidență furnizează un impuls la ieșire dacă, la toate intrările lui, impulsurile sosesc într-un interval de timp de o

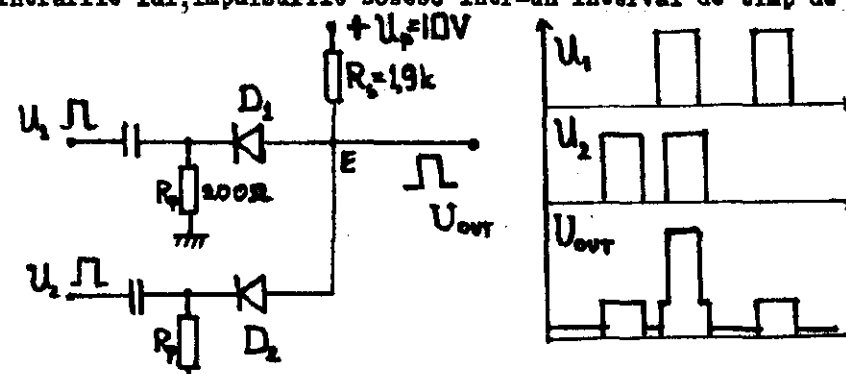


Fig.4 a) Schematic diagram of a coincidence circuit. b) Waveform diagram showing U_1 , U_2 , and U_{out} over time. U_1 and U_2 are square waves. U_{out} is a pulse whose width is twice the resolution time T_c .

durată $2T_c$, în care T_c se numește timp de rezoluție. O schema simplă de coincidență este ilustrată în fig.4.

Pentru cazul concret ales $R_p = 200\Omega$, $R_g = 1.9\text{ k}\Omega$, $U_p = +10\text{ V}$ și $U_1 = U_2 = 10\text{ V}$; atunci cind la intrări nu este aplicată nici o ten-

sire, potențialul punctului E este $U_{\text{out}} = 0.5\text{ V}$, prin faptul că amândouă diodele D_1 și D_2 conduc. Prin apariția la una din intrări a unui impuls pozitiv dioda corespunzătoare se blochează, dar continuă să conduce cealaltă diodă, iar în punctul E tensiunea crește numai cu 0.5 V .

Prin blocarea concomitentă a diodelor D_1 și D_2 potențialul punctului E crește mult pînă la min $\{u_1, u_2, u_p\} = 10\text{ V}$.

Sistemul de coincidență dublă se poate extinde în mod analog și pentru coincidențe multiple, cu n intrări.

Factorul de selecție β este definit de raportul dintre amplitudinea semnalului la ieșirea din coincidență, cînd pe toate cele n căi de intrare au apărut simultan impulsuri, și amplitudinea lui, cînd semnalele de intrare au apărut numai pe $(n-1)$ intrări.

In exemplul considerat în fig.4 factorul β de selecție este $\beta \approx 9.5/0.5 = 19$ iar timpul de rezoluție egal cu suma duratelor T_1 și T_2 ale impulsurilor pe cele două căi.

Eficacitatea coincidențelor este raportul dintre numărul de coincidențe înregistrate și numărul total care a apărut.

Schema de anticoincidență fig.5 dă un semnal pozitiv la ieșire pentru fiecare impuls pozitiv U_1 sosit la intrarea 1 exceptind cazul în

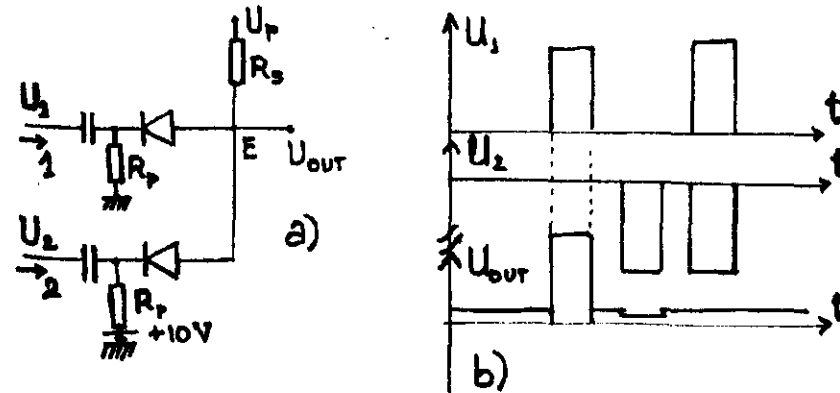


Fig.5 a) Schematic diagram of an anticoincidence circuit. b) Waveform diagram showing U_1 , U_2 , and U_{out} over time. U_1 and U_2 are square waves. U_{out} is a pulse whose width is twice the resolution time T_c .

care, concomitent cu aceasta, sosește la intrarea 2 un impuls u_2 negativ (fig.5). În absența impulsurilor la cele două intrări, dioda D_1 este deschisă iar D_2 este blocată, iar la ieșire potențialul punctului E este mic și continuă să fie mic dacă la intrările 1 și 2 sosesc concomitent cîte un impuls care blochează dioda D_1 și o deblochează pe D_2 și crește mult dacă la intrarea 1 apare un impuls, în absența semnalului la intrarea de anticicincidentă 2.

Circuite de coincidență cu rezoluție temporală $\tau > 0,1 \mu s$ se numesă coincidențe lente iar cele cu timp de rezoluție mai mic – rapide, cei mai mici timpi de rezoluție atinsă fiind de ordinul 1 ns.

Discriminator integral și analizor monocanal.

Discriminatorul integral (circuit de prag) emite la ieșirea sa un impuls standard numai dacă la intrare apare un impuls ce depășeste o anumită amplitudine.

În fig.6 este prezentată schema unui discriminator integral care furnizează la ieșirea sa impulsuri numai dacă amplitudinea semnalului u_s

este mai mare decît tensiunea de prag u_p care blochează dioda D.

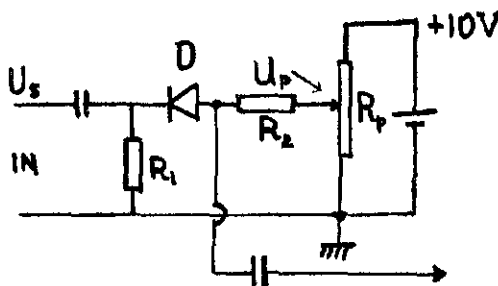


Fig.6 - Discriminator integral cu prag variabil de la 0 la +10 V.

Cuplind două discriminatoare integrale cu praguri diferite într-un montaj de anticicincidentă (fig.7) se realizează un analizor monocanal sau circuit discriminator diferențial. Diferența dintre pragul superior u_2 și pragul inferior u_1 se numește „fereastra” analizorului iar u_1 se numește pragul de discriminare.

Discriminatoarele și analizoarele utilizate trebuie să satisfacă următoarele cerințe:

- Pentru fiscare impuls selectat discriminatorul va da la ieșire un impuls standard avînd o amplitudine și o durată fixă.

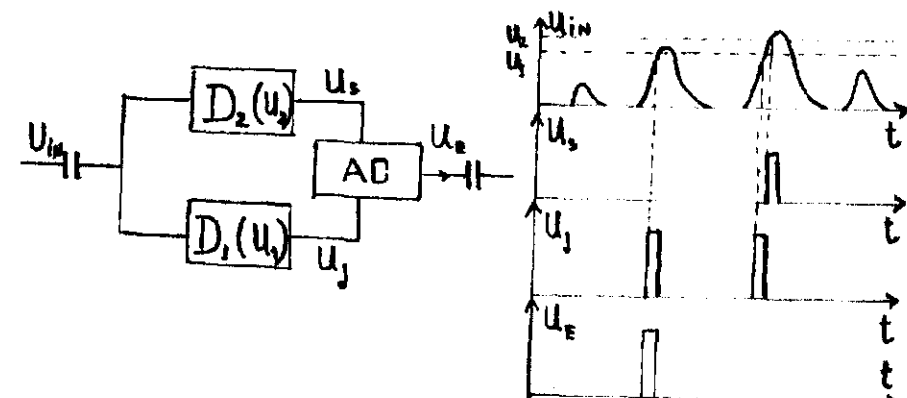


Fig.7 a) Circuit discriminator diferențial sau analizor monocanal. b) u_1 – impulsurile de intrare; u_2 – impulsurile care au trecut de pragul inferior u_1 al discriminatorului integral D_1 ; u_s – impulsurile care au trecut de pragul superior u_2 ; u_e – impulsurile de la ieșirea schemei de anticicincidentă, furnizate numai de impulsuri de amplitudine cuprinsă între u_1 și u_2 .

- Fixarea cu precizie a pragului de discriminare și a ferestrei și obținerea unor stabilități foarte bune a valorilor lor.

- Liniaritățile integrale și diferențiale bune în variația niveliului acestor mărimi.

- Sensibilitate corespunzătoare pentru amplitudini (energii) mici.

- Insensibilitate la variația vitezei de numărare, eliminarea fenomenelor de suprapunere a impulsurilor.

- Pragul inferior trebuie să aibă posibilitatea să fie deplasat de-a lungul unei mari game de nivele a impulsurilor de la intrare. În tot acest timp, mărimea ferestrei trebuie să rămână neschimbată.

- Lărgimea ferestrei trebuie să poată fi variată pentru a putea face eșantioane de energie de diferite mărimi.

4.3. Dezvoltări ale aparaturii nucleare.

Sistemele electronice de prelucrare și interpretare a semnalelor detectorilor de radiație devin din ce în ce mai complexe. S-a ajuns astfel ca unele experimente complexe să fie conduse chiar de către minicalculetoare de putere medie.

Astfel aparatura nucleară servește la:

- măsurarea parametrilor particulelor ionizante: sarcina electrică, masa, viteza (energia), direcția de deplasare și momentul tracberii lor prin detector;
- stabilirea caracteristicilor fluxului sau cîmpului de radiații: densitatea superficială a fluxului $F = \Delta N / \Delta S$, intensitatea fluxului $\varphi = \Delta N / \Delta S / \Delta t$, intensitatea energetică a fluxului $J = \Delta E / \Delta S / \Delta t$;
- determinarea parametrilor de interacție a radiației cu substanța iradiată și transmiterea de energie: coeficienții liniari și masici de atenuare și absorbție, secțiunea eficace atomică de interacție, doza (de absorbție) a radiației $D = \Delta E / \Delta m$ intensitatea dozei și puterea de stopare E/dX
- măsurarea parametrilor surselor de radiații: activitate, activitate specifică, distribuția în timp și spațiu a activității și timpul de înjumătărire $T_{1/2}$.

Electronica nucleară este intens utilizată la aplicațiile proprietăților radiațiilor ionizante și în măsurarea mărimilor fizice, chimice și biologice.

Privind natura mărimilor fizice măsurate electronica nucleară se imparte în patru categorii:

1. Dozimetre - măsoară energia disipată de radiații.
2. Radiometre - măsoară caracteristici ale surselor și radiatiilor.
3. Spectrometre - măsoară distribuția energetică, spațială, după sarcină sau după masă a radiațiilor.
4. Aparatură universală.

Aparatura electronică este constituită din blocuri care prin caracterul prelucrării semnalelor se împart în patru grupe:

1. Blocuri de detectie.
2. Blocuri de înregistrare-memorare sau semnalare a impulsurilor de tensiune provenite în urma detectării radiației
3. Blocuri de analiză în vederea sortării informației și prelucrării ei
4. Blocuri ajutătoare (redresare, cronometre electronice, automatizarea măsurătorilor etc.).

Pentru conceperea corectă și reușita realizării unor experiențe și măsurători fizicianul trebuie să cunoască bine parametrii caracteristici ai aparatului, electronice de care dispune. Numai printr-o profundă înțelegere a fenomenelor produse în detector și a modului în care sunt prelucrate semnalele obținute experimentatorul va putea interpreta corect rezultatele măsurătorilor și va putea să aleagă acei parametri ai aparatului și geometriei experienței care să-i permită să obțină în același timp un rezultat cu o eroare statistică mai mică, sau să obțină același rezultat într-un timp mai scurt.

În acest scop este necesar ca prospectele aparatelor să fie cu atenție studiate iar măsurarea parametrilor caracteristici să se facă în mod periodic.

Bibliografie

1. L.S.Gorn, V.V.Matveev, B.I. Hazanov, A.V.Sifrin - "Elementi shem iadernovo priborostroenia" Moskva, 1970.
2. M.Pătruțescu - "Electronică nucleară", Ed.Academiei, 1972.
3. J.J.Samueli et al. "Instrumentația electronică în fizica nucleară", Ed.Tehnică, București (1972).

✓ 15. DOZIMETRIE

Sub acest titlu sint cuprinse metodele de determinare cantitativă a dozelor de radiații în zone de teren în care există sau se bănuieste că există un cimp de radiații cu scopul de a lăua măsuri adecvate pentru protecția personalului care își desfășoară activitatea în zonele respective. Metodelor dozimetricoare nu li se pretinde o precizie prea mare, ci în primul rînd simplitate, rapiditate și universalitate pentru diferite radiații.

5.1. Efectele biologice ale radiatiilor nucleare, mărimi unități.

Efectul nociv al radiatiilor asupra organismului uman și, în general, asupra materiei vii este datorat în primul rînd proprietății radiatiilor de a ioniza mediul prin care trece, ionizarea fiind modul dominant de pierdere a energiei de către radiații cind traversează mediul material. Această energie pierdută este cedată mediului în final sub formă de energie calorică și sub forma modificărilor structurale.

Materia vie este caracterizată prin existența unor molecule deosebit de mari ale căror proprietăți și funcționalitate biochimică sunt deosebit de sensibile la poziția sterică și chimică a atomilor constituenți și a învelișului electronic molecular. Un act de ionizare de trecere a unui electron pe un alt nivel în acest anssblu, sau de smulgere a lui, provoacă mari schimbări în caracteristicile moleculei respective, schimbări care acumulate la nivelul celulei se pot traduce prin grave dereglații ale metabolismului, culminând cu moartea celulei sau cu erori de structură și funcționare a aparatului genetic celular de tip cancerigen sau mutagen.

$$\Delta = \frac{M_d \cdot \chi^2}{K_{Hd} \cdot t}$$

La nivelul întregului organism, dacă aceste efecte se acumulează peste o anumă limită, apar maladii generale sau ale unor organe separate, de la ușoare tulburări pînă la cazuri letale.

Efectul biologic al iradiierii nu poate fi exprimat cantitativ, fiind definit prin schimbările organismului iradiat. De aceea o problemă esențială a dozimetriei și radioprotecției este definirea unor mărimi, măsurabile fizic, care să fie direct legate de efectul biologic. Se definesc două asemenea mărimi: doza de iradiere și expunerea. Doza de iradiere este cantitatea de energie cedată unității de masă

$$D = \frac{dW}{dm}$$

(1)

Se exprimă în J/kg iar unitatea în S.I. este

$$1 \text{ Gray} = 1 \text{ Gy} = 1 \text{ J/Kg}$$

O unitate tolerată este rad-ul ($1 \text{ rad} = 10^{-2} \text{ J/Kg}$)

$$1 \text{ rad} = 10^{-2} \text{ J/Kg}$$

Expunerea este definită ca sarcina electrică totală a ionilor de un semn produsă în urma iradiierii, în unitatea de masă. Unitatea de măsură este röntgen-ul (R). Un röntgen fiind egal cu iradierea care produce într-un cm^3 de aer la NTP o unitate electrostatică de sarcină, aceasta este echivalent cu

$$1 \text{ R} = 2.58 \cdot 10^{-4} \text{ C/kg}$$

(2)

Efectul biologic nu se identifică cu numărul de ionizări produse în mediul respectiv cu energia totală cedată țesutului. Datorită regenerabilității țesutului viu și caracterului dinamic al sistemului celular, funcțiunile celulei respectiv ale țesutului nu sunt afectate, dacă densitatea proceselor de ionizare nu este peste un anumit prag. De aceea mărimea care este direct legată de efectul biologic este transferul linear de energie (TLE), $\frac{dW}{dx}$. Pentru aceeași energie totală cedată țesutului, efectul biologic este mai important pentru acele particule la care TLE este mare.

Se definește astfel mărimea denumită echivalentul de doză

$$H = Q \cdot D$$

(3)

unde Q este factorul de calitate al radiației. El depinde de natura și energia particulei. Valori aproximative, medii, pentru Q sunt trecute în tabelul de mai jos:

Radiatia	Q
γ , electroni	1
n - termici	5-10
n rapizi, p	10
α	$10 \div 20$
fragmente grele	20

Echivalentul de doză se exprimă în S.I. în Sievert (SV), respectiv "rem" (unitate tolerată). Un Sievert este numeric egal cu doza absorbită într-un țesut expus la o radiație carecare care produce același efect biologic ca doza absorbită 1 J/kg determinată de raze X sau γ . Pentru definiția rem-ului doza absorbită de raze X echivalentă este de 1 rad.

Mărimele dozimetrice menționate se referă la un timp de expunere corectare. Dacă se raportează efectul la unitatea de timp se definește: debitul dozei:

$$\bar{D} = \frac{dD}{dt} \quad (\text{J/kg} \cdot \text{s})$$

respectiv debitul echivalentului de doză

$$h = \frac{dH}{dt} \quad (\text{Sievert/s})$$

5.2. Calculul dozelor de iradiere

Calculul dozei de iradiere diferă în funcție de natura radiației (cu parcurs, fără parcurs) și de așezarea sursei față de obiectul iradiat (sursă externă sau internă). În laborator nu se va lucra decât cu surse externe astfel că ne vom rezuma la acest caz.

Calculul dozei implică două etape distincte: evaluarea fluxului de energie, și apoi evaluarea energiei cedate mediului de fluxul incident.

Vom considera o sursă de activitate A , așezată la o distanță medie, r , de corpul iradiat. Dacă sursa emite mai multe radiații cu energiile E_i și cu ponderile s_i , densitatea fluxului energetic

$$I = c \frac{A}{4\pi r^2} \sum_i s_i E_i \quad (\text{J/cm}^2 \cdot \text{s}) \quad (3)$$

unde c este un coeficient numeric care ține cont de forma sursei (pentru surse punctuale $c = 1$). Această expresie este corectă pentru orice fel de radiații (cu parcurs sau fără parcurs). Energia disipată în corp depinde de tipul radiației.

a) Casul radiațiilor cu parcurs (α, β) Toată energia radiațiilor incidente este absorbită într-un strat de grosime egală cu parcursul radiațiilor în țesut, R . Definind un parcurs R , energia absorbită, de un corp cu suprafață S și densitate ρ în timpul t , este:

$$\Delta W = I \cdot S \cdot t$$

iar masa

$$D = \frac{\Delta W}{\Delta m} = c \frac{A}{4\pi r^2} \frac{\sum_i s_i E_i}{R \rho} t$$

Definind o energie medie

$$\bar{E} = \frac{\sum_i s_i E_i}{s}$$

s_i fiind factorul de schema pentru radiația i

$$D = c \frac{A_s}{4\pi r^2} \frac{(\bar{E})t}{R \rho} \quad (4)$$

Dacă cele radiații cu parcurs, sunt puternic absorbite de mediul prin care trece pînă la obiect trebuie introdus un factor de corecție datorat absorbției f_a . Pentru radiația β , $f_a = e^{-\mu_a R}$, μ_a - coef. de abs. în mediul în care se găsește corpul și sursa, de obicei aer, deci

$$D = c \frac{A_s}{4\pi r^2} e^{-\mu_a R} \frac{(\bar{E})t}{R \rho} \quad (5)$$

b) Cazul radiației fără parcurs (γ, x).

Pentru asemenea radiații interacția lor cu mediul cauzează o atenuare exponențială, $I = I_0 e^{-\mu x}$. In fig.1 este redat schematic fenomenul de absorție.

(In stratul de grosime dx, are loc absorția energiei incidente cu dI, unde)

$$dI = -\mu I dx$$

Energia absorbită în strat în timpul t este

$$dW = \mu I t dx$$

Decarece masa stratului absorbant este

$$dm = S \cdot dx$$

Rezultă

$$D = \frac{dW}{dm} = I \cdot \frac{\mu}{S} t$$

Dacă radiația incidentă are mai multe componente monocromaticice, fiecare componentă este absorbită cu un coef. de atenuare μ_i , iar expresia dozei absorbite devine

$$D = c \frac{\Lambda}{4\pi r^2} \cdot e^{-\mu_a x} \sum \frac{s_i \mu_i}{S} \cdot t \quad (6)$$

Introducind mărimi medii avem

$$D = c \frac{\Lambda \bar{A}}{4\pi r^2} \cdot e^{-\mu_a r} \left(\frac{\bar{S} \bar{M}}{S} \right) t \text{ (J/kg)} \quad (7)$$

Se obișnuiește des, pentru sursele γ să se includă mărimele caracteristice radioizotopului utilizat sub forma unei constante, k. Atunci

$$H = k \frac{\Lambda t}{r^2} \quad (8)$$

unde k se găsește calculat în tabele sau dat sub formă de grafic, fiind exprimat, de obicei $\frac{\text{m rem} \cdot \text{cm}^2}{\text{mg} \cdot \text{h}}$. Utilizarea acestor con-

stante ne obligă ca în (8) să exprimăm Λ ($\text{m} \cdot \text{cm}^{-2}$), t(h), r(cm), echivalentul de doză obținându-l în m rem. Valori ale coeficientilor de material necesare calculelor de dozimetrie se găsesc în anexa 18.

5.3. Noțiuni de radioprotecție.

Putem trece acum la considerații privind protecția propriu-zisă. În cazurile de interes practic radiațiile pot fi emise de o sursă radioactivă localizată spațial care poate fi: solidă, lichidă, gazoasă, pulvulerentă sau sub formă de aerosoli, deci efectele actinice au loc într-o regiune de spațiu relativ delimitată.

Metodele de protecție contra radiațiilor s-ar putea clasifica în două categorii: metode "active" cind sursa radioactivă este înconjurată cu ecrane absorbante, care, reducind mult intensitatea de radiație, emergentă asigură securitatea celor ce se află la limita exterioară a ecranelor și metode "pasive" cind pentru a limita doza de iradiere a persoanelor care se află într-un cîmp de radiații li se fixează durate limitate de lucru în spațiu respectiv, li se dau alimente și medicamente antidot, mijloace de protecție individuale, etc.

Toate metodele de protecție contra radiațiilor au ca scop limitarea dozei de iradiere la un nivel mai mic sau egal cu cele din standarde. Din cercetări medcale a reieșit că doza maximă permisă de iradiere globală a întregului organism care nu cauzează prejudicii clinice este sub 20 Rem. La iradieri între 75-150 Rem apare boala actinică cu riscul cazurilor mortale la doza superioară, iar doze mai mari de 700 Rem au efect letal. Datorită faptului că supravegherea și profilaxia organizată a iradierilor are loc numai în unitățile cu profil nuclear, dozele de iradiere maxime au fost stabilite în conformitate cu clasificarea zonelor teritoriale în trei categorii:

- zone controlate
- zone supravegheate
- zone nesupravegheate

Dozele maxime admise scad de la un tip de zonă la altul pentru evitarea oricărora riscuri. Corespunzător cu această clasificare iradierile se împart în:

- iradiieri profesionale
- iradiieri ale persoanelor din populație
- iradierea populației

Doza maximă admisă pentru întregul organism este 5 Rem/an sau 100 m Rem/săpt. pentru iradiieri profesionale, 0,5 Rem/an pentru iradiieri ale persoanelor din populație neprofesionale și 2 Rem în 3 ani pentru iradierea populației.

Datorită efectului cumulativ al iradiierii, normele prevăd că o persoană care la o singură iradiere a acumulat toată doza permisă, să zicem într-un an, nu mai are voie să suporte o altă iradiere în acel an. Iradierea accidentală cumulată maximă admisă este de 25 Rem.

Datorită efectelor genetice, pentru femeile gravide, dozele admise sunt mai mici față de cele arătate mai sus.

Deoarece nu toate părțile organismului sint la fel de rezistente la iradiere s-au stabilit doze maxime pentru diferite organe și părți ale organismului utilizabile în cazurile cind radiația nu atinge întregul organism, ci doar porțiuni din el. Vom arăta cîteva din aceste norme pentru iradiieri profesionale:

- pentru organe izolate exceptînd cristalinul și gonadele doza este 15 Rem/an;
- pentru oase, tiroidă, pielea întregului organism cu excepția extremităților - 30 Rem/an;
- pentru mîini, antebrate, picioare și glezne - 75 Rem/an.

Sunt cazuri cind oamenii intră în contact direct cu substanțe radioactive de exemplu, la prepararea de surse radioactive se manipulează soluții și pulberi care întimplător pot ajunge să fie ingerate de oameni prin apă de băut sau alimente, sau inhalate odată cu aerul. În aceste cazuri unele substanțe ce conțin elemente radioactive pot fi asimilate de organism iar elementul radioactive poate intra în circuitul metabolic. În aceste cazuri însăși sursa radioactive se află în organism și singură protecție posibilă este folosirea de substanțe care elimină sau insoluabilizează elementul respectiv.

Pentru a exclude astfel de cazuri, normele de protecție admit concentrații limită ale acestor substanțe în apă și aer. În calculul acestor limite trebuie luat în considerare încă un factor. Elementele respective odată intrate în organism sunt absorbite selectiv de anumite ţesuturi și organe în dependență de funcționalitatea acestora în organism, astfel că poate apărea situația ca un anumit element cu toate că este cantitativ sub limita admisă pentru întregul organism, concentrația sa într-un anume organ să fie suficient de ridicată pentru ca doza de radiație permisă pentru organul respectiv să fie depășită. Astfel de organe care concentrează preferențial un anume element se numesc organe critice. Se poate dă ca exemplu glanda tiroidă pentru iod sau sistemul osos pentru stronțiu, care este un omolog chimic al calciului.

5.4. Calculul elementelor de protecție

Aceste elemente sint fie obstacole care impiedică o apropiere prea mare de sursă, fie ecrană absorbante așezate în jurul sursei. Ideea de bază este realizarea unei protecții suficiente pentru ca dozele permise de personalul care se află la distanță prevăzută de sursă sau față de elementul de protecție să nu depășească dozele maxime permise. În calcul se are în vedere gradul de utilizare al obiectului ecranat, frecvența posibilă de staționare în apropierea sa, etc.

Astfel, doza de calcul a elementelor de protecție poate fi:

- doza maximă permisă la distanță x de sursă;
- doza maximă permisă la limita exterioară a elementului de protecție;
- doza maximă permisă la distanță x de la limita exterioară a elementului de protecție.

Distanța x este precizată de arhitectura construcției, norma privind lucrul cu surse de radiații sau structura constructivă a unor instalații.

Pentru elemente de protecție în zone cu iradiieri profesionale echivalentul de doză utilizat în calcule este

$$h_{\max} = \frac{100}{t_x}$$

unde h_{\max} este debitul echivalentului de doză în mRem/h la distanța r și t_x este timpul de lucru (staționar) săptămânal în ore la distanța r . Pentru expunerea persoanelor din populație

$$h_{\max} = \frac{1}{t_x} \quad (10)$$

Grosimea "x" a ecranului (sau a containerului) se calculează atunci, folosind relațiile (6), (7)

$$h(r, x) = \frac{\Lambda_s}{4\pi r^2} \left(\frac{E}{M} \right) e^{-Mx} e^{-\mu x} = h_{\max} \quad (11)$$

unde h_{\max} este echivalentul de doză admis, calculabil cu formula (9) sau (10). În această expresie M este coeficientul de atenuare a radiației x sau μ în materialul gros din care este făcut ecranul.

Atenuarea introdusă de ecran este:

$$\frac{h(r, x)}{h(r, 0)} = \frac{h_{\max}}{h_{\max}} = e^{-Mx} = e^{-\frac{x \ln 2}{d_{1/2}}} \quad (12)$$

unde $d_{1/2}$ este grosimea de injumătățire.

Pentru ecrane (containere) groase doza de iradiere nu se mai calculează cu formulele (6)-(8), deoarece, datorită imprăștierilor crește fluxul de particule în punctul de iradiat față de mărimea calculată. Acest factor supraunitar se numește factor de acumulare (build-up) și se notează cu $B(x, M)$ (vezi anexa 18. Avem atunci

$$h(r, x) = \frac{\Lambda_s}{4\pi r^2} \left(\frac{E}{M} \right) e^{-Mx} B(x, M) e^{-\mu x} = h_{\max} \quad (13)$$

Factorul de acumulare poate fi calculat doar aproximativ, fiind exprimat prin relații semiempirice. De utilizat este expresia

$$B(x, M) = 1 + \mu x \quad (\text{respectiv pentru Pb } 1 + \frac{1}{M}) \quad (14)$$

Există două posibilități de limitare a unei grosimi prea mari de absorbant la surse puternice; pentru a împiedica un cost și o greutate prea mare a protecției. Se poate amplasa în jurul sursei un ecran voluminos dar ușor, slab absorbant, cu rolul de a împiedica apropierea

prea mare de sursă, astfel că la suprafața lui, chiar cu o grosime mai mică de absorbant să se realizeze limita permisă de iradiere. A doua cale, cind nu se poate folosi prima, constă în limitarea timpului de lucru la instalația propriu-zisă a unui om anume, prin organizarea lucrului în echipă, cu o rotație corespunzătoare.

In cazul construcțiilor și pereții pot îndeplini rol de protecție, mai ales cind se folosesc betoane speciale grele. In acest caz, în calculul grosimilor pereților și al timpilor de staționare în diferite locuri din clădire se adoptă coeficienți de siguranță (K) și solicitare (C). Coeficientul de siguranță cauță să înălțe riscurile date-să neomogenității materialelor de construcție care nu au peste tot și totdeauna caracteristicile din proiect și posibilitățile de deteriorare în timpul exploatarii care pot modifica aceste caracteristici. Coeficientul de solicitare dă o valoare medie a timpului de lucru, circulație sau staționare în diferite spații. Astfel, laboratoarele, camerele de lucru, etc. au solicitare permanentă, culcarele, ecluzele, WC-urile au utilizare rară, iar scările, magaziile, etc. au utilizare foarte rară.

In acest mod, expresia dozei de calcul devine

$$\delta_x = \frac{CD(x)}{Kt_x} \quad (15)$$

5.6. Lucrul cu debitmetrul de radiații

Debitmetrul DOZIPORT RD-537 este destinat măsurării debitului dozei de radiații, având ca element sensibil la acțiunea radiațiilor un contor Geiger-Müller. El este util pentru o gamă largă de activități implicate de utilizarea radiațiilor ionizante:

- supravegherea cîmpurilor de radiații
- măsurători rapide și nepretențioase ale debitului dozei
- localizarea surselor de radiații
- depistarea contaminărilor
- realizarea de hărți cu curbe de debit egal al dozei în incinta unităților nucleare, etc.

5.6.a. Principiul de functionare și descrierea aparatului

Pulsurile produse de detectorul Geiger-Müller, sunt amplificate și trecute printr-un formator la ieșirea căruia se obțin pulsuri de formă standard a căror frecvență este proporțională cu intensitatea fasciculului de radiații incident pe detector; aceste pulsuri trec apoi printr-un circuit de integrare; tensiunea la ieșirea acestuia este proporțională cu sarcina tuturor pulsurilor sosite pe un interval de timp de ordinul constantei de timp a circuitului de integrare. Deci în ultimă instanță tensiunea de ieșire este proporțională cu intensitatea medie a fasciculului de radiații incident pe detector în intervalul de timp al constantei circuitului. Pentru intensități mici este convenabil de mărit timpul de integrare, pentru a media fluctuațiile. La aparatul DOZIPORT timpul de integrare se poate varia între 1,5 sec. și 10 sec.

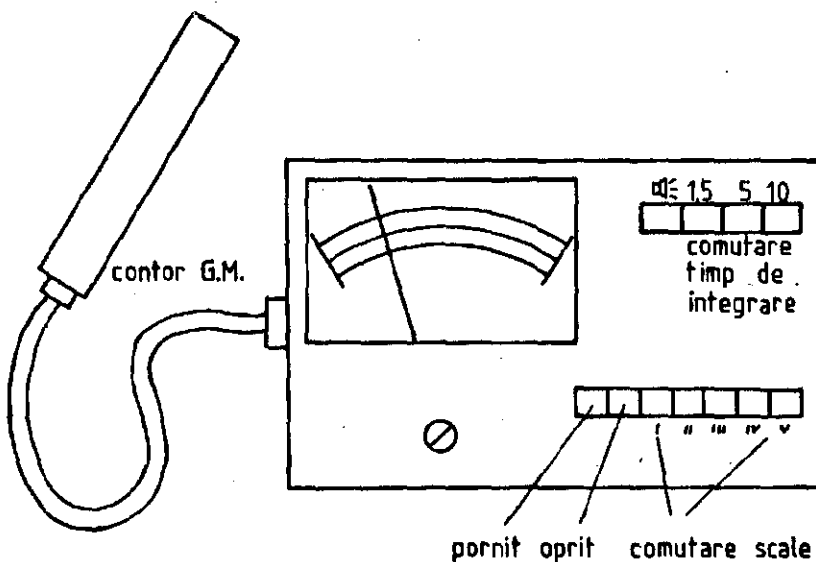


Fig.2

Tensiunea integrată este măsurată de un voltmetru gradat în unități ale debitului echivalentului dozei (mRem/h). Aparatul (fig.2) are 4 scale de măsură a debitului dozei, de la zero pînă la valorile maxime de 0,3; 2; 10 și 50 mRem/h .

Pentru o sursă de activitate, cu emisie izotropă la distanța x de ea ($x \gg$ ca dimensiunile sursei) intensitatea fluxului particulelor este

$$J = \frac{\Lambda}{4\pi x^2}$$

Dacă secțiunea transversală a volumului activ al detectorului are aria "a" iar eficacitatea medie pe această arie este f , viteza de numărare este $R = f \cdot AJ$.

Decarece fiecare puls din cele R va încărca condensatorul din circuitul de integrare cu sarcina q , dacă considerăm că rezistența din circuitul de integrare are valoarea r , la ieșirea acestuia tensiunea finală este $U_e = rqR$.

Pe de altă parte între J și debitul dozei de ioni există relația

$$\frac{dD}{dt} = j = \frac{\Lambda}{4\pi x^2} \cdot \sum_{i=1}^n S_i \cdot i \quad \text{unde } \sum_{i=1}^n S_i = \frac{a}{f} \text{ aer}$$

$$\text{deci } J = \frac{1}{\sum_{i=1}^n S_i \cdot i} \text{ aer} \quad \text{și } U_e = rqf \cdot a \cdot \frac{1}{\sum_{i=1}^n S_i \cdot i} \text{ aer}$$

Prin urmare $U_e \sim j$. Cum coeficientul de proporționalitate variază cu energia razei γ înregistrate, la măsurarea radiațiilor γ de energii sensibil diferențiate, debitmetrul trebuie reetalonat. Aceasta este una din cauzele care limitează precizia de funcționare a debitmetrelor de acest tip.

5.6.b. Descrierea aparatului.

Debitmetrul Doziport RD-537 este un aparat portabil (are o greutate mică și alimentarea la baterie). Contorul Geiger-Müller, montat într-o carcasă metalică de protecție este legat de aparat cu un cablu flexibil. Pe lîngă clapele de conectare-deconectare a alimentării și de schimbare a domeniilor de măsurare, aparatul mai are trei clape pentru fixarea constantei de integrare a pulsurilor, la valorile de 1,5 sec și 10 sec. și o clapă a cărei apăsare conectează la ieșirea for-

matorului de pulsuri un difuzor care dă un semnal sonor la fiecare puls înregistrat, pentru o utilizare mai comodă a aparatului. Aparatul este etalonat în mrem/h.

5.6.c. Etalonarea debitmetrului

Se reprezintă grafic variația debitului dozei în funcție de distanța dintre sursă și detectorul debitmetrului, folosind pe de o parte formula de calcul a dozei și pe de alta valorile măsurate de aparat.

Se folosește o sursă de ^{60}Co de activitate cunoscută.

Se fac măsurători pentru mai multe distanțe și se acoperă valorile calculate cu cele măsurate.

Cele mai importante din cauzele care duc la imprecizia de etalonare a debitmetrului sunt:

a) În cazul real, cînd atît sursa cît și detectorul nu sunt punctiforme, legea de scădere a intensității incidente pe detectori cu pătratul distanței nu este exactă.

b) Datorită prezenței unor obiecte străine în jurul ansamblului sursă-detector (suporti ai sursei și detectorului, pereti, colimatoare etc) apare un plus de raze împrăștiate de acesta, care denaturează rezultatele măsurătorilor.

Pentru micșorarea la maximum a acestor efecte se recomandă ca:

- suportii să fie cît mai mici posibil

- distanța dintre sursă și detector să fie mai mică decît distanța minimă față de alte obiecte, măsurate de la sursă sau de la detector.

- distanța minimă între centrele geometrice ale sursei și detectorului, atinsă în decursul măsurătorilor, să fie de cel puțin 2 ori mai mare decât sea mai mare dimensiune lineară a sursei sau a detectorului.

5.7. Probleme

1. Se dă o sursă radioactivă de dimensiuni mici de ^{60}Co de 20 Curie.

Se cere realizarea unui container sferic cu sursa în centru, astfel că la peretele containerului debitul de radiație să fie de 10^4 ori mai scădit în lipsa containerului.

Containerul este format din două straturi sferice concentrice, primul de plumb cu o rază interioară de 10 cm, iar al doilea de fier peste primul. Să se determine grosimile optime ale celor două straturi astfel ca prețul de cost al containerului să fie minim, știind că: densitățile plumbului și fierului sunt respectiv 11,3 și $7,8 \text{ g/cm}^3$, coeficienții de absorbție sunt $0,8$ și $0,45 \text{ cm}^{-1}$, iar prețurile per kg sunt respectiv 10 și 20 de bani. Se presupune că energia medie eliberată la dezintegrare este de 1,25 MeV. Să se determine economiile la prețul de cost în procente față de cazurile cînd containerul ar fi fosc, pentru aceeași stenuare, numai din Fe sau numai din Pb. Să se calculeze numărul mediu de ore permise pe săptămână pentru staționarea lîngă container, ținind cont de normele de protecție contra radiațiilor corespunzătoare iradierilor profesionale, luind coeficientul de absorbție masic al organismului uman de $0,06 \text{ cm}^2/\text{g}$.

2. Iradierea naturală produsă de razele cosmice și de substanțele radioactive naturale din mediul înconjurător corespunde unei doze debit medii de $0,5 \text{ mrem/zi}$. Care este debitul acestei doze pe oră? Care este echivalentul de doză pentru un an respectiv 30 ani?

Bibliografie

1. Moșescu - Fizica protecției contra radiațiilor, Ed. Academiei R.P.R., București, 1958
Preprint ICEFIZ (1981)
2. Norme republicane de radioprotecție - 1976 - CSEN
3. Regimul de lucru cu surse de radiații nucleare - 1976 - CSEN
4. G.Himes, G.Brownell, Radiation Dosimetry, Academic Press, New York, 1956
5. E.Gagpar, D.Serban - Elemente de radioprotecție, Ed.Tehnică, București, 1976.

D
D
D
D

U
A
S
G
N
H

**I 6. REGULAMENTUL DE LUCRU IN LABORATORUL DE
FIZICA NUCLEARA**

6.1. Regulamentul general.

1. In timpul lucrului cu substanțe radioactive, aparatelor cu substanțe radioactive trebuie să fie înconjurate cu un ecran protector, astfel încât doza de radiații primită de experimentatorul din spatele ecranului în cursul unei zile de lucru să nu depășească doza permisă. Pentru calculul ecranului necesar folosiți partea introductivă 5 și Anexa 18.
2. Radioactivitatea limită a aerului în laborator trebuie să depășească 10^{-11} Ci/l.
3. Timpul de sedere în apropierea preparatelor radioactive trebuie să fie redus la minim. Înainte de a lucra în preajma sursei radioactive din laborator cereți informații privind activitatea acestora. Respectați liniile de avertizare din depozitul de surse.
4. În laborator se vor aduce surse radioactive care sunt de necesitate imediată. Odată terminată determinările, sursele se vor introduce în containerul de Pb din laborator sau vor fi transportate în depozit.
5. Lucrul cu substanțe radioactive deschise trebuie efectuat în halat, bonetă și mănuși de cauciuc și în condiții de ventilație optimă sub ninsă.
6. Spălarea halatelor se face într-un loc special destinat acestui scop.
7. Pentru protecția corpului de radiații β se recomandă așezarea între experimentator și sursa de radiații a unui ecran de sticlă sau plexiglas.
8. Operațiile în care este posibilă împrăștierarea substanțelor radioactive în aer, ca fierberea, evaporarea, calcinarea, uscarea etc., se execută obligatoriu sub nișă.

9. În cursul lucrului cu izotopi radioactive trebuie să fie folosite instrumente pentru manipulare la distanță (clești, spatule, pensete) a căror lungime va depinde de natura radiației și a preparatelor.
10. Umplerea pipetelor prin absorbția soluției pe gură este interzisă. În acest scop se folosesc seringi, pere de cauciuc. Stropitorul trebuie prevăzut cu o pară de cauciuc.
11. Pentru a evita împrăștierarea soluțiilor radioactive, lucrul cu substanțe radioactive trebuie efectuat în cuve.
12. Este interzis: fumatul, păstrarea și consumarea alimentelor în laborator.
13. Este obligatoriu: controlul impurităților de pe suprafața de lucru a meselor, nișelor, aparatelor, de pe hainele de protecție și de pe mîini. În caz de contaminare, acestea trebuie decontaminate imediat.
14. Este interzis lucrul în laborator, cu pielea de pe mîini sau față rănită. În cazul rănirii în timpul lucrului, rana trebuie bine spălată cu apă.
15. Izotopii radioactive se păstrează în conținere.
16. Toate operațiile efectuate pentru transformarea sau consumul izotopilor radioactive trebuie să fie înscrise în caietul de lucru.
17. Deșeurile radioactive trebuie adunate într-un vas special.
18. Deșeurile care conțin izotopi radioactive de viață scurtă, cu activitate mai mică de 10^{-7} Ci/l pot fi aruncate în chiuvetă. Deșeurile care conțin izotopi radioactive de viață lungă se trăiesc în combinații insolubile și se păstrează în locuri special destinate păstrării lor.

6.2. Mantinerea ordinei și curăteniei în laboratorul de preparat surse radioactive.

Cei ce lucrează în laborator sunt obligați să respecte regulamentul de lucru în scopul de a excluda posibilitatea contaminării laboratorului cu substanțe radioactive.

Experimentatorii trebuie să mențină o ordine exemplară în laborator, pentru a evita accidentele.

Aparatura și vasele care conțin substanțe radioactive trebuie să fie așezate pe tăvi, pentru ca în caz de avarii, toată cantitatea de substanță radioactive să cadă pe tavă.

Suprafețele meseelor, niselor, dușumelelor și peretilor vor fi controlate în mod sistematic cu dozimetru pentru a se detecta eventualele impurități radioactive rămase. În cazul prezenței acestora, ele se vor înălătura prin spălare cu apă fierbinte și cu lichide care dizolvă ușor combinația chimică cu care s-a lucrat sau care pot înălătura izotopul radioactive.

Aparatura și utilajul cu care se efectuează lucrări cu substanțe radioactive nu trebuie amestecate cu cele folosite la lucrări obișnuite. Acest utilaj trebuie spălat cu deosebită grijă, preferabil cu acizi. Nu este permisă transportarea aparaturii contaminate dintr-un laborator în altul sau în atelierul de reparări. Repararea aparatelor este permisă numai în cazul cînd verificarea cu dozimetrul nu indică impurități radioactive.

6.2.1. Curățenia laboratorului

În cursul lucrului cu substanțe radioactive se poate produce contaminarea cu substanțe radioactive a dușumelelor, peretilor, suprafețelor de lucru ale meseelor și ale diferitelor apărate. De pe aceste obiecte substanțele radioactive pot ajunge pe mâini și îmbrăcăminte, pe alte părți ale corpului și în gură. Odată cu praful din laborator substanțele radioactive pot pătrunde chiar în plămini sau în tubul digestiv. Contaminarea laboratorului cu substanțe radioactive va duce la iradierea corpului omenește în mod necontrolat atât din exterior cît și din interior, lucru dăunător organismului. Pentru a evita contaminarea laboratorului cu substanțe radioactive, trebuie păstrată o curățenie exemplară. Nu este permisă existența prafului în laborator. Sistemul de ventilație trebuie să funcționeze perfect. Se va face zilnic curățenie în laborator. O dată pe lună peretii și mobilierul vor fi spălați cu apă fierbinte cu substanțe sau soluții speciale.

6.2.2. Îmbrăcămîntea.

Înainte de începerea lucrului cu izotopi radioactive, se imbrăcă hainele de protecție. Cînd se lucrează cu activități mici de ordinul 1 mCi, este suficient un halăși o bonetă. Se recomandă papuci. Cînd se lucrează cu activități mai mari se pune un șort de plastic, iar brațele se acoperă cu manșete de plastic. Dacă se lucrează cu preparate descooperite trebuie să se imbrace mânuși de cauciuc.

Îmbrăcămîntea se verifică periodic în privința contaminării. Spălarea halatului și a bonetei se face separat de celelalte haine, într-un loc special destinat acestui scop.

6.3. Modul de lucru.

Toate operațiile cu substanțe radioactive trebuie gîndite în prealabil. Trebuie să se controleze apărtele atât în privința unei bune funcționări, cît și în ceea ce privește prezența impurităților radioactive, care ar putea denatura rezultatele.

În timpul lucrului cu substanțe radioactive și la prepararea meseelor trebuie să se țină seama de posibilitatea iradierii mîinilor și a ochilor precum și posibilitatea contaminării aparatelor cu substanțe radioactive de pe mânuși. De aceea, în cursul lucrului, preparatele radioactive se vor lua numai cu penseta, iar curățenia mîinilor se verifică cu dozimetrul. După terminarea lucrului, substanțele radioactive se pun la loc, iar vasele și apăratura folosită se spălă și se verifică dacă nu sunt contaminate.

În cazul contaminării, impuritățile trebuie înălăturate prin spălare. Mîinile se spălă în mânuși, se verifică curățenia mânușilor, se scot mânușile, îmbrăcămîntea de protecție și, după o verificare a mîinilor și îmbrăcămîntei se ieșe din laborator.

6.3.1. Operațiuni cu substanțe radioactive.

Substanțele radioactive se transportă în containere. Peretii containerului trebuie să aibă grosimea care să asigure protecția suficientă față de radiații. Pentru scoaterea preparatului radioactive din

conținut, conținutul se aşeză pe dușumea, alături de el se aşază un pahar metalic cu vată pe fund. Se scoate fiola cu substanță radioactivă și se introduce în vasul pregătit care se aşază în spatele ecranului protector. Locul de muncă pentru prelucrarea materialului trebuie pregătit în prealabil. Luarea cantității necesare de lichid se face cu o pipetă gradată, atașată la o seringă cu pară de cauciuc. Prelucrarea materialului radioactiv se face în nișă, pe niște ouve. (Fig.1)

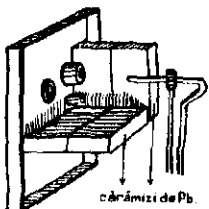


Fig.1. Luarea probei

Evaporarea soluțiilor cu substanțe radioactive, se face în nișă. În acest caz trebuie să luăm măsuri de precauție pentru a evita vârsarea și străpîrtea cu soluție. Volumele mari de soluție se evaporă pe baia de apă. Cantități mici se vaporă la lampa de infraroșu (Fig.2).

Uscare și calcinarea substanțelor radioactive. În afară de metodele comune de uscare a precipitațiilor substanțelor radioactive în etuvă sau exicator, se folosește uscare la lampa de infraroșu. La uscare trebuie să se procedeze cu grijă pentru ca substanța radioactivă să nu se pulverizeze și să nu contamineze. Toate operațiile se efectuează sub nișă. Pregătirea probei pentru măsurători. Pentru măsurarea activității substanțelor radioactive, acestea se trăg și stăre lichidă sau solidă. Există mai multe metode simple de obținere a unor preparate

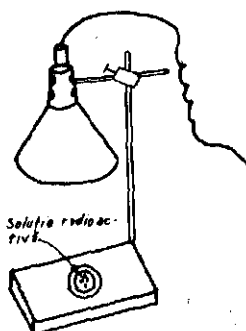


Fig.2 - Evaporarea unei soluții radioactive cu lampa de infraroșu.

hârtie de dimensiuni standard sau tâvite speciale.

2) Filtrarea pe hârtie de filtru cu ajutorul unui pilnii Böchner.

3) Trecerea suspensiei într-un păharel demontabil de unde solventul și elimină prin evaporare, iar substanța radioactivă se depune pe o foile metalică.

4) Depunerea electrolitică.

Pentru prepararea unor surse destinate măsurătorilor spectrometrice sau măsurătorilor absolute de activitate se folosesc metode speciale de preparare a surselor.

Deșeuri radioactive. În urma lucrărilor cu substanțe radioactive, în laborator se acumulează combinații solide și soluții radioactive care trebuie evacuate. Aceste deșeuri se colectează în vase speciale. Îndepărțarea lor se face cât mai des posibil, trecindu-se în rezervaare care se găsesc într-un loc special destinat acestora.

Protecția mîinilor împotriva contaminării. Lucrul cu preparate radioactive deschise se efectuează cu mănuși. Trebuie cunoscută folosirea corectă a mănușilor, deci îmbrăcarea și dezbrăcarea lor. De această operărie depinde puritatea mîinilor și securitatea lucrului cu izotopi radioactivi.

Cum se îmbracă mănușa: Partea interioară a mănușei trebuie apucată cu mâna goală, iar cea exterioară cu mâna îmbrăcată în mănușă. Înainte de îmbrăcarea mănușilor, mîinile se pudrează cu talc. Cind ambele mănuși sunt îmbrăcate, se îndreaptă manșetele și se întinde mănușa pe degete. Mănușile îmbrăcate se spălă pe mîini pentru a elimina impuritățile, se îndoiește manșeta pînă la încheietura mîinii. Se scoad degetele din mănușă, se scoate mănușa și se întoarce pe față.

A doua mănușă se apasă cu degetele în interior, se scoate și după ce se usuocă, se întoarce pe față. Se trece prin mănuși un curent de aer comprimat, se pudrează cu talc. Se învelesc în pînză și se păstrează în cutie. Mănușile rupte se arungă.

LUCRARI PRACTICE

PARTEA I-a

1. DETECTAREA RADIATIEI CU AJUTORUL EMULSIIOR NUCLEARE

1.1. Principiul lucrării.

1.1. a) Emulsia nucleară ca detector de radiatii ionizante.

Metoda înregistrării radiatiilor cu ajutorul emulsiei sunt multiple utilizări în fizica nucleară.

Toate radiatiile ionizante impresionează emulsia fotografică lăsând în lungul traectoriei în urma developării grăunțe de argint metalic care se pot observa la microscop sub forma de granule negre înlănțuite. Numărul de granule pe unitatea de parcurs este proporțional cu pierderea de energie prin ionizare a particulei.

Parcursul pînă la oprire al particulei în emulsie depinde de energia cinetică a acesteia, de sarcina și masa particulei. Viteza particulei (care se poate măsura prin densitatea de granule) pe unitatea de parcurs și energia cinetică a particulei (care se măsoară prin parcursul restant în emulsie) permit determinarea masăi particulei, deci identificarea ei.

In măsurătorile de energie ale particulelor în emulsie o mare importanță este rezoluția energetică. Aceasta este legată de energia minimă pe care o pierde o particulă pentru a produce o granulă de argint devalabilă. Rezoluția energetică a emulsiei este destul de redusă energia minimă pentru producerea unei granule fiind c. 2 KeV.

In funcție de particulele ce se înregistrează, emulsia este de diferite tipuri: pentru înregistrarea particulelor relativiste, pierde-

de energie, pe unitatea de parcurs fiind mică, se utilizează emulsii de sensibilitate ridicată și cu conținut mare de bromură de argint. Pentru înregistrarea particulelor puternic ionizante sunt necesare emulsii cu sensibilitate mai mică. Sensibilitatea emulsiei este legată nu numai de conținutul în bromură de argint al emulsiei ci și de dimensiunea microcristalelor; sensibilitatea maximă se obține pentru cristale de bromură de argint de 0.4μ . Pentru măsurarea sensibilității, atunci cînd se mărește să se detecteze numai particulele puternic ionizante, se mărează dimensiunile cristalelor la 0.1μ .

Conținutul emulsiei utilizate pentru înregistrarea următoarelor particulelor înărcite este dat în Tabelul I.

Cantitatea de apă conținută în emulsie depinde de condițiile atmosferice. Emulsiiile utilizate au în general grosimea de 200μ . În cazuri speciale se pot prepara emulsii cu grosimea de $400-600 \mu$.

1.1. b) Măsurarea diferențelor caracteristice ale particulelor în emulsie.

Densitatea de granule în emulsie după developare este proporțională cu pierderea de energie prin ionizare a particulei.

Pierderea de energie pe unitatea de parcurs este dată de relația:

$$(1) - \frac{dE}{dx} = \frac{4\pi e^4 z^2 N}{mv^2} \left[Z \left[\ln \left(\frac{2mv^2}{I} \right) - \ln (1 - \beta^2) - \beta^2 \right] - C_K \right]$$

în care:

e – este sarcina electronului,

ze – este sarcina particulei incidente,

v – este viteza particulei incidente ($\beta = \frac{v}{c}$).

N – este numărul de atomi pe cm^{-3} de emulsie,

Z, I sint numărul atomic mediu și potențialul mediu de ionizare a acestor atomi,

m – este masa electronului,

C_K – este un factor de corecție care este necesar numai în ca-

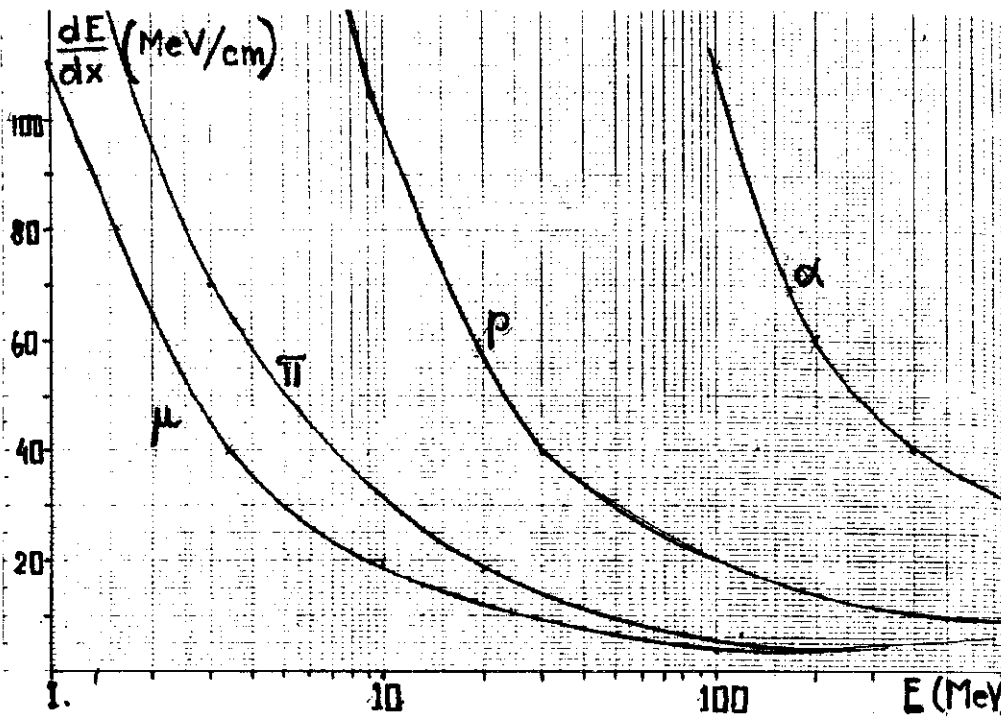


Fig.1 - Pierderea de energie pe unitatea de parcurs in emulsie.

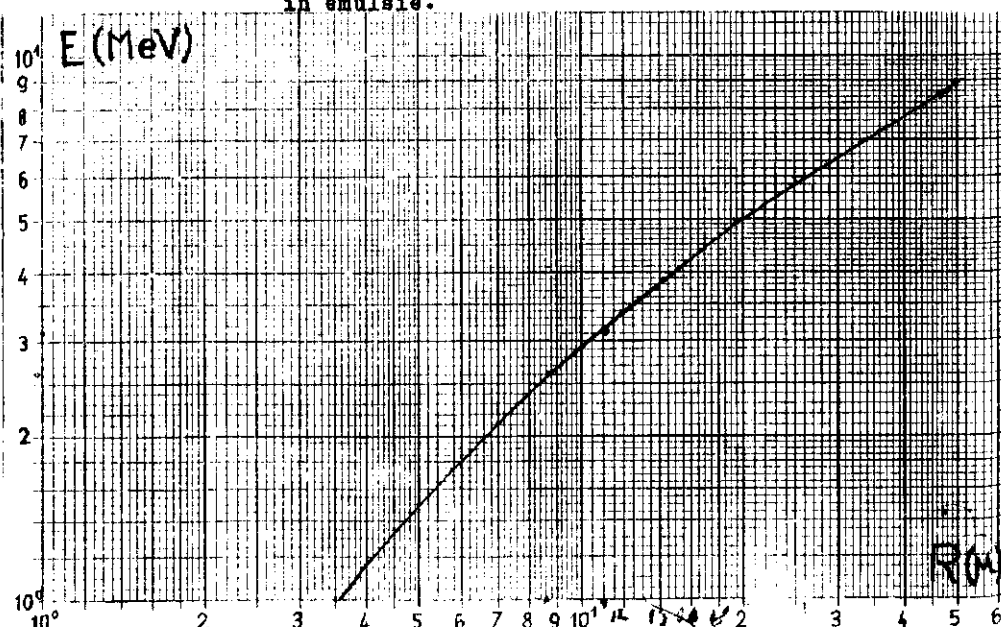


Fig.2 - Parcursul particulelor α in emulsii nucleare.

sul in care viteza particulei este comparabilă cu viteza electronilor pe pătura K a atomilor mediului. Pentru viteză pînă la $5 \cdot 10^9$ cm/sec., corecția relativistă dată de termenul β^2 este mică și se poate neglija (mărimile din formula 1 sunt exprimate în sistemul CGS electrostatic).

Fig.1 dă pierderea de energie (MeV/cm) pentru diferite particule în emulsie în funcție de energia cinetică a particulelor (MeV). Se observă că pentru energii suficiente mari (~ 1 GeV) particulele nu mai pot fi distinse după numărul de granule pe unitatea de parcurs decit dacă au sarcini diferențiate (de ex., particula α pierde pe unitatea de parcurs la minimum de ionizare de patru ori mai multă energie decât un proton).

Pentru a utiliza curbele $\frac{dE}{dx}$ din fig.1, pentru a distinge particulele după masă, trebuie să lucrăm într-un domeniu de energie în care granulele formate pe traекторia particulei sunt distincte. Dacă granulele sunt prea dese, determinarea experimentală a mărimii $\frac{dE}{dx}$ nu mai este corectă, ceea ce se întimplă la energii mici pentru particule grele pe ale căror trase nu se pot număra granulele.

Din relația (1) se vede că pierderea de energie pe unitatea de parcurs este funcție numai de viteza particulei și pentru viteză nu prea mare variază ca $1/\beta^2$ pentru orice particulă.

Utilizând pierderea de energie se poate afla direcția de mișcare a unei particule în emulsie prin măsurarea densității de granule în două porțiuni ale trasei (suficient de depărtate).

Dacă particula înregistrată își pierde toată energia în emulsie, atunci lungimea parcursului este o măsură a energiei sale cinetice:

$$(2) \quad R = \int dx = \int_0^\infty -\frac{dE}{dx}$$

Dacă ținem seama de relația (1), obținem:

$$(3) \quad R = Mf(v_0)/z^2$$

unde M este masa particulei incidente și v_0 viteza ei inițială, ze să-

cina particulei.

Formula (3) este valabilă numai pentru particule de energie medie și mare.

Fig.2 dă curbele parcurs - energie pentru diferite tipuri de particule în emulsie în funcție de energia cinetică a acestora.

Parcursul depinde de natura mediului; valori ale parcursului în alte medii găsiți în Anexa I.

Se definește puterea de frânare a mediului ca mărimea:

$$(4) \quad B = z \ln(2 mv^2/I)$$

Pentru particule de viteze nu prea mari, această mărime ne permite să evaluăm raportul între parcursul mediu al particulei în două medii diferențiate. Mărimea B este o mărime aditivă și pentru un mediu format din mai multe tipuri de atomi se poate calcula prin relația:

$$(5) \quad B = \sum_i N_i B_i \quad \text{unde } N_i \text{ este numărul de atomi pe } \text{cm}^3 \text{ din specia } i \quad (N_i = \frac{N_0}{A_i}).$$

Dacă se cunoaște pierderea de energie sau parcursul unei particule de masă M_a și sarcină Z_a atunci formulele (1) și (3) permit găsirea același mărimi pentru o particulă cu masa M_b și sarcina Z_b , cu condiția să le comparăm la aceeași viteză.

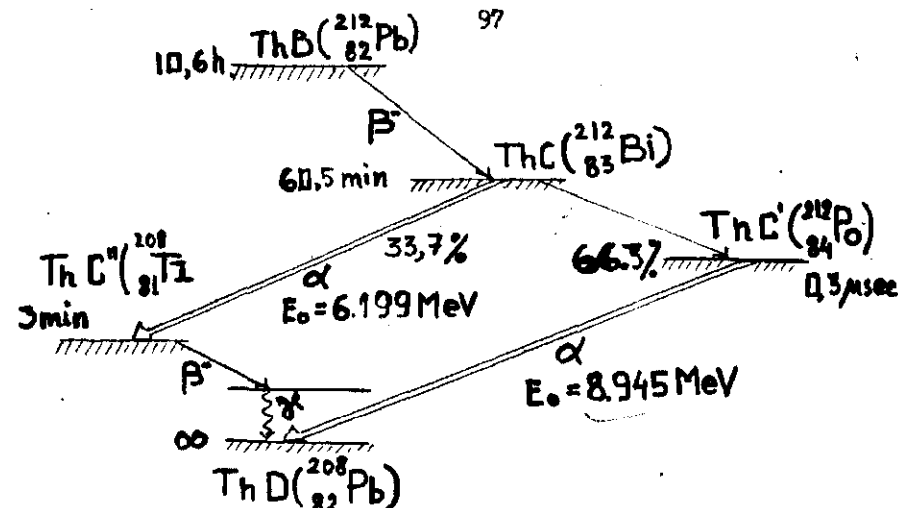
$$(6) \quad (\frac{dE}{dx})_b = (Z_b/Z_a)^2 (\frac{dE}{dx})_a$$

$$(7) \quad R_b = (Z_a/Z_b)^2 (M_b/M_a) R_a$$

dacă $v_b = v_a$ sau $\frac{R_a}{M_a} = \frac{R_b}{M_b}$ deci $R_a = \frac{M_a}{M_b} R_b$.

1.2. Obiectul lucrării.

Se măsoară parcursul particulelor α emise de ThC' și ThC'' în emulsia nucleară și se determină energia acestor radiații utilizând relația parcurs - energie.



1.2. a) Particulele α înregistrate în emulsia nucleară.

Emulsia utilizată în laborator a fost iradiată cu $\text{ThB}(^{212}\text{Pb})$

în echilibru cu descendenții săi radioactivi în conformitate cu schema din fig.3 ("depozit activ de toriu").

In fig.3 energiile radiațiilor α indicate prin E_0 sunt energii maxime.

In realitate fiecare tranziție are mai multe radiații ale căror energii diferă puțin între ele. In cazul tranziției $^{212}\text{Bi} \rightarrow ^{208}\text{Tl}$, radiațiile α care se emit cu probabilitatea maximă au energiile $E_0 = 6.159 \text{ MeV}$ (70%) și $E_0 = 6.199 \text{ MeV}$ (27%).

In cazul tranziției $^{212}\text{Po} \rightarrow ^{208}\text{Pb}$ radiația α care se emite cu probabilitate maximă este cu energia $E_0 = 8.776 \text{ MeV}$ (~100%).

In limitele rezoluției pe care o dă metoda emulsiei nucleare nu se poate face separarea între particulele α emise cu energie diferențată de către ^{212}Bi .

1.2. b) Exponerea emulsiei.

Emulsia a fost iradiată cu "depozit activ de toriu" prin metoda de contact. Geometria de iradiere este arătată în fig.4.

Metoda este bună pentru experiențe în care se urmărește localizarea regiunilor active dar nu prea potrivită pentru obținerea spectru-

lui energetic al particulelor emise din cauza autoabsorbției în preparat și din cauza adincimii mari pe care o au urmele în emulsie.

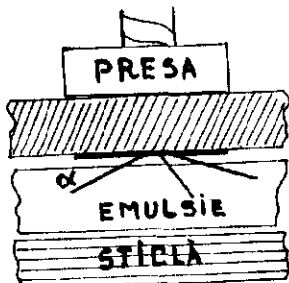


Fig.4

Măsurarea parcursurilor particulelor în emulsie se face cu ajutorul unui microscop binocular (IOR).

Ocularele utilizate sunt de $\times 7$ și într-unul dintre ele se găsește o scără micrometrică gradată în 100 diviziuni.

Obiectivul utilizat este un obiectiv de imersie cu puterea de mărire $\times 90$. Utilizarea acestui obiectiv cere precauții speciale: pe placă de emulsie (așezată cu stratul de emulsie spre obiectiv) se așază o picătură de ulei de imersie.

Obiectivul se coboară cu ajutorul șurubului de deplasare grosolană pînă la suprafața plăcii și se ridică lent, privind în microscop pînă la apariția imaginii. Nu se face niciodată coborîrea obiectivului cu ochii în microscop actionînd din surubul de deplasare brută deoarece se poate sparge placa și deteriora obiectivul! După ce a fost găsit planul de focalizare se utilizează numai șurubul de deplasare fină. Aceasta este prevăzut cu un tambur care măsoară deplasarea pe verticală în diviziuni de cîte 2μ .

Pentru deplasarea mesei se utilizează două șuruburi care permit deplasarea separată a plăcuței (fixată pe masa microscopului) pe x și y.

Lungimea traseelor se măsoară cu ajutorul scărîței micrometrice din ocular astfel: se așază scără ocularului paralelă cu trasa și la distanță suficientă de mică pentru a se putea aprecia lungimea cu preci-

sie de 1 diviziune (1 diviziune reprezintă în cazul măririi indicate $0,46\mu$).

Se focalizează un capăt al urmei și se citește diviziunea de pe surubul de adincime (Z_1) și diviziunea de pe scără ocular (d_1).

Se focalizează apoi celălalt capăt al urmei și se citesc respectiv Z_2 și d_2 . Lungimea reală a urmei va fi:

$$(8) R^2 = f_1^2(d_2 - d_1)^2 + S^2 f_2^2(z_2 - z_1)^2 \text{ în } \mu \text{ unde } f_1 = 0,46\mu/\text{div}$$

$f_2 = \frac{1}{S}$ și S este factorul de contracție al emulsiei; în cazul nostru $S = 2,35$.

Operația se repetă pentru un număr de aproximativ 100 urme avînd grija să explorăm sistematic plăcuța și să nu mai treacem prin zonele deja explorate.

Se construiește apoi un grafic al numărului de urme în funcție de lungimea parcursului după tipul celui arătat în fig.5.

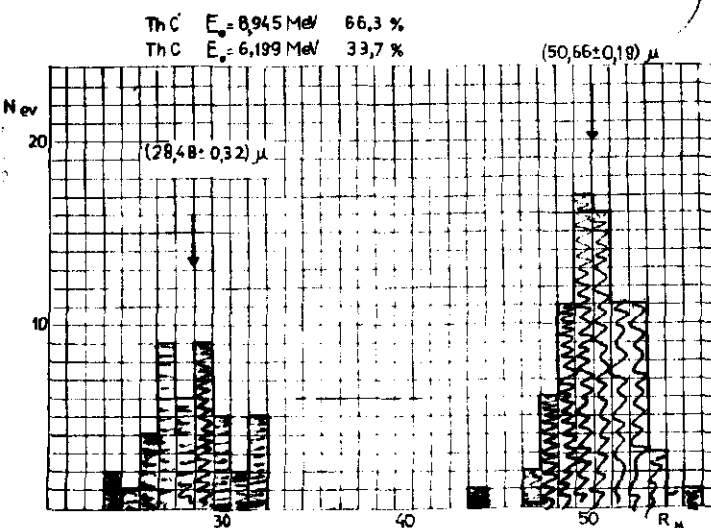


Fig.5

Parcursurile particulelor cu aceeași energie sunt distribuite după o lege gaussiană:

$$(9) \quad y = \frac{1}{\alpha \sqrt{\pi}} e^{-\frac{(x-x_0)^2}{\alpha^2}}$$

unde y este numărul de urme de parcurs x , x_0 parcourul cel mai probabil, $\alpha^2/2$ - abaterea medie pătratică care caracterizează fluctuațiile parcursului lui.

Eroile în măsura parcursului măresc fluctuațiile dar nu modifică valoarea parcursului mediu, x_0 .

T a b e l u l I.

Compoziția emulsiei nucleare în g/cm^3 .

Argint	1.85	g/cm^3
Brom	1.34	"
Iod	0.052	"
Carbon	0.27	"
Hidrogen	0.056	"
Oxigen	0.27	"
Sulf	0.010	"
Azot	0.067	"

4. Probleme și întrebări

1. Să se evalueze rezoluția energetică a metodei în funcție de rezultatele obținute experimental.
2. Ce precauții trebuie luate dacă dorim să determinăm raportul între numărul de particule C6 cu energiile de 8,945 și 6,199 MeV?
3. Ce efecte apar cind se înregistrează particule de energie mare cu emulsii de grosime mică.

2. ATENUAREA RADIATIEI B

2.1. Principiul lucrării

2.1.1. Dezintegrarea β .

Dezintegrarea β este un proces de transformare spontană a unui nucleu instabil, în nucleul izobar $\Delta Z=+1$, în urma emisiei unui electron sau pozitron sau a capturii electronului.

In cazul dezintegrării β a substanțelor radioactive emisia electronului are loc în urma trecerii nucleonului dintr-o stare în alta:



Din punct de vedere energetic această dezintegrare este posibilă dacă masa atomică inițială este mai mare decât cea finală conform relației

$$M(Z, A) > M(Z+1, A)$$

Energia dedezexcitată, bine determinată, este cedată practic numai electronului și antineutrinoului, în proporții variabile. Prin urmare spectrul energetic al electronilor emisi va fi un spectru continuu, cu energie variind de la zero la E_{\max} . (Vezi lucrarea "Spectroscopie β ")

Forma spectrelor β și timpul de viață al nucleelor active depinde de momentul total al cantității de mișcare al particulelor emise. În cazul dezintegrării β , spinul nucleului variază cu un număr întreg. În general, ΔI este egal cu suma momentelor orbitale și de spin ale electronului și antineutrinoului

$$\vec{\Delta I} = \vec{L} + \vec{s}_e + \vec{s}_{\bar{\nu}} \quad (2)$$

Tranzitările β cele mai probabile sunt acelea pentru care momentul orbital L (al electronului și al antineutrinoului) este nul. În acest caz

momentul total al cantității de mișcare a electronului și antineutrinului reprezintă variația spinului nucleului. Aceste tranziții se numesc tranziții β permise. Dacă L crește, probabilitatea de tranziție scade și în același timp viața medie a nucleului crește. De ex. dezintegrarea β^- a ^{40}K conform schemei



este o tranziție interzisă ($T = 1,27 \cdot 10^9$ a) deoarece $\Delta I = 4$.

Viața medie a izotopului β^- - activ depinde de energia tranziției. Cu cît energia de tranziție este mai mare, cu atât tranziția e mai probabilă iar viața medie a izotopului mai mică. Se observă următoarea relație între T și E_{\max}

$$T \sim E_{\max}^{-5} \quad (4)$$

In majoritatea cazurilor condițiile permit tranziția nu numai pe nivelul fundamental al nucleului derivat dar și pe nivele excitate ale acestuia. In acest caz emisiunea β va fi însotită de emisiuni γ . Distribuția electronilor după energii în cazul dezintegrării β , sau forma spectrului β , depinde de felul tranzițiilor: permise sau interzise. De asemenea, din cauza interacțiunilor coulombiene ale electronului (sau pozitronului) în cimpul nucleului derivat, spectrul este deformat,

în special la energii mici ale particulelor.

2.1.2. Interacția radiatiilor β cu substanță.

La trecerea particulelor β prin substanță acestea pierd o parte din energia lor datorită interacțiilor electromagnetice cu electronii sau nucleele substanței traversate. Dacă energia electronilor este de ordinul energiei de repaus, pierderile de energie sunt datorită ionizării sau excitării atomilor substanței traversate. Dacă energia electronilor este mult mai mare decât energia de repaus predomină un alt mecanism de interacție și anume emisia radiatiei de frinare în cimpul electric al nucleelor substanței traversate. Pierderile prin radiacție

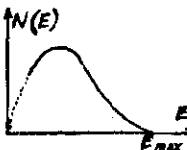


Fig.1
Model de spectru al unei tranziții simple.

este de ordinul energiei de repaus, pierderile de energie sunt datorită ionizării sau excitării atomilor substanței traversate. Dacă energia electronilor este mult mai mare decât energia de repaus predomină un alt mecanism de interacție și anume emisia radiatiei de frinare în cimpul electric al nucleelor substanței traversate. Pierderile prin radiacție

jucă un rol important în cazul frinării electronilor de mare energie. Aceste pierderi cresc cu creșterea energiei electronilor și sunt proporționale cu pătratul sarcinei nucleului substanței traversate.

Energia electronului pentru care pierderile prin radiație devin egale cu pierderile prin ionizare se numește energia critică. Pentru substanțe ușoare această energie este foarte mare, întrucât cu mult energie electronilor emisi în cazul dezintegrării β (tabelul 1).

Tabelul 1 - Energiile critice pentru cîteva substanțe

Substanță	Energia critică (MeV)
Pb	6,9
$^{82}\text{H}_2\text{O}$	93
Aer	83
^7N	87
^2He	220
^{13}Al	47

După cum reiese din acest tabel, în cazul trecerii particulelor β prin absorbantii ușori, de ex: Al, pierderile de energie se datoresc practic numai ionizării. Datorită pierderilor de energie la trecerea prin absorbant energia electronilor care părăsesc absorbantul este mai mică decât cea a electronilor incidenti.

Parcursul particulei este drumul prin absorbant de-a lungul căruia energia cinetică initială a particulei se pierde prin interacție cu mediul străbătut și este dat de următoarea relație:

$$x_0 = \int_0^E \frac{dE}{-(\frac{dE}{dx})} \quad (5)$$

Parcursul se măsoară fie în unități de lungime sau în unități de masă superficială de ex. (g/cm^2) . În acest caz se utilizează denumirea de parcurs masic X_m ($X_m = \rho \cdot x_0$, ρ fiind densitatea materialului). Parcursul particulei este funcție de energia și cinetică, dependență

care va permite determinarea energiei particulelor β prin măsurarea parcursurilor lor. În ceea ce privește dependența de densitate a absorbantului, ρ , experiența arată că X_m , pentru o anumită energie, dar pentru diferiți absorbanți, are o valoare aproape constantă. Acest fapt permite calculul parcursului în orice material, dacă se cunoaște parcursul într-o substanță de referință de ex.AL:

$$X_m = X_{mAl} \cdot \frac{\rho_{Al}}{\rho} \quad (6)$$

Însă, determinarea precisă a parcursului particulelor β în absorbant este destul de dificilă datorită faptului că traiectoria acestor particule în absorbant nu este liniară. În urma unor coliziuni elastice electronii suferă devieri la unghiuri mari. Acest fenomen de împărtiere are loc în special la elemente cu Z mare. Numărul de electroni care traversează o anumită grosime din absorbant este o funcție descreșătoare de grosimea acestui absorbant. Grosimea maximă a absorbantului care absorbe practic toți electronii incidenti definește anumitul parcurs maxim. În cazul unui fascicol monoenergetic de electroni curba de absorbție a acestor electroni în grosimi variabile de absorbant scade destul de abrupt cu creșterea grosimii și există o grosime a absorbantului pentru care numărul electronilor din fascicoul scade la zero. În cazul electronilor emisi sub formă unui spectru β continuu, dat fiind că în fascicul sunt prezenti electroni de energii foarte diferite, electroni de energii mici sunt puternic absorbiți, astfel încit numărul electronilor din fascicul scade repede cu grosimea absorbantului. Dar scăderea la zero a celor două curbe are loc pentru aceeași valoare a grosimii absorbantului. Această grosime reprezintă grosimea maximă pe care o pot străbate electronii având E_{max} .

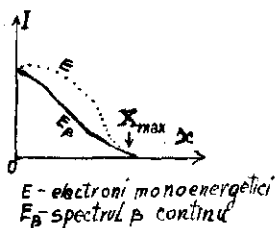


Fig.2 - Variația intensității fascicoului în funcție de grosimea absorbantului

energii foarte diferite, electroni de energii mici sunt puternic absorbiți, astfel încit numărul electronilor din fascicul scade repede cu grosimea absorbantului. Dar scăderea la zero a celor două curbe are loc pentru aceeași valoare a grosimii absorbantului. Această grosime reprezintă grosimea maximă pe care o pot străbate electronii având E_{max} .

corespunzătoare energiei maxime din spectrul β . În cazul spectrului continuu curba de absorbție tinde mult mai lent spre zero, apropiindu-se aproape tangentă de aceasta. De aceea este foarte greu de determinat cu precizie punctul X_m deci și valoarea E_{max} , vezi fig.2. Studiul spectrelor β și determinarea precisă a formei și valorii lui E_{max} se face cu ajutorul metodelor spectrometrice. În cazuri în care este nevoie să se determine energia E_{max} a spectrului β cu o precizie cu mult 5% se folosește metoda absorbției.

Se trasează graficul variației intensității fascicoulului în funcție de grosimea absorbantului (de regulă în aluminiu).

Folosind curba trăsată se determină energia maximă a electronilor prin două metode.

I. Pentru determinarea parcursului maxim se folosesc următoarele relații empirice, valabile în diverse domenii ale energiei particulelor:

$$X_m = 0,407 E^{1.36} \quad \text{pentru } 0,15 < E < 0,8 \text{ MeV} \quad (7)$$

$$X_m = 0,542 E - 0,133 \quad \text{pentru } 0,8 < E < 3 \text{ MeV} \quad (8)$$

$$X_m = 0,571 E - 0,161 \quad \text{pentru } 1,2 < E < 2,3 \text{ MeV} \quad (9)$$

Relațiile au fost verificate prin compararea cu valorile parcursurilor obținute prin metode spectrometrice. Valori ale parcursului maxim (grosimea de oprire) a electronilor în diverse substanțe găsite în graficul din anexa 12.

II. Determinarea limitei superioare a spectrului β se face folosind nomogramele 3 și 4.

Graficul 4 permite determinarea limitei E_{max} a spectrului β în funcție de grosimea d_n a absorbantului, care slăbește fascicoul de particule de 2^n ori. (2,4,8,..., etc.).

Nomogramele prezentate pot fi folosite numai în cazul spectrelor permise.

Acestea pot fi folosite și în cazul spectrelor interzise, unde fie că se face o corecție a acestor spectre folosind factori de formă, fie că se folosesc valori mari ale lui n .

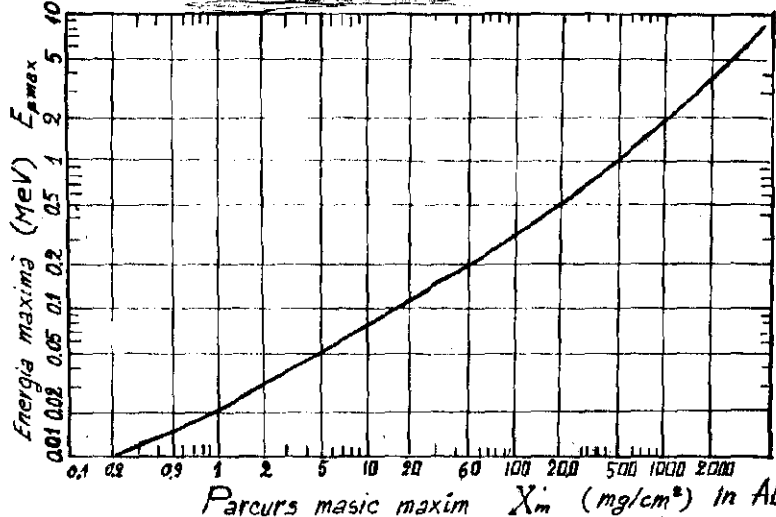


Fig.3 - Grafic pentru determinarea E_{\max}

Trebue să remarcăm că metodele de determinare a limitei superioare a spectrelor β dau rezultate identice numai în cazul spectrelor β simple cînd dezintegrarea nucleului are loc totdeauna pe un singur nivel al nucleului resultant ex. ^{32}P , ^{90}Sr (^{90}Y) ^{36}Cl etc. În cazul

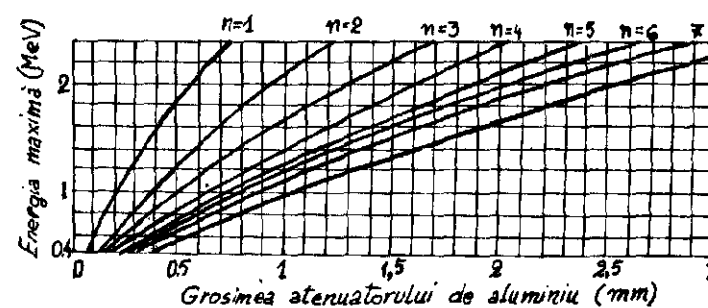


Fig.4 - Nomograme pentru aflarea energiei maxime a radiațiilor β .

spectrelor β complexe prin metoda absorbției se poate determina numai limita superioară a spectrului parțial.

2.3. Scopul lucrării.

Să studiază absorbția radiațiilor β în diverse absorbanți, să determinăm parcursul lor maxim și din graficele din fig.3 și 4 se află energia maximă a radiațiilor β emise. Ca surse se pot folosi ^{204}Tl , ^{32}P , ^{36}Cl , și ^{90}Sr (^{90}Y).

2.4. Aparatura utilizată.

Ca detector se folosește o sondă de scintilație S 19 MB cu scintilator plastic, cu fereastră subțire de aluminiu.

Semnalul obținut cu ansamblul scintilator fotomultiplicator este prelucrat în montajul prezentat în fig.5. Se aranjează pragul de discriminare la discriminatorul integral 1123 la $0,05\text{-}0,1\text{ V}$ ca să nu fie influențată mult detecția electronilor de energie joasă.

În prelucrarea finală se va ține seama de absorbția introdusă în fereastră detectoanelui (x_d) și în stratul protector al sursei (x_s).

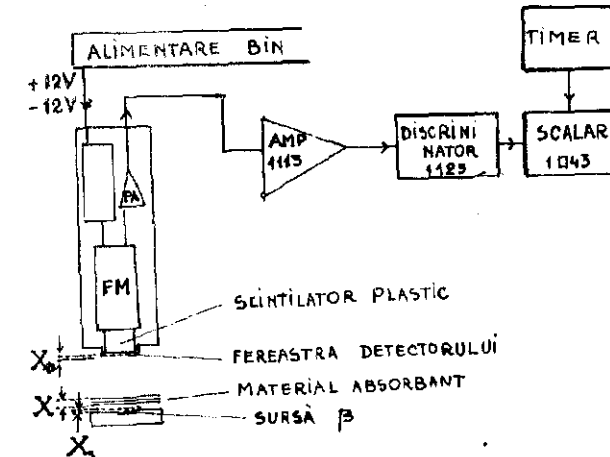


Fig.5 - Geometria sursei detector și lanțul electronic

2.5. Modul de lucru

Drept sursă de electroni este folosită o sursă radioactivă de ^{204}Tl . Drept absorbanți vor fi folosite plăcuțe din Al, Cu, Sn.

Radiațiile beta ce trec prin absorbat, în geometria din fig.5 sunt înregistrate de detectoarele de scintilație. Plăcuțele se așază

direct pe suportul sursei una peste alta, distanța sursă scintilator rămînd constantă.

• Se determină timpul t de înregistrare în așa fel încât vitezele de numărare să fie determinate cu eroarea sub 5%.

• Se determină viteza de numărare $r = \frac{N}{t}$ pentru diferite grosimi ale plăcușelor de Al începînd cu cea mai mică grosime.

Dela o anumită grosime încolo viteza de numărare va încesta să mai scadă, păstrînd o anumită valoare constantă dată de fondul contorului utilizat precum și de radiația de frinare, generată de electroni în foile de aluminiu. Vom măsura cu foarte mare precizie viteza de numărare "F" corespunzătoare acestei grosimi de absorbant. Ca să fim siguri că nu mai pătrund electroni în contor vom mai adăuga cîteva foile de Al la cele puse pînă în acel moment.

Pentru fiecare grosime de aluminiu, se calculează grosimea masică ρx . Apoi se reprezintă $r = f(\rho x)$. Punctul unde această curbă devine tangentă la abscisă, determină pe abscisă parcursul maxim X_m în aluminiu al electronilor emisi de ^{204}Tl . Se va acorda o atenție deosebită preciziei cu care se determină viteza de numărare atunci cînd aceasta tindă către zero, decareces mai ales din aceste valori rezultă precizia lui X_m .

Se procedează analog cu foile de Cu și Sn.

2.5.1. Determinarea parcursului masic în Al, Cu, Sn al radiațiilor β emise de ^{204}Tl , ^{32}P , ^{36}Cl și ^{90}Sr (^{90}Y). În literatura de specialitate se subliniază dificultatea stabilirii exacte a parcursului din curbele $r = f(\rho x)$. De aceea în continuare se va recomanda o metodă diferită de cele utilizate în mod curent. Se reprezintă grafic $R = f(\rho x)$ pentru cei trei absorbanți, unde $R = r - F$. Se vor obține curbe care nu sunt tangent către axa ρx ci o taie în puncte corespunzătoare parcursurilor maxime. În apropierea punctului de intersecție cu Ox curba are forma unei drepte, astfel încît putem stabili exact punctul de intersec-

tie cu Ox efectuind o extrapolare liniară cu ajutorul unei rigle. În acest fel putem obține mai exact parcursul masic. Se poate demonstra că pentru grosimi mari, apropiate de parcursul maxim, există relația liniară:

$$\boxed{R = m(\rho x - X_m)} \quad (9)$$

pentru $r \rightarrow F$, $\rho x \rightarrow X_m$.

2.5.2. Determinarea grosimilor de înjumătărire

Din curbele $r = f(\rho x)$ se deduce grosimea $d_{1/2} = \rho x_{1/2}$ pentru care viteza de numărare scade la jumătate. Această mărime este caracteristică pentru fiecare izotop radioactiv.

Se calculează parcursul X în Al, Cu, Sn din parcursurile masice obținute. Se calculează grosimile de înjumătărire $X_{1/2}$.

Se verifică dacă parcursul masic și grosimea de înjumătărire masică au practic aceeași valoare în diferiți absorbanți.

Utilizînd relațiile (7) și (8) se calculează E_{\max} a spectrului β utilizat.

Folosind nomogramele fig. 3 și 4 să se calculeze E_{\max} și se compara valorile obținute și se interpretează rezultatele.

2.6. Probleme

a) Admitînd că pentru $\rho x \ll X_m$ curba de variație a vitezei de numărare R este o exponentială de formă:

$$R = R_0 e^{-\mu x}$$

unde μ poartă numele de coeficient de absorbție și se exprimă în m^{-1} , să se calculeze acest coeficient pentru Al, Cu și Sn, utilizînd distanțele de înjumătărire $d_{1/2}$ cunoscute de la punctul 2.5.2.

b) Care va fi grosimea de plastic necesară pentru o protecție completă față de radiațiile β emise de ^{90}Y știind că energia maximă $E_{\max} = 2,26\text{MeV}$ și densitatea plasticului folosit este $\rho = 1,1 \times 10^3 \text{ kg/m}^3$.

- c) Alegeti absorbanții, numărul și grosimea lor pentru a determina energia maximă a unei surse de ^{82}Br ($E_{\max} = 450 \text{ KeV}$). Dacă viteză de numărare fără absorbant este de 20 pulsuri/sec., iar palierul fondului la grosimi mari este de 1 puls/sec., să se găsească condițiile experimentale necesare pentru ca eroarea în diferența numărului de pulsuri, la două grosimi, să fie de cel mult 10%.
- d) Justificați deosebirile care există între parcursurile particulelor α și electronilor β , de aceeași energie, într-un material care are lungime, sinuositatea traectoriei etc.
- e) Particulele β emise de o sursă de ^{137}Cs sunt detectate cu ajutorul unui scintilator plastic. Care trebuie să fie grosimea minimă a scintilatorului pentru a stopa toți electronii de energie maximă. Care este contribuția fondului radiatiilor γ emis de Cs la detecția particulelor β . Indicație: revedeți schema de dezintegrare a ^{137}Cs ; căutați în tabele coeficientul de absorbtie μ al cuantelor γ emise de ^{137}Cs în plastic și calculați probabilitatea de interacție a unei cuante γ cu substanța scintilatorului.

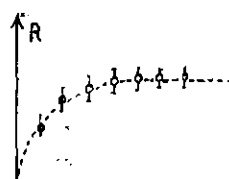
2.7. Bibliografie

- 1 K.Siegmann - "α, β and γ Ray Spectroscopy" North Holland Pub.Comp. Amsterdam (1966).
- 2 x x x - Practicum pe iadernei fizike, Ed. Universității, Moscova, 1972.

3. RETROIMPRASTIEREA RADIATIILOR β .

3.1. Principiul lucrării

Datorită interacțiilor coulombiene cu electronii și nucleele dintr-un material care are radiatiile β , fiind particule ușoare, suferă deviații dela direcția lor inițială. Cind aceste deviații depășesc unghiul de 90° , radiatiile β pot părași materialul chiar prin suprafața prin care au intrat. Acest fenomen poartă numele de retroimprăștieră. Pentru grosimi mici din acestași material, numărul de particule β retroimprăștiate crește cu grosimea ecranului reflector, pînă cind această grosime devine atît de mare, încît particulele imprăștiate în straturile mai adînci ale materialului, nu mai au suficientă energie pentru a ieși înapoi prin suprafața de intrare. Crescînd mai departe grosimea materialului, cantitatea de radiatii retroimprăștiate nu mai crește. Grosimea de la care, practic, nu mai crește intensitatea radiatiilor retroimprăștiate,



Grosimea d
Fig.1 - Variatia intensitatii radiatiei β retroimprăștiate in functie de grosimea d a materialului

poartă numele de grosime de saturatie. Curba care arată variația intensității radiatiei retroimprăștierii cu grosimea materialului este dată în fig.1. Aceasta este o curbă caracteristică fenomenelor de saturatie. Bazale teoretice ale retroimprăștierii au fost elaborate și discutate în numeroase lucrări, dar care descriu fenomenul fie pentru substanțe cu numere atomice mari [1] fie pentru elemente cu numere atomice mici [2]. În general se poate afirma că pînă în prezent, nu există o teorie unitară asupra fenomenului de retroimprăștiere. Această situație a impus, cel puțin pentru scopuri practice, analitice, folosirea unor date empirice care

și stabilească dependența intensității radiațiilor β retroimprăștiate de natura materialului de analizat, energia radiațiilor β incidente și geometria de măsurare.

3.1.1. Variatia intensitatii radiatiei β retroimprăștiate in functie de natura materialului.

a) S-a stabilit că grosimea de saturare, pentru un material dat, reprezintă aproximativ 20% din parcursul maxim al electronilor în materialul respectiv. (Vezi lucrarea 2 și anexa 12). Deoarece radiațiile β suferă deviații datorită interacțiilor de tip coulombian, este firesc să ne așteptăm ca intensitatea radiațiilor retroimprăștiate să varieze cu numărul atomic Z al materialului, și anume, să crească cu Z . In general pentru sursele β cele mai utilizate în laborator, se poate spune că viteza de numărare, care este proporțională cu intensitatea radiației retrodifuzate este proporțională cu \sqrt{Z} , la grosimi de saturare

$$R = K_1 \sqrt{Z} + K_2 \quad (1)$$

în care K_1 și K_2 sunt constante de proporționalitate ce depind de geometria folosită și natura sursei. Dacă proba este compusă din mai multe elemente (substanțe anorganice sau organice) atunci prin Z în formulele de mai sus se va înțelege valoarea efectivă definită astfel:

$$\bar{Z} = \sum_i C_i Z_i \quad (2)$$

unde prin C_i se va înțelege fracția ponderală a constituentului cu număr atomic Z .

Dacă n_i este numărul de atomi ai elementului i în amestec, A_i greutatea atomică a elementului i , iar M este greutatea moleculară a amestecului, atunci

$$C_i = \frac{n_i A_i}{M} \quad (3)$$

In general, pentru un compus de forma $B_n D_m$, numărul atomic efectiv \bar{Z} este dat de formula:

$$\bar{Z} = \frac{n(A_B Z_B) + m(A_D Z_D)}{\text{greut.mol. } B_n D_m} \quad (4)$$

în care A_B și A_D sunt greutățile atomice ale lui B și D . Cind o substanță S este dizolvată în apă, numărul atomic efectiv al soluției va fi:

$$\bar{Z}_{\text{sol.}} = \frac{C \bar{Z}_S + (100-C) \bar{Z}_{H_2O}}{100} \quad (5)$$

unde C este concentrația procentuală a substanței dizolvate. Cind S este un element $\bar{Z}_S = Z_S$.

3.1.2. Variatia intensitatii radiatiei β retroimprăștiate in functie de energia radiațiilor incidente.

Pentru E_{max} mici ale particulelor β , $0,08 \pm 1,00$ MeV, intensitatea radiațiilor retroimprăștiate crește odată cu creșterea energiei și intensitatea pentru un material dat rămâne constantă. Fig.2, arată variația intensității radiațiilor β retroimprăștiate de către grosimi de saturare de aluminiu, cupru, argint și plumb pentru diferite energii ale radiațiilor β . Așa după cum se vede din figură, pentru o energie dată, intensitatea radiațiilor β retroimprăștiate variază de la material la material, ceea ce este firesc, având în vedere dependența de Z a retroimprăștierii. Deci o sursă de aproximativ 1 MeV este suficientă pentru a obține o intensitate maximă, de saturare, a retroimprăștierii. Din aceleași considerante, rezultă deci că pentru o energie dată

a sursei, variația intensității radiației retroimprăștiate cu grosimea de material va fi diferită de la material la material. Se poate însă trasa o curbă universală, adică aplicabilă materialelor cu orice Z , dacă reprezentarea curbei din fig.1 se face puțin diferit și anume: pe abscisa se pune $\xi = \frac{d}{X_m}$, în care d este grosimea

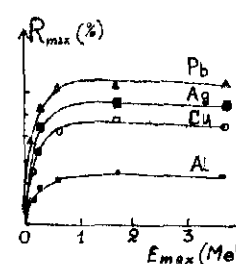


Fig.2 - Variatia intensitatii radiatiei β retroimprăștiate in functie de energia E_{max} a particulelor incidente portul dintre intensitatea R_{c} corespunzătoare

grosimii și R_{∞} , intensitatea de saturatie. Graficul obținut este dat în fig.3, valabil pentru orice material. Acest grafic poate fi folosit pentru determinarea unei grosimi necunoscute dintr-un material la care se cunoaște parcursul maxim X_m , intensitatea radiației retroimprăștiate la o grosime care să depășească grosimea de saturatie și intensitatea (viteza de numărare) corespunzătoare grosimii de studiat.

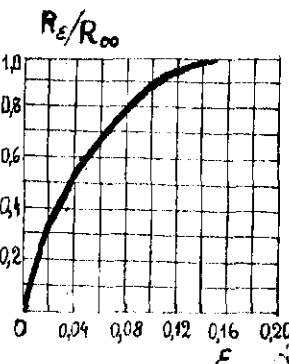


Fig.3

Pentru o instalatie data, geometria cea mai buna sursa-materiale reflektor se determina prin incercari.

Sensibilitatea analizei prin retroimprăștiere si precizia metodei pot fi imbunătățite considerabil dacă între proba de analizat și detector se interpone un filtru de aluminiu. Un astfel de filtru absorbe într-o măsură mai mare radiatiile retroimprăștiante de atomii elementelor usoare. Sensibilitatea metodei este dată de coefficientul de contrast α definit astfel:

$$\alpha = \frac{R - R_0}{R_0} \quad (6)$$

în care R este viteza de numărare cu filtru, iar R_0 fără filtru. Această metodă a filtrelor este folosită în special în cazul determinării concentrațiilor slabă. Cu cît diferența între R și R_0 este mai mare, cu atât se pot determina mai ușor și mai precis diferențe mici de concentrații. α crește în valoare absolută odată cu mărirea grosimii filtrului. La concentrații mici este funcție liniară de concentrație: $\alpha = p \cdot c$. Coeficientul p , tinde spre o valoare optimă pentru o grosime a filtrului egală cu 0,2 din parcursul maxim al radiațiilor β emise de sursa radioactivă.

pentru determinarea unei grosimi necunoscute dintr-un material la care se cunoaște parcursul maxim X_m , intensitatea radiației retroimprăștiate la o grosime care să depășească grosimea de saturatie și intensitatea (viteza de numărare) corespunzătoare grosimii de studiat.

3.1.3. Variatia intensitatii radiatiei retroimprăștiante in functie de geometria de măsură.

3.2. Scopul lucrării.

In partea I-a a lucrării se studiază intensitatea radiatiei reimprăștiate în funcție de natura materialului, energia radiatiei și geometria sursă-detector - material retroimprăștiator.

In partea a doua se determină Z și unor materiale, grosimile sau concentrațiile unor soluții folosind radiatiile β retroimprăștiante.

3.3. Aparatura și materialele necesare.

Geometria sursă-detector - material retroimprăștiator este dată în fig.4. Suportul pentru foile cu material retroimprăștiator poate

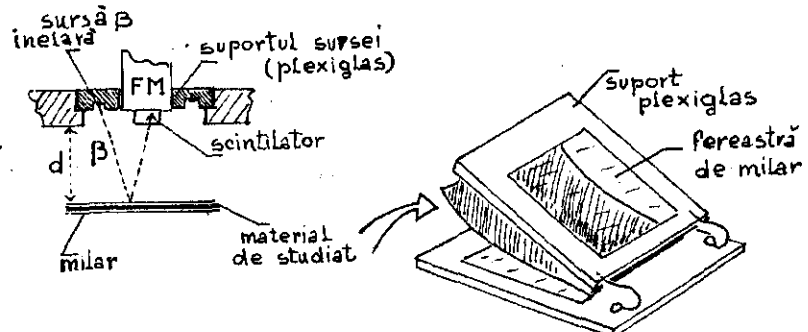


Fig.4 - Geometria sursă detector - material retroimprăștiator.

fi pus la diverse distanțe "d" de detector. Se folosește o sursă inelată de ^{204}Tl .

Ca detector se folosește o sondă de scintilație cu scintilator plastic și cu fereastră subțire, pentru detecția radiațiilor β . Electronică de prelucrare a semnalului detectoarului alcătuită din module NIM, fabricate pe platofonă de fizică, este prezentată în Fig.5.: sondă de scintilație Sl9MB cu scintilator plastic; sursă de alimentare (bateria) ST614; amplificator 1113; discriminător integral 1123; numărător 1043; timer 1052.

Se folosesc ca materiale de retroimprăștiere foile de Al și Cu cu grosimi de ordinul sutimilor de mm.

Pentru verificarea relației 1 se folosește foi metalice cu grosimi mari decât cele de saturatie de Al, Cu, Pb etc.

Se vor folosi de asemenea soluții în apă de XI, pentru o temă practică de măsurare a concentrațiilor.

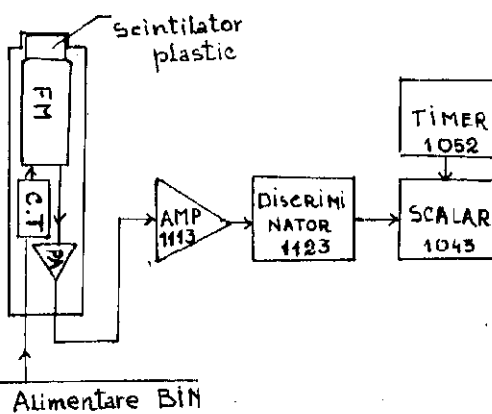


Fig.5 - Lanț de detectie pentru radiația β .

3.4. Modul de lucru.

- Se alege poziția optimă a materialului retroimprăștiator pentru care viteza de numărare la grosimea de saturatie este maximă.
- Se ridică curbele de variație a vitezei de numărare a radiațiilor β retroimprăștiate în funcție de grosimea materialului retroimprăștiator (foile de Al și Cu), pînă la grosimea de saturatie. Se trasează graficul ca cel din fig.1, fiecare punct de pe curbă va fi trecut cu abaterea standard. Timpul de detectie fără foile retroimprăștiate (fond) și cu foile, se aleg astfel încît eroarea relativă pentru orice punct să fie mai mică de 3-5%.
- Se vor trasa aceleasi grafice folosind surse de ^{32}P , ^{36}Cl , ^{90}Sr (^{90}Y). Se va determina variația intensității radiației β retroimprăștiate în funcție de E_{\max} . Se vor trasa grafice ca cele din fig.2. Valorile E_{\max} pentru radiațiile emise de radionuclizi folosiți se vor lua din schemele de dezintegrare din partea introductivă I.
- Folosind datele obținute la punctul a) se va construi un nou grafic ca cel din fig.3. Reprezentările pentru aluminiu și cupru în coordonate

tele din fig.3 trebuie să fie identice în limita erorilor. Se va face calculul erorilor și se vor reprezenta abaterile standard pe curbă. Folosind această curbă, se va determina o grosime necunoscută de aluminiu și cupru. Se va indica eroarea cu care au fost determinate aceste grosimi.

e. Folosind rezultatele obținute la punctul a) se va stabili grosimea optimă a filtrului de aluminiu. Cu acest filtru se măsoară viteza de numărare corespunzătoare diferitelor concentrații, cunoscute, dintr-o soluție carecăre. Se obține astfel o curbă de etalonare. Această curbă este folosită ulterior pentru determinarea unei concentrații necunoscute. Se va calcula eroarea cu care a fost determinată această concentrație.

f. Pentru verificarea relației l, dependența intensității radiației retrodifuzate de numărul atomic Z al diferitelor măzăriale se vor pune pe suporti retrodifuzori cu Z diferiți a căror grosime să depășească grosimea de saturatie. Se va reprezenta grafic $R = f(\sqrt{z})$ pentru elementele Al($Z=13$), Cu ($Z=29$), Cd($Z = 48$) și Pb ($Z = 82$). Graficul trebuie să fie o dreaptă.

g. Folosind rezultatele de la punctul precedent să se determine Z-ul unui retrodifuzor necunoscut.

3.5. Probleme

- Să se stabilească relațiile după care se calculează erorile.
- Intr-o experiență de retroimprăștiere, o placă retroimprăștietoare de Al dă la saturatie o viteză de numărare de 4000 imp/min. Ce grosime va avea placa din același material care va da o viteză de numărare de 2000 imp/min? Se va considera $X_{\max} = 3\text{ mm}$.
- Radiațiile β pot fi folosite pentru măsurarea grosimilor și prin metoda transmisiei. Se presupune că se controlează cu ajutorul unei surse intense, de mare energie, grosimea unor lame de 1 mm. Viteza de numărare este $R = 10 \text{ imp/min}$, timpul de măsură 0,5 min, iar $\lambda = 0,5 \text{ cm}^{-1}$. Care este variația de grosime minimă detectabilă? Legea de atenuare a radiațiilor β se presupune exponențială $R = R_0 e^{-\lambda X}$.

4. O piesă de fier masiv se placează cu aluminiu de grosime variabilă. Dacă se utilizează o sursă de ^{204}Tl , care emite radiații β cu energie maximă de 760 KeV, să se arate cum variază intensitatea radiației retro-imprăștiate cu grosimea stratului de aluminiu. Dar dacă se utilizează o sursă β de energie mai mică.

5. Motivați folosirea ca detector a unui scintilator plastic, cu ferestre subțiri de Al de ordinul sutimilor de mm, pentru detecția radiațiilor β .

Bibliografie.

- 1 H.A.Bethe, Proc.Am.Phys.Soc.78 (1938) 573
- 2 T.S.Everhart J.Appl.Physics 31 (1960) 1483
- 3 T.Născuțiu, Metode radiometrice de analiză - Ed.Academiei R.S.R. - București, (1971).

$$\mu = \frac{M}{A} = \frac{\rho N_A}{A M} = \frac{\rho N_A}{A} \cdot \frac{1}{M}$$

4. INTERACTIA RADIAȚIEI γ CU SUBSTANȚA.

4.1. Introducere.

Un fascicul de radiații gama trecînd printr-un strat dintr-un material carecare își micșorează intensitatea. Atenuarea intensității se datoră absorptiei sau imăștirii fotoniilor.

Dacă un fascicul paralel al radiației gama monocromatice este atenuat cu valoarea - dI de către un strat de substanță de grosime dx atunci probabilitatea de interacție - dI/I este proporțională cu dx .

$$-\frac{dI}{I} = M dx \quad (1)$$

unde M se numește coeficient liniar de atenuare. Prin integrare se obține:

$$I(x) = I_0 e^{-Mx} \quad (2)$$

I_0 fiind intensitatea fasciculului incident.

Coefficientul liniar de atenuare este legat de secțiunea eficace atomică de interacție a radiațiilor γ cu substanța, σ , prin relația:

$$M = \sigma \cdot n = \sigma \frac{N_A}{A} \rho \quad (3)$$

unde ρ - densitatea, N_A - numărul lui Avogadro, A - masa atomică.

Introducind mărimea $\xi = x \cdot \rho$ denumită densitate superficială ($[\xi] = \text{g}/\text{cm}^2$), legea de atenuare (2) se scrie:

$$I = I_0 e^{-f_m \xi} \quad (4)$$

unde

$$f_m = \frac{M}{\rho} = \sigma \frac{N_A}{A}$$

este coeficientul de atenuare magic. Utilitatea acestei mărimi stă în faptul că nu depinde de modul de preparare al țintei, ci doar de natura sa. În cazul radiațiilor gama cu energia cuprinsă între 10 KeV și 5 MeV

(obținute la dezintegrarea radionuclizilor cunoscuți) atenuarea la trecerea lor prin materie se datorează următoarelor procese: efectul fotoelectric, impreăstirea Compton și formarea de perechi electron-positron.

ACESTE TREI PROCESE SINT INDEPENDENTE unul de celălalt contribuția fiecărui la coeficientul total de atenuare fiind aditivă

$$M = M_f + M_o + M_p \quad (5a)$$

$$M_n = M_{nf} + M_{no} + M_{np} \quad (5b)$$

$$\bar{\sigma}_f = \bar{\sigma}_f + \bar{\sigma}_o + \bar{\sigma}_p \quad (5c)$$

Efectul fotoelectric constă în absorția integrală a fotonului de către un electron legat din atom. Fotoabsorbția se poate realiza dacă energia fotonului este mai mare decât energia de legătură a electronului din atom. Electronul, preluând energia fotonului, va fi expulzat din atom cu energia cinetică

$$T = E_\gamma - W - T_{\text{recul}}$$

unde E_γ este energia quantei incidente, W - energia de ionizare a paturii electronice pe care se află electronul iar T_{recul} este energia de recul a nucleului. De obicei $T_{\text{recul}} \ll E_\gamma - W$ și obținem: $T_e = E_\gamma - W$ (6) unde $i = K, L, M, \dots$

In fig.1 este prezentată dependența secțiunii eficace în funcție de E_γ .

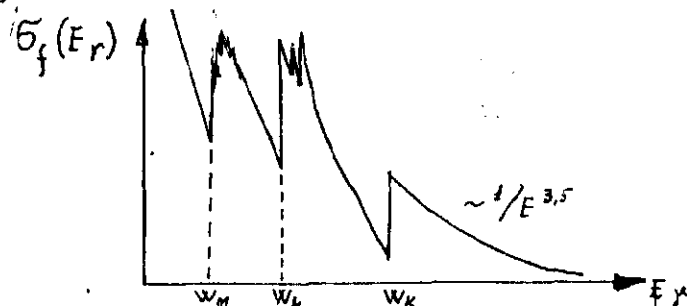


Fig.1

Secțiunea eficace $\bar{\sigma}_f$ este suma secțiunilor pentru electronii diferitelor paturi:

$$\bar{\sigma}_f = (\bar{\sigma}_f)_K + (\bar{\sigma}_f)_L + (\bar{\sigma}_f)_M + \dots = \frac{5}{4}(\bar{\sigma}_f)_K \quad (7)$$

dacă $E_\gamma > W_K$ și

$$\bar{\sigma}_f = (\bar{\sigma}_f)_L + (\bar{\sigma}_f)_M + \dots = \frac{4}{3}(\bar{\sigma}_f)_L \quad (8)$$

dacă $W_K > E_\gamma > W_L$.

Din (8) și (9) rezultă că o dată cu micșorarea energiei E_γ creșterea rapidă a lui $\bar{\sigma}_f \sim E_\gamma^{-3.5}$ este întreruptă de o scădere bruscă pentru $E_\gamma = W_K$ respectiv W_L , obținindu-se aşa cumitele crește de absorbție.

Formulele obținute pentru secțiunea fotoefectului prin metodele electrodinamicii cuantice sunt:

$$\bar{\sigma}_f = 1.35 \cdot 10^{-16} Z^5 \left[13.6/h\nu \text{ (ev)} \right]^{7/2} \text{ (cm}^2\text{)} \quad (9)$$

pentru $W_K < h\nu < m_0 c^2$ și

$$\bar{\sigma}_f = 1.67 \cdot 10^{-33} Z^2 \left[1/h\nu \text{ (MeV)} \right] \text{ (cm}^2\text{)} \quad (10)$$

pentru $h\nu \gg m_0 c^2$

Efectul Compton constă în impreăstirea radiatiilor electromagnetice pe electronii slab legați ai atomilor (fig.2)

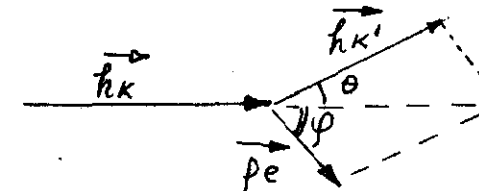


Fig.2

Utilizând notațiile figurii 2 și legile conservării impulsului și a energiei pentru acest proces de ciocnire elastică a fotonilor se obține, pentru energia fotonului impreăstată expresia:

Cda.68/9az Fase.7

$$\frac{h\nu'}{\nu} = \frac{1}{1 + (\hbar\nu/m_e c^2)(1 - \cos\theta)} \quad (11)$$

Distribuția unghiulară a radiației $h\nu'$ imprăștiată Compton este dată de secțiunea eficace diferențială, a cărei dependență este ilustrată în fig.3 pentru diferite valori ale lui $\xi = h\nu/m_e c^2$. Expresia analitică este dată de formula obținută de Klein și Nishina

(12)

$$\frac{d\sigma_c(\theta)}{d\Omega} = r_e^2 \frac{1 + \cos^2\theta}{2} \frac{1}{[1 + \xi(1 - \cos\theta)]^2} \left\{ 1 + \frac{\xi^2(1 - \cos\theta)^2}{(1 + \cos\theta)[1 + \xi(1 - \cos\theta)]} \right\}$$

unde $r_e = e^2/m_e c^2$

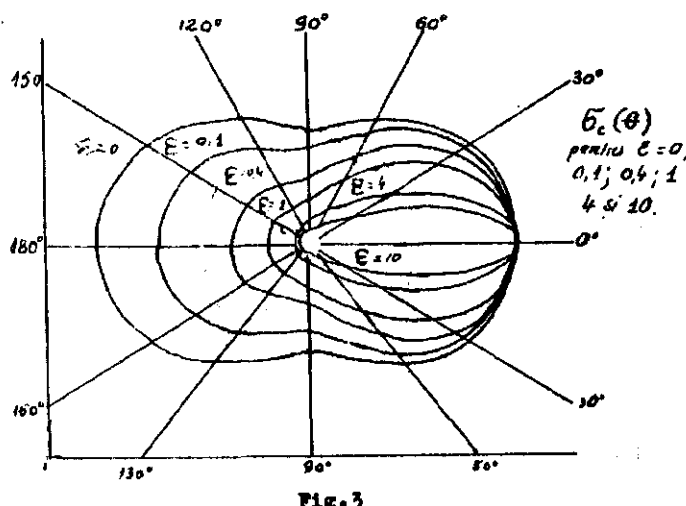


Fig.3

$\tilde{\sigma}_c(\theta)$ pentru $\xi = 0; 0,1; 0,4; 1,4$ și 10

Până integrarea expresiei (12) se obține secțiunea totală Compton care admite două aproximări, una pentru

$$\tilde{\sigma}_c = \tilde{\sigma}_{Th} (1 - 2\xi + \frac{26}{5}\xi^2 + \dots) \quad (13)$$

în care $\tilde{\sigma}_{Th} = \frac{8\pi}{3} \frac{e^4}{m_e^2 c^4} = 0,66 \cdot 10^{-24} \text{ cm}^2 = \frac{8\pi}{3} r_e^2$

iar a două pentru $\xi \ll 1$

$$\tilde{\sigma}_c = \pi r_e^2 \frac{1}{\xi} \left(\frac{1}{2} + \ln 2\xi \right) \quad (14)$$

Pentru un atom cu Z electroni secțiunile eficace atomice corespunzătoare vor fi de Z ori mai mari decât cele pentru un electron izolat. Secțiunea eficace diferențială corespunzătoare cloenirii în care electronul de recul preia energie cinetică T , $\tilde{\sigma}_c(T) = d\tilde{\sigma}_c/dT$ este ilustrată în fig.4 pentru valorile lui $\xi = h\nu/m_e c^2 = 1; 2,35$ și $5,40$.

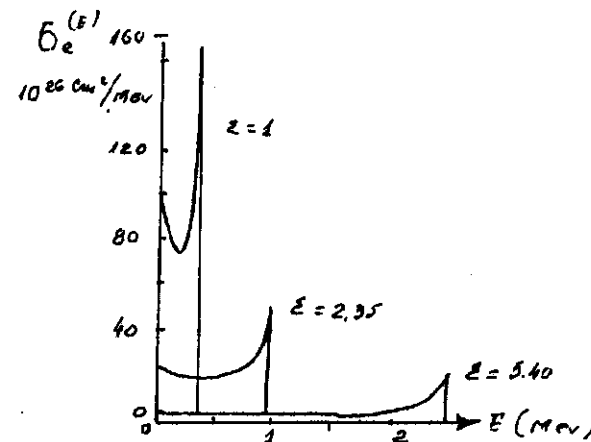


Fig.4

Sunt situații când e nevoie să se cunoască energia medie disipată de radiație în material la un act de împrăștiere. În acest caz secțiunea eficace $\tilde{\sigma}_c$ de atenuare Compton se imparte în doi termeni

$$\tilde{\sigma}_c = (\tilde{\sigma}_c)_a + (\tilde{\sigma}_c)_i \quad (15)$$

$(\tilde{\sigma}_c)_a$ – secțiunea Compton de absorție a energiei transmise electronilor de recul și $(\tilde{\sigma}_c)_i$ corespunzătoare energiei împărtăsite Compton.

Din fig.5 se vede că pentru $E_f < 1,5$ MeV energia medie transmisă electronilor este mai mică decât energia cuantelor împărtăsite.

Formarea perechilor electron-positron se poate produce dintr-o
quantă gama cu o energie mai mare de $2m_e c^2 = 1,02$ MeV, în cimpul electro-
static nuclear care preia un impuls necesar satisfacerii legii de con-
servare a impulsului.

Expresia aproximativă a secțiunii de formare de perechi este

$$\tilde{\sigma}_p = \frac{Z^2}{137} n_e^2 \left(\frac{28}{9} \ln \frac{2E_F}{m_0 c^2} - \frac{216}{27} \right) \quad (16)$$

pentru $m_0 c^2 \ll E_F$

Cele trei efecte analizate nu depind în primă aproximatie de legăturile moleculare. Pentru un compus chimic carecă, coeficientul de atenuare masic sau secțiunea eficace totală va fi media ponderată a mărimilor corespunzătoare pentru atomii constituenți. În primul caz ponderile sunt concentrațiile masice, iar în al doilea caz concentrațiile atomică. De exemplu în cazul apei concentrația masică a hidrogenului și oxigenului este $2/18$ și respectiv $16/18$, iar concentrația atomică este $2/3$ respectiv $1/3$.

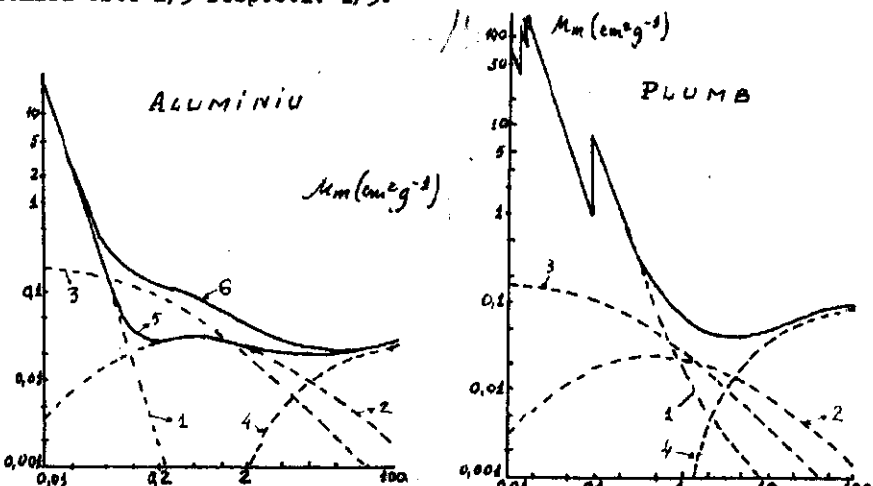


Fig.5a

Fig.5a

Fig.5b

În fig.5a și 5b sunt prezentate pentru Al și Pb dependențele de energie radiatiilor a coeficientului masic de atenuare și absorbție și a componentelor lor: 1-absorbția fotoelectrică, 2-absorbția Compton; 3-imprăștierea Compton; 4-absorbție formare de perechi; 5-absorbție totală; 6-atenuare. În anexa 14 sunt tabelări coeficienții lineari și

masici, de absorbție pentru un fascicul monocromatic îngust în diverse materiale. Coeficienții lineari de atenuare pentru Pb, Fe, Al și apă pot fi aproximati și din graficul din anexa 15.

2. Determinarea coeficienților de absorbție fotoelectrică și de atenuare totală.

Scopul lucrării.

Studiul dependenței de energie și Z a coeficienților masici de absorbție fotoelectrică a radiației electromagnetică.

Aparate și materiale necesare.

- Surse de radiații de diferite energii: ^{57}Co (123 Kev), ^{119}Sn (25 Kev), ^{204}Tl (Pb, 75 Kev), ^{133}Ba , (80 și 356 Kev), ^{137}Cs (661 Kev) sau ^{60}Co (1,17 și 1,33 Mev).

- Plăciute de diferite grosimi de Al, Fe, Cu, Sn și Pb

- Sondă de scintilație cu cristal de NaI(Tl)

- Numărător de particule cu cronometru.

- Analizor monocanal.

3. Modul de lucru

Schema bloc a instalației utilizată pentru măsurarea coeficienților de atenuare este dată în fig.6.

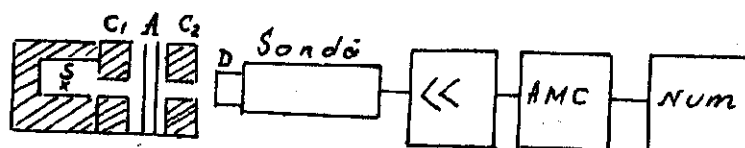


Fig.6

Fascicul de radiații gama emis de sursa radioactivă S este atenuat de stratul absorbant A înainte de a ajunge la detectoarul D de NaI(Tl). Colimatoarele C1 și C2 au rolul de a permite intrarea în detectoar numai a radiației care nu a interacționat cu atenuatorul A, nu și a celei difuzate de A.

Rolul AMC este de a selecta din spectru doar impulsurile date-rate fotonilor de o anumită energie.

In acest scop, premergător măsurătorilor de absorbție se execută o etalonare a lanțului spectrometric γ (vezi lucrarea de spectroscopică). Se ridică apoi, spectrul de amplitudini al radiatiilor gama emise de sursa utilizată. Se delimitază fotopicul datat fotonilor a căror absorbție vrem să-o măsurăm. Pentru a elmina interferența altor fotonii, se efectuează măsurătorile pentru grupele de fotonii cu energia cea mai mare. In fotopic apar pulsuri datorate numai acestor fotonii. Delimitarea fotopicului se face aşezând pragul de discriminare la canalul din limita de amplitudini joase, iar fereastra este aleasă astfel încât să cuprindă întreg fotopicul. Se pun absorbanți de grosime creșătoare (x) și se trasează dependența $\ln R = \ln R_0 - Mx$ unde R este viteza de numărare în fotopic, în prezență absorbantului de grosime X, iar R_0 este viteza de numărare fără absorbant. Din panta dreptei se determină M .

Măsurătorile se repetă pentru toate tipurile de absorbanți și pentru toate sursele existente. Se verifică dependența de Z și E, trăsind dependențele lui $\ln M$ în funcție de $\ln Z$ pentru valori constante ale lui E și apoi dependența lui $\ln M$ de $\ln E$ pentru valori constante ale lui Z. Rezultatele vor fi interpretate indicindu-se unde este predominant efectul fotoelectric și unde cel Compton.

Se evaluatează erorile posibile la determinarea coeficientului de atenuare din cauza fluctuațiilor statistice la numărare și dimineața erorilor la determinarea grosimii plăcuțelor absorbante.

Parametrii dreptei $y = \ln R_0 - Mx$ care sătăcă dependența valoarelor măsurate $\ln R(x)$ se vor determina prin metoda celor mai mici patrate. Prelucrările pot fi efectuate cu un program care să furnizeze prin metoda celor mai mici patrate parametrul M eroarea lui standard σ_M și valoarea normală a lui χ^2 .

$$\chi^2 = \frac{1}{K-2} \sum_{i=1}^K (\ln N_i - \ln N_0 + Mx)^2 N_i \quad (17)$$

în care K este numărul măsurătorilor, $\ln N_0$ este termenul liber al dependenței obținute, X - grosimea absorbantului, iar ultimul factor N_i este ponderea măsurătorii i.

$$P_1 = \frac{1}{\sigma^2(\ln N_1)} = 1/\left(\frac{1}{N_1}\right)^2 \sigma^2 N_1 = N_1^2/N_1 = N_1.$$

Pentru sursa de cea mai mare energie, și cu absorbanții de Z minim să se repete măsurătorile fără colimatorul C 2 și fără analizor monocanal, sau cu fereastra lui maximă și pragul de discriminare la minim. Să se compare valoarea lui M astfel obținută cu cea anterioară și să se explică rezultatul obținut.

4.4. Probleme.

1. Deducreți dimensiunile coeficienților M_m și σ_M
2. Scriind conservarea impulsului și a energiei pentru absorbția unei cuante gama către un electron liber să se arate că cele două ecuații nu sunt compatibile.
3. Să se compare într-un cas concret ($A=60$, $E_g=100$ KeV, $W=10$ KeV) impulsul și energia de recoil a atomului cu impulsul și respectiv energia fotoelectronului emis pe direcția și în sensul propagării fotonului.
4. Sursa de ^{119}Sn emite radiatiile γ de 24 KeV și X de 25,2 KeV. Să se determine care element are creșta de absorbție K între aceste energii? Cât de gros trebuie să fie filtrul din acest element pentru a atenua de 8 ori radiatia X și în acest cas de cite ori este atenuată radiatia γ .
5. Să se determine dependența energiei maxime a electronilor la împărtăierea cuantelor gama (creșta Compton în spectrele γ) în funcție de hV.
6. Să se demonstreze relația (18)

4.5. Bibliografie

1. K.Siegmann "α, β and γ Ray Spectroscopy" North Holland Publ. Comp. Amsterdam 1966
2. K.N.Muhin "Fizica nucleară experimentală" vol.1, Ed.Tehn., București.
3. E.Gaspar, D.Serban "Elemente de radioprotecție", Ed.Tehnică, București, 1976.

5. SPECTROSCOPIA RADIAȚIILOR GAMĂ FOLOSIND DETECTORI CU SCINTILATORI NaI(Tl)

5.1. Introducere

Radiațiile gama sunt fotoni de energii mari (Kev, Mev) emisi în procesele nucleare. Ele intovărășesc produși de reacție în reacțiile nucleare sau radiațiile nucleare (α sau β) în dezintegrările radioactive.

Cunoașterea energiei fotoniilor emisi și a numărului de fotoni având o anumită energie este foarte importantă în fizica nucleară. Determinarea experimentală a acestor mărimi constituie obiectul spectroscopiei gamma. Din măsurările spectroscopice se obțin date direct legate de energia nivelor nucleare excitate și a probabilităților de tranziție și indirect asupra naturii stărilor nucleare. Deasemenea, pe tehnica spectroscopiei gamma se bazează metode industriale sau de laborator pentru analiza impurităților (pînă la concentrații de 10^{-6} sau mai coborîte) în probe de roci, aliaje, materiale tehnice, biologice, etc.

Detectarea radiațiilor gamma și determinarea energiei lor se bazează pe interacția lor cu un dator selectiv. Un asemenea dator este cel cu scintilație.

5.1. a) Scintilatorul

Un dator cu scintilație are două părți: scintilatorul în care are loc conversia energiei particulei în energie luminoasă și multiplicatorul (fig.1) care transformă energie luminoasă în puls de tensiune.

Scintilatorii de NaI sunt monoscristale ce pot ajunge la dimensiuni de 50 x 50 cm.

11 OK

Procesul de producere a scintilației în cristalele de NaI(Tl) este descris în partea introductivă I.3. Reamintim pe scurt următoarele elemente. În rețeaua cristalină, ca rezultat al interacțiunii atomilor are loc organizarea electronilor orbitali în benzi de nivele energetice permise, separate prin zone energetice interzise. Apariția benzilor energetice este condiționată de periodicitatea rețelei în ansamblu. În izolatori zona superioară de energie, numită bandă de conduction este goală și ceea mai joasă, numită bandă de valență, este complet ocupată de electroni. Prin interacțiunea cu o particulă încărcată rapidă electronii trec din zona de valență în zona de conduction. Astfel, în zona de valență rămân goluri care se vor comporta ca particule de sarcină pozitivă. La trecerea electronilor din zona de conduction în ceea de valență are loc recombinarea electron-gol care este însorită de emisia de radiatăre de spectru caracteristic cristalului, și pentru care există deci o probabilitate mare de absorbtie în cristal. Probabilitatea de recombinare este crescută de existența unor nivele locale în zona interzisă, nivele ce apar datorită violării periodicității în rețeaua cristalină și se realizează prin introducerea de microcondiții de atomi străini.

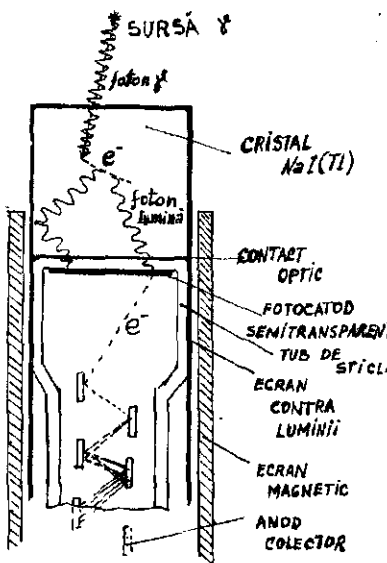


Fig.1 - Sistemul scintilator-fotomultiplicator.

În prezența nivelor locale recombinarea golurilor va avea loc prin trecerea electronilor din zona de conduction în zona de valență

de valență rămân goluri care se vor comporta ca particule de sarcină pozitivă. La trecerea electronilor din zona de conduction în ceea de valență are loc recombinarea electron-gol care este însorită de emisia de radiatăre de spectru caracteristic cristalului, și pentru care există deci o probabilitate mare de absorbtie în cristal. Probabilitatea de recombinare este crescută de existența unor nivele locale în zona interzisă, nivele ce apar datorită violării periodicității în rețeaua cristalină și se realizează prin introducerea de microcondiții de atomi străini.

prin intermediul acestor nivele. Cristalul este transparent pentru această radiatăre. Atomii străini introdusi se numesc activatori. În cazul cristalelor de NaI, activatorii sunt atomi de Tl. Procesul dedezexcitare legat de trecerea electronilor din zona de conductibilitate în zona de valență se numește fluorescență. Timpul de dezexcitare pentru NaI(Tl) este de 230 nsec.

Dacă experiența urmărește măsurarea energiei particulelor incidente este important de văzut că cea precizie ne permite un astfel de sistem (cristal scintilator + fotomultiplicator = detector cu scintilare) determinarea energiei particulelor.

Energia particulei încărcate este pierdută în cristal sub formă de scintilații. Numărul de fotoni este cu atât mai mare cu cît energia de excitație ξ este mai mică ($n \sim \frac{E}{\xi}$) (Vezi exercițiul b din paragraful 5.5), unde E este energia particulei incidente.

În procesul de formare a pulsului, o parte din fotoni se pierde în scintilator sau în procesul de transformare pe fotocatod și o parte din electroni în procesul de colectare.

Toate aceste procese sunt aleatoare. Ele conduc la o fluctuație a amplitudinii pulsului în jurul unei valori medii V. Dacă între amplitudinea pulsului și energia particulei incidente există o proporționalitate atunci se poate defini rezoluția energetică ca:

$$\eta = \frac{\Delta E}{E} = \frac{\Delta V}{V}$$

ΔV se măsoară experimental, ca lărgimea la semilățime a distribuției pulsurilor, provocate în sistemul de detectie de particulele încărcate cu aceeași energie E. Este cu atât mai mare cu cît numărul de scintilații este mai mic și pierderile sunt mai mari. Dependenta $\eta = f(E)$ este dată de formula 5 din I.3. Rezoluția energetică este o mărime foarte importantă pentru un sistem de detectie destinat măsurătorilor spectrometrice deoarece indică posibilitatea de a măsura două valori ale energiei E_1 și E_2 foarte apropiate. (Vezi exercițiul a din paragraful 5.5).

5.1.b. Transformarea radiatiei de fluorescenta in semnal electric.

Pentru a transforma radiatia de fluorescenta in semnal electric se utilizeaza un fotomultipliator. Fotocatoda emite fotoelectroni la aciunea radiatiei emise de cristal scintilator. Rendamentul acestui proces este cu atit mai mare cu cat domeniul de lungime de unda al radiatiei emise este mai apropiat de cel in care este sensibila fotocatoda. Pentru a obtine un numar cat mai mare de fotoelectroni, pentru un numar dat initial de fotonii de fluorescenta este necesar ca cristalul sa fie transparent pentru radiatia de fluorescenta si sa peralte cu un strat de reflector care sa impiedice ieșirea radiatiei din cristal. Deoarece cristalele au indice de refractie mare spatiul intre cristal si sticla fotomultipliatorului este umplut cu un strat subtiu transparent de ulei mineral, pentru micșorarea reflexiei lumii inapoi din scintilator.

In fotomultipliator fotoelectronii se multiplică de 10^6 - 10^8 ori prin procesul de emisie secundara pe dinode. Pulsul cules pe anod este amplificat si analizat cu o schema electronică adevarata tipului de experienta propus (Fig.2).

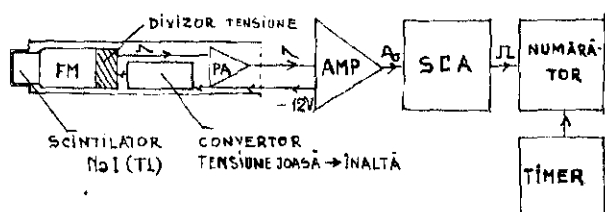


Fig.2 - Spectrometru γ cu scintilator NaI(Tl)

5.1.c. Interacția radiatilor γ cu scintilatorul

Fotonii γ nu provoaca direct scintillatii in cristal de NaI. Inregistrarea fotonilor γ se face prin intermediul electronilor ce provin din procesele de interacție ale fotonilor γ in cristal. In crista-

lul de NaI cuantii γ pot produce electroni prin trei efecte: efect fotoelectric; efect Compton; formare de perechi electron-pozitron.

In tabelul 1 sunt reprezentate schematic contributiile la amplitudinea pulsului a diferitelor procese de interacție a cuantelor γ in scintilator.

Dacă radiatia γ este monoenergetica spectrul de amplitudini obtinut cu un detector de scintilatie arata ca in fig.4.

Se evidențiază fotopicul, creasta Compton de energie maximă și un platou corespunzător imprăștierii fotonilor la diferite unghiuri.

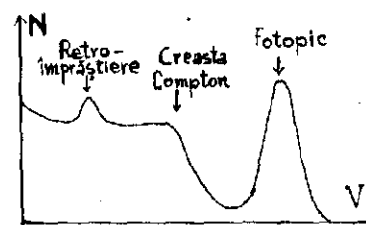


Fig.4 - Spectrul de amplitudini a unei surse γ monoenergetice.

Pe acest platou pot să mai apără picuri asociate altor fenomene. Picul de retroimprăștere apare datorită imprăștierii Compton a fotonilor in materialul care înconjoară detectorul si a înregistrării lor ulterioare in cristal. Energia fotonilor la difuzia inapoi este dată de relația

$$E'_\gamma = E_\gamma - E_{\max}^0$$

Dacă detectorul este înconjurat cu plumb pot apărea picuri corespunzătoare radiatiei X de excitare a păturii K a plumbului (75 KeV).

Dacă energia fotonilor este suficient de mare pentru a crea perechi, se produce perechea electron-pozitron care are energie cinetică $E_{\gamma} - 2m_0c^2$. Pozitronul ajuns in stare de repaus se anihilează cu un electron din mediu formind două cuante γ , emise la 180° si de energie m_0c^2 ($0,511$ MeV). Dacă ambele cuante sunt absorbite in cristal prin efect fotoelectric pulsul inregistrat intră in fotopic.

Dacă unul dintre fotonii este absorbit si celălalt scapă din cristal, pulsul inregistrat corespunde energiei $E_\gamma - m_0c^2$. Pulsurile acesta se vor aduna in picul numit de simplă scăpare. Dacă ambele cuante scapă din cristal se obține un pic (de dublă scăpare) la $E_\gamma - 2m_0c^2$.

TABEL 1 Contribuțiile la amplitudinea semnalului pentru diverse evenimente în cristal Na I (Tl)

Schemă evenimentului						
Procese de absorbție	Efect fotoelectric; cuantele absorbite în cristal	Efect Compton; cuanta și imprișata părăsește cristalul	Efect Compton; cuanta și imparitatea este absorbită	Producere de perechi de cuantele și de anihilare care parăsesc cristalul (scipare dublă)	Producere de perechi de cuante și de anihilare scăpă, ceealetă este absorbită (scipare simplă)	Producere de perechi ambele cuante de anihilare sunt absorbite
Energia absorbită în cristal	E_p	Variată dela 0 la E_{\max}^c $E_n^c = \frac{E_p}{1 + \frac{m_e c^2}{R E_p}}$	E_p	$E_p - m_e c^2$ $E_p - 2m_e c^2$	E_p	$E_p - m_e c^2 +$ energia cinetică a electronului Compton
Amplitudinea semnalului	Puls în fotopic	Puls în distribuția Compton	Puls în fotopic	Picul de scipare dublă	Picul de scipare simplă	Fotopic
Observații	E_p = energia cuantei; $m_e c^2$ = energia de repaus a electronului = 0,51 MeV Cuantele x produse în urma efectului fotoelectric pot scăpa. Aceasta poate produce un pic adițional, amplitudinea pulsului fiind $E_p - E_x$					Puls în distribuția de fond

134

135

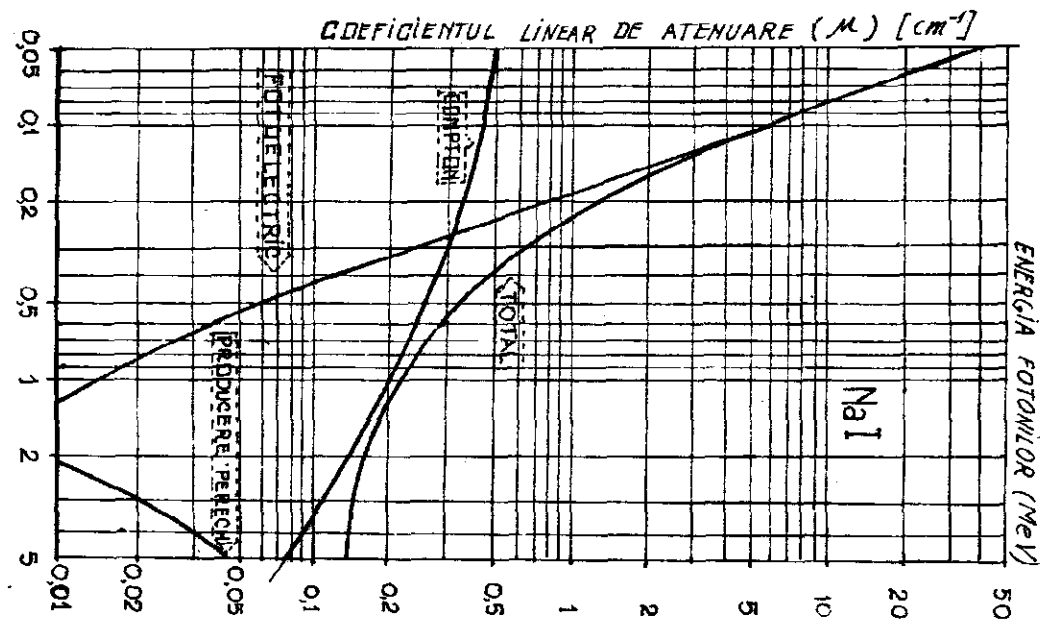


FIG.3 - Coeficientul linear de atenuare pentru NaI(Tl)

Aceste picuri de scăpare se pun în evidență mai ales pentru fotoni de energie mare pentru care efectul de formare de perechi are o probabilitate mare.

5.1.d. Determinarea spectrului radiatiilor γ cu detectorii cu scintilatori.

Măsurarea energiei electronilor produși la interacția cuantelor γ cu substanța scintilatorului ne permite să tragem concluzii privind energia cuantelor γ însăși. Amplitudinea pulsului la ieșirea fotomultiplicatorului este proporțională cu energia lăsată în cristal de o cantitate γ , pînă unul sau mai multe efecte descrise la punctul C al acestui paragraf.

Pentru a măsura pulsurile de o anumită amplitudine semnalul detecteurului cu scintilație este prelucrat într-un montaj electronic care să permită sortarea după amplitudini a pulsului (Fig.2).

Preamplificatorul se placează imediat după detectoare, său este conectat direct; în felul acesta pe un cablu de legătură de capacitate cît mai mică atenuările și distorsionările semnalului sunt minime. Preamplificatorul transformă caracteristica de impedanță mare a detectoarelor în impedanță mică, pentru a se putea astfel utiliza cabluri de lungimea necesară pînă la amplificator. Amplificatorul asigură amplificarea neceasă a semnalului. Pentru circuitele transistorate amplitudinea pulsului la ieșire este cuprinsă între 0 și 10 V. El mai îndeplinește și funcțiile de filtrare și formare a semnalului, pentru operația ulterioară de analiză.

Operația de analiză în amplitudine este îndeplinită de un analizor monocanal. Acest modul electronic generează la ieșire un semnal logic, de amplitudine și lărgime standard, dacă semnalul de la intrare (venit de la amplificator) depășește valoarea de prag V_1 și este inferioră unei valori V_S . Diferența $\delta V = V_S - V_1 \sim \Delta E$ poartă numele de fereastra analizorului și se alege cu ajutorul unui helipot special, notat cu ΔE , pe panoul frontal al analizorului. Din alt helipot notat cu E se poate alege V_1 .

Numărul de pulsuri standard al analizorului monocanal este înregistrat cu ajutorul unui numărător. Timpul cît se face numărarea poate fi comandat de un ceas electronic special (TIMER) care asigură startul și stopul numărătorului.

Amănunte privind funcționarea acestor module se pot găsi în parte introductivă.

Etalonarea în energie a sistemului de detecție înseamnă găsirea corespondenței între amplitudinea V indicată pe butonul Level, E, al SCA și energia cuantelor γ (evenimentele din fotopic).

Pentru etalonare se folosesc 2 surse γ care emite fotoni de energie cunoscută. Pentru fiecare sursă în parte se determină numărul de pulsumi în funcție de amplitudine și se găsește amplitudinea corespunzătoare fotopicului. Se reprezintă grafic amplitudinea corespunzătoare fotopicului în funcție de energia cuantelor γ . Dependența este liniară. Cu ajutorul acestei curbe de etalonare se pot determina energiile maxime ale electronilor în efectul Compton, energia picului de retroimprăștiere etc. Dacă se ia o sursă γ de energie necunoscută și se determină amplitudinea corespunzătoare fotopicului se poate găsi energia fotonilor γ emisi de această sursă.

Am arătat mai sus că datorită fluctuațiilor statistice care apar în procesul de transformare a energiei fotonilor în puls de tensiune, fotopicul are o lărgime ΔV , care depinde de energia fotonilor înregistrati.

Această dependență se poate găsi pe cale experimentală, pentru detectoarele utilizate, măsurind lărgimea la semiinălțimea fotopicului, pentru mai multe radiatii γ de energie diferită.

5.2. Obiectul lucrării.

Scopul este înșurarea tehnicii de măsurare a energiei fotonilor gama emisi de o sursă radioactivă, folosind un detectoare de scintilație cu cristal, scintilator de NaI(Tl) și un sistem electronic de analiză a pulsurilor după amplitudine.

Lucrarea presupune mai intii etalonarea spectrometrului cu ajutorul unor surse γ care emit radiatii de energie cunoscută. Apoi se măsoară energia cuantelor γ emise de o sursă necunoscută.

5.3. Aparatura utilizată.

Spectrometrul γ prezentat schematic în fig.2 se compune din următoarele elemente:

- sondă tip S 19MB cu cristal scintilator NaI(Tl) de 1" x1"
- fotomultiplicator și preamplificator;
- sursă de alimentare (bin) tip ST 614
- amplificator 1115
- analizor monocanal 1122
- numărător 1043 și timer 1052

Ca surse de etalonare se vor folosi ^{137}Cs și ^{60}Co . Schemele de dezintegrare, deci și energiile cuantelor γ emise le puteți urmări în partea introductivă 1.

5.4. Modul de lucru și prelucrarea rezultatelor.

a) Se verifică schema instalației experimentale; se controlează legăturile modulelor și parametrii optimi după indicațiile de pe schiță de pe masă. Se realizează amplificarea astfel încât pulsurile corespunzătoare evenimentelor din fotopicul sursei de ^{137}Cs să aibă circa 4 volți.

b) Se așeză sursa de ^{137}Cs în fața detectoanelui la o distanță de cîțiva cm și se trasează spectrul de amplitudine pentru această sursă, cu o fereastră de 0,1 V și variind pragul la SOA. Numărarea se face, pentru fiecare valoare a pragului pe un interval de timp astfel ales încît eroarea să nu depășească 3%-5%

Se repetă operația pentru sursa de ^{60}Co .

Izotopul ^{137}Cs emite o singură radiatie γ cu energie $E_{\gamma} = 0,661\text{ MeV}$. Izotopul ^{60}Co emite două radiatii γ cu energiile de 1,17 Mev și 1,33 Mev.

Se găsește poziția fotopicurilor pentru cele trei valori ale energiei și se trasează dreapta de etalonare.

c) Se identifică pe spectrul obținut pentru sursa de ^{137}Cs corespunzătoare energiei maxime a electronilor Compton și prind se retroimprimări. La fel pentru spectrul sursei de ^{60}Co . Se compară rezultatele cu valorile ce se pot obține din graficul din anexa 16.

d) Se identifică fotopicurile corespunzătoare unor surse necunoscute și se determină energia fotonilor emisi de aceasta.

e) Se calculează rezoluția energetică pentru diferite fotopicuri și se reprezintă grafic în funcție de energia corespunzătoare a fotonilor. Să se reprezinte graficul $\eta^2 = f(\frac{1}{E})$.

5.5. Exerciții.

a) Să se arate că două radiatii γ de energii E_1 și E_2 mai pot fi rezolvate dacă amplitudinile medii corespunzătoare fotopicurilor, V_1 și V_2 , îndeplinește relația

$$|V_2 - V_1| > 0,85 \Delta V$$

unde ΔV este lărgimea la semiinăltime a fotopicurilor.

b) Pentru producerea unui foton particula încărcată care ionizează cristalul de NaI(Tl) pierde în medie din energia sa cinetică 300eV. Să se calculeze rezoluția minimă pentru cuantele γ cu energie de 120 KeV, 661 KeV și 1332KeV, dacă se consideră numai dispersia numărului de fotonii.

c) Urmărind graficul din fig.3 să se estimeze raportul dintre numărul de evenimente din fotopic și numărul total de evenimente, din spectrul radiatiilor γ cu energiile menționate în exercițiul b). Cristalul are dimensiuni mici, de 1" x 1", astfel că se poate neglija imeritajele Compton-multiple.

5.6. Bibliografie

K.Siegbahn - α , β and γ Ray Spectroscopy", North Holland Pub.Comp. Amsterdam (1966).

W.Scharf, W.Liseski - Amplitude Distribution Spectrometers, PWN - Polish Scientific Publishers, Warszawa (1980)

W.J.Price - Nuclear Radiation Detection, M.Graw - Hill, New York (1958)
 N.Ghiordănescu - Metode experimentale în fizica neutronilor - U.Bucureşti
 x x x - Lucrări practice de fizică nucleară și fizica particulelor elementare (1974) - U.Bucureşti.

DETERMINAREA ACTIVITATII UNEI SURSE RADIOACTIVE

6.1. Principiul lucrării

Activitatea unei surse, notată cu Λ , este definită ca numărul de nucleo ale sursei care se dezintegreză în unitatea de timp; ea este proporțională, cu numărul de nucleo radioactive prezente în sursă:

$$\Lambda = \left| \frac{dN}{dt} \right| = \lambda N(t); \quad \left| \frac{d\Lambda}{dt} \right| = \lambda \Lambda \rightarrow \Lambda = \Lambda_0 e^{-\lambda t} \quad (1)$$

Rezultă că activitatea unei surse date scade în timp cu o viteză care depinde de însăși valoarea activității și de cea a lui λ . λ este constanta de dezintegrare, definită în I 2, paragraful 2.2, și depinde de natura izotopului radioactiv. Ea se leagă de timpul de înjumătărire a izotopului prin relația $\lambda = \ln 2 / T_{1/2}$.

Printre metodele de determinare a activității, două au un caracter general: metoda geometriei date și metoda comparației cu o sursă etalon.

În radioactivitate nu se poate vorbi de etaloane imutabile deoarece activitatea lor scade în timp conform relației 1. În plus, nu există un etalon de activitate universal, valabil pentru toate sursele radioactive, deoarece fiecare radionuclid are o schemă de dezintegrare proprie, iar răspunsul unui detector este sensibil la caracteristicile radiatiilor detectate.

Astfel dacă schema de dezintegrare este de tipul celei din fig.1, în care ^{32}P emite numai radiații β cu energie maximă $E_{\beta} = 171\text{keV}$, este suficient să se numere particulele β emise în unitatea de timp în unghiul solid 4π ; fiecare particulă β înseamnă o dezintegrare a unui nucleu de ^{32}P .

Cda 68/982 /asc 8

Acesta este metoda geometriei 4π și se realizează fie utilizând un scintilator lichid, în centrul căruia se plasează sursă, fie un cristal scintilator cu put, pe fundul căruia se pune sursa. În cazul schemei din fig.1 nu este necesară analiza spectrului energetic β .

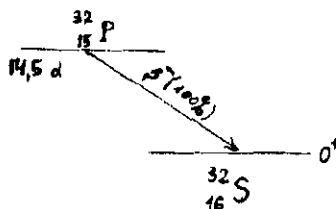


Fig.1 - Schemă de dezintegrare ^{32}P

implică introducerea factorului de schema S_1 , definit în partea introductivă 1, ca probabilitatea ca la dezintegrarea unui nucleu sursă să se emite radiația de tipul "L₁".

În captura electronică, (vezi partea introductivă 1), dacă nucleul produs se formează în stare fundamentală stabilă, activitatea sursei se poate determina numai detectând razele X sau electronii Auger, folosind detectori specifici, sensibili la energii joase. Va trebui deci să se țină seama de probabilitățile relative ale celor două procese, pentru a determina corect activitatea.

Dacă nucleul fiică se formează în stare excitată activitatea se determină de obicei detectând fie razele γ , fie electronii de conversie. În primul caz, în spectrul γ apar și spectrul razelor X caracteristice ale nucleului fiică. Liniile X trebuie să fie corect identificate și eliminate din zona analizată a spectrului γ pentru determinarea corectă a activității. Similar, dacă activitatea se determină prin

din fig.1 nu este necesară analiza spectrului energetic β . Dacă însă dezintegrarea are loc după o schemă de tipul celei din fig.2 folosirea unei geometrii 4π nu mai este indicată; sunt necesare utilizarea unor detectori sensibili numai la un anume tip de radiații (β sau γ) și analiza energetică. Aceste două condiții implică introducerea factorului de schema S_1 , definit în partea introductivă 1, ca probabilitatea ca la dezintegrarea unui nucleu sursă să se emite radiația de tipul "L₁".

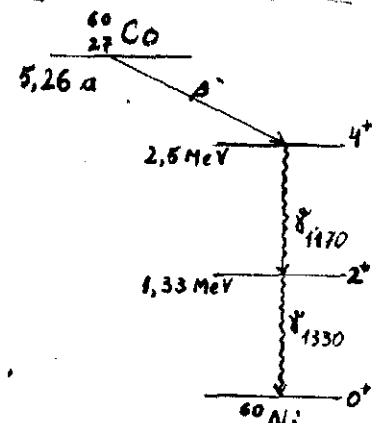


Fig.2 - Schema de dezintegrare a ^{60}Co

detectarea electronilor de conversie, în spectrul acestora, la energii joase, apar linii suplimentare, corespunzătoare electronilor Auger. Pentru determinarea corectă a vitezei de numărare, vor trebui exact identificate liniile Auger și liniile de conversie.

Trebuie menționat faptul că, atunci cînd nucleul fiică este un nucleu instabil și la rîndul său se va desintegra, determinarea activității va fi complicată prin emisia suplimentară de radiații care face ca analiza și interpretarea datelor să fie mai dificilă.

Determinarea activității se bazează pe faptul că vîrsta de numărare R_1 la detectia unei radiații L_1 va fi proporțională cu produsul dintre activitățile și factorul de schema al radiației date S_1

$$R_1 \sim S_1 \quad (2)$$

Factorul de proporționalitate se numește factor de detectie și reprezintă probabilitatea ca o radiație L_1 emisă de sursă să fie înregistrată. Această probabilitate se notează cu ϵ și este dată, în esență, de produsul dintre probabilitatea G ca radiația L_1 să cădă pe detector (factorul geometric), probabilitatea E_1 ca radiația L_1 ce a căzut pe detector să fie înregistrată (eficacitatea intrinsecă) și probabilitatea f_1 ca radiația L_1 să nu fie absorbită înainte de a intra în zona sensibilă a detectorului.

$$\epsilon = G \cdot E_1 \cdot f_1$$

Factorul geometric pentru o sursă punctuală plasată pe axa detectorului este dat de raportul dintre unghiul solid Ω format de sursă și suprafața frontală a detectorului și unghiul solid, total de emisie (4π).

$$G = \frac{\Omega}{4\pi} \quad (3)$$

Eficacitatea intrinsecă este determinată de tipul de radiație, de energia ei și de materialul detector. Relația (2) devine:

$$R_1 = S_1 \cdot \epsilon \cdot \Delta = G E_1 S_1 f_1 \Delta \quad (4)$$

Metoda unghiului solid finit care se va folosi în lucrare se bazează pe relația (4). Factorii ce intervin în această relație vor fi estimati după cum urmează:

Factorul geometric G la iradierea frontală a detectorului cu o sursă punctiformă, plasată pe axa detectorului de diametru d și la distanța D de acesta este dat de expresia:

$$G = \frac{\Omega}{4\pi} = \frac{1}{2} \left(1 - \frac{1}{\sqrt{1+d^2/4D^2}} \right) \quad (5)$$

Dacă este îndeplinită condiția $D \gg d$, $\frac{d^2}{4D^2} \ll 1$, prin dezvoltare în serie relația 5 devine

$$G \approx \frac{1}{16} \frac{d^2}{D^2} \quad (5')$$

In fig.3 sunt date diagramele dependenței lui G de distanța sursă-detector, calculate pentru cristale de NaI(Tl) cilindrice de di-

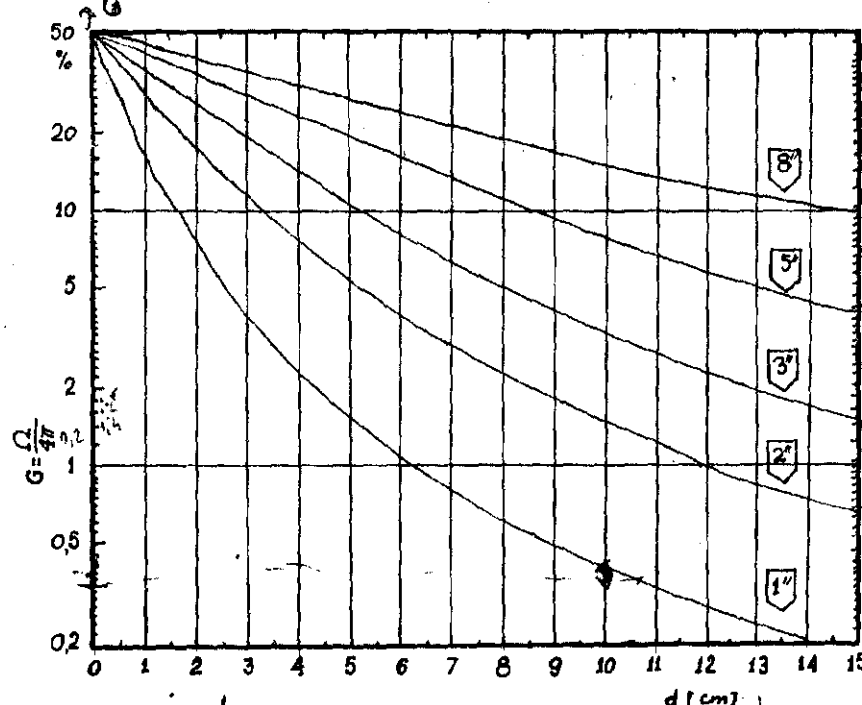


Fig.3 - Dependența eficienței geometrice G de distanța sursă-detector pentru cristale de NaI(Tl) de diferite dimensiuni, date în inch și puse în dreptul fiecărei curbe. (Din Catalogul Companiei Chimice Harshaw (SUA)).

ferite dimensiuni. Diametrul și înălțimea cristalului sunt totdeauna egale.

f_1 - factorul de atenuare al radiatiei L_1

$$f_1 = f_a f_{imp} f_r f_{as}$$

unde

f_a - factorul de atenuare a radiatiilor în aer, în fereastră de detectorului și în alte materiale absorbante așezate între sursă și detector.

f_{im} - factorul de impreăstire a radiatiilor în detector de către aer, carcasa detectorului, ecran etc.

f_r - factorul de retroimpreăstire în suportul sursei

f_{as} - factorul de autoabsorbție în materialul sursei.

Factorul de absorbtie pentru n absorbanți cu coeficient de absorbtie liniară M_j și grosime x_j interpuși între sursă și detector este dat de relația

$$f_a = \exp \left(- \sum_{j=1}^n M_j x_j \right)$$

Pentru $M_j x_j \ll 1$ relația devine:

$$f_a \approx 1 - \sum_{j=1}^n M_j x_j$$

Care

în calculul acestor coeficienți folosiți valorile M tabelate în anexa 14.

• In cazul razelor γ ale ^{60}Co toți acești factori f se iau ≈ 1 cu bună aproximare.

Prin E_t s-a notat eficiența intrinsecă totală a detectorului, definită ca probabilitatea de răspuns a detectorului atunci cind pe el cade o radiatie dată. Mai se mai definește ca raportul dintre numărul semnalelor de răspuns și numărul de particule ce intră în detector într-un interval de timp dat. Această eficiență depinde de natura și dimensiuni- ie detectorului și de natura și energia radiatiilor detectate. În fig.5 este figurat modul de calcul al lui E_t pentru un detector cilindric de NaI(Tl), în cazul detecției radiatiilor γ . Tinând cont de interacția radiatiei γ cu substanța se obține:

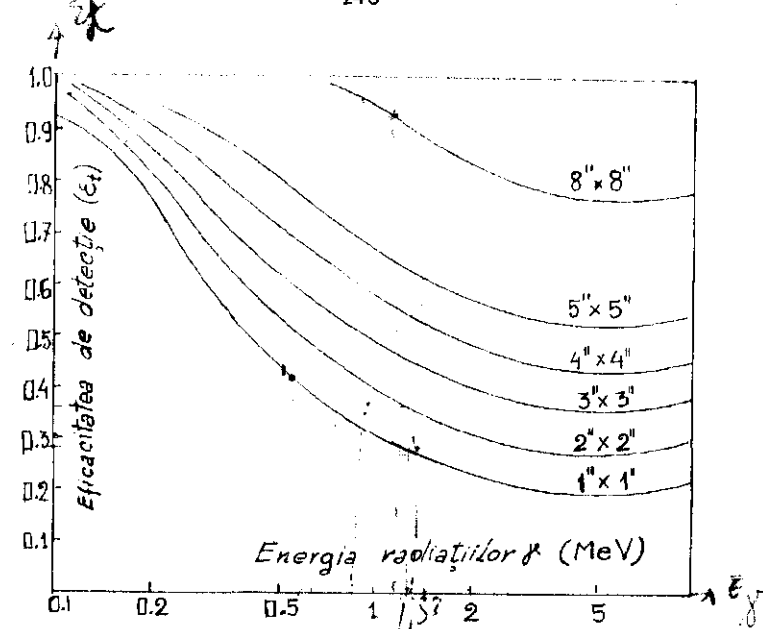
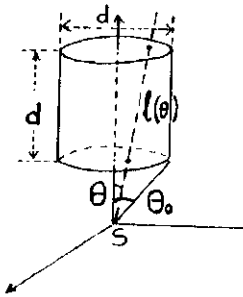


Fig.4 - Eficacitatea de detectie totală pentru cristale NaI(Tl) de diverse dimensiuni, cu sursa la 10 cm de cristal.



$$\Sigma_t = \frac{\int_0^{\theta_0} \sin \theta \{1 - \exp[-\bar{\sigma} n l(\theta)]\}}{\int_0^{\theta_0} \sin \theta \, d\theta} \quad (6)$$

în care $\bar{\sigma}$ are semnificația unei secțiuni medii de interacție a cuantelor; n este numărul de centri de interacție din unitatea de volum a detectorului, iar $l(\theta)$ este distanța în cristal, pe direcția θ , pe care radiația emisă din

Fig.5 - Determinarea eficacității intrinseci a scintilatorului cilindric.

sursa S o parcurge în cristalul detector.

In general, aceste eficacități sunt calculate și tabelate, sau reprezentate grafic, pentru radiații γ de diferite energii și cristale de diverse dimensiuni. In fig.4 sunt date diagramele cuprinzând eficacitățile intrinseci totale ale detectorilor de NaI(Tl) de diverse dimensiuni în funcție de energia razelelor γ , pentru sursa γ așezată la 10 cm de detector.

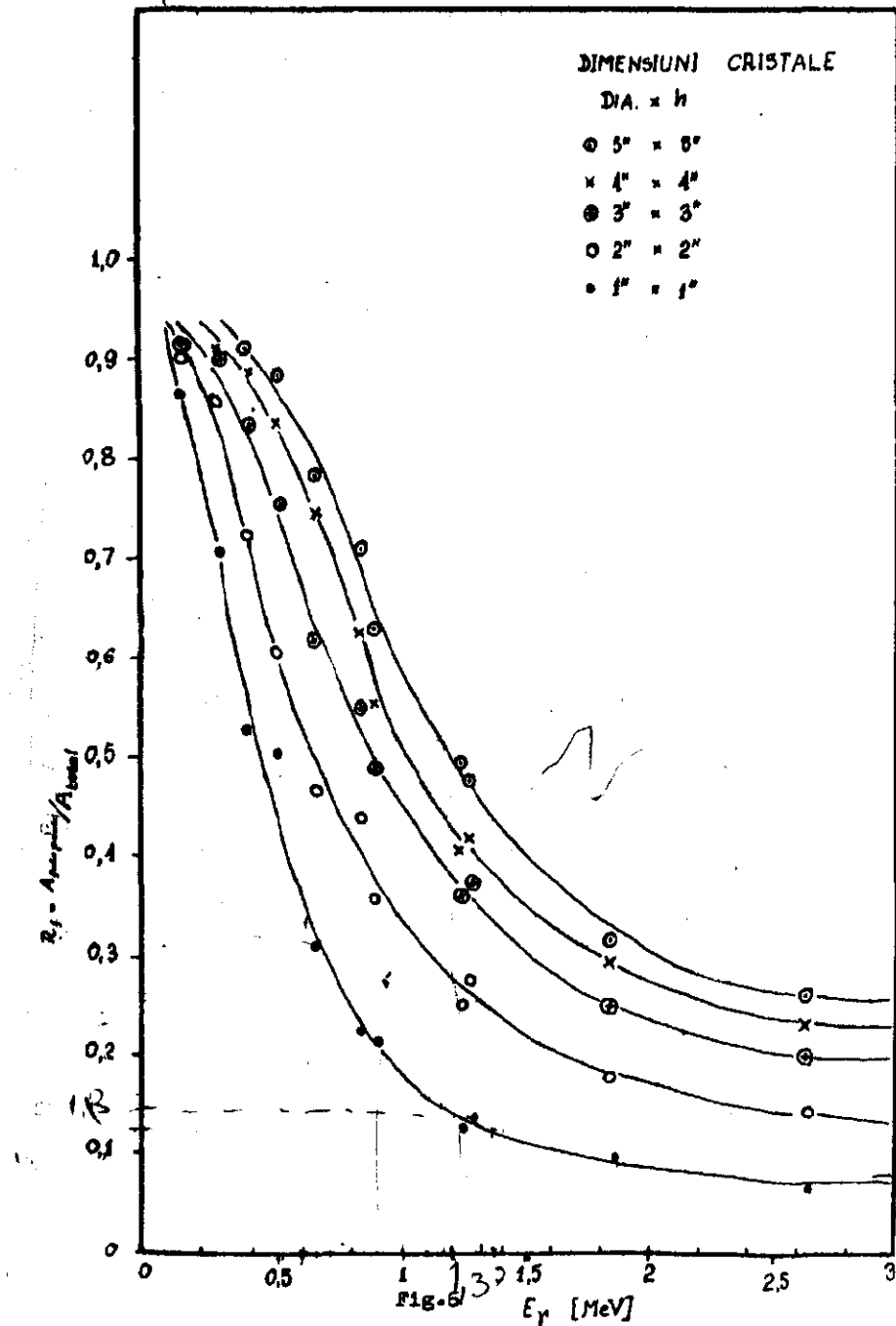


Fig.6

DIMENSIUNI CRISTALE	
DIA.	h
○ 5"	5"
× 4"	4"
● 3"	3"
○ 2"	2"
● 1"	1"

0,1...[]
0,35

Se face distincție între eficacitatea intrinsecă ξ_t totală, în care se iau în considerare semnalele de răspuns din tot spectrul de amplitudine (compton + fotopic), și eficacitatea intrinsecă la fotopic la care se iau în considerare semnalele de răspuns la detecția cu amplitudinea maximă (în fotopic). Relația de legătură este

$$\xi_f = \xi_t \cdot R_f \quad (7)$$

Mărimea R_f se numește raport de fotopic și este definit ca raport dintre numărul semnalelor de răspuns din fotopic și numărul semnalelor din tot spectrul de amplitudine al radiatiilor înregistrate

$$R_f = \frac{\text{Aria fotopic}}{\text{Aria totală}} \quad (8)$$

In fig.6 sunt reprezentate graficele $R_f = f(E_\gamma)$ pentru diferite cristale de NaI(Tl) cilindrice, cind sursa se află la 10 cm de detector.

Observație. În cazul cristalelor mici, cu dimensiunile de $1'' \times 1'' = 2,54 \text{ cm} \times 2,54 \text{ cm}$, și pentru surse așezate la distanțe mult mai mari decât diametrul cristalului, pentru eficacitatea de fotopic se poate folosi relația:

$$\xi_f = 1 - \exp(-\mu_f d) \quad (9)$$

unde μ_f este coeficientul de absorbție fotoelectric care poate fi scos pentru NaI din graficul din fig.3 din lucrarea "Spectroscopia radiatiilor" folosind detectori cu scintilatori, iar d este grosimea cristalului.

6.2. Obiectul lucrării.

In lucrarea de față se propune determinarea activității absolute a unor surse de ^{60}Co , a cărui schema de dezintegrare este dată în fig.2, utilizând metoda unghiului solid finit.

Pentru verificare se va determina activitatea acelorași surse prin comparare cu activitatea unei surse etalon de ^{60}Co . Pentru calculul activității din relația (4) se folosește viteza de numărare corectată

$$R = r + r^2 \gamma - F \quad (10)$$

In relația (10) prin r s-a notat viteza de numărare a instalației în prezența fondului. Pentru detectoare cu scintilație utilizată, timpul mort este $\tau_c = 10^{-6} \text{ s}$. Pentru măsurarea vitezei de numărare r se folosește un lanț spectrometric, cu detector de scintilație, a cărui schema bloc este dată în fig.7.

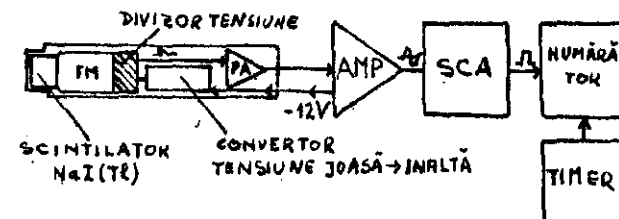


Fig.7 - Schema bloc a unui lanț spectrometric cu detector NaI(Tl).

Condiția esențială pentru determinarea activității unei surse prin metoda comparării cu o sursă etalon este ca sursa să fie preparată din același radionuclid ca și sursa studiată. Aparatura necesară este un lanț spectrometric sau chiar numai un lanț de numărare - fără analiză după amplitudine a spectrului.

A doua condiție legată de această metodă este de natură geometrică: dimensiunile sursei etalon și ale celei studiate precum și geometria de măsură să fie identice. În acest caz, vitezele de numărare pentru sursa etalon și sursa de activitate necunoscută vor fi:

$$R_{et} = \Delta S / \Delta t \quad (11)$$

$$R_x = \Delta S / \Delta t \quad (12)$$

Rezultat imediat motivitățea necunoscută

$$\Delta_x = \frac{R_x}{R_{et}} \Delta t \quad (13)$$

6.3. Modul de lucru

Pentru evitarea impreciziei în determinarea lui Δ , datorată fenomenelor secundare de imprăștiere și absorbție se va utiliza în for-

mulela 4 și 13 viteza de numărare pe fotopic. De aceea este necesară analiza spectrului de amplitudine și selectarea fotopicului radiatiilor utilizate în determinarea lui.

Se realizează în acest scop următoarele etape de lucru:

1. a) Se face calibrarea energetică a lanțului spectrometric utilizând sursele de calibrare ^{137}Cs ($E_{\gamma} = 0,661 \text{ MeV}$), ^{60}Co ($E_{\gamma} = 1,17 \text{ MeV}$ și $E_{\gamma} = 1,33 \text{ MeV}$);

b) Se determină rezoluția energetică

c) Se determină eficacitatea intrinsecă de fotopic (din graficele din fig.5 și 6) pentru liniile γ ale ^{60}Co .

2. Se determină activitatea prin metoda unghiului solid folosind lanțul spectrometric calibrat.

a) Pentru aceasta se placează sursa pe axa detectoarelor la distanța $D = 10 \text{ cm}$, care se măsoară cît mai exact. Se fixează fereastra analizorului monooanal pe ultimul fotopic ($1,33 \text{ MeV}$) așa cum se arată în fig.8.

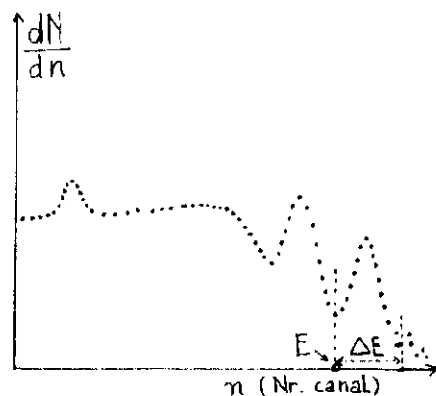


Fig.8 - Spectrul γ al ^{60}Co și fixarea ferestrei analizo-
rului pe fotopicul de 1330 KeV .

b) Se determină viteza de numărare cu sursă (r) și fără sursă (F).

Se calculează viteza corectată R cu formula (10).

c) Se calculează eficacitatea geometrică G după formula (5) sau (5') sau se scoate valoarea corespunzătoare din graficul din fig.3.

d) Se determină eficacitatea intrinsecă de fotopic Σ_f din relația (7) cu valorile Σ_t și R_f extrase din graficele din fig.5 și fig.6 sau folosind relația aproximativă (9).

e) Se calculează Δ din formula (4)

f) Se calculează eroarea $\bar{\sigma}_A$ folosind metoda propagării erorilor. Pentru aceasta se consideră că în așezarea sursei la distanța de 10 cm de detector se poate greși cu circa 3 mm și că numărul de evenimente γ detectate în timpul t, cît se face măsurătoarea, se supune distribuției Poisson. Estimați de asemenea eroarea pe care o puteți face în cîtirea mărimilor Σ_t și R_f din graficele 5 și 6.

3. În aceeași geometrie, se determină viteza de numărare a sursei etalon și a sursei de activitate necunoscută. Se determină cu formula 13 activitatea necunoscută. În determinarea erorilor se ține seama de observațiile de la punctul 2.f.

4. Se dorește îndrumătorului o combinație de surse. Se trasează spectrul și se identifică elementele radioactive.

Cunoscând numărul de evenimente din fotopicuri, cu corecțiile de fond Compton, să se determine activitatea fiecărei surse componente.

6.4. Probleme.

1. Să se demonstreze formula 5.
2. Activitatea sursei etalon de ^{60}Co , cu care se lucrează, a fost determinată la 1 sept. 1977: $A = (1,37 \pm 0,07) \mu\text{Ci}$. Care este activitatea sursei în prezent? (Folosiți în acest scop tabelele din Anexa 8).
3. Aveți două surse de ^{60}Co cu activitățile de aproximativ $10 \mu\text{Ci}$ și 1 Ci . Care vor fi precauțiile experimentale ce trebuie să luate în efectuarea determinărilor celor două activități.

Bibliografie.

1. R.Ion-Mihai, G.Vlăduță, "Spectroscopie nucleară", carte de laborator CMUB (1984).

SA IL IA MAIBA
PE PROFIU. CE AT
M-MI SPUNTI

7. DETERMINAREA TIMPULUI DE INJUMATATIRE AL RADIONUCLIZILOR β DIN ANALIZA CURBELOR DE DEZINTEGRARE

7.1. Introducere.

Se înțelege prin radioactivitate (dezintegrare radioactivă) procesul de emisie spontană de către nucleul atomic a uneia sau mai multe particule. Nucleele care au această proprietate se numesc radioactive.

Probabilitatea ca un nucleu radioactive să se dezintegreze în unitatea de timp se numește constantă de dezintegrare λ . Dacă la momentul t avem N nucleu rămase nedorințate numărul de nucleu care se dezintegrează în intervalul de timp dt va fi $dN = -\lambda N dt$. Din această ecuație diferențială scoatem prin integrare numărul de nucleu rămase nedorințate la momentul t , dacă la momentul $t_0 = 0$ aveam N_0 nucleu radioactive,

$$N = N_0 e^{-\lambda t} \quad (1)$$

Timpul de injumătărire $T_{1/2}$ este intervalul în care numărul de nucleu radioactive de un anume sort, se reduce la jumătate. Folosind această definiție, din relația (1) se scoate:

$$T_{1/2} = \frac{0.693}{\lambda} \quad (2)$$

Numim activitate Λ , sau viteză de dezintegrare, numărul de nucleu care se dezintegrează, în unitatea de timp. Derivând relația (1) obținem că activitatea sursei scade tot după o lege exponențială:

$$\Lambda = \left| \frac{dN}{dt} \right| = \lambda N_0 e^{-\lambda t} = \Lambda_0 e^{-\lambda t} \quad (3)$$

unde $\Lambda_0 = \lambda N_0$ poartă numele de activitate initială.

Viteză de numărare R este proporțională cu activitatea

$$R = g s \Lambda$$

unde g - este factorul de detectare, iar s - factorul de schema. Rezultă că viteza de numărare are aceeași variație în timp, dacă geometria și condițiile de detectare sunt menținute neschimbate în tot timpul experimentului.

$$R = R_0 e^{-\lambda t} \quad (4)$$

Dacă timpul de injumătărire, $T_{1/2}$ este de ordinul secundelor pînă la secolul zilelor, el poate fi determinat din curba de dezintegrare a preparatului radioactive, adică din variația în timp a vitezei de numărare. În reprezentarea $\ln R$ funcție de t se obține o linie dreaptă

$$\ln R = \ln R_0 - \frac{0.693}{T_{1/2}} \cdot t \quad (5)$$

din panta căreia se calculează timpul de injumătărire.

Dacă în preparatul radioactive există mai multe specii de nucleu radioactive, care se dezintegrează independent unul de altul, activitatea totală se scrie:

$$\Lambda = \sum \Lambda_i = \sum \Lambda_{i0} e^{-\lambda_i t} \quad (6)$$

În viteză de numărare se modifică în timp conform unei suprapunerile de exponențiale:

$$R = \sum R_{i0} e^{-\lambda_i t}$$

În particular, pentru cazul a doi nuclezi independenți, avem:

$$R = R_{10} e^{-\lambda_1 t} + R_{20} e^{-\lambda_2 t} \quad (7)$$

și în acest caz se pot determina șor din curba de dezintegrare timpul de injumătărire, dacă între ei este o diferență de cel puțin un ordin de mărime. Pentru valori mai mari ale lui t , unul din radicizotopi, să considerăm că este primul, s-a dezintegrat complet, astfel că din (7) se obține:

$$R \approx R_2 = R_{20} e^{-\lambda_2 t} \quad t \gg T_{1/2}^{(1)}$$

Procedind ca și pentru o singură specie de radioizotop se determină λ_2 . Se poate calcula atunci, pentru orice valoare a timpului

$$R_1(t) = R(t) - R_2(t)$$

și din reprezentarea $\ln R_1(t)$ în funcție de t se obține λ_1 .

7.2. Obiectul lucrării.

Scopul lucrării este determinarea timpilor de injumătărire a radionucliziilor beta activi, folosind curbele de dezintegrare. Se vor analiza două cazuri, o singură specie de radionuclid, respectiv două tipuri de radionuclizi nelegați genetic. Pentru obținerea radionucliziilor se vor activa cu neutroni probe de vanadiu, aluminiu, indiu, argint. Prin reacții (n, γ) se formează izotopi β activi ^{28}Al , ^{52}V , ^{116}In , ^{108}Ag , și ^{110}Ag a căror schema de dezintegrare pot fi urmărite în partea introductivă.

7.3. Aparatura utilizată.

Poate de Al, V, In și Ag se vor activa la sursa de Pu-Be, descrisă în partea introductivă.

După activare probele β vor fi puse în fața unui detector sau scintilator organic. Semnalul sistemului scintilator-fotomultiplicator este prelucrat cu ajutorul unui lanț de module NIM. Schema aparaturii, prezentată în fig.1 conține următoarele elemente:

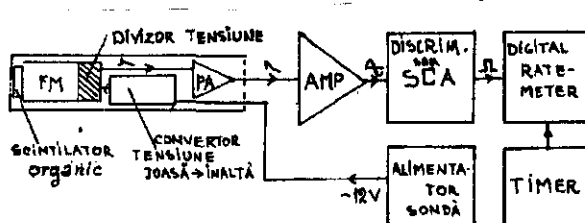


Fig.1 - Lanț de detectie.

- a) scintilator organic cu fotomultiplicator FM
- b) preamplificator PA
- c) amplificator AMP

d) discriminator integral sau analizor monocanal (SCA)

e) numărător sau debitmetru digital

f) cronometru electronic (timer).

7.4. Modul de lucru și prelucrarea rezultatelor.

Se pun la activat foitele din metalele menționate la paragraful 2. Timpul de activare se alege astfel încit probele să aibă la aceea din bacul cu apă al sursei de neutroni o activitate apropiată de cea de saturare. (Vezi întrebarea (c) din paragraful următor). Pentru aceasta probele se asează la cîțiva centimetri de capsula sursei de Pu-Be, astfel încît numărul de neutroni termalizați să fie suficient, iar scăderea fluxului cu creșterea distanței de sursă să nu fie prea mare.

Se pregătește apoi aparatura de detectie în următoarea ordine:

- a) Se verifică schema din fig.1 și se aleg parametrii aparaturii cîte cum se dau în schema suplimentară sau în prospecțele de aparatură de la măsa de lucru.
- b) Se alimentează BIN-ul în care se află modulele NIM utilizate
- c) Se determină viteza de numărare de fond R_f . Numărarea pulsurilor se face un timp suficient de lung ca eroarea să fie mai mică decât ceea propusă.

Timpul de injumătărire al unui radionuclid, aflat singur într-o, măbă, de exemplu ^{28}Al , se determină în felul următor:

- a) Se aduce, cît se poate mai repede proba de Al activată, se mărește cît mai aproape de scintilator și se determină numărul de pulsuri $\Delta N(t_1)$, pentru intervalele de 10 sec., fără pauză între ele. Măsurarea continuă pînă cînd viteza de numărare, cu corecția de fond, scade de cîroa 8 ori.

$$\text{b) Se calculează vitezele de numărare } r(t_1) = \frac{\Delta N(t_1)}{\Delta t}.$$

Se determină viteza de numărare reală aplicînd, corecția de fond și cea de timp mort.

$$R(t_1) = r(t_1) + r^2(t_1) \cdot \tau - R_f$$

unde ζ este timpul de rezoluție a instalației de măsurare ($\zeta = 10^{-6}$ s). Pentru viteze de numărare $r < 10^3$ corecția de timp mort se neglijăză.

$$\text{c) Se calculează erorile statistică } \Delta R_1 = \sqrt{\frac{r(t_1)}{At} + \frac{R_f}{At_f}}$$

d) Se reprezintă R_1 în scără logaritmică în funcție de t_1 .

e) Se trasează aproximativ, pe graficul obținut dreapta, din panta căreia se obține constanta de dezintegrare și apoi din formula (2), timpul de injumătățire. În cazul folosirii unei hîrtii semilogaritmice, ca cea din fig.2, timpul de injumătățire poate fi citit direct, ca intervalul de timp în care viteză de numărare se reduce la jumătate.

Prelucrarea statistică a rezultatelor se va face prin metoda celor mai mici pătrate.

$$\text{a) Să notăm } y_1 = \ln R_1 \text{ și } \bar{y}_1 = \Delta(\ln R_1) = \frac{\Delta R_1}{R_1}$$

pentru a determinare a vitezei de numărare, la momentul t_1 . Să presupunem că avem n puncte experimentale. Folosind formula (48) din Introducerea I2 se găsește expresia constantei de dezintegrare:

$$\lambda = - \frac{\sum_{i=1}^n \frac{1}{\sigma_i^2} \sum_{i=1}^{t_i} \frac{t_i y_i}{\sigma_i^2} - \sum_{i=1}^n \frac{t_i}{\sigma_i^2} \sum_{i=1}^{t_i} \frac{y_i}{\sigma_i^2}}{\sum_{i=1}^n \frac{1}{\sigma_i^2} \sum_{i=1}^{t_i} \frac{t_i^2}{\sigma_i^2} - (\sum_{i=1}^{t_i} \frac{t_i}{\sigma_i^2})^2} \quad (9)$$

și a abaterii standard

$$\sigma_\lambda^2 = \left(\sum_i \frac{(\partial \lambda / \partial y_i)^2 \sigma_i^2}{\sigma_i^2} \right) = \frac{\sum_{i=1}^n \frac{1}{\sigma_i^2}}{\sum_{i=1}^n \frac{1}{\sigma_i^2} \sum_{i=1}^{t_i} \frac{t_i^2}{\sigma_i^2} - (\sum_{i=1}^{t_i} \frac{t_i}{\sigma_i^2})^2} \quad (10)$$

b) Se scrie un program în limbaj FORTRAN, care să calculeze constantă de dezintegrare din formula (9), timpul de injumătățire și eroarea la timpul de injumătățire.

c) Introducind datele experimentale y_i ; $\bar{y}_i = \Delta y_i$; t_i se obține timpul de injumătățire al ^{28}Al și eroarea corespunzătoare.

Observația 1. În cazul foitei de Indiu timpul de activare se alege să fie mai mare de o oră. După scoaterea probei se așteaptă circa 15 minute, astfel încât izotopii de viață scurtă ai Indiului să dispară. Viteză de numărare în funcție de timp a izotopului ^{116}In se obține făcând determinări de 10 sec (100 sec) din 5 în 5 minute.

Observația 2. Ag are doi izotopi ^{107}Ag (51,35%) și ^{109}Ag (48,65%) care prin activare conduc la radioizotopi ^{108}Ag și ^{110}Ag . Schemele lor de dezintegrare sunt date în partea introductivă.

Procedura experimentală este identică cu cea descrisă înainte. După ce s-au determinat vitezele reale de măsurare, se face reprezentarea grafică $\ln R(t_1)$ în funcție de t_1 și se determină, din porțiunea de la timpuri lungi $T_{1/2}^{(1)}$.

Se extrage apoi $R_2(t_1)$ în regiunea $t_1 \sim T_{1/2}^{(1)}$ și se obține $R_1(t_1) = R(t_1) - R_2(t_1)$. Din reprezentarea logaritmică a lui $R_1(t_1)$ se obține o dreaptă (trasată fie prin metoda celor mai mici pătrate fie aproximativ grafic), din care se determină $T_{1/2}^{(1)}$ (^{110}Ag).

In fig.2 se reprezintă, în scără logaritmică, scăderea în timp a activității unei surse formate din amestecul izotopilor ^{110}Ag și ^{108}Ag .

7.5. Intrebări.

a) Ce semnificație au mărimile: constanta de dezintegrare λ ; λdt ; $\exp(-\lambda t)$; $\lambda \exp(-\lambda t)dt$.

b) Aflarea constantei de dezintegrare λ din panta dreptei $\ln R$, formula (5), este influențată de alegerea intervalului Δt , cît durează o măsurătoare, pentru aflarea vitezei de numărare R_1 la momentul t_1 ?

c) Motivații de ce un timp de activare egal cu 3-5 timpi de injumătățire este suficient pentru ca foita să atingă practic activitatea de saturare.

d) Măsurăți dimensiunile probei de aluminiu pe care o activați. Scopul este că sursa de Pu-Be emite 10^7 n/sec și că toți neutronii sunt terminalizați la distanța la care ați pus proba în bacul cu apă, aflați

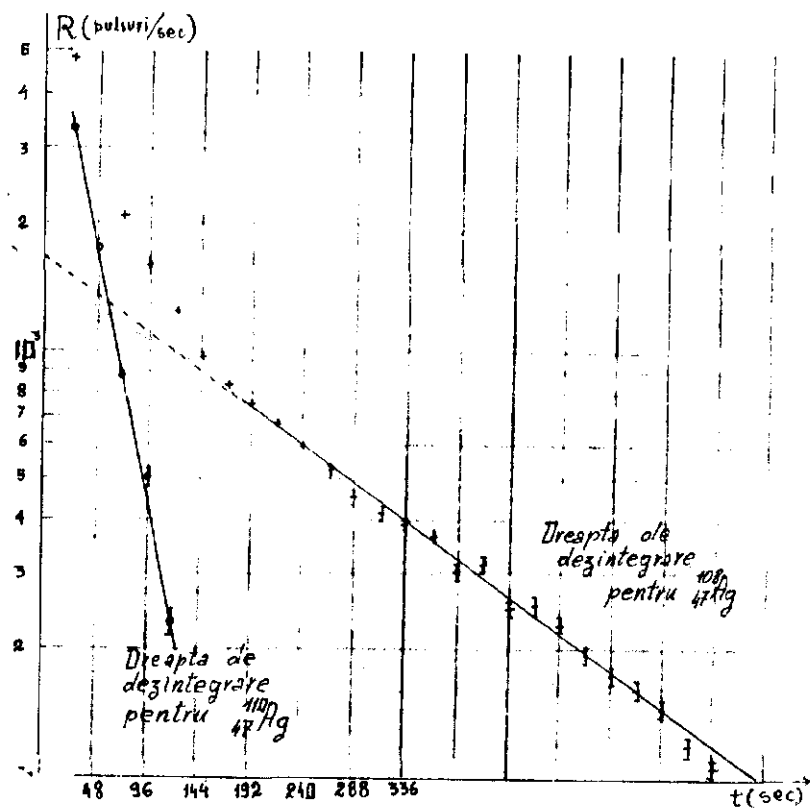


Fig.2 - Curba de dezintegrare a izotopilor ^{108}Ag și ^{110}Ag

aproximativ viteza de numărare inițială pe care ar trebui să-o găsiți (folosiți tabele din anexe pentru constantele de care aveți nevoie și geometria concretă sursă-detector în care faceți măsurările).

e) Căutați în tabele izotopi radioactivi de interes ai căror tempi de înjumătățire pot fi determinați prin această metodă. [2]

f) După un interval de timp, de la închiderea activării, activitățile celor doi izotopi ai Ag sunt egale?

g) Dacă timpul de măsură, t_m , este comparabil sau mai mare decât $T_{1/2}$, să se calculeze numărul de nucleu dezintegrate în decursul acestui interval de timp.

7.6. Bibliografie

[1] x x x - Lucrări practice de fizică nucleară și fizica particulelor elementare - U. București (1974)

[2] Sandru P, Topa A - Radionuclizi, Ed. Acad. RSR, 1968

L U C R A R I PRACTICE
PARTEA a II -a

8. METROLOGIA RADIONUCLIZILOR

8.1. Introducere. Principiul lucrării.

Metrologia radionuclizilor are ca scop determinarea activității sursei radioactive. În general, în metrologie se realizează etaloane primare pentru mărimele fundamentale ale fizicii (lungime, masă etc.) care se folosesc ca referință pentru etaloanele secundare utilizate în practică. Ele îndeplinesc condițiile de exactitate, imuabilitate și universalitate.

Etaloanele radioactive nu îndeplinesc condiția de imuabilitate cerută de un etalon primar, decarece, prin dezintegrarea radionuclizilor din care sunt preparate sursele etalon, activitatea lor scade în timp. Ca atare nu există un etalon radioactive universal. Răspunsul oricărui aparat, acționat de surse radioactive, depinde de natura și energia radiatiilor emise de sursă, iar acestea sunt specifice fisierei surse în parte.

Astfel pentru fiecare radionuclid este necesar să se realizeze un etalon a cărui valabilitate este limitată la o perioadă de timp ce depinde de perioada de înjumătărire a radionuclidului respectiv și de natura și conținutul de impurități radioactive (cind acestea există). În plus, datorită schemei de dezintegrare care diferă dela un nuclid la altul, se elaborează metode de etalonare absolută pentru fiecare nuclid în parte.

Metodele cele mai utilizate în etalonarea absolută sunt:

- a. Metoda unghiului solid finit.
- b. Etalonarea cu geometrie de detectie 4π .

c. Metoda coincidențelor.

Etalonarea absolută trebuie făcută cu mai exact astfel încât etaloanele să poată fi folosite ca referințe pentru alte surse radioactive de aceeași natură cu etalonul.

În laborator se va utiliza o sursă de ^{60}Co .

Schema de dezintegrare a radionuclidului ^{60}Co este dată în

fig.1. Determinarea activității Λ se poate face prin metoda unghiului

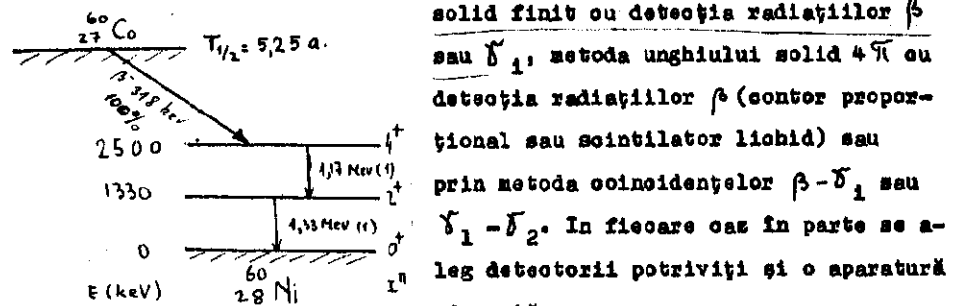


Fig.1 - Schema de dezintegrare a ^{60}Co .

8.1.1. Metoda unghiului solid finit.

Se bazează pe relația dintre activitatea Λ a sursei și vitesa de numărare R_i a detectorului, cu corecție de fond F și de timp mort T pentru radiatia de tip i:

$$R_i = S_i \epsilon_i \Lambda \quad (1)$$

în care:

S_i – factorul de schema al radiatiilor de tip i

ϵ_i – este factorul de detectie pentru radiatii de tip i

Indicații privind folosirea acestei relații găsite în referatul "Determinarea activității unei surse radioactive".

8.1.2. Metoda coincidențelor.

Se bazează pe detectarea a două radiatii emise în cascadă (succesiv) de unul și același nucleu în procesul dezintegrării sale. Astfel

OK

Da ce/ser fasc.9

de radiații se succed la intervale de timp foarte scurte

($10^{-7} \pm 10^{-16}$ s). În cazul ^{60}Co se emite în cascădă radiații β cu energiea $E_{\beta} = 0,32$ MeV și cuntele γ_1 cu $E_1 = 1,17$ MeV și γ_2 cu $E_2 = 1,33$ MeV.

Metoda coincidențelor presupune selectarea, din mulțimea particulelor β și cuntelelor γ emise de sursa radioactivă, numai a perechilor ($\beta-\beta$ sau $\gamma-\gamma$) care provin din același nucleu.

Pentru aceasta se folosesc doi detectori - cu lanțurile spectrometrice respective și o schemă de coincidență caracterizată prin timpul său de rezoluție τ_c . Se realizează montajul prezentat în fig. 2.

Instalația de coincidență pune următoarea condiție logică: la ieșirea ei se va produce un semnal - un puls - numai dacă pulsurile de la cei doi detectori ajung în instalația de coincidență, separate de un interval de timp $\Delta t < \tau_c$. Se poate realiza coincidență a două radiații ce provin de la același nucleu (coincidență adevarată) sau a două radiații provenite de la nucleu diferite. În absența sursei, se pot înregistra coincidențe ca urmare a detectării radiațiilor din jerdele cosmice ("coincidențe de fond").

Viteză de numărare a coincidențelor totale va fi dată de contribuția celor trei tipuri de coincidențe

$$R_t^0 = R_a^0 + R_{int}^0 + R_{fond}^0 \quad (2)$$

In lucrarea de față se va determina activitatea unei surse de ^{60}Co prin măsurarea coincidențelor $\beta-\beta$. Pentru aceasta se detectează cu detectorul (1) radiația γ_1 și cu detectorul (2) radiația γ_2 și vor fi satisfăcute relațiile:

$$R_1 = g_1 S_1 \Delta \quad (3)$$

$$R_2 = g_2 S_2 \Delta \quad (4)$$

$$R_a^0 = R_{12} = g_1 g_2 S_1 S_2 \Delta \quad (5)$$

Justificarea relației (5) poate fi obținută astfel. Să presupunem că pe calea 1 în schema de coincidență intră un semnal corespunzător detectării cuntelei γ_1 . Atunci, se va obține un impuls la ieșirea schemei de coincidență dacă și pe calea 2 intră un semnal corespunzător detectării cuntelei γ_2 . Această lucru se realizează dacă cuna γ_2 este emisă (cu probabilitatea S_{21} , factorul de schemă relativ al cuntelei γ_2 condiționat de emisia cuntelei γ_1 ; pentru transiții în cascădă de tipul celei din fig. 1, $S_{21}=S_2$) într-un unghi solid $\Delta\Omega_2$ corespunzător detectorului 2 (cu probabilitatea $\frac{\Delta\Omega_2}{4\pi}$, dacă cuna γ_2 este emisă isotrop, indiferent de unghiul de emisie față de direcția cuntelei γ_1 care o precede) și înregistrată de acesta (cu probabilitatea ξ_2). Astfel, dacă pe calea 1 avem un semnal, probabilitatea de a se obține o coincidență este

$$S_2 \cdot \frac{\Delta\Omega_2}{4\pi} \cdot \xi_2 = g_2 \cdot S_2, \text{ și deoarece pe calea 1 sunt } R_1 = g_1 S_1 \Delta \text{ semnale în unitatea de timp, rezultă că numărul de coincidențe în unitatea de timp satisfac relația (5).}$$

Observație. S-a presupus că probabilitatea emisiei cuntelei γ_2 spre detectorul 2 după ce a fost emisă cuna γ_1 spre detectorul 1, este $\frac{\Delta\Omega_2}{4\pi}$, corespunzind unei corelații unghiulare isotrope a celor două radiații, ceea ce nu se întâmplă întotdeauna. Astfel, în cazul ^{60}Co , pentru care momentele cinetice ale stăriilor nucleare implicate sunt 4, 2, și respectiv 0, există o corelație unghiulară anizotropă; totuși, dacă $\Delta\Omega_1 \rightarrow 2\pi$, $\Delta\Omega_2 \rightarrow 2\pi$, efectul acestei anizotropii este eliminat prin mediere și relația (5) este corectă. E suficientă o mediere pe un unghi solid de 2π , nu de π , pentru eliminarea anizotropiei, datorită invariantei stăriilor la inversia spațială - conservarea parității. Astfel, jumătate din numărul total de radiații γ_2 vor fi emise într-un unghi solid de 2π , indiferent de direcția în care a fost emisă cuna γ_1 corespunzătoare.

Din relațiile (3), (4) și (5) rezultă

$$\Delta = \frac{R_1 \cdot R_2}{R_a^0} \quad (6)$$

Ecuația (6) relevă imediat avantajul metodei coincidențelor față de metoda unghiului solid: Se elimină toți factorii de detectie ε_1 și ε_2 care implicau cunoașterea foarte precisă a eficienților intrinseci și geometrice precum și toate fenomenele secundare de absorbție și împărtiere care sunt în general dificil de controlat.

Intrucât măsurările se fac în prezență fondului, din vitezele de numărare se vor scădea vitezele de numărare a fondului pe cele două căi de detectie și coincidențele de fond. Se fac corecțiile de timp mort.

$$R_i = r_i + r_i^{2\gamma} - F_i \quad (7)$$

$$R_a^0 = r_t^0 - r_{int}^0 - r_fond^0 \quad (8)$$

Viteza de numărare a coincidențelor întâmplătoare se calculează după formula:

$$r_{int}^0 = 2\tau_0 r_1 r_2 \quad (9)$$

8.1.3. Compararea cu o sursă etalon

Condiția esențială pentru determinarea activității unei surse prin această metodă este ca sursa etalon să fie preparată din același radionuclid cu al sursei studiate (același S). Aparatura necesară este un lanț spectrometric sau chiar numai un lanț de numărare-fără analiză după amplitudine a spectrului.

A doua condiție legată de această metodă este de natură geometrică: dimensiunile sursei etalon și ale celei studiate, precum și geometria de măsură să fie identice (același g). În acest caz, vitezele de numărare pentru sursa etalon și pentru sursa de activitate necunoscută vor fi:

$$R_{et} = g \cdot S \cdot \Delta_{et} \quad (10)$$

$$R_x = g \cdot S \cdot \Delta_x \quad (11)$$

Rezultă imediat activitatea necunoscută

$$\Delta_x = \frac{R_x}{R_{et}} \cdot \Delta_{et} \quad (12)$$

8.2. Obiectul lucrării

În lucrarea de față se propune determinarea activității absolute a unei surse radioactive de ^{60}Co utilizând metodele:

- a. Metoda unghiului solid finit
- b. Metoda coincidențelor

și determinarea activității unei surse de ^{60}Co prin comparare cu activitatea unei surse etalon. Determinările se fac detectând radiațiile γ cu detectori de scintilație.

8.3. Aparatura utilizată.

Se folosesc două lanțuri spectrometrice γ , cu detectori de NaI(Tl), precum și o schemă de coincidență (fig.2). Părțile componente

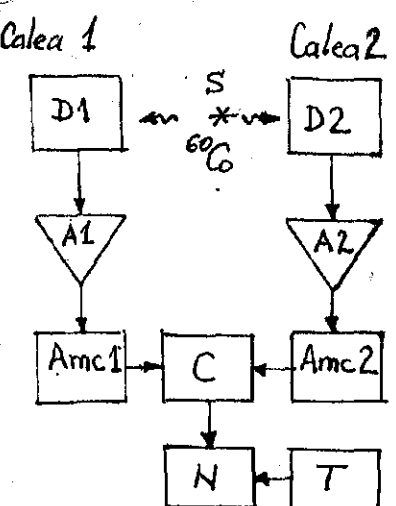


Fig.2 - D1 și D2 - sonde detectoare, A1 - amplificator în poziția COARSE GAIN : 2, FINE GAIN : 470, IN : INV, A2 - amplificator în poziția COARSE GAIN:2, FINE GAIN : 402, IN:INV, Amc 1 și Amc 2 - analizoare monoanalal SCA 1122 în starea LOWER LEVEL: 1,90 v. windows: 9,90v., INT, C-coincidență NE 4651 în poziția DELAY 0.2 μ s pentru cele două intrări alimentate aflate în poziția IN, iar a treia intrare neconectată în poziția ANTICOIN.RFSOLUTION TIME 1 μ s, N - numărător electronic (SCALER), T - timer (cronometru electronic).

De instalației experimentale sunt:

- 2 sonde cu detectori de scintilație de NaI(Tl), de dimensiuni 1" x 1" (1 inch = 2,54 cm)

- 2 amplificatoare
- 2 analizoare monocanal SCA 1122
- un modul de coincidență COINCIDENCE 4651 N.E.
- un numărător
- un modul de comandă de timp

8. 4. Modul de lucru și prelucrarea rezultatelor

Se va măsura activitatea unei surse de ^{60}Co prin cele 2 metode absolute și prin metoda relativă.

Pentru evitarea impreciziei în determinarea lui Λ , datorată fenomenelor secundare de imprăștieră și absorbtie, se va utiliza în calcul viteza de numărare pe fotopic. De aceea este necesară analiza spectrului de amplitudine și selectarea fotopicului radiației γ utilizate în determinarea lui Λ .

Se realizează în acest scop următoarele etape de lucru:

8.4.1. a. Se face calibrarea energetică a unuia din lanțurile spectrometrice utilizând sursele de calibrare ^{37}Cs ($E_{\gamma} = 0,661 \text{ MeV}$) și ^{60}Co ($E_{\gamma_1} = 1,17 \text{ MeV}$ și $E_{\gamma_2} = 1,33 \text{ MeV}$); ^{22}Na ($E_{\gamma} = 0,51 \text{ MeV}$)

b. Se determină soluția energetică.

c. Se determină eficiența intrinsecă de fotopic pentru liniiile γ ale ^{60}Co .

8.4.2. Se determină activitatea prin metoda unghiului solid,

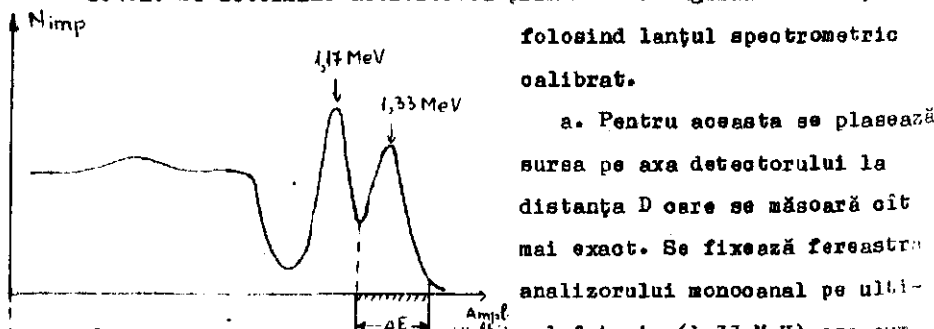


Fig.3 - Spectrul γ tipic al unei surse de ^{60}Co .

- b. Se determină viteza de numărare cu sursă (r) și fără sursă (p). Se calculează viteza corectată R.
 - c. Se calculează Λ după formula (1)
 - d. Se calculează eroarea $\Delta \Lambda$ folosind metoda propagării erorilor.
- 8.4.3. Se determină activitatea aceleiași surse prin metoda coincidențelor $\gamma-\gamma$. Pentru aceasta se efectuează următoarele operații:
- Se calibrează energetic al doilea lanț spectrometric.
 - Se fixează fereastra analizorului pe fotopicul de $1,17 \text{ MeV}$.
 - Couplează iesirile logice Ω ale celor două analizoare la intrările schemei de coincidență.
 - Să echilibrează (temporal) schema de coincidență ($2\bar{\tau}_0$).

Se verifică viteza de numărare pe canalele singulare și pe cea a coincidențelor.

- Se fac determinări a vitezei de numărare pe calea coincidență și pe canalele singulare.
- Se calculează vitezele corectate cu formulele (7, 8, 9)
- Se calculează Λ cu formula (6)
- Se calculează eroarea $\Delta \Lambda$ cu metoda propagării erorilor.

8.4.4. Metoda relativă

Se folosește unul din cele două lanțuri cu fereastra cuprinzind unul sau ambele fotopicuri.

În aceeași geometrie se determină viteza de numărare a sursei etalon (calibrată mai sus) și a unei surse neconoscute.

Se determină Λ utilizând formula (12).

8.5. întrebări

- Demonstrați relația (9) pentru coincidențele întimplătoare.
- Cum puteți determina experimental coincidențele întimplătoare?

$$\frac{R(t_a)}{R_\infty} = \frac{R(t_a)}{R(30)} \quad \text{pentru } \frac{1}{\lambda} \ll 30 \quad (4')$$

unde $R(t_a)$ este viteza de numărare, obținută cind proba activată un timp t_a este pusă lîngă detector. Sursa de neutroni este de Pu-Be deci o sursă de tipul (α, n) , neutronii emisi avind energie cuprinsă în intervalul 0-11 MeV, cu un maxim la 4 MeV și energie medie de 5 MeV.

Reacția care produce izotopul activ din probă este reacția (\bar{n}, β) cu neutronii terminalizați în apă, avind secțiunea eficace pentru ^{27}Al , a cărui curbă de activare se studiază, de 230 mb . Izotopul nou format este ^{28}Al , β^- emisiv, energie maximă a spectrului β emis fiind $2,865 \text{ MeV}$, iar timpul de înjumătărire $T_{1/2} = 2,3$ minute.

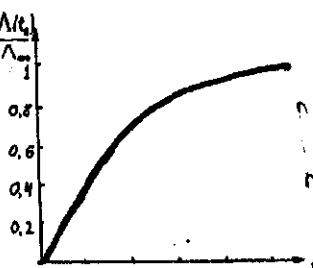


Fig.1

Lui β emis fiind $2,865 \text{ MeV}$, iar timpul de înjumătărire $T_{1/2} = 2,3$ minute.

Funcția (1) cu cîteva corecții devine aptă pentru determinarea fluxului de neutroni în punctul unde s-a făcut iradierea, precum și a intensității sursei, definită ca număr de neutroni emisi într-o secundă.

a) Corecția asupra timpului de transport al probei de la sursă la detector; acest timp îl notăm cu t_p (va fi egal cu 30 sec. pentru toate măsurările). Nucleele active formate prin iradiere se vor dezintegra în acest interval, așa încît în momentul în care se începe numărarea vor mai fi rămas:

$$N_1 = \frac{mN_0}{A\lambda} \sigma_a \phi (1-e^{-\lambda t_a}) e^{-\lambda t_p} \text{ nuclee} \quad (5)$$

b) În intervalul de timp pe care-l vom nota cu t_m , în care se face înregistrarea numărului de impulsuri, proba a emis

$$N_2 = \frac{mN_0}{A\lambda} \sigma_a \phi (1-e^{-\lambda t_a}) e^{-\lambda t_p} (1-e^{-\lambda t_m}) \text{ particule } \beta \quad (6)$$

reprezentând de fapt numărul de nuclee care s-au dezintegrat în interva-

Păcurek

9. LEGEA DE ACTIVARE

9.1. Principiul lucrării

Iradiind izotopul unui element dat într-un flux de neutroni termici numărul nucleelor active care se obțin va fi soluția ecuației:

$$\frac{dN}{dt} = \sum_a \phi - \lambda N \quad (1)$$

$$\text{și avem: } N = \frac{mN_0}{A\lambda} \sigma_a \phi (1-e^{-\lambda t_a}) \quad (2)$$

unde: t_a - timpul de activare

ϕ - fluxul neutronilor termici în zona probei

σ_a - secțiunea microscopică de activare a izotopului respectiv cu neutroni termici

$\sum_a = \frac{m}{A} \cdot N_0 \cdot \sigma_a$ - secțiunea macroscopică de activare a probei iradiate.

N_0 - numărul lui Avogadro

m - masa probei iradiate

λ - constanta radioactivă a izotopului format

A - numărul de masă al respectivului izotop

Activitatea specifică sau activitatea unității de masă va fi:

$$\Lambda^s(t_a) = \frac{\lambda N}{m} = \frac{N_0}{A} \sigma_a \phi (1-e^{-\lambda t_a}) \quad (3)$$

Mărimea $\Lambda^s = \frac{N_0 \sigma_a \phi}{A}$ reprezintă activitatea specifică obținută după un timp de iradiere $t_a \gg 1/\lambda$.

Funcția: $\frac{\Lambda^s(t_a)}{\Lambda^s} = 1 - e^{-\lambda t_a}$ (4) este reprezentată în fig.1, pe abscisă fiind raportul $t_a/T_{1/2}$. Această curbă, numită de activare urmează să fie comparată cu datele experimentale.

lul t_m , în cazul în care fiecare nucleu emite o singură particulă β^- , iar cuantă γ care o urmează, în cascădă, nu este înregistrată de sistemul nostru de detectie. Radionuclidul care se formează în urma dezactivării ^{28}Al este ^{28}Si , stabil. Este posibil în cazul activării unui nucleu care ca acest nucleu format prin desintegrare β^- să se dezintegreze în continuare β^- și încit într-un astfel de caz sistemul de detectie să înregistreze mai multe impulsuri decât cele care se datorează exclusiv izotopului format la iradiere. Formula (6) într-o astfel de situație se corectează cu acest număr de factor de schema: în cazul determinărilor noastre folosind ^{27}Al factorul de schema este 1.

c) Geometria sistemului de detectie este reprezentată în fig.2.

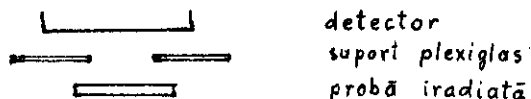


Fig.2

Vom considera că toate particulele β^- emise în jumătatea de sus a unghiului solid total 4π sunt înregistrate de detector, căruia eficiență pentru particula β^- este 1, cu alte cuvinte orice particulă care a pătruns în detector dă un impuls în sistemul de numărare.

Rezultă că numărul N_3 de impulsuri înregistrate de sistemul de numărare în intervalul de timp t_m va fi:

$$N_3 = \frac{1}{2} N_2 \quad (7)$$

d) O altă corecție de care vom ține cont în măsurătorile noastre este aceea de autoabsorbție în materialul probei, pe care o vom nota cu G_a . Un calcul riguros al acestei corecții nu se poate face, interacția particulelor β^- cu substanța fiind deosebit de complexă. De obicei ea se evaluează folosind relația:

$$\boxed{G_a = \frac{1-e^{-\mu d}}{\mu d}}$$

unde d - reprezintă grosimea probei

μ - coeficientul de absorbție care se calculează din relația

$$\frac{\mu}{\rho} = 17 \cdot E^{-1,43} \text{ cm}^2/\text{g}$$

E, exprimat în MeV, fiind energia maximă a spectrului β^- emis ($2,865 \text{ MeV}$); $\rho = 2,7 \text{ g/cm}^3$.

Probelor care se vor folosi în prima parte a lucrării au masa de $3,19 \text{ g}$ cu o grosime de $2,73 \text{ mm}$. Un alt set de probe, care se vor folosi la determinarea fluxului, sunt descrise în tabelul de mai jos.

e) Ultima corecție pe care o vom considera este aceea de retroimprăștierie. În măsurătorile noastre se folosesc probe cu cărora grosime variată între $0,5$ și $2,5 \text{ mm}$ emisia β^- făcându-se în toată masa probei. La punctul e) am arătat că se înregistrează doar particulele β^- care se emis în jumătatea de sus a unghiului solid total 4π .

Se poate întâmpla însă că o particulă β^- emisă în jumătatea de jos a unghiului solid total, în urma interacției cu atomii din probă să fie întoarsă înapoi și să pătrundă în detector. Fenomenul acesta se numește retrodifuzie și el face ca numărul de impulsuri citit să fie mai mare decât cel care ar fi existat în absența retroimprăștierii. Corecția aceasta notată cu G_r va depinde evident de grosimea și natura materialului retrodifusant, la noi ^{27}Al , și de energia particulelor; vom considera această corecție egală cu $1,1$ pentru plăcuțele mai subțiri de 1 mm și $1,3$ pentru grosimi mai mari de 1 mm .

Cofe.

Nr.	masa(g)	grosimea(cm)
1	0,5	0,048
2	1,01	0,098
3	1,53	0,149
4	2,67	0,26

Alte corecții cum ar fi aceea de absorbție în materialul ferestrelor și în aer se neglijăză.

9.2. Obiectul luorării

Verificarea legii de activare a elementelor în urma iradiierii cu neutroni și folosirea acestei legi în determinarea experimentală a fluxului de neutroni.

9.3. Aparatura utilizată

Se folosește un lanț de măsură β , compus dintr-o sondă având ca detector un scintilator din plastic, și un numărător de impulsuri tip NUMEPOR 537 sau NUMEPOR 632, sau un lanț modular, compus din sondă, amplificator, discriminator integral, numărător și unitate de comandă de timp.

Se utilizează plăcuțe de Al, care se iradiască la o sursă de neutroni de tip Pu - α - Be, imersată într-un bac cu apă.

9.4. Modul de lucru și prelucrarea rezultatelor

1. Se pune în funcțiune lanțul de măsură. Se determină viteza de numărare a fondului, efectuind o măsurătoare pe o perioadă suficient de lungă pentru ca eroarea relativă să fie sub 5%.

2. Se aşeză plăcuțele de Al (setul de 6 plăcuțe de aceeași grosime) la distanța de 10 cm de sursă, activându-se 1,2,4,7,10,20 și respectiv 30 minute. Se transportă ţinta la detector într-un timp de 30 s, numărătoarea fiindu-se timp de 1 minut.

3. Pentru calculul curbei de activare se folosește relația (4) și (4') iar pentru calculul fluxului de neutroni într-un punct dat din bacul cu apă relația:

$$N_m = \frac{1}{2} \cdot 0_a \cdot 0_p \cdot \frac{mN_0}{A \cdot \lambda} \cdot \sigma_a \cdot \phi \cdot (1 - e^{-\lambda t_a}) \cdot e^{-\lambda t_m} \cdot (1 - e^{-\lambda t_p}) \quad (8)$$

în care

N_m = numărul de impulsuri înregistrate în timpul t_m de măsură

$A = 28$ ur de masă

$\sigma_a = 230 \text{ mb}$, $1 \text{ b} = 10^{-24} \text{ cm}^2$.

$$T_{1/2} = \frac{\ln 2}{\lambda} = 2,3 \text{ min.}$$

4. Pentru calculul lui ϕ din această relație se vor folosi măsurările anterioare efectuate în același punct al bacului la intervale de iradiere diferite precum și plăcuțele de mese diferite iradiate în același punct, timp de 10 minute fiecare. În continuare plăcuțele folosite în prima parte a luorării se vor folosi pentru a determina fluxul la distanțele de 15 și 20 cm de sursă, timpul de iradiere fiind tot de 10 minute.

5. Se va calcula folosind datele obținute la punctele (3) și (4) intensitatea sursei, adică numărul total de neutroni emisi pe secundă de către sursă, utilizând relația:

$$\phi = \frac{S}{4\pi D(1 - \frac{L}{D})^2} \cdot (e^{-\frac{L}{D}} - e^{-\frac{r}{D}}) \quad (9)$$

S = intensitatea sursei

D = coeficient de difuzie (0,16 cm)

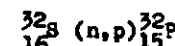
L = lungime de difuzie (2,85 cm)

r = vîrstă neutronilor termici în apă ($28,4 \text{ cm}^2$)

În principiu pentru intensitatea sursei S trebuie să se obțină valori apropriate, indiferent de r; diferențele se datoresc inexactității ecuației (9) și fluctuațiilor statistice ale mărimilor măsurate.

9.5. Probleme

1. Un disc de sulf $^{32}_{16}\text{S}$ cu diametrul de 3 cm și 0,2 cm grosime este activat într-un flux de neutroni rapizi $\phi = 3,5 \cdot 10^9 \text{n} \cdot \text{cm}^{-2} \text{s}^{-1}$. Pentru energia neutronilor considerată, secțiunea eficace a reacției



este 0,32 barn. Fosforul este β^- activ și se dezintegrează după schema dată în Partea Introductivă I, Surse de radiații.

a) stabiliți relația teoretică de determinare a activității sursei obținute.

- b) calculați activitatea sursei de $\frac{32}{15}$ după două ore de activare.
- c) care este activitatea maximă (de saturatie)?
- d) după cât timp se obține 90% din activitatea maximă?
2. Ce formă are curba de activare pentru $t_a < 0.3 T_{1/2}$?
3. Folosind metoda propagării erorilor, să se determine expresia abaterii standard a raportului $R(t_a)/R(30')$.
4. Care este abaterea valorii $\Delta(30')$ față de Δ_∞ ?
5. Ce imprecizie aduce în valorile activităților măsurate o eroare de 1% la masa diferitelor ţinte, presupuse a fi strict egale în lucrarea efectuată?
6. Să se arate că în condițiile concrete din laborator, activitatea remanentă a probei după 30 minute de la terminarea iradiierii este mai mică decât abaterea standard a fiecărei măsurători, adică intră în fluctuațiile statistice ale măsurătorii. După un asemenea timp, plăcută poate fi din nou iradiată pentru o nouă determinare.
7. Să se demonstreze formula pentru calculul corectiei C_a de autoabsorbție în ipoteza că sursa emite radiații β^- în tot volumul ei.

Bibliografie

1. H.A. Enge - "Nuclear Physics", Addison-Wesley Pub.Comp. (1966)

10. INCETINIREA NEUTRONILOR

10.1. Notiuni generale despre incetinirea neutronilor

Neutronii emiși prin fisiușe nucleelor de ^{235}U , ^{233}U , ^{239}Pu , elemente utilizate în reacțorii nucleași, precum și neutronii emiși de surse ($\text{Ra}-\text{Be}$, $\text{Po}-\text{Be}$, $\text{Pu}-\text{Be}$, etc.) au în general energii de ordinul MeV. Pe altă parte, neutronii care produc majoritatea proceselor de fisiușe în reacțorii nucleași termici au energii de ordinul 0,025 eV. De asemenea, pentru reacțiile de activare cu neutroni, domeniul energetic de interes este de ordinul eV. Ca urmare în reacțorii nucleași termici sau în alte aplicații practice este necesară micșorarea energiei neutronilor de la valori de ordinul MeV la valori de ordinul eV, proces care se numește incetinirea (moderarea) neutronilor. Mediul în care are loc acest proces se numește moderator.

Incetinirea neutronilor se produce ca urmare a pierderilor de energie prin cicoenirile elastice cu nucleele moderatorului; contribuția cicoenirilor inelastice este în general neglijabilă, fie pentru că neutronii nu au energie suficientă pentru a putea aduce nucleele ciconite în stări excitate (în special cind cicoenirea are loc pe nucleu uscat), fie pentru că secțiunea de cicoenire inelastica este relativ mică.

Moderatorul, pentru a fi eficient, trebuie să fie constituit din elemente cu următoarele proprietăți: număr atomic cât mai mic (pentru că astfel pierderea de energie a neutronului la o cicoenire este mare); secțiune de împărtiere elastică mare (ca aceste procese de cicoenire elastică să aibă o probabilitate mare); secțiune de absorbtie mică (astfel ca din numărul inițial de neutroni rapizi că mai mulți să poată

deveni neutroni lenti, evitind absorbtie).

Astăzi cînd neutronii au o energie mult mai mare decît energia corespunzătoare agitației termice (pentru $T = 300^{\circ}\text{K}$, $E_T = 0,025 \text{ eV}$), la fiecare ciocnire energia lor scade - are loc un proces efectiv de moderare. Cînd însă energia devine comparabilă cu energia de agitație termică a nucleelor moderatorului, în urma ciocnirilor neutronii pot să cedeze sau să primească energie, realizîndu-se o stare de echilibru termic cu moderatorul. Neutronii termici au o distribuție maxwelliană a vitezelor, distribuția care nu se modifică în urma unor noi ciocniri, deși distribuția spațială a neutrônilor termici se poate modifica în urma acestor ciocniri (difusia neutrônilor termici), dacă gradientul densității neutrônilor este nenul.

In primă aproximatie, în procesul de flocetinire un neutron cu energia inițială E , după o ciocnire elastică cu un nucleu de moderator poate avea cu aceeași probabilitate orice energie în intervalul $(\alpha E, E)$ cu $\alpha = (M-m_n)^2/(M+m_n)^2 < 1$ (M = masa nucleelor moderatorului, m_n = masa neutrônului). La o nouă ciocnire, inițiată la energia E' din $(\alpha E, E)$, neutrônul are la dispoziție un nou interval $(\alpha^2 E, E')$, în care poate lua echiprobabil orice energie. Astfel, după 2 ciocniri intervalul în care energia neutrônului poate lua valori se largeste, devenind $(\alpha^2 E, E)$ (dar valorile din acest interval nu mai sunt echiprobabile) și procesul continuă similar la ciocnirile ulterioare. Între două ciocniri succeseive neutrônul se mișcă rectiliniu, astfel că poziția sa cestui se modifică în procesul flocetinirii, iar în medie cît un neutron a suferit mai multe ciocniri, deci a pierdut mai multă energie, cu atât este mai depărtat de sursă. Astfel flocetinarea neutrônilor este un proces statistic complicat în care se modifică în paralel cu distribuția energetică și distribuția spațială a neutrônilor.

Pentru descrierea acestui proces se utilizează diferite funcții de distribuție. Densitatea $n(\vec{r}, E)$ reprezintă numărul neutrônilor cu

energia E cuprinsă într-un interval energetic unitar, din unitatea de volum. Astfel, $n(\vec{r}, E) dv dE$ reprezintă numărul neutrônilor cu energia în intervalul $(E, E + dE)$, din volumul dv , al cărui vector de poziție este \vec{r} . Fluxul neutrônilor $\phi(\vec{r}, E)$ reprezintă numărul de neutroni cu energia într-un interval unitar în jurul valoarei E , care intersectează într-o secundă o suprafață unitară situată la \vec{r} . Între flux și densitate există relația $\phi(\vec{r}, E) = v \cdot n(\vec{r}, E)$, cu $v = (2E/m_n)^{1/2}$ viteza neutrônilor de energie E . Determinarea fluxului de neutroni $\phi(\vec{r}, E)$ constituie un obiectiv principal al teoriei flocetinirii neutrônilor. Această problemă nu are o rezolvare analitică generală, ci soluții care aproximează bine diferite cazuri particolare. Astfel, pentru o sursă punctiformă de neutroni monoenergetici, plasată într-un mediu de volum foarte mare, în cazul în care pierderea medie de energie la o ciocnire este foarte mică, astfel încît procesul de flocetinire să poată fi considerat un proces continuu, fluxul neutrônilor are forma $\phi(\vec{r}, E) \sim e^{-a(E) \cdot r^2}$.

O astfel de distribuție corespunzătoare diferitelor valori ale lui E este reprezentată în figura 1 pentru o sursă punctiformă de neutroni monoenergetici de energie $E_0 = 2 \text{ MeV}$, plasată într-un moderator de grafit. Pentru valori mari ale lui E , curba este ascuțită și îngustă, căci valoarele mari ale lui E implică un număr mic de ciocniri, deci o distanță străbătută de neutroni mică. Pentru valori mici ale energiei E curba este aplatinată, și aşa cum era de așteptat arătă valori semnificative și la distanțe mari de sursă. O distribuție similară este valabilă și în alți moderatori: însă pentru apă sau alte medii care conțin mult hidrogen, aproximarea flocetinirii continue nu este justificată (deoarece pierderea medie de energie a neutrônului este mare la o ciocnire cu un nucleu de hidrogen), deci nici fluxul de neutroni nu este descris corect de o lege de tip $e^{-a(E) \cdot r^2}$.

Un parametru de interes practic (în proiectarea reactorilor, a protecției sursei de neutroni etc.) pentru caracterizarea procesului

de incetinire este distanța pătratică medie $r^2(E)$ parcursă de neutroni de la sursă pînă cînd își reduc energia de la E_0 la E :

$$\overline{r^2(E)} = \int r^2 n(\vec{r}, E) d\vec{v} / \int n(\vec{r}, E) d\vec{v} \quad (1)$$

In cazul unei geometrii cu simetrie sferică relația (1) devine:

$$\overline{r^2(E)} = \frac{\int_0^L r^4 \cdot n(r, E) dr}{\int_0^L r^2 \cdot n(r, E) dr} \quad (2)$$

Observatie. Relația (1) definește raza pătratică medie a distribuției neutronilor de energie E . Aceasta diferă într-o anumită măsură de distanța pătratică medie parcursă de neutroni de la sursă pînă cînd ajung la energia E , deoarece nu toți neutronii de energie E au atins această energie în elementul de volum considerat. Pentru determinarea acestei ultime distanțe, în locul densității $n(\vec{r}, E)$ în relația (1) ar trebui utilizată densitatea de incetinire $\sigma_a(\vec{r}, E)$, care reprezintă numărul de neutroni din unitatea de volum care se incetinesc în unitatea de timp de la energii mai mari la energii mai mici sau egale cu E . In teoria incetinirii este mai comod să se obțină expresii analitice pentru densitatea de incetinire, deci pentru distanța pătratică medie parcursă de neutroni de la sursă pînă cînd ajung la energia E , pe către vreme experimental este mai ușor de determinat raza pătratică medie a distribuției neutronilor de energie E . Diferențele între cele două raze pătratice medii sunt în general mici; ele sunt mai importante în cazul neutronilor termici, deoarece aceștia pot străbate anumite distanțe de la punctul în care au devenit termici prin fenomenul de difuzie, fără ca distribuția energetică să se modifice. Astfel, pentru neutroni termici mărimea $\overline{r^2(E_p)}$ definită prin relația (1) conține atît un termen referitor la distanța pătratică medie parcursă în procesul de incetinire, termen proporțional cu vîrsta neutronilor termici T_p , cît și un termen referitor la difuzia neutronilor termici, termen descrieră cu ajutorul lungimii de difuzie L :

$$\overline{r^2(E_p)} = 6 M^2 = 6(T_p + L^2) \quad (3)$$

M^2 se numește aria de migrație. Mărimea $T(E)$ se numește vîrsta neutronilor de energie E , deși are dimensiuni de suprafață, deoarece este proporțională cu timpul mediu scurs de la emisie unui neutron din sursă pînă cînd acesta ajunge la energia E ; T este în corespondență biunivocă cu energia E și în teoria incetinirii se utilizează frecvent ca variabilă independentă în locul energiei E .

In laborator se utilizează o sursă de neutroni tip Pu- α -Be care emite neutroni cu un spectru energetic larg, pînă la 11 MeV; maximul acestui spectru este la aproximativ 4 MeV, iar valoarea medie la ~ 5 MeV. Pentru obținerea experimentală a razei medii pătratice $\overline{r^2(E)}$ a distribuției neutronilor de energie E trebuie să se poată determina experimental distribuția în funcție de distanță de la sursă a acestor neutroni. Acest lucru se poate realiza cu ajutorul unor probe care să se activeze doar cu neutroni de energie E , adică al unor probe care să prezinte o secțiune de absorție de rezonanță foarte mare la energia E , iar absorția în afara rezonanței să fie neglijabilă.

Într-adevăr, în acest caz activitatea probei $A(x)$, activată la distanță x de sursă va fi

$$\begin{aligned} A(x) &= \text{const.} \int_{E-\Delta E}^{E+\Delta E} \sigma_a(E') \phi(x, E') dE' \approx \text{const.} \int_{E-\Delta E}^{E+\Delta E} \sigma_a(E') \cdot \phi(x, E') dE' \\ &= \text{const.} \phi(x, E) \int_{E-\Delta E}^{E+\Delta E} \sigma_a(E') dE'. \quad \Rightarrow \quad A(x) = K \cdot n(r, E) \end{aligned}$$

In acest scop în laborator se utilizează probe de argint natural care conține isotopii ^{107}Ag (abundență naturală 51.35%) și ^{109}Ag (48.65%). Isotopul ^{107}Ag se activează cu neutroni termici ($\sigma_a = 44.9 \text{ b}$) obținindu-se isotopul β activ ^{108}Ag ($T_{1/2} = 2.3 \text{ min}$); isotopul ^{109}Ag se activează atît cu neutroni termici ($\sigma_a = 110 \pm 20 \text{ b}$) cît și cu neutroni

din zona de rezonanță ($E_{\text{rez}} = 5,2 \text{ eV}$, $\sigma_a = 7600 \text{ b}$), obținindu-se izotopul β activ ^{110}Ag ($T_{1/2} = 24,5 \text{ s}$). Dacă se acoperă foile de Ag cu foile de cadmiu, care este un foarte bun absorbant de neutroni termici ($\sigma_a = 2400 \pm 200 \text{ b}$), dar care absoarbe slab neutronii din zona rezonanței argintului, rezultă că într-o astfel de probă argintul se va activa practic doar cu neutronii de energie $E = 5,2 \text{ eV}$. Activând această probă la diferite distanțe r de sursă, activitatea ei $A(r)$ va fi proporțională cu fluxul neutronilor de energie $E = 5,2 \text{ eV}$ în acea poziție $\phi(r, E)$, flux la rindul său proporțional cu densitatea $n(r, E)$. Ca urmare, raza pătratică medie a distribuției neutronilor de energie $E = 5,2 \text{ eV}$ se poate determina din relația:

$$r^2(E=5,2 \text{ eV}) = \frac{\int x^4 \cdot A(x) \cdot dx}{\int x^2 \cdot A(x) \cdot dx} \quad (4)$$

Determinarea lui $r^2(E)$ se face calculând integralele din relația (4). Deoarece pentru apă ca moderator nu există o reprezentare analitică simplă a densității $n(x, E)$, valabilă pentru orice x , integralele trebuie calculate numeric, de exemplu prin metoda Simpson. Pentru valori mari ale lui r , $r > r_0$, există însă o astfel de reprezentare care aproximiază bine datele experimentale:

$$n(x, E) = \frac{A}{x^2} e^{-Bx} \quad (5)$$

astfel că la distanțe mari de sursă integralele pot fi efectuate analitic, considerind $A(r) = \frac{B}{x^2} e^{-Bx}$; efectuarea analitică a integralelor pentru $r > r_0$ reduce efectul fluctuațiilor datelor experimentale din acest domeniu și ține cont și de contribuția la integralele de distanțe mai mari decât cea mai depărtată poziție măsurată. Prin urmare, din datele pentru $r > r_0$, reprezentate în forma $\ln[r^2 A(r)]$, se obțin, prin metoda celor mai mici pătrate, parametrii B și A , și apoi se calculează integralele din (4) analitic, pentru $r > r_0$; pentru $r < r_0$ integralele se calculează numeric.

prin metoda Simpson, sau grafic.

10.2. Obiectul lucrării

Întrarea următoare înaintea noilor legături de procese de inoxidare a neutronilor și determinarea razei pătratică medie a distanței butiei neutronilor de energii de ordinul eV ($E = 5,2 \text{ eV}$, corespondență rezonanței ^{109}Ag) într-un mediu moderator de apă în care se mărește și suran de neutroni de tip Pu- α -Ba.

10.3. Aparatura utilizată

Se folosește un lanț de măsură β , compus din sondă cu detector la rindul său proporțional cu densitatea $n(r, E)$. Ca urmare, raza pătratică medie a distribuției neutronilor de energie $E = 5,2 \text{ eV}$ se poate determina din relația:

Plăcuțele de Ag, acoperite cu Cd, se vor iradiia la sursa de neutroni de tip Pu- α -Ba, aflată în dotarea laboratorului de Fizică nucleară.

10.4. Modul de lucru și prelucrarea rezultatelor

1. Se determină fondul instalației cu o eroare statistică relativă sub 5%.

2. Se activează eșantionul de Ag dispus între două foile de Cd la distanța de 4 cm de sursă, un timp t_a .

3. Se aduce proba la instalația de măsurat, timpul de transport fiind t_t .

4. Se măsoară activitatea probei de Ag într-un interval de timp t_m .

5. Se menține proba în instalație de numărare pînă când activitatea acesteia scade la nivelul fondului.

6. Se repetă măsurările (punetale 2-5) mîndând distanța probei față de sursa de neutroni din 2 în 2 cm. Pentru măsurarea corecțiilor atât de activării remarcante se poate efectua prima determinare la distanță mare de sursă și apoi să se măsoare distanța din 2 în 2 cm.

Avînd în vedere timpul de înîndătărire foarte scurt al isotopului de interes, ^{110}Ag , alegera intervalelor de timp t_a, t_t, t_m este de mare importanță. În particular, pentru a evita utilizarea corecțiilor de

îndătărire

ddezintegare la prelucrarea datelor, este necesar să se păstreze la teate măsurătorile valorile t_a , t_b , t_m riguros constante.

7. Se calculează $\Lambda(r)$, și se reprezintă $r^2 \Lambda(r)$ și $\ln[r^2 \Lambda(r)]$

Din ultima reprezentare se obține valoarea r_0 astfel încât pentru $r > r_0$,

$\ln[r^2 \Lambda(r)] = \ln B - a \cdot r$. Cu ajutorul acestor date se calculează prin metoda celor mai mici pătrate B și a.

8. Se calculează $r^2(B)$ din relația:

$$\frac{r^2(B)}{r^2} = \frac{\int_0^r r^4 \Lambda(r) dr + \int_{r_0}^r r^4 \Lambda(r) dr}{\int_0^{r_0} r^2 \Lambda(r) dr + \int_{r_0}^r r^2 \Lambda(r) dr}$$

Pentru calculul integrașilor de la 0 la r_0 se utilizează metoda grafică sau metoda lui Simpson

$$\int_a^b f(x) dx \approx \frac{h}{3} [f(a) + 4f(a+h) + 2f(a+2h) + 4f(a+3h) + 2f(a+4h) + \dots + 2f(b-2h) + 4f(b-h) + f(b)]$$

în care $h = (b-a)/2n$, $2n$ fiind numărul de subintervale în care se împarte $[a, b]$. Integrașele de la r_0 la ∞ se efectuează analitic, înlocuind

$$\Lambda(r) = \frac{B}{r^2} \cdot e^{-ar}, \text{ cu } B \text{ și } a \text{ determinați anterior.}$$

Intrebări.

- Să se arate că la ciocnirea centrală a unui neutron cu un nucleu A, cind recoilul nucleului este pe direcția inițială a neutronului, neutronul primește energie αE , iar nucleul energia $(1-\alpha)E$.

$$E \text{ este energia inițială a neutronului, } \alpha = \frac{(M-m_n)^2}{(M+m_n)^2}, M \text{ este masa}$$

nucleului și m_n masa neutronului.

- Explicați de ce este necesară activarea foliei de Ag, invelită în Cd.

- Este influențat rezultatul de dimensiunile finite ale sursei și ale probei de Ag? Dar de distribuția inițială a energiei neutronilor emisi din surse?

• S-ar fi obținut același rezultat dacă în locul Ag-115 se utilizează un alt element, de exemplu Li-7 , care are rezonanță de absorție pronunțată la 1.45 eV?

• Cu aceleasi materiale ca în lucrarea de față s-ar putea determina distanța pătratică medie corespunzătoare neutronilor termici?

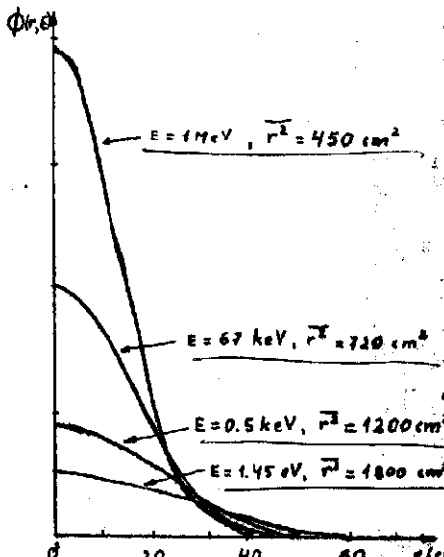


Fig.1

Distribuția spațială a neutronilor de diferite energii, înconținuți de la $E_0 = 2 \text{ MeV}$ într-un moderator de grafit. Sursa este punctiformă [2, pag.59].

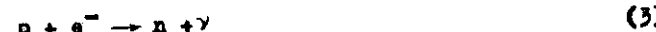
Bibliografie

- A.Berinde, L.Constantinescu, A.Meșter, R.Mihu - Înținderi practice de Fizica și Tehnica Reactorilor Nucleari, București, 1980, pag.98
- R.L.Murray, - Nuclear Reactor Physics, Prentice-Hall, 1957
- x x x - The Reactor Handbook: Physics, USA, Geneva 1955, p.49
- A.Berinde - Elemente de Fizica și Calculul Reactorilor Nucleari, Ed.Tehnică, București, 1977
- I.Purica - Teoria Reactorilor Nucleari, Buc., 1981, Edit. Univ. Politehnica.

11. SPECTROSCOPIE β

11. 1. Principiul lucrării

Dezintegrarea β este un proces de transformare a unui nucleu instabil în nucleul izobar $\Delta Z = \pm 1$ în urma emisiei unui electron, pozitron sau a capturii electronului (E.C.) conform proceselor:



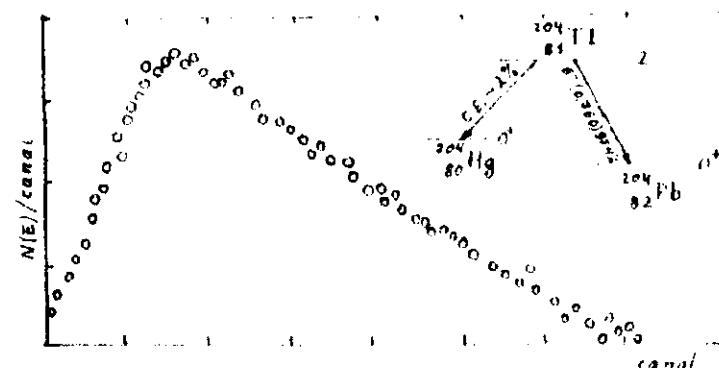
Dezintegrarea β^+ are loc atunci cind nucleul respectiv are un exces de neutroni sau protoni față de izobarul său stabil. Astfel ^{204}Tl are un exces de un neutron față de izobarul stabil ^{204}Pb și ca atare, pentru a deveni stabil, în mod spontan, are loc transformarea neutronului în proton, cu emisia de electroni β^+ conform procesului (1). Energia degeajătă în această transformare nucleară este practic cedată electronului și antineutrinului $\bar{\nu}$ în proporții variabile, ceea ce face ca spectrul energetic al electronilor să fie un spectru continuu cu energia ce variază între "0" și energia cinetică maximă E . Spectrul β^- pentru ^{204}Tl , tipic pentru dezintegrarea β^- , este prezentat în fig.1. Dependența de energia totală $W = E + 1$, în care E este energia cinetică a electronilor (pozitronilor) emisi, exprimată în unități de m_0c^2 ($m_0c^2 = 0,511\text{MeV}$), a numărului de electroni (pozitroni) $N(W)$ emisi în intervalul energetic dW este:

$$N(W)dW = K' F(Z, W) p W (W_0 - W)^2 dW \cdot S_n(W) \quad (4)$$

în care:

$$p = (W^2 - 1)^{1/2} \text{ este impulsul radiatiilor } \beta^\pm$$

- $W_0 = E_0 + 1$ – energia maximă totală a radiațiilor β^\pm
- K' – o constantă independentă de succesiune
- $p W (W_0 - W)^2 dW$ – reprezintă esențială "probabilitatea radiativă"
- $F(Z, W)$ – este factorul coulombian sau "faza" Fonda
- $S_n(W)$ – este coefficientul de "forță" pentru spectrul interzis; pentru cele permise este $= 1$



astfel ejetate și cu energie E_0 definită de relația:

$$\underline{E_0 = E_x - E_B} \quad (9)$$

în care:

E_x – este energia de tranziție "disponibilă"

E_B – este energia de legătură a electronului pe orbita de pe care a fost ejetat.

In fig.2 este prezentat spectrul electronilor de conversie pentru ^{207}Bi în urma capturii electronului (E.C.).

Spectrul din fig.2 se explică ușor dacă avem în vedere schema de dezintegrare prezentată în aceeași figură și faptul că energia de legătură E_B pentru pătura K a ^{207}Bi este de 90 KeV iar pentru pătura L este de 16 KeV. Într-adevăr, nivelul de 1,634 MeV, populat prin EC în proporție de 92%, are energie "disponibilă" de tranziție de 1,064 MeV. Conform relației (9) rezultă că vom avea electroni de conversie de 1,048 MeV și 974 KeV. Următoarea energie "disponibilă" este de 570 KeV care generează electroni de conversie de 554 KeV și 480 KeV. Aceste valori au fost folosite pentru trasarea curbei de calibrare, reprezentate tot în fig.2, scara energetică fiind în dreapta.

Evident electronii de conversie de 1,048 MeV și 974 KeV au fost emisi în "concurrentă" cu cuantele gamma de 1,064 MeV. Același lucru este valabil și pentru celalaltă grupă de electroni de conversie și cuantelor de 570 keV. Cu alte cuvinte, probabilitatea dedezexcitare a nivelului de 1,634 MeV este dată de relația:

$$\lambda = \lambda_r + \lambda_c \quad (10)$$

λ_r – este probabilitatea de emisie a cuantelor γ în unitatea de timp.

λ_c – este probabilitatea de emisie a electronilor de conversie în unitatea de timp.

Raportul

$$\alpha = \frac{\lambda_c}{\lambda_r} \quad (11)$$

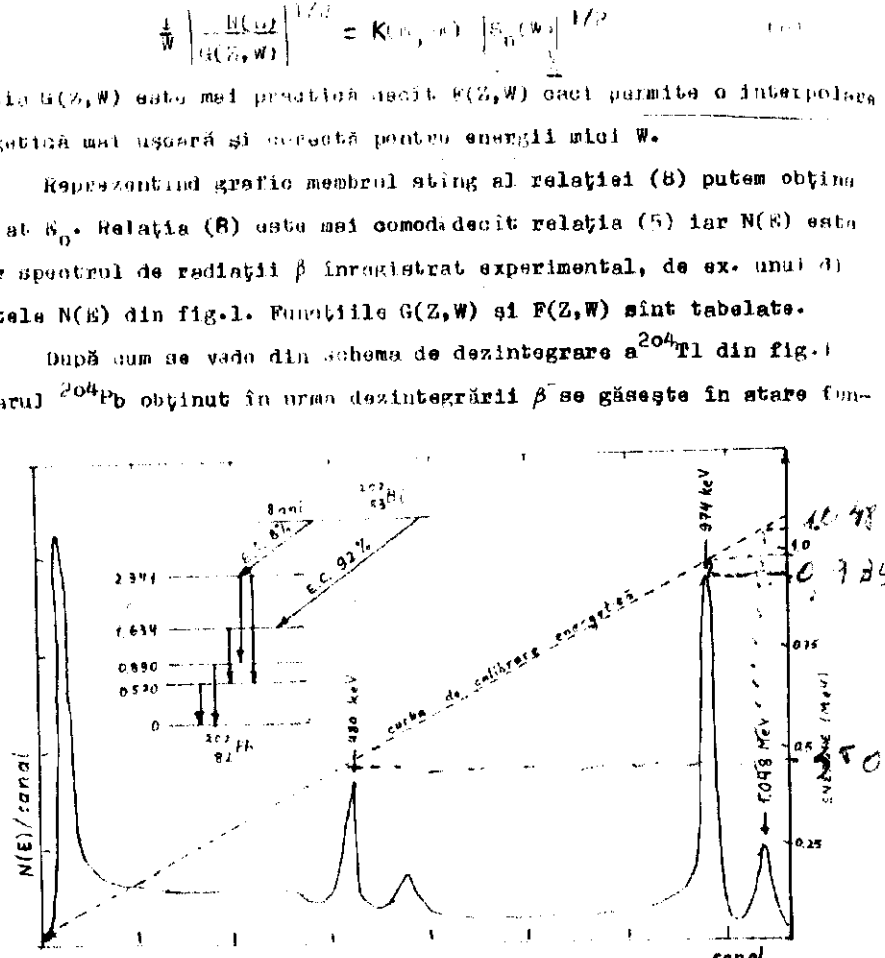


Fig.2 - Spectrul electronilor de conversie pentru ^{207}Bi

damentelă. De regulă însă izobarul $\Delta Z = \pm 1$ rezultați în urma procesului de dezintegrare, se găsesc în stări exitate. Dezexcitarea lor se poate face fie prin emisie de cuante γ , fie prin conversie internă. În procesul de conversie internă, energia de excitație "disponibilă" a izobarilor este transferată electronilor de pe orbitalele elecتروnice care vor fi

Se calculează coeficientul de conversie și astfel determinarea experimentală a unei foarte importanțe în cunoașterea proprietăților spectroscopice ale nivelaor nucleare. Aceasta poate fi scrisă ca suma probabilităților de emisie de pe părțile K, L, M etc., rezultă că și coeficientul de conversie poate fi scrisă astfel:

$$\alpha = \alpha_K + \alpha_L + \alpha_M + \dots \quad (12)$$

Theoria conversiei interne arată că coeficientul α depinde în esență de următorii parametri:

- energia de tranzitie disponibilă
- Z nucleului
- energiile de legătură ale păturilor K, L etc.
- multipolaritatea (implicată în tranziția respectivă (momentul datorită))
- tipul tranziției respective - electric sau magnetic (funcție de paritățile stăriilor implicate și de ℓ).

Dependența de acești parametri este astfel încit coeficientul de conversie este cu atât mai mare cu cât nucleolele sunt mai grele, cu atât mai mare și energia de tranziție mai mică.

Determinarea experimentală a coeficientului de conversie se poate face în următoarele feluri:

a) compararea directă a intensității I care se determină de regulă din fotoapă, cu numărul electronilor de conversie corespunzător energiei E .

b) compararea numărului electronilor de conversie cu numărul particulelor β emise de sursa respectivă.

c) compararea intensității radiațiilor X ce rezultă în urma electronilor de conversie cu intensitatea radiației gama corespunzătoare.

Varianta b) este foarte comodă, în special în cazul unei scheme simple de dezintegrare. În fig.3 este prezentată o schema ipotecică simplă de dezintegrare β a nucleului A. Se obține izobarul B în stare

excitată B^* care se deosebește în spectrul β și al electronilor de conversie pentru nucleul A ve state ca în fig.3. Într-un astfel de caz

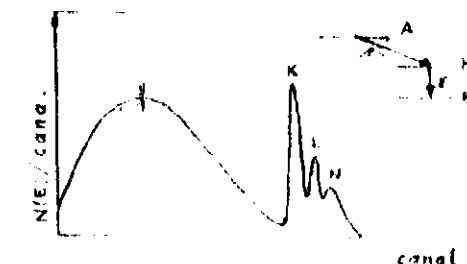


Fig.3

fiecare β emis este însotit de emisie unei cantități I sau a unui electron de conversie. De aceea coeficienții de conversie $\alpha_K, \alpha_L, \dots$ vor fi tot mai raportate dintre "suprafețele" picurilor K, L etc. și suprafața spectrului β (minus suprafața totală a picurilor electronilor de conversie). Metoda poate fi extinsă și pentru schema de dezintegrare mai complicată a ^{137}Cs .

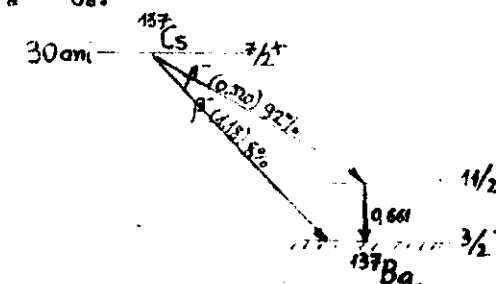


Fig.4

Cum schema de dezintegrare ^{137}Cs este cea din fig.4 rezultă că prin acest procedeu vom putea ușor calcula coeficientul de conversie α pentru acest nucleu.

11.2. Scopul lucrării

- Obținerea spectrului β și al electronilor de conversie pentru ^{137}Cs , cu ajutorul detectorilor cu semiconducțori.

- Determinarea energiei totale maxime a spectrului β emis de ^{137}Cs .

- Determinarea coeficientului de convezie internă α_K și α_L .
- Determinarea energiilor de legătură a electronilor în păturile atomice K și L pentru ^{137}Cs .

11.3. Instalația experimentală

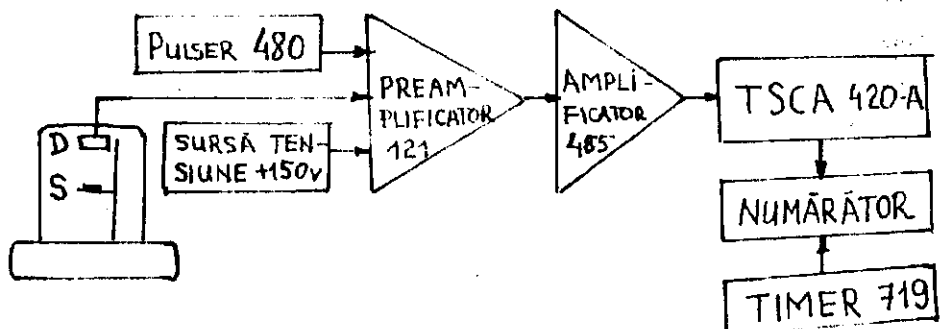


Fig.5

Se montează instalația din fig.5. Pentru module se recomandă următoarele valori pentru:

- 480 - PULSER ieșirea atenuată cu factorul 50, semnal negativ
 - 485-Amp amplificare brută 32 iar cea fină maximă; intrare pozitivă și ieșire bipolară
 - 420-A-TSCA intrare bipolară; mod de lucru diferențial.
- $$\Delta E = 2\sigma/1000, E = 2\sigma/1000$$
- 775-Numărător poziția "count", timp de măsură 200 sec.
 - RA-022-025-1500 se montează detectoarul cu strat barrieră de suprafață în montura specială a camerei de vacuu. ATENȚIUNE a nu se atinge sau tensiunea sub nici o formă stratul de aur al detectoarului. Aceasta duce la DETERIORAREA IMMEDIATA A DETECTOARULUI.
 - Introduceți sursa de ^{137}Cs în camera de vacu.
 - Verificați din nou toate conexiunile. Dacă totul este în

ilogulă cuplați sursa de tensiune. Verificați ca tensiunea de polarizare a detectoarului să fie POZITIVĂ. Dacă ridicăți PULSERUL încet tensiunea de polarizare a detectoarului pînă la 150 V, în acest moment instalația este gata de lucru.

11.4. Modul de lucru și prelucrarea rezultatelor

1. Se deconectează PULSERUL!

2. Se variază pragul E al analizorului monocanal cu 10 diviziuni; fiecare 10 diviziuni, vor fi considerate un canal. Fiecare fiecare poziție a prelungii se determină numărul de pulsuri cu ajutorul numărătorului 775, timp de 20 de secunde în prima parte a spectrului și 200 sec, atunci cind constată că numărul de impulsuri a scăzut sub 200 impulsuri. Se continuă acest procedeu pînă ce viteza de numărare ajunge la fond. În felul acesta s-a obținut spectrul β^- al ^{137}Cs și electronii săi de conversie. Reprezentați grafic spectrul obținut, deci $N(E)$ funcție de canal. Spectrul va semăna cu cel din fig.3.

3. Se socotește cu atenție sursa de ^{137}Cs . Se determină pentru primele 20 de canale (deci 200 de diviziuni) fondul. Se va corecta $N(E)$ obținut la punctul precedent, ținându-se cont de aceste valori. Spectrul $N(E)$ astfel obținut va fi cel folosit în continuare.

4. Se procedează la calibrarea energetică a spectrului. Pentru aceasta se coboară încet tensiunea de pe detectoar pînă la valoarea zero după care sursa de alimentare de înaltă tensiune se deconectează. Se pune PULSERUL în funcțiune. Acesta e calibrat astfel încit 100/1000 diviziuni să corespundă la 100 KeV. Se fixează pulserul la 100/1000 și se variază pragul E al TSCA, deci canalul, pînă ce numărătorul are o viteză maximă. Se notează valoarea canalului. Se variază discul PULSERULUI pînă la 200/1000, se determină din nou pragul (canalul) la care viteză de numărare este maximă. Se repetă operația la poziția 700/1000 a PULSERULUI. Cu valorile obținute la acest punct construți curba de calibrare energetică a spectrului, adică dependența energiei de canal. Trasezi acestă

durata pe care și-a trăit pe date călătorie spectrul ^{137}Cs , se va fi:

b). Determinați energiea electronilor de conversie din spectrul obținut. Stînd schema de dezintegrare a ^{137}Cs din fig. 4, să se determine energiile de ionizare pentru patrulele K și L ale ^{137}Cs .

c). Folosind procedeul b) descris mai sus, determinați coeficienții de conversie.

d). Determinați energia maximă E_0 a spectrului β . Pentru acest lucru se reprezintă grafic membrul stîng al relației (8); se consideră $S_n(W) = 1$. Graficul obținut este o dreaptă. Cât este E_0 ?

Pentru funcția $G(Z,W)$, $Z = 55$, se poate folosi tabelul 1, în care G este calculat direct în funcție de energia cinetică E a electronilor β , sau tabelul 2, în care G este dat în funcție de p . Tabelul 1 este mai comod în utilizare, tabelul 2 permite realizarea unei precizii mai mari a rezultatelor, în special cind spectrul β se determină cu ajutorul spectrografei magnetice. În cazul în care se utilizează tabelul 2, p se determină astfel:

$$W_{\text{tot}} = \frac{E_{\text{kin}}(\text{keV}) + 511(\text{keV})}{511(\text{keV})} \quad (\text{unități } m_0 c^2)$$

$$p = (W_{\text{tot}}^2 - 1)^{1/2}$$

Pentru obținerea graficului Kurie se înregistrează datele conform tabelului:

Nr. canalului	$N(E)$	$E(\text{keV})$	W_{tot}	$G(Z,W)$	$\frac{1}{W} \left[\frac{N(E)}{G(Z,W)} \right]^{1/2}$
0	1	2	3	4	5

Tabelul 1

$E(\text{keV})$	$G(Z,W)$	$E(\text{keV})$	$G(Z,W)$
50	67.54	700	59.50
100	66.14	750	58.35
150	65.29	800	58.55
200	64.43	850	58.20
250	63.71	900	57.87
300	63.08	950	57.58
350	62.53	1000	57.26
400	61.99	1100	56.75
450	61.49	1200	56.18
500	61.00	1300	55.53
550	60.57	1400	55.03
600	60.13	1500	54.55
650	59.72	1600	54.12

Tabelul 2

p	G	p	G
0.0	69.33	2.2	59.14
0.1	69.22	2.4	58.54
0.2	68.91	2.6	57.84
0.3	68.41	2.8	57.18
0.4	67.78	3.0	56.61
0.5	67.12	3.5	55.30
0.6	66.47	4.0	54.15
0.7	65.86	4.5	53.13
0.8	65.29	5.0	52.23
0.9	64.75	6.0	50.67
1.0	64.24	7.0	49.37
1.2	63.26	8.0	48.26

P	G	P	G
1.4	62.35	9.0	47.30
1.6	61.47	10.0	44.40
1.8	60.65	11.0	43.31
2.0	59.87		

Intrebări

1. În urma dezintegrării β^- apar trei corpuși: electronul, antineutrinoul și nucleul de recoil. Explicați de ce practic toată energia de dezexcitare este cedată electronului și antineutrino lui.
2. Folosind tabelele de mase atomice să se verifice valoarea pusă în fig.4 pentru energiile maxime ale electronilor β emisi la tranzițiile de pe nivelul $7/2^+$ al ^{137}Cs pe nivelele $3/2^+$ și $11/2^-$ de ^{137}Ba .
3. Cunoscând spectrul electronilor β (spectrul trasat experimental în lucrare) să se traseze spectrul antineutrino lori. (Indicație: deoarece suma energiilor cinetice a electronului și antineutrino lui într-un act de dezintegrare este E_0)

$$P_\beta(E) = P_e(E_0 - E)$$

4. Care este rezoluția energetică a lanțului spectrometric folosit? Cum ar putea fi îmbunătățită în cazul lucrării de laborator. Dar rezoluția detectorului?
5. Cum funcționează un detector cu semiconduc tori?
6. Care ar fi aproximativ energiile electronilor de conversie obținute cu o sursă de ^{60}Co . Ar putea fi ele rezolvate cu instalația noastră?

Bibliografie

1. K.Siegmann, editor, Alpha-Beta-and gamma ray spectroscopy, Vol.1 și 2 North.Holland Pub.Co, Amsterdam, 1965

2. H.A. Enge - Introduction to nuclear physics, Addison-Wesley, ~relații- 1969.
3. D.N. Poenaru - "Măsurarea radiatiilor nucleare cu dispozitive semi-conductoare", București, Ed. Acad. M&U, 1967
4. Muñoz E. - Fizica nucleară

196

12. MĂSURAREA STĂRILOR DE VIEȚE AL STĂRII
EXCITATE ÎN STĂRILE

1. Introducere

Măsurările de timp de viață a stării nucleare excitate sunt o parte importantă a fizicii nucleare experimentale. Astfel se pot determina parametrii tranzitie, care sunt direct legați de modulul de structură nucleară atât.

Există metode directe de măsurare a timpului de viață cum ar fi

1. măsurarea directă a sării activitatii în funcție de timp (traversarea curbei de dezintegrare), astfel că poate fi și

2. utilizarea analizorului multicanal cu fereastra temporală ($10^{-1} - 10^{-6}$ s).

3. metoda parcursului particulelor ($10^{-10} - 10^{-12}$ s)

4. metoda distribuției parcursurilor nucleelor de recoil ($10^{-12} - 10^{-16}$ s)

5. metoda coincidențelor întârziate ($10^{-4} - 10^{-11}$ s)

Există diferite procedee de a obține stări nucleare excitate. Astfel, în urma reacțiilor nucleare, a dezintegrarilor (α, β, γ), a absorbiției γ etc., se formează de obicei nucleu în stare excitată. Deoarece energia stării excitate E_2 nu depășește energia de separare a unei particule, acesta este posibilă trecerea nucleului în stare fundamentală, sau într-o altă stare excitată E_1 , prin emisie unei cuante gama de energie:

$$\hbar\nu = \Delta E \quad (1)$$

Multipolul cuantei emise (momentul cinetic al particulei) trebuie să satisfacă legile de conservare ale momentului cinetic total și să

paritatei. Experimental acesta se poate determina din studiul corelațiilor unghiulare.

Timpul de înjunghiere sau perioada de tranzitie se notează $T_{1/2}$, iar timpul de viață mediu al stării excitate este definit astfel

$$\tau = \frac{T_{1/2}}{\ln 2} \quad (2)$$

Timpul de viață mediu este legat de largimea nivelului prin relația de incertitudine

$$\tau = \frac{\hbar}{\Gamma} \quad (3)$$

în care Γ este largimea nivelului energetic iar $\hbar = 1.054 \cdot 10^{-34}$ j.s.

Schela de dezintegrare pentru izotopul ^{57}Co este dată în fig.1. Aceasta trece prin captura K a electronului pe nivelul de 136 keV al ^{57}Fe .

^{57}Fe poate ajunge pe nivelul fundamental în două moduri:

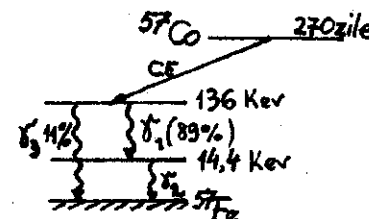


Fig.1

- direct prin emisie unei cuante γ_3 de 136 keV

- prin emisie unei cuante γ_1 de 122 keV, urmată de o desexcitație prin conversie internă sau prin emisie unei cuante γ_2 de 14,4 keV.

Timpul de viață al stării de 14 keV poate fi măsurat prin metoda coincidențelor întârziate, pentru cuantele γ_1 și γ_2 , decareea formărea acestei stări se realizează prin emisie cuantei γ_1 de pe nivelul de 136 keV, iar desexcitația acesteia este determinată de emisie cuantei γ_2 . Măsurarea coincidențelor întârziate între cuantele γ_1 și γ_2 se poate realiza cu o linie de întârzire în lantul de detectie al cuantei γ_1 , conform schemei bloc de principiu din fig.2. Modulul de întârzire permite introducerea unei întâziri reglabile între intrarea și ieșirea semnalului, iar unitatea de coincidență generează semnal de ieșire doar dacă la cele două intrări primește semnale distanțate în timp la mai puțin

de $2\gamma_0$ (timpul de rezoluție). Presupunând instalația experimentată astăzi, probabilitatea temporară (astăzi) incă 2 activități pe calea 2 este:

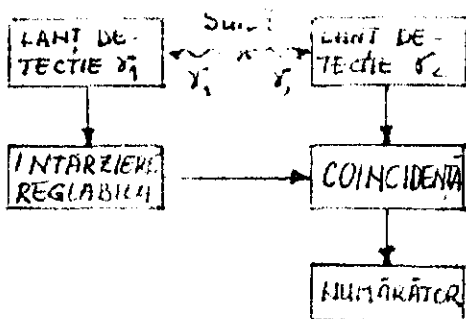
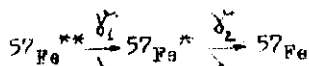


Fig.2

tectori, să dea semnal de coincidență), pentru un timp de întârziere τ fixat la modulul de întârziere de pe calea γ_1 , vor ajunge simultan la intrarea în modulul de coincidență, și deci vor fi numărate, doar acele semnale care provin de la cuantele γ_1 emise cu t înainte de cuantele γ_2 (de fapt, dacă $\tau_0 \neq 0$, vor fi acceptate semnalele γ_1, γ_2 a căror diferență de timp aparține intervalului $[t - \tau_0, t + \tau_0]$). Aceste semnale corespund situației în care nucleul care a emis γ_1, γ_2 a existat un timp t în stare excitată de 14 keV. Deci distribuția numărului de coincidențe în funcție de t reprezintă de fapt distribuția numărului de stări excitate al căror timp de viață individual a fost t , în funcție de t .

Să se calculeze numărul de coincidențe întârziate. Dezintegrarea este următoarea:



unde constantele de dezintegrare există relația $\lambda_1 = \lambda_2 = \lambda$

Probabilitatea ca nucleul $^{57}\text{Fe}^{**}$ să nu sedezexece în timpul t de la formarea sa (adică să nu emite γ_1) este $e^{-\lambda_1 t}$.

în intervalul $(t, t+\Delta t)$ este:

$$P(t)\Delta t = e^{-\lambda t} \lambda \Delta t \quad (4)$$

Deci probabilitatea ca între emisia cuantei γ_1 și a cuantei γ_2 să existe un interval de timp t este dată de relația de mai sus. Atunci numărul de coincidențe obținut pentru o întârziere t a semnalului pe calea 1 este

$$N_a^0(t) \sim \int_{t-\tau_0}^{t+\tau_0} \lambda e^{-\lambda t'} dt' = e^{-\lambda t} \left[e^{\lambda \tau_0} - e^{-\lambda \tau_0} \right] = \text{const. } e^{-\lambda t} \cdot \sinh \lambda \tau_0 \quad (5)$$

Se poate astfel construi graficul

$$\ln N_a^0(t) = \ln a - \lambda t \quad (6)$$

și determină timpul de înjumătățire și timpul mediu de viață din relațiile:

$$T_{1/2} = \frac{\ln 2}{\lambda} \quad | \quad \lambda = \frac{1}{T} \quad (7)$$

Observație: Dacă pe calea γ_2 s-ar introduce o întârziere t , atunci pentru $t > \tau_0$ nu se ar obține nici-o coincidență deoarece nu există cuantă γ_2 emisă înaintea cuantei γ_1 . Micșorind t , pentru valori $t < \tau_0$ se ar obține un număr cresător de coincidențe care atinge un maxim și apoi scade. Această variație a numărului de coincidențe cu timpul (numită curba promptă, spre deosebire de variația dată în (5), numită curba întârziată), permite determinarea timpului de rezoluție efectiv al schemei de coincidență.

12.2. Scopul lucrării

In această lucrare se vor folosi pentru comparație metoda de determinare a timpului de viață prin măsurarea directă a activității în funcție de timp și metoda coincidențelor întârziate. Prin prima metodă se vor determina timpii de înjumătățire ai isotopilor ^{28}Al , ^{108}Ag și ^{110}Ag . Se va determina apoi timpul de viață al stării excitate de 14 keV a isotopului ^{57}Fe , prin metoda coincidențelor întârziate $T - \gamma$.

12.3. Aparatura utilizata.

Se folosesc 2 lanțuri și spectrometru și o schema de curbe de înțirziere, conținând:

- 2 sonda (SD) din scintilator de NaI(Tl), dintre care una este un detector prevăzut cu ferestra subțire (pentru măsurarea radiațiilor β de energie mică sau a radiațiilor γ).

- 2 amplificatoare 1113 (A)

- 2 analizoare monocanal de timp TSCA 488 (TG)

- un modul de înțirziere GATE & DELAY GENERATOR 416 A (GDG)

- un modul de coincidență rapidă FAST COINCIDENCE 414 A (C)

- un numărător SCALER, N.N. (N)

- o unitate de timp, cronometru electronic TIMER 1052 (TR)

12.4. Modul de lucru și prelucrarea rezultatelor

A. Măsurarea timpilor de înjumătărire mari prin metoda curbelor de dezintegrare.

Informațiile privind efectuarea acestei lucrări se găsesc în referatul "Determinarea timpului de înjumătărire al radionuclizilor din curhela de dezintegrare". În lucrarea de față se vor utiliza un scintilator de NaI(Tl) (în locul contorului Geiger Muller sau al scintilatorului plastic, pentru radiația β , recomandate în referatul amintit). Montajul experimental (fig.5) realizează un lanț spectrometric care este utilizat și în partea a II-a a lucrării.

Modul de lucru și prelucrarea datelor se fac în conformitate cu referatul citat.

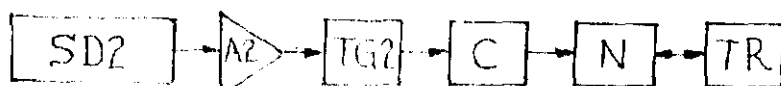


Fig.3 - A2 (Coarse gain: minim, Fine gain: maxim);
TG2 (B: 2, lo v; ΔE : 2, mod de lucru: INTERNAL)

B. Măsurarea timpilor de înjumătărire mici prin metoda coincidențelor intinzate.

a) Se montează blocurile electronice ca în fig.4.

Pe calea 1 se va detecta radiația γ_1 , $E_{\gamma_1} = 122$ keV. Se utilizează un detector de NaI(Tl).

Semnalul dat de fotomultiplicator preamplificat și apoi amplificat de formă bipolară, intră în modulul TIMING SCA 488 (TG). Acesta are un prag și o fereastră reglabile și în caz că semnalul de la intrare îndeplinește condițiile de prag și fereastră, modulul TG produce la ieșire un semnal logic pozitiv, la un interval de timp bine definit față de semnalul de intrare. În continuare, semnalul intră în modulul de înțirziere (GDG) (GATE and DELAY GENERATOR 416 A) unde e întinzat un timp definit și apoi în unitatea de coincidență C (414 A FAST COINCIDENCE), pe calea A.

Pe calea 2 se va detecta radiația γ_2 , $E_{\gamma_2} = 14$ keV, cu un detector subțire de NaI(Tl). Lanțul de măsură e similar celui de pe calea 1. Pentru echilibrarea temporală a montajului se poate utiliza o înțirziere reglabilă în domeniul [0,1 - 1,1 μ s] disponibilă la modulul TSCA 488. Semnalul dat de acest modul se introduce pe calea B a unității de coincidență 414 A.

Impulsurile date de unitatea de coincidență sunt numărate cu ajutorul unui SCALER, N, comandat de o unitate de timp TR(TIMER 1052).

b) Se alimentează modulele celor două lanțuri și se începe reglarea schemei de coincidență (se execută numai după indicațiile instrumenterului).

Se pune sursa de ^{57}Co , între cele 2 detectori. Se face numărarea pe calea 1 punind comutatorul A al modulului 414 A pe poziția IN, iar celelalte pe poziția OUT. Se ridică spectrul sursei cu analizoarea monocanal TSCA 488 și se regleză astfel amplificările (vezi fig.4) ca picul de 122 keV să corespundă pragului $E_1 = 2,18$ V și unei ferestre $\Delta E_1 = 6$ V

Se face numărătoarea pe calea 2 (comutatorul B al modulului 414 A pe poziția IN, celălalt pe poziția OUT). Se redică spectrul și se reglează amplificările astfel ca picul de 14 keV să corespundă unor valori E_1 , ΔE_1 apropiate de valorile E_1 și ΔE_1 ($E_2 = 2.10\text{v}$, $\Delta E_2 = 7\text{v}$ pentru amplificările COARSE GAIN = 8 FINE GAIN = MAXIM).

Pentru echilibrarea temporală a schemei de coincidență se utilizează modulul 480 PULSE GENERATOR; se reglează amplitudinea și atenuarea semnalului astfel încât amplitudinea semnalului direct introdus în amplificatorul de pe calea 1 să corespundă ferestrei E_1 , $E_1 + \Delta E_1$, iar semnalul atenuat, introdus în amplificatorul de pe calea 2, să corespundă ferestrei E_2 , $E_2 + \Delta E_2$. Semnalul de la generatorul de pulsuri se introduce la intrarea INV a amplificatoarelor corespunzătoare după decuplarea detectorilor. Se numără coincidențele (comutatoarele A și B pe IN; C și D pe OUT la modulul de coincidență) în funcție de timpul de intîrziere introdus de modulul 416 A. Spectrul de coincidențe obținut permite echilibrarea temporală a schemei (determinarea zeroului de timp) și a timpului de rezoluție τ_0 ($\tau_0 = 40\text{ns}$). Fixarea unei intîrzieri de 300 ns pe calea γ_2 prin intermediul modulului TSCA 488 permite echilibrarea schemei la valori ale intîrzierilor la modulul 416 A astfel încât este posibilă investigarea atât a curbei intîrziate cât și a curbei prompte.

Se scoate din circuit modulul 480 PULSE GENERATOR, seouplează detectorii.

c) Condițiile de lucru fiind fixate, se trage la determinarea proprietății a timpului de înjumătățire.

Se determină numărul de coincidențe $R_a^0(t)$ pentru un timp de măsurare de cel puțin 100 s. Se măsoară acest număr pentru valori t ale intîrzierii introduse la modulul 416 A crescând din 20 în 20 ns, începând de la 100 ns.

Pentru a obține numărul de coincidențe adevărate $R_a^0(t)$ din valoarele măsurate $R_{tot}^0(t)$ se vor adăuga coincidențele întimplătoare R_{int}^0 .

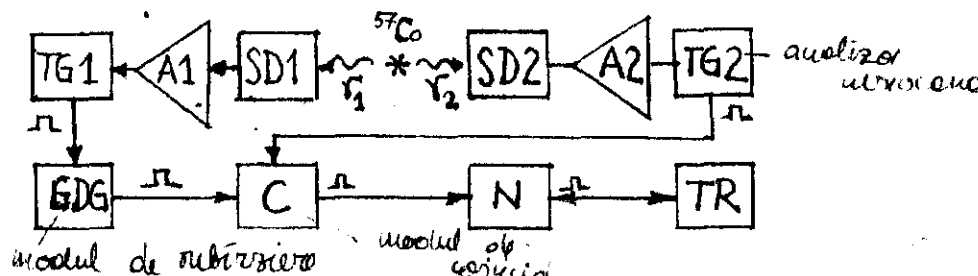


Fig.4 - Calea 1: SD1 = sondă de detectie cu preamplificator pentru γ_1 ; Al amplificator (coarse gain 2; fine gain: 5,85; restorer: H1; IN : NON INV; out: BIPOAR); TG1 analizor monocanal de timp ($E:2,18$; $\Delta E:6$; delay: minim; mod de lucru: diff); GDG (mod de lucru: 1,1/s).

Calea 2: sondă de detectie, cu preamplificator pentru γ_2 ; A2 (coarse gain: 8; fine gain: maxim; restorer: H2; IN : NON INV; out: BIPOAR); TG2 ($E:2,10$; $\Delta E:7$; delay: 300 ns; mod de lucru: diff).

Acestea se pot determina în două moduri:

1. introducind o intîrziere mare într-unul din canale
 $R_{int}^0 \approx R_{tot}^0(\infty)$

2. folosind formula $R_{int}^0 = 2 \tau_0 R_1 R_2$ unde $R_1 R_2$ sunt viteze de numărare individuale pe cele 2 căi.

Astfel:

$$R_a^0(t) = R_{tot}^0(t) - R_{int}^0 \quad (8)$$

Se reprezintă grafic $\ln R_a^0(t)$ și se pun în evidență curba promptă (rapidă) și curba intîrziată.

Folosind datele de pe curba intîrziată se determină prin metoda celor mai mici pătrate timpul de viață și eroarea acestuia pentru nivoul excitat de 14 keV al ^{57}Fe :

$$\ln R_a^0(t) = a - \lambda t \quad \tau = \frac{1}{\lambda} \quad (9)$$

5. Intrebări

1. În spectrul cuantelor emise de sursa de ^{57}Co pe calea 2 (scintilator cu fereastră subțire), sunt și radiatiile X. Care este mecanismul lor de apariție și ce energie au.

2. Să se găsească largimea stărilor excitate ale ^{57}Fe (Fig.1) dacă se ia pentru nivelul $5/2^+$, $\gamma(5/2) = 0.9 \cdot 10^{-3}$ și pentru nivelul $3/2^-$ valoarea găsită în laborator. Să se arate că nu este posibilă absorția rezonantă a cuantelor γ obținute prin dezintegrarea acestor stări de către nucleul în repaus de ^{57}Fe .

3. Din porțiunea cresătoare a graficului $\ln R_p^0 / t$ (curba promptă) să se determine timpul de rezolvare al schemei de coincidență.

25

13. SPECTROMETRIE MOSSBAUER

13.1. Principiul lucrării.

Până treceea unui nucleu dintr-o stare excitată în ea fundamentală se emite o cantitate γ de energie E_γ . În cazul în care nucleul aparține unui atom liber care se află în repaus înaintea desexcitatii, energia cuantei va fi:

$$E_\gamma = E_0 - R \quad (1)$$

în care E_0 este diferența dintre energia nivelului excitat și cel fundamental, iar R este energia de recoil cedată nucleului în momentul tranzitiei cuantei γ . Din legea de conservare a impulsului și energiei se determină ușor valoarea lui R :

$$R = \frac{p_N^2}{2M} = \frac{p_\gamma^2}{2M} = \frac{E_\gamma^2}{2Me^2} \approx \frac{E_0^2}{2Me^2} \quad (2)$$

în care $p_N = -p_\gamma$ sunt impulsul nucleului și al cuantei γ , M este masa nucleului, iar e este viteză luminii.

Pentru excitarea unor nucleu similari aflată în repaus, din cauză recoilul suferit de nucleu la excitare, este nevoie de o energie $E'_\gamma = E_0 + R$ (fig.1)

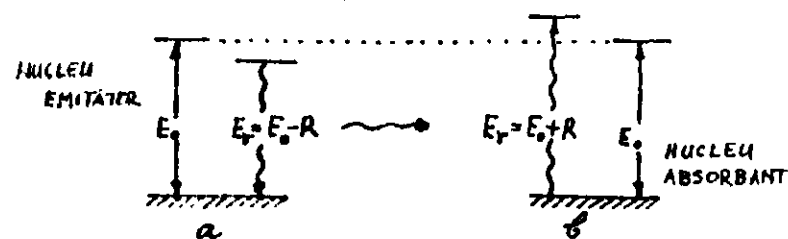


FIG.1 - Tranzitia nucleară în sură a) și în absorbant b)

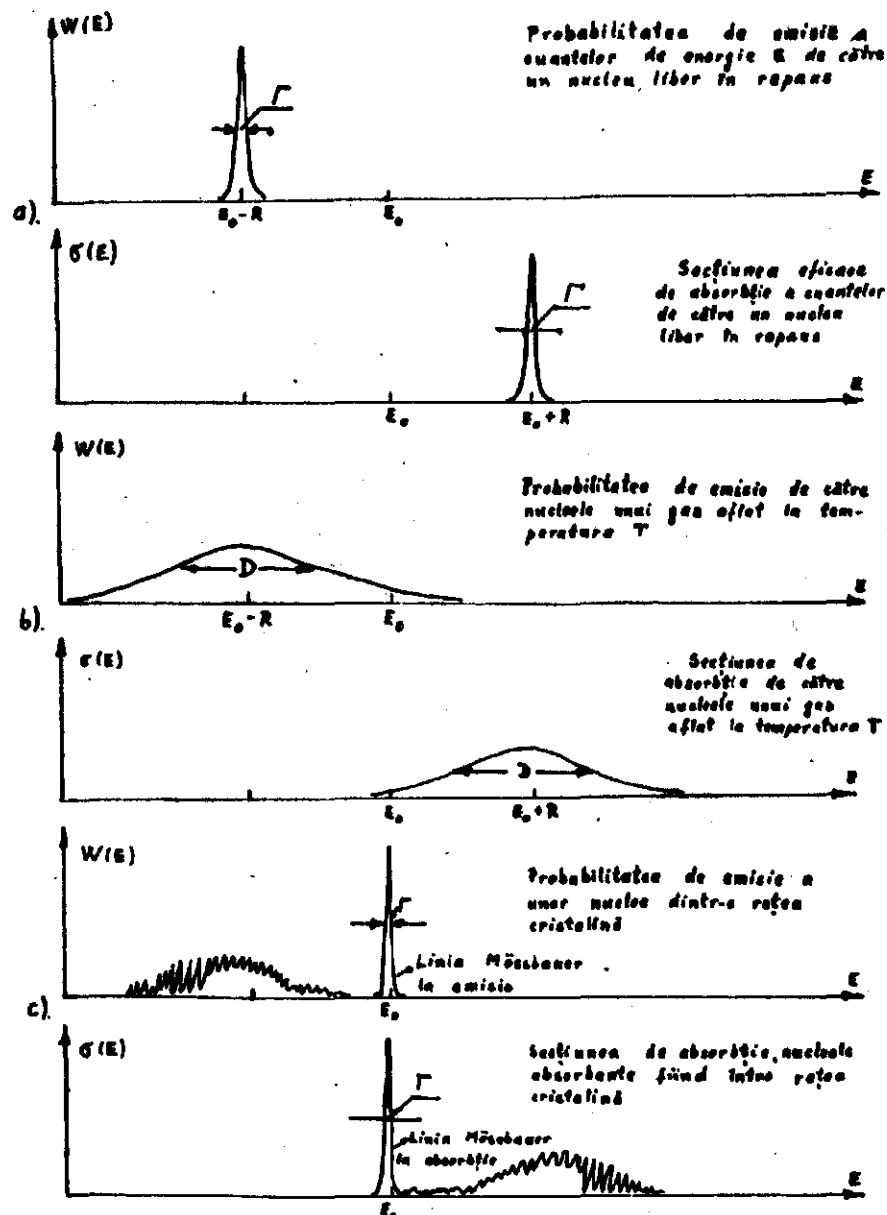


Fig.2

In fig.2 sunt prezentate dependența de energie a probabilităților $W(E)$ de emisie a quantelor și a secțiunilor efice de absorbtie a lor pentru cazurile în care nucleul emițător este a) liber și în repaus; b) într-un gaz la temperatură T ; c) într-o rețea cristalină în care apare linia Mössbauer nedeplasată. Lărgimea naturală a nivelului nuclear este dată de timpul mediu de viață al stării excitate nucleare și se determină din relația de incertitudine

$$\Delta E \cdot \Delta t = \frac{\hbar}{2}$$

pe care, mediind-o obținem:

$$\Gamma \cdot \tau = \frac{\hbar}{2} \quad (3)$$

Lărgimea spectrelor de emisie $W(E)$ și $\sigma(E)$ de absorbtie în cauză existenței mișcării termice la temperatură T , este mărită de deplasarea Doppler și ia valori D pentru care avem relația aproximativă:

$$D \approx \frac{E_0}{T} \sqrt{\frac{3kT}{\Gamma}} \approx \frac{E_0 V}{T} /$$

Observăm în general $\Gamma < D < 2R$, ceea ce face ca quantele emise în aceste condiții, să nu fie capabile să excite un nivel similar.

Însă, în cazul în care nucleul este legat într-o rețea cristalină, la emisia (și absorbtia quantelor γ), cu o probabilitate $\{$, impulsul de recul va fi preluat nu numai de nucleul respectiv, ci de întreaga rețea cristalină. Aceasta face ca energia de recul să fie proporțională zero (prin mărire cu mai multe ordine de mărime a masei M , care prezintă impulsul).

~~Efectul Mössbauer constă tocmai în emisie și absorbtia quantelor γ fără pierdere de energie prin recul. Din punct de vedere cuantic acesta se explică prin faptul că prin transiția γ există o probabilitate ca starea retetei să nu se schimbe (să nu fie absorbiți sau emisiuni acustici). Din conservarea energiei sistemului format din rețea și quanta γ rezultă:~~

$$E_0 + E_{\text{rec}} = E'_\gamma + E'_{\text{rec}} \quad (4)$$

Deducem că în cazul neschimbării energiei rețelei $E_n = E'_n$, energia emisiei E'_r va fi exact egală cu energia de tranziție E_0 .

Probabilitatea f de emisie fără recul este dată de formula aproximativă

$$f = e^{-\frac{3R}{4k\Theta}} \quad (5)$$

la temperaturi $T \ll \Theta$, în care Θ este temperatura Debye iar k constanta lui Boltzmann.

Temperatura Debye $\Theta = 200^{\circ}\text{K} - 1000^{\circ}\text{K}$, este mai mare pentru materialele dure.

Temperatura Debye este legată de frecvența maximă de vibrație a rețelei C_{\max} prin relația: $\Theta = \omega_{\max} \frac{k}{e}$

Punerea în evidență și măsurarea efectului Mössbauer se face măsurând intensitatea cuantelor γ transmise printr-un absorbant în funcție de viteza relativă a sursei (fig.3).

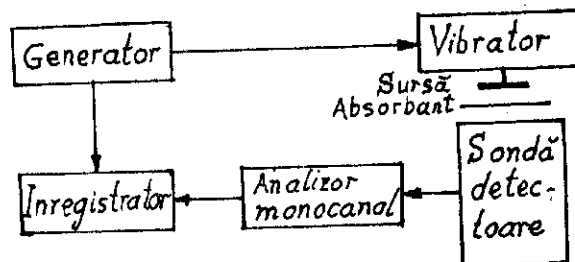


Fig.3 - Schema de principiu a unui spectrometru Mössbauer

Sursa, mișcându-se cu viteza v , va provoca deplasarea spectrului de emisie față de cel de absorbție cu energia Doppler,

$$\delta E = \frac{v \cdot E_0}{c} \quad (6)$$

și în felul acesta cele două liniile Mössbauer vor fi mai puțin suprapuse și absorbția de rezonanță în absorbant se va realiza într-o măsură mai mică. Înregistratorul, care poate fi un analizor multicanal, este sincronizat cu generatorul care determină viteza sursei, în așa fel încât fie-

cărui canal să-i corespundă un interval constant de viteze a sursei. În cazul în care sursa și absorbantul au aceeași compoziție chimică, sunt la aceeași temperatură și nivelul nuclear nu prezintă o despolarizare hiperfinată, spectrul Mössbauer va arăta ca în fig.4:

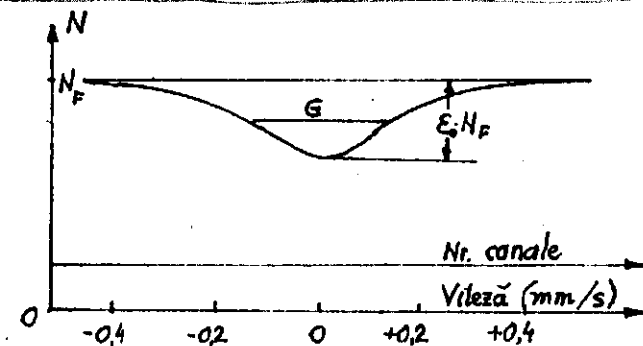


Fig.4 - Spectrul Mössbauer în absența despolarizărilor hiperfine, N -numărul de cuante care au trecut prin absorbantul rezonant.

Notind cu $N(v)$ numărul de cuante care au trecut prin absorbant pentru viteza relativă sursei absorbant v și cu N_F același număr corespondător fondului, presupus constant (obținut pentru viteze v suficient de departe de rezonanță), se definește mărimea $\xi(v)$ a efectului de absorbție rezonantă prin relația

$$\xi(v) = \frac{N_F - N(v)}{N_F} \quad (7)$$

Cu ajutorul acestei mărimi, spectrul Mössbauer cu o singură rezonanță poate fi descris prin următoarea formulă analitică:

$$\xi(v) = \frac{\xi(0) \cdot \frac{G^2}{4}}{(v-v_0)^2 + \frac{G^2}{4}} \quad (8)$$

Rezonanța de absorbție Mössbauer are deci o formă Lorentz, concentrată pe viteză v_0 ($v_0 = 0$ în cazul din fig.4), de amplitudine $\xi(0)$ și

Lărgimea G la semiinălțime. Cei trei parametri ai spectrului depind de absorbant după cum urmează:

$$\Sigma(\omega) = \frac{f \cdot t_a}{2} \quad (9)$$

pentru

$$t_a = a \cdot f \cdot \sigma_0 \cdot N \ll 1 \quad (10)$$

în care t_a este grosimea efectivă (rezonantă), a este abundența izotopului studiat în compoziția naturală a elementului, N este numărul de nuclei al elementului studiat pe unitatea de suprafață a absorbantului, σ_0 este secțiunea eficace a absorbției rezonante.

$$\sigma_0 = \frac{2 I_e + 1}{2 I_f + 1} \cdot \frac{\lambda^2}{2\pi(1+\alpha)} \quad (11)$$

în care I_e și I_f sunt spinii stăriilor excitată și respectiv fundamentale, λ este lungimea de undă a cuantei γ iar α este coeficientul de converție internă a tranzitiei γ (raportul dintre probabilitatea ca dezexcitația să se facă prin emisie unui electron de conversie și probabilitatea ca dezexcitația să se facă prin emisie unei cuante γ).

Lărgimea G pentru absorbanți de grosime rezonantă mică este egală cu

$$G > \frac{U}{E_0} \cdot 2\Gamma \quad (12)$$

Interacția hiperfină

Numărul de rezonanțe și poziția lor într-un spectru Mössbauer depinde de interacția hiperfină între nucleu și cimpurile electrice și magnetice create de sarcinile electrice care-l înconjură. Interacțiile care determină deplasarea sau despăcarea nivelului nuclear în absorbantul studiat sunt: deplasarea izomeră, interacția quadrupolară și interacția magnetică.

Deplasarea izomeră este rezultatul interacției coulombiene între sarcina nucleară, distribuită într-o sferă de rază R și sarcina electronilor aflați în interiorul acestei sfere. Astfel, din cauza variației

razei nucleare $\Delta R = R_s - R_f$ între starea excitată și cea fundamentală (variație care depinde de faptul că nucleul se află în rețeaua sursei sau a absorbantului) și a variației densității electronilor S în absorbant și în sursă, $|\Psi_a(\omega)|^2 - |\Psi_s(\omega)|^2$ (variație care este independentă de starea excitată sau fundamentală a nucleului), apar diferențe între interacțiile coulombiene din starea excitată, respectiv fundamentală, în sursă și absorbant, diferențe care în spectrul Mössbauer se manifestă printr-o deplasare energetică δE_{iz} .

$$\delta E_{iz} = \frac{1}{2} \frac{ze^2}{\epsilon_0} (|\Psi_a(\omega)|^2 - |\Psi_s(\omega)|^2) R_f \delta R \quad (13)$$

Interacția quadrupolară este interacția dintre momentul quadrupolar electric Q al nucleului și gradientul de cimp electric la nucleu U_{zz} . Ca urmare, are loc o deplasare a energiei nivelelor nucleare cu valoarea:

$$\delta E_Q = \frac{eQU_{zz}}{4I(2I-1)} \left[3m^2 - I(I+1) \right] \left(\frac{1}{2} \cos^2 \theta - \frac{1}{2} \right) \quad (14)$$

în care I este spinul nivelului nuclear, m proiecția lui I pe direcția Oz, iar factorul dependent de $\cos \theta$ apare numai în cazul existenței cimpului magnetic H intern, θ fiind unghiul dintre H și direcția principală a tensorului gradientului de cimp electric. În cazul ^{57}Fe (fig.5) pentru nivelul fundamental cu spinul $1/2, Q=0$ și deci $\delta E_Q = 0$. În schimb

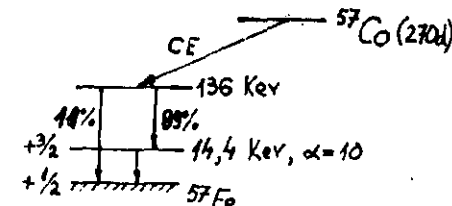


Fig.5 - Schema de dezintegrare a ^{57}Co nivelul excitat cu spinul $I_e = 3/2$ având $Q \neq 0$ se va despăca în două nivele: pentru $m = \pm 3/2$ mărinindu-și energia, iar pentru $m = \pm 1/2$ măș-

rindu-și energia cu aceeași cantitate. Interacțiile magnetice se realizează între momentul dipolar magnetic al nucleului și inducția magnetică B la nucleu, provocând o deplasare energetică a stăriilor nucleare.

$$\delta E_m = -mg\mu_N B \quad (15)$$

în care g este factorul giromagnetic nuclear iar μ_N este magnetonul nuclear.

Ce urmare a interacțiilor hiperfine apare deci o deplasare energetică totală $\delta E = \delta E_{iz} + \delta E_Q + \delta E_m$, care în spectrul Mössbauer provoacă deplasarea rezonanțelor cu valoarea

$$\delta v = \frac{c}{E_0} \cdot \delta E \quad (16)$$

In fig.6 sint ilustrate deplasările datorate interacțiilor hiperfine

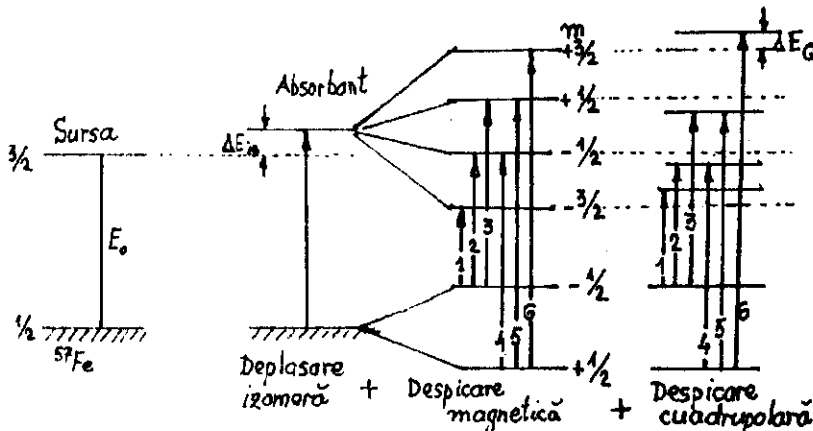


Fig.6

analizate. Din cele 8 combinații între cele 4 stări ale nivelului excitat și cele două stări ale nivelului fundamental sunt admise numai 6 tranziții corespunzătoare (fig.7) unor variații $\Delta m = 0, \pm 1$

În consecință vor exista 6 rezonanțe pentru următoarele viteze:

$$\begin{aligned} v_1 &= \delta v_{1s} - (g_e + g_f) + \delta v_Q \\ v_2 &= \delta v_{1s} - (g_e + g_f) - \delta v_Q \\ v_3 &= \delta v_{1s} - (g_f - g_e) - \delta v_Q \\ v_4 &= \delta v_{1s} + (g_f - g_e) - \delta v_Q \\ v_5 &= \delta v_{1s} + (g_e + g_f) - \delta v_Q \\ v_6 &= \delta v_{1s} + (3g_e + g_f) + \delta v_Q \end{aligned} \quad (17)$$

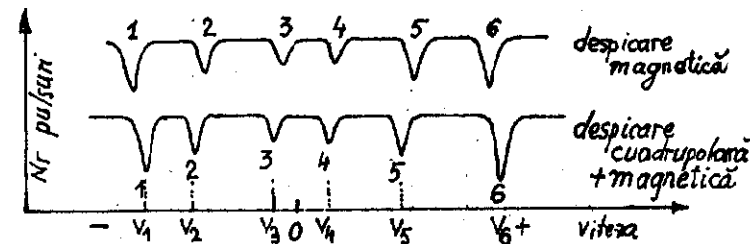


Fig.7

$$\text{In care } \left\{ \begin{array}{l} g_f = \frac{1}{2} \cdot g_e \cdot B \cdot \mu_N \cdot c / E_0 \\ g_e = \frac{1}{2} \cdot g_f \cdot B \cdot \mu_N \cdot c / E_0 \end{array} \right. \text{ sau } g_f > 0, g_e < 0 \text{ și } \frac{|g_e|}{g_f} < 1 \text{ ceea ce}$$

justifică ordinea valorilor lui m în despărțirea magnetică.

13.2. Obiectul lucrării

Însuşirea metodologiei de lucru în spectrometria Mössbauer.

Determinarea parametrilor interacției hiperfine nucleare: momentele magnetice ale stăriilor fundamentale și excitate, momentul quadrupolar electric al stării nucleare excitate și deplasarea izomeră a ^{57}Fe din spectrul Mössbauer al compusului Fe_2O_3 .

13.3. Aparate și materiale necesare

- Spectrometru Mössbauer și spectrometru γ de scintilație
- Sursă radioactivă de Co^{57} și absorbant de Fe_2O_3 (50mg/cm^2)

13.4. Modul de lucru

13.4.1. Descrierea spectrometrului

In fig.8 este ilustrată schema de principiu a spectrometrului Mössbauer utilizat.

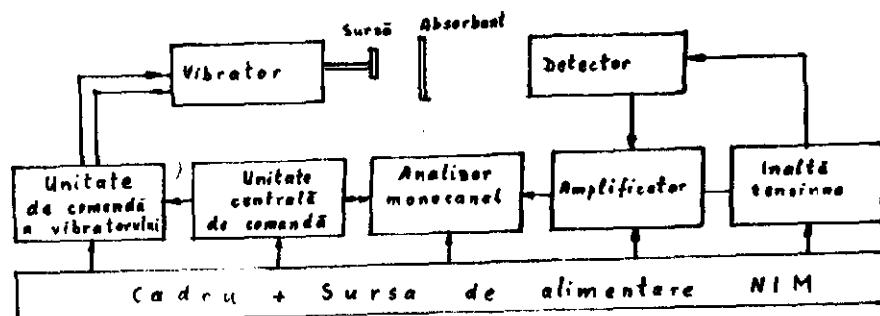


Fig.8 - Schema bloc a spectrometrului

Viteza relativă între surșă și absorbant, necesară variației energiei sursei și prin efect Doppler, este creată de un vibrator alimentat de o unitate de comandă. Unitatea centrală de comandă furnizează un semnal dreptunghiular U_0 , care are două funcții: obligă vibratorul să posede o viteză de această formă și deschide poarta de numărare a impulsurilor venite de la sistemul de detectie și analiză a quanticelor care au trecut prin absorbantul rezonant.

Domeniul maxim de viteze analizabil este împărțit în 256 trepte de viteză, fiecare treaptă corespunzând deci unei viteză precise. Vitezele pot fi pozitive sau negative, în funcție de sensul de mișcare al sursei față de absorbant. Dacă nu este necesară investigarea spectrului pe tot domeniul de viteze analizabil, ci doar pe un interval restrință (realizind în acest fel o micșorare a duratei măsurătorilor), este necesar să se precizeze viteză inițială de la care să înceapă analiza (fixând numărul treptei de viteză corespunzătoare cu ajutorul comutatorului decadic cu trei rosete VELOCITY PRESELECTOR) precum și mărimea

intervalului de interes (deci numărul de trepte de viteze consecutive care acoperă acest interval, începînd cu viteză inițială, număr care se stabilește cu ajutorul comutatorului NUMBER OF STEPS). Suma dintre numărul treptei corespunzătoare vitezei inițiale și numărul treptelor consecutive, fixat cu comutatorul NUMBER OF STEPS, nu trebuie să depășească 256.

În afara acestor 2 comutări, pe panoul principal al aparatului mai sunt următoarele comenzi principale:

POLARITY – stabilește semnul + sau - al vibratorului, deci semnul vitezei.

START/STOP – conectează tensiunea U_0 de comandă a formei vitezăi. Pentru a efectua orice modificare a parametrilor stabiliți cu cele 3 comutări anterioare este necesar ca acest comutator să fie adus mai întîi pe poziția STOP.

COUNTER DISPLAY – afișaj electronic pentru cifrele de ordin superioare ale numărului decadic al impulsurilor provenite de la analizorul monicanal. Cifra citită se înmulțește cu 100.

- pe poziția OFF, afișarea se face pe tot timpul numărării, iar indicația finală este reținută timp de 2 secunde pentru a putea fi înregistrată.

- pe poziția ON - pe afișaj rămîne indicația anterioară, care se menține pînă la sfîrșitul înregistrării în curs, după care se afișează nouă înregistrare.

ACQUISITION TIME – prestabilește durata efectivă a înregistrării.

COUNT START – declanșează funcționarea număratorelor și a cronometrului pe prima treaptă de viteză, după care comutarea pe treptele următoare de viteză se face automat.

13.4.2. Modul de lucru.

1. Se verifică poziționarea următoare a butoanelor:

LA TRANSDUCER DRIVING UNIT:

TRANSDUCER ON, Velocity Amplitude 7,40

La SCA: WINDOW 1,0 volți LOWER LEVEL 0,20 volți.

La amplificator: COARSE GAIN 1; FINE GAIN 7,0

La HV POWER SUPPLY - OUTPUT VOLTAGE 0 și HIGH VOLTAGE OFF

2. Se conectează tensiunea de rețea, POWER ON - HIGH VOLTAGE ON și crește tensiunea aplicată pe sonda detectoare OUTPUT VOLTAGE 3,7 + 700 V. La întreruperea instalației operațiile vor fi efectuate în sens invers.

3. Se constată existența sursei pe vibrator. Se stabilește distanța optimă dintre sursă și absorbant, astfel încât la intensitatea cît mai mare de numărare picul liniei de 14,4 keV să nu fie prea deformat.

4. Utilizând sursa de ^{57}Co , care emite o linie γ nedespicate (interacțiile quadrupolare și magnetice lipsesc), se măsoară spectrul Mössbauer la trei probe: I-Otel inoxidabil care prezintă o singură rezonanță de absorbție în intervalul de canale $[-0, -15]$

II. Nitroprusiat de natriu care prezintă două rezonanțe corespunzătoare unei interacții quadrupolare având rezonanțele în intervalele: $[+5, +20]$ și $[-25, -40]$ și

III. Compusul Fe_2O_3 prezintă 6 rezonanțe de absorbție corespunzătoare unei despărțiri Zeeman nucleare produse în cimpul magnetic creat de electronii atomilor de Fe peste care se suprapune o interacție quadrupolară și o deplasare izomeră. Rezonanțele se văd căuta în intervale de 16 canale începînd cu canalele: -216, -108, -20, +35, +112 și +212.

13.4.3. Prelucrarea rezultatelor

1. Să se reprezinte grafic spectrul măsurat (numărul $N(n)$ de pulseni înregistrate în funcție de numărul n al canalului de înregistrare). Scara se va alege în așa fel încât forma rezonanțelor de absor-

ție să fie bine pusă în evidență. Cele 6 rezonanțe se vor fi trațău manual prin trecerea unei curbe continue printre puncte. Să se determine parametrii fiecărei rezonanțe: poziția x_0 , efectul $\xi(\omega)$ și lărgimea, exprimate în număr de canale.

✓ 2. Cunoscind că prima rezonanță are loc la $v_1 = -8,23 \text{ mm/s}$, iar ultima la $v_6 = +8,250 \text{ mm/s}$ și presupunind liniară dependență vitezei de poziția canalului, să se determine valoarea vitezelor la care se realizează celelalte rezonanțe.

3. Folosind 4 ecuații din cele 6 în sistemul (17) să se calculeze deplasarea izomeră δv_{is} , interacția quadrupolară δv_Q , G_s și G_f după care aceste valori să se înlocuiască în celelalte două ecuații nefolosite. Să se determine diferența dintre membrul sting și membrul drept ai ecuațiilor (17); ca se datorează erorilor standard de măsură a poziției rezonanțelor și eventualei abateri de la liniaritatea dependenței vitezelor în funcție de numărul canalului de înregistrare.

4. Să se calculeze raportul dintre factorul giromagnetic nuclear al stării fundamentale g_f și al stării excitate g_e . Cunoscind că în casul ^{57}Fe , $E_0 = 14,4 \text{ keV}$ și inducția magnetică internă în compusul de Fe_2O_3 este de $B = 51,7 \text{ T}$ din (6) și (15) să se calculeze g_f și g_e .

$$\mu_N = 5,0505 \cdot 10^{-27} \text{ A} \cdot \text{m}^2 (\text{SI}) = \frac{e\hbar}{2m}$$

5. Cunoscind că $\delta R/R = -1,2 \cdot 10^{-4}$ și $R = 1,2 \cdot 10^{-13} \sqrt{\text{A}} \text{ cm}$, din (13) să se determine diferența dintre densitatea electronilor la nucleul de Fe în absorbant și densitatea electronilor la nucleul de Fe din sură.

6. Folosind formulele (14) și (6) și știind că $Q = 0,24 \text{ barni}$ ($1 \text{ barn} = 10^{-24} \text{ cm}^2$) să se calculeze gradientul U_{zz} al cimpului electric la nucleu. Să se compare valoarea obținută cu gradientul cimpului electric la suprafața unei bile de fier de diametru de 1 mm, încreștind la o tensiune de 1 KV față de peretei camerei în care se află.

7. Din diferite motive, ceea ce mai mică din lărgimile rezonanțelor este de 1,5 ori mai mare decât valoarea lui G obținută din formula (12). Știind aceasta, să se calculeze lărgimea energetică a nivelului excitat nuclear și timpul mediu de viață al lui.

8. Mai jos este prezentat spectrul compusului Fe_2O_3 , măsurat la un alt spectrometru. Să se compare parametrii acestui spectru cu cei măsurăți în laborator. Care din parametrii trebuie să fie aceșași și care nu? Etalonarea se va face considerind că vitezele v_1 și v_2 sunt cunoscute și că dependența vitezei de numărul canalului este liniară.

Că valoare k_0 a poziției rezonanței se va lua centrul de greutate al rezonanței, calculat după formula

$$k_0 = \frac{\sum_{k=k_1}^{k_2} (N_p - N(k)) \cdot k}{\sum_{k=k_1}^{k_2} (N_p - N(k))}$$

în care N_p este numărul de impulsuri pe fond, $N(k)$ este numărul de impulsuri înregistrat în canalul k ; canalele k_1 și k_2 se aleg de o parte și de alta a rezonanței pentru care $N(k_1)$ și $N(k_2)$ sunt cît mai aproape de fond. N în spectrul alăturat este exprimat în sute de pulsuri.

Bibliografie

1. D.Barb - Efectul Mössbauer și aplicațiile sale, Ed.Academiei R.S.R., 1972.

Spectrul Mössbauer al compusului Fe_2O_3

	1	2	3	4	5	6	7	8	9	10
1	2048	2038	2043	2047	2040	2049	2043	2042	2036	2029
11	2033	2025	1983	1863	1766	1955	2014	2022	2029	2035
21	2033	2031	2041	2034	2043	2033	2035	2031	2025	2006
31	1917	1728	1964	2015	2028	2034	2038	2043	2035	2039
41	2041	2029	2038	2042	2031	2025	1991	1845	1976	2026
51	2033	2027	2032	2035	2036	2031	2034	2032	2030	1669
61	1959	2021	2020	2029	2033	2040	2029	2036	2034	2034
71	2036	2036	2029	2015	1993	1867	1767	1979	2014	2033
81	2031	2042	2027	2034	2045	2030	2037	2022	2022	2001
91	1935	1673	1827	1976	2014	2026	2018	2040	2027	2040

14. FOLOSIREA CAMEREI CU BULE CA DETECTOR

DE PARTICULE ELEMENTARE

14.1. Obiectul lucrarii, materiale și aparatura necesară

Se determină sarcina, impulsul, masa și timpul de viață a unor particule elementare ce apar în interacțiuni înregistrate în cameră cu bule.

Se utilizează fotografii obținute în camere cu bule cu hidrogen și propan iradiate în fascioane de mezoni π^- cu impulsul de 2.2, 7.5, 16 GeV/c.

Pentru efectuarea calculelor este necesar un minicalculator.

In afară de electron, proton, neutron și foton există o multitudine de particule elementare care pot fi produse în ciocnirile particulelor sau nucleelor și care în general trăiesc un timp destul de scurt, astfel încit nu se află în stare liberă în spațiul înconjurător, deci trebuie special produse pentru a fi studiate. Un aparat foarte utilizat în studiul producerii lor în diverse procese de ciocnire între particule elementare, este camera cu bule, care permite fotografarea și ulterior măsurarea urmelor (traекторiilor) particulelor participante la ciocnire. Camera cu bule este în esență un recipient umplut cu un lichid transparent care poate fi adus în stare de supraîncălzire prin coborârea bruscă a presiunii (detента) cu ajutorul unui piston. Dacă lichidul este suficient de pur iar peretei camerei curăță, el nu începe să fierbe imediat din cauza lipsei unor centri de fierbere (neomogenități) în masa lichidului. Acestea pot fi însă produse prin trecerea unei particule încărcate rapide prin masa lichidului, de-a lungul traectoriei acesteia. În aceste locuri se vor forma bule cu vapori ce cresc rapid, fierbărea ex-

tinându-se apoi în totă masa. Dacă însă fotografiem totă masa lichidului la câteva milisecunde după producerea interacției, buile sunt încă foarte mici și aproape de locul unde s-au format marcând astfel toate traectoriile particulelor încărcate produse în interacția respectivă. Dacă interacția este fotografiată simultan din mai multe locuri (stereoscopic), atunci prin măsură ulterioră a fotografilor și prelucrarea lor pe calculator, se poate reconstitui forma și dispunerea traectoriilor în spațiu, deci direcțiile de mișcare, impulsurile și alte caracteristici ale particulelor încărcate produse în interacția respectivă. Trebuie subliniat că numai particulele încărcate lasă urme vizibile în camera cu bule, din cauză că centrii de fierbere sunt creați prin supraîncălzire locală a fluidului, produsă de energia cedată de particula încărcată prin ionizarea mediului traversat, pe cind particulele neutre nu ionizează substanță.

14.2. Principiul lucrării

Fotografiile luate în camerele cu bule iradiate cu fasciole de particule și situate în cimp magnetic transversal permit măsurarea diferențelor caracteristici ale particulelor și identificarea lor sau a interacțiunilor lor. În general aceste mărimi se pot obține cu o precisiune suficientă pentru lucrările de laborator prin măsurători simple și efectuind calculuri aproximative sau utilizând grafice și sabloane.

Vom prezenta principiul acestor metode estimative pentru câteva mărimi măsurabile în camerele cu bule.

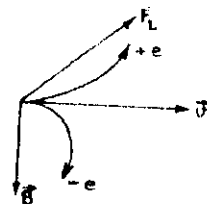
Determinarea sarcinii particulelor elementare se bazează pe faptul că asupra unei particule încărcate ce se mișcă într-un cimp magnetic perpendicular pe direcția de mișcare se exercită o forță Lorentz, care provoacă curbarea traectoriei particulei (care în lipsa cimpului ar fi dreaptă)

$$\vec{F}_L = e \vec{v} \times \vec{B}$$

Pentru particule cu sarcini de semn opus traectoriile vor fi curbate în sensuri opuse, permitând astfel identificarea semnului sarcinii particulei respective prin comparație cu semnul curburii traectoriei unei particule cunoscute.

Identificarea sarcinii particulelor produse în interacții este unul din motivele pentru care camerele cu bule se dispun în cimpuri magnetice destul de puternice, de ordinul a 1 Tesla. Chiar dacă nu știm direcția cimpului magnetic în cameră, sensul de curbă pentru trasele negative este dat de traectoriile electronilor, mai târziu prezenți pe fotografie. Aceștia sunt electronii mulși de către particule în mișcare din atomii întilniți în cale, cărora li se comunică un impuls suficient pentru ca ei, la rindul lor să descrie o traectorie în spațiul camerei.

In lucrarea de față vor fi interpretate fotografii ale interacțiunilor provocate de fascicule de mezoni π^- în camere cu bule umplute cu hidrogen și propan (C_3H_8). Mezonul π^- este o particulă cu masa de circa 280 de ori mai mare ca a electronului, negativă care interacționează tare, cu nucleonii și nucleele. În cazul camerei cu bule umplute cu hidrogen lichid, principalele interacții ale pionilor ($mezoni \pi^-$) vor fi cu protonii, iar în cazul camerei cu propan și cu nucleele de carbon. Pe film o astfel de interacție se vede ca un punct unde o urmă (trăsă a unui mezon din fascicoul incident) se ramifică în mai multe urme, atâtă că particulele încărcate s-au format în interacția dată. Eventualele particule neutre produse în interacție pot fi văzute numai dacă, înainte de a ieși din spațiul fotografiat, s-au dezintegrat în particule încărcate sau au interacționat cu mediul camerei, producind nucleole de recul.



Cla sepaș fascic

Decoarece sarcina totală a sistemului ($\pi^- p$) se conservă în timpul interacției, rezultă că suma sarcinilor particulelor finale trebuie să fie zero. Tinând cont că toate particulele ce trăiesc suficient pentru a lăsa o urmă vizibilă în cameră au sarcini $+e$, sau $-e$, rezultă că în interacția $\pi^- p$ în hidrogen, numărul de trase în starea finală trebuie să fie par (cîte trase curbată într-un sens, tot atîta și în sensul opus). În interacțiile mezonilor în propan nu mai există o astfel de regulă simplă, decoarece aici pot avea loc interacții ale pionilor și cu neutroni din nucleul de carbon sau cu nucleul în întregime, care se poate fragmenta în nuclee mai mici cu sarcini diferite de $+e$ etc.

Măsurarea impulsurilor particulelor înregistrate de camera cu bule se poate face în diverse moduri. Pentru particule lente și de masă mare pierderile de energie prin ionizare pe unitatea de parcurs sunt foarte mari și fac ca aceste particule să se oprească în spațiul camerei după un drum scurt. Corespunzător, o astfel de particulă va lăsa o urmă pornind din punctul unde a fost generată (eventual împreună cu alte particule) și terminîndu-se brusc în spațiul camerei.

Dacă măsurăm lungimea drumului parcurs de particulă pînă la oprire și cunoaștem tipul particulei și lichidul ce umple cameră cu bule, se pot folosi tabele sau grafice energie-parcurs, construite pentru acel tip de particulă pentru a găsi energia (deci și impulsul) cu care a fost produsă particula. Această metodă este utilizabilă doar pentru particule de energie mică, în caz contrar particula neoprinindu-se în cameră.

Impulsul particulelor rapide se poate măsura dacă se aşeză camera cu bule într-un câmp magnetic perpendicular pe planul de fotografie și destul de intens pentru a curba suficient traectoria particulelor încărcate. Dacă particula se mișcă într-un plan normal pe direcția câmpului magnetic aplicat și neglijăm pierderile de energie

prin ionizarea mediului, traectoria va avea forma unui arc de cerc și căruia rezultă din condiția că forța Lorentz este forță centripetă.

$$\frac{mv^2}{r} = eVB \text{ deci } p = eBr$$

unde r este raza de curbură a traiectoriei, iar B – inducția magnetică. Deci știind raza de curbură a traiectoriei în ca și intensitatea inducției magnetice în Tesla, putem calcula impulsul din relația

$$p(\text{MeV}/c) = 300(m)p(\text{T})$$

Raza de curbură a trasei se poate calcula aproximativ măsurind între două puncte de pe trasa lungimea coardei subținse L și săgeata h și folosind relația

$$r = \frac{L^2}{8h}$$



In ambele metode de determinare a impulsului trebuie ca valorile parcursului, respectiv ale razei de curbură să fie calculate la scara camerei, decoarece măsurătorile se fac pe imagini de film care sint la o scară diferită de 1 : 1 față de obiectele fotografiate. Trebuie deci cunoscută mărimea dată de obiectivul cu care s-au executat fotografiiile.

O altă precauție ce trebuie luată în ambele cazuri este de a ne convinge că trasa măsurată a fost paralelă cu planul filmului și nu inclinată. În acest din urmă caz am obține nu valorile parcursului, respectiv razei, ci doar proiecția lor pe un plan paralel cu planul filmului. Eventuala incolinare a unei trase în raport cu filmul poate fi constată dacă dispunem de mai multe fotografii ale același interacției luate din mai multe poziții (fotografii stereoscopice). De fapt, în acest caz există proceduri care permit măsurarea lungimii reale a traselor, indiferent de incolinarea lor.

Identificarea particulelor. Putem stabili ce particulă a produs o anumă trase, dacă analiza imaginii interacțiunii cu care are relație și trasa în cauză permite evidențierea pentru acea trase a unor

proprietăți specifice unui singur tip de particulă, care în consecință va fi atribuit trasei în discuție. Astfel de proprietăți caracteristice unei particule date sunt masa sau modul de dezintegrare.

Metodele de identificare a masei diferă, după cum particula este încărocată sau neutră. Pentru particulele încărcate, pentru a determina masa trebuie să știm fie energia și impulsul, fie impulsul și puterea de ionizare (mărimea pierderilor de energie prin ionizare pe unitatea de parcurs). Pentru particulele lente care se opresc în cameră este aplicabilă prima metodă, deoarece curbura traectoriei determină impulsul, iar lungimea traectoriei pînă la oprirea particulei (parcursul) depinde în mod specific de impuls pentru fiecare particulă în parte. Există tabele impuls-parcurs construite pentru diferite particule, ce permit identificarea particulei ca fiind cea pentru care se potrivesc cel mai bine valorile măsurate ale impulsului și parcursului.

Pentru particulele rapide, ce nu se opresc în cameră, este aplicabilă a doua metodă, care pe lîngă impuls, ce se determină ca înainte, necesită cunoașterea puterii de ionizare. Această mărime, pentru particule de sarcină \pm este, pînă la o constantă, proporțională cu $1/\beta^2$ unde β este factorul Lorentz al particulei. Pe de altă parte, ea este proporțională cu numărul mediu de bule pe unitatea de traectorie. Ca atare, dacă pe același cadru cu trasa de interes se află o trasă ce știm că aparține unei particule rapide (cu $\beta^2 \approx 1$), estimind vizual raportul densităților de bule pe cele două trase se poate stabili aproximativ β pentru trasa în cauză. Astfel, cunoscind β și impulsul, din rela-

$$\frac{m_0 v}{\sqrt{1-\beta^2}} \text{ se poate estima } m_0 \text{ (masa de repaus a particulei).}$$

Această metodă nu e aplicabilă pentru particule prea rapide deoarece oricum $\beta^2 \rightarrow 1$ și deci puterea de ionizare tindă către o constantă, indiferent de tipul particulei. Pentru particulele lente, datorită pierderilor mari prin ionizare imaginile buzelor se contopesc și metoda e de asemenea inaplicabilă.

In sfîrșit, identificarea este facilitată de o serie de amănunte specifice pentru traectoriile anumitor particule produse în interacții, dintre care unele vor fi amintite mai jos.

Electronii cu energie relativ mică se identifică ușor deoarece au pierderi mari prin ionizare și traectorii foarte curbată și de aceea se mișcă pe o spirală logaritmică făcind mai multe "spire" pînă la oprire.

Aceasi comportare (dar cu sens opus al curburii) o au pozitronii.

Particulele pozitive care se opresc în cameră (dacă sunt destul de lente), pot fi cel mai adesea protoni, mesoni π^+ sau K^+ . Aceste particule se deosebesc între ele prin modul de dezintegrare și evident prin masă:

$$\begin{aligned} p &\text{ este stabil (nu se dezintegrează)} \\ \pi^+ &\rightarrow \mu^+ + \nu_\mu \quad (\text{trăiește } \sim 2 \cdot 10^{-8} \text{ sec.}) \\ K^+ &\xrightarrow{\text{sau}} \begin{cases} \mu^+ + \nu_\mu & 63\% \\ \pi^+ + \pi^0 & 21\% \end{cases} \quad (\text{trăiește } \sim 10^{-8} \text{ sec.}) \end{aligned}$$

Aici μ^+ înseamnă muon pozitiv (o particulă de cca 205 mase electronice), iar ν_μ se cheamă neutrino muonic (o particulă neutră cu masă de repaus foarte mică sau zero - încă nu se știe). În privința maselor, protonul, după cum se știe, este de cca 1837 de ori mai greu ca electronul, mesonul π^+ de cca 270 ori, iar mesonul K^+ de cca 950 de ori mai greu.

Deci dacă o trasă pozitivă se termină printr-o dezintegrare să nu este proton. În acest caz, diferența este destul de netă între π^+ și K^+ . Scriind bilanțul energetic la dezintegrare, avem

$$E_x = E_{\mu^+} + E_{\nu_\mu} = \sqrt{m_\mu^2 + p^2} + p$$

unde masele se exprimă în MeV/c^2 , iar impulsurile în MeV/c , și am ținut cont că neutrinul are masa de repaus nulă. (Lucrăm în sistemul de unități unde $\hbar = c = 1$, din care cauză formulele devin foarte simple).

Calculind deci impulsul p al mezonului μ^+ în cazul cînd el rezultă din dezintegrarea lui π^+ rezultă $p = 30 \text{ MeV}/c$, iar în cazul cînd rezultă din dezintegrarea lui K^+ găsim $p = 236 \text{ MeV}/c$. La dezintegrare direcția pe care este emis μ^+ nu depinde de cea pe care se mișcă particula care l-a emis, deci în general se observă o imagine de tipul alăturat. Aceste considerente sunt valabile cînd particula ce se dezintegreză are o energie mică, fiind aproape în repaus în momentul dezintegrării, ceea ce se întimplă destul de frecvent.

Afînd în vedere diferența între impulsuri în cele două cazuri, μ^+ va avea un parcurs mult mai scurt dacă a rezultat dintr-un mezon π^+ decit dacă a provenit dintr-un mezon K^+ .

Mezonii π^- ca antiparticulă a lui π^+ se dezintegreză simetric după relația $\pi^- \rightarrow \mu^+ \bar{\nu}$, dar în camera cu bule asta se întimplă rar, deoarece înainte de a "trăi destul" pentru a sedezintegra, ei sunt capătați de atomii întilniți în drum, formîndu-se mezoatomi, unde mezonii π^- "înlocuiesc" electronii. Afînd însă masă mult mai mare ca electronii, ei su traectorii mult mai apropiate de nucleu, care îi captează în cele din urmă, lucru ce duce la o reacție nucleară.

Din aceste motive o traiectorie negativă cu dezintegrare va fi posibil un mezon K^- . De fapt, din cauza timpului destul de lung de viață, dezintegrările mezonilor K^+ și K^- nu se observă în camerele cu bule de lungime mică.

Deși există și alte particule încărcate care pot să apară în interacțiile particulelor elementare, ele sunt mult mai rare și nu vom insista aici asupra lor.

Particulele neutre produse în camera cu bule, nelăsind o traectorie vizibilă, pot fi detectate numai dacă se dezintegreză în particule încărcate, sau interacționează cu mediul camerei producînd particule secundare încărcate.



Cuantele γ cu energii de peste 1.02 MeV pot să producă perechi e^+e^- de conversie cu o probabilitate cînd mai mare cînd 2-ul medium al lichidului de umplere al camerei cu bule este mai mare. Astfel în timp ce în camera cu hidrogen lichid drumul mediu parcurs de cuanta γ pînă la conversie este de coa lo m, în camera cu propan este doar de 1.1 m. O perche de conversie se distinge de alte dezintegrări prin aceea că în punctul de apariție trasele electronului și pozitronului fac unghi apropiat de 0° avînd și aspectul spiralat specific.

Altă particulă ce apare relativ des în interacțiile particulelor elementare la energii de peste 5 GeV este mezonul K_S^0 . Acesta trăiește în medie 10^{-10} sec și apoi se dezintegrează predominant după modul: $K_S^0 \rightarrow \pi^+\pi^-$. Din cauza că particula K_S^0 are o masă de repaus nenulă (de 497 MeV sau aproape de locu ori mai greu ca electronul) unghiiul între trasele asociate mezonilor π^+ și π^- este diferit de zero, și în plus aceste trase nu sunt atît de curbată ca și ale electronilor, dezintegrarea avînd aspectul de "V".

Aceste caracteristici nu sunt însă suficiente pentru a spune cu certitudine că este vorba de particula K_S^0 , deoarece există și alte particule ale căror dezintegrări au un aspect asemănător, ca de exemplu hiperonul Λ cu masa de 1116 MeV , care trăiește cînd tot atît ca K_S^0 . Această hiperon se dezintegrează în particule încărcate după modul $\Lambda \rightarrow p + \pi^-$. Deci pentru a decide, pentru un "V" dat, despre ce dezintegrare este vorba, trebuie să determinăm impulsurile celor două trase (de ex. măsurînd raza de curbură) iar apoi să calculăm masa efectivă a sistemului în două ipoteze:

- dacă trasa pozitivă este proton, iar cea negativă π^-
 - " " " " " π^+ " " " " π^-
- și să vedem dacă valoarea obținută în ipoteza (a) este apropiată de masa lui Λ , sau în ipoteza (b), de masa lui K_S^0 .

Masa efectivă a unui grup de particule este energia totală a aceluia grup, calculată în sistemul centrului său de masă.

Evident că în cazul unor particule provenite dintr-o dezintegrare această energie va coîncide cu masa de repaus a particulei care s-a dezintegrat, în conformitate cu legea conservării energiei. Din teoria relativității se știe că o particulă în mișcare față de un sistem de referință carecăre este caracterizată de 4-vectorul (p_x, p_y, p_z, E) sau (\vec{p}, E) și că indiferent de sistemul de referință are loc relația $E^2 - \vec{p}^2 = m_0^2 c^2$. Aici m_0 este masa de repaus a particulei și are sensul de "lungime" a 4-vectorului. În cazul unui sistem de particule (\vec{p}_1, E_1) se definește 4-impulsul sistemului ca un 4-vector de componente $(\sum_i \vec{p}_i, \sum_i E_i)$ care va avea "lungimea" $M^2 = (\sum_i E_i)^2 - (\sum_i \vec{p}_i)^2$ ce are semnificația unei mase a sistemului de particule și se numește masa efectivă.

In cazul nostru avem doar două particule (trase), pentru care vom nota respectiv (\vec{p}_+, E_+) și (\vec{p}_-, E_-) deci

$$M_{+-}^2 = (E_+ + E_-)^2 - (\vec{p}_+ + \vec{p}_-)^2 = E_+^2 + E_-^2 + 2E_+ E_- - \vec{p}_+^2 - \vec{p}_-^2 - 2\vec{p}_+ \cdot \vec{p}_- \cos \theta$$

$$\text{dar } \vec{p}^2 = m_0^2, \text{ deci } M_{+-}^2 = m_+^2 + m_-^2 + 2E_+ E_- - 2\vec{p}_+ \cdot \vec{p}_- \cos \theta$$

unde θ este unghiul între \vec{p}_+ și \vec{p}_- și coincide evident cu unghiul între trasele în punctul de dezintegrare.

Determinarea timpului de viață este o altă măsurătoare care poate fi efectuată folosind fotografiiile obținute la camera cu bule. Vom descrie aici doar unele din metodele folosite în acest scop. Dacă pe film se vede locul unde s-a născut particula și locul unde s-a dezintegrat, atunci măsurând distanța între aceste două puncte, precum și viteza particulei, rezultă imediat $\tau = \frac{l}{v}$ dar, teoria relativității arată că în sistemul de repaus al particulei (pentru particulele cu masă nenulă) timpul de viață este mai scurt:

$$\tau_0 = \sqrt{1 - \beta^2}, \text{ unde } \beta = \frac{v}{c}; \text{ deci } \tau_0 = \frac{l}{\beta c} \sqrt{1 - \beta^2}$$

Vom folosi această metodă pentru particule neutre, deoarece impulsul rămnind constant este valabilă relația $\vec{p} = \frac{\vec{p}_0}{\gamma}$. Deoarece pe fotografii nu putem măsura precis lungimi mai mici de 1 mm, iar camerele au rar peste 2 m lungime rezultă că această metodă permite măsurarea unor tempi de viață între 10^{-8} și 10^{-10} sec (am considerat că particulele se mișcă cu viteze apropiate de viteza luminii).

Pentru trasele din punctul de dezintegrare putem măsura \vec{p}_1 și \vec{p}_2 deci putem obține pentru particula neutră $\vec{p}_0 = \vec{p}_1 + \vec{p}_2$. Dacă identificăm particulele ce corespund celor două trase, avem m_1 și m_2 , deci putem calcula energiile lor $E_1 = \sqrt{p_1^2 + m_1^2}$ și $E_2 = \sqrt{p_2^2 + m_2^2}$, deci $E_0 = E_1 + E_2$ este energia particulei neutre, prin urmare: $\beta = p_0/E_0$ deci putem calcula timpul de viață știind pe l și β .

14.3. Modul de lucru

Se vor aplica criteriile de identificare și metodele de măsurare a caracteristicilor particulelor pe cîteva fotografii obținute în camera cu bule. Pentru a ușura identificarea interacțiunilor în discuție, fiecare fotografie este dublată de o foaie de calce pe care este desenat doar ceea ce prezintă interes. Pentru a obține rezultate bune în ce privește măsurările, se recomandă insistent că măsurările să se facă asupra fotografiielor și nu asupra desenelor pe calce.

A. Fotografia 2.3 a fost executată într-o cameră cu bule cu lungimea volumului vizibil de 81 cm, umplută cu hidrogen lichid și plasată într-un cimp magnetic de 2 T. Camera a fost expusă într-un fascicul de raze π^- cu impulsul de 2.2 GeV/c. Față de mărimea reală a obiectelor fotografiate, imaginea este micșorată cu factorul 2,932.

In fotografie fasciculul de pioni intră în cameră prin partea de sus a fotografiei. Interacția care ne interesează este cu două braje, adică una din trasele corespunzătoare mesonilor π^- incidenti parcurgând distanța pînă în punctul notat V_0 , numit și vertex, unde în urma inter-

reacției apar două trase cu semn opus al curburii, deci una corespunde unei particule pozitive iar celalătă unei particule negative.

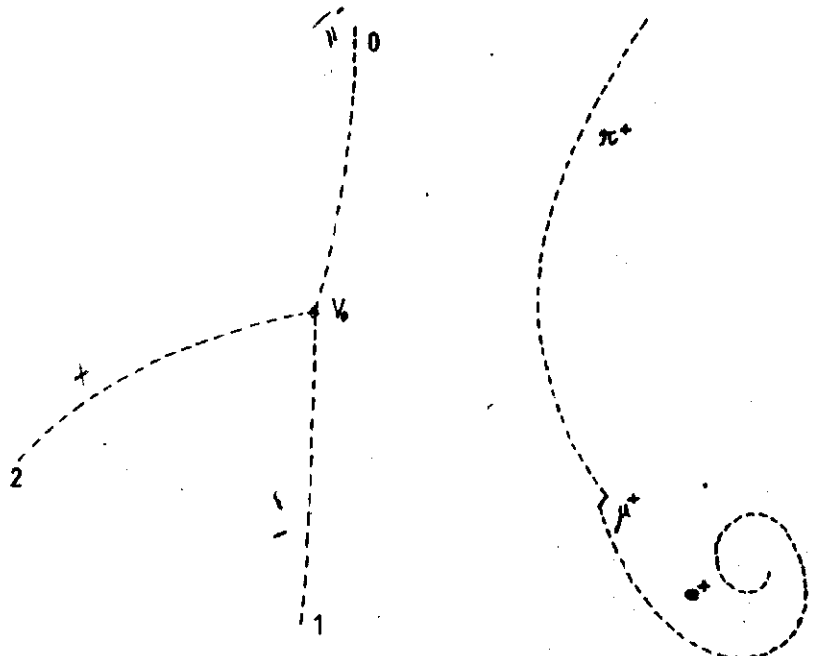


Fig.2.3

Fig.2.4

Arătați care dintre ele este asociată particulei pozitive și care particulei negative. Deoarece trasa pozitivă se oprește în cameră (are un capăt net în spațiul camerei, pe cind trasa negativă ieșe în afara cărularului), ea poate fi identificată, aplicând una din cele două metode descrise la paragraful privind identificarea particulelor. Explicați cum veți proceda și efectuați măsurările respective. Folosiți graficele impuls-parcurs din fig.2.5. Pentru a măsura mai exact lungimea trasei pozitive, care este curbă și deci nu poate fi măsurată cu rigla, approximati-o cu un arc de cerc. Stiind ceară ce o subîntinde și raza de curbură determinată cu coasia măsurătorii impulsului, puteți calcula lungimea arcului de cerc.

→231←

B. Fotografia 2.4. a fost obținută într-o cameră cu bule cu propan, într-un câmp magnetic de $1T$ și este măsurată de 5 ori față de dimensiunile camerei. În ea se vede o traseă corespunzătoare unui meson π^+ care se dezintegrează în cameră prin reacția $\pi^+ \rightarrow \mu^+ + \nu_\mu$. Muonul se dezintegrează la rîndul său pe calea: $\mu^+ \rightarrow e^+ + \bar{\nu}_e + \nu_e$ și trasa pozitronului se vede pe fotografie. Să se măsoare impulsul mesonului π^+ determinând raza de curbură a trasei. De asemenea să se măsoare parcursul mezonului μ^+ pînă la dezintegrare și să se determine impulsul său folosind graficul impuls-parcurs.

C. Fotografia 2.5. este luată în aceleasi condiții ca și 2.3, aici însă este surprinsă o interacție mai complicată. Mezonul incident (trasea 0) interacționează în punctul V_0 cu un proton și în urma interacției sunt produse două particule încărcate (trasele 1 și 2) și o particulă neutră care, după ce parcurge cca 1 cm pe fotografie, se dezintegrează în două particule încărcate (trasele 3 și 4).

Judecînd după lungimea drumului parcurs pînă la dezintegrare și aspectul traseelor asociate particulelor emergerente aceasta poate fi particula neutră E_g^0 sau Λ .

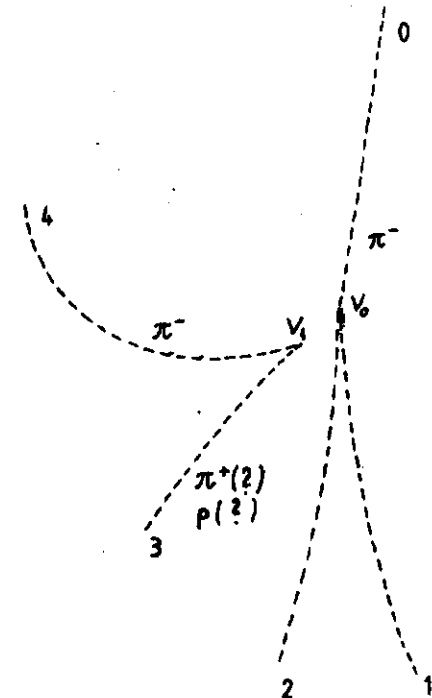


Fig.2.5

Să se determine, măsurînd razele de curbură ale traseelor, impulsul particulelor rezultate din dezintegrare, iar apoi să se stabilească în conformitate cu cels expuse mai înainte în referat, de care dintre

particule, π^0 sau Λ^0 este vorba aici. După aceea să se calculeze factorul Lorentz al particulei neutre și timpul ei de viață în sistemul propriu pînă la desintegrare.

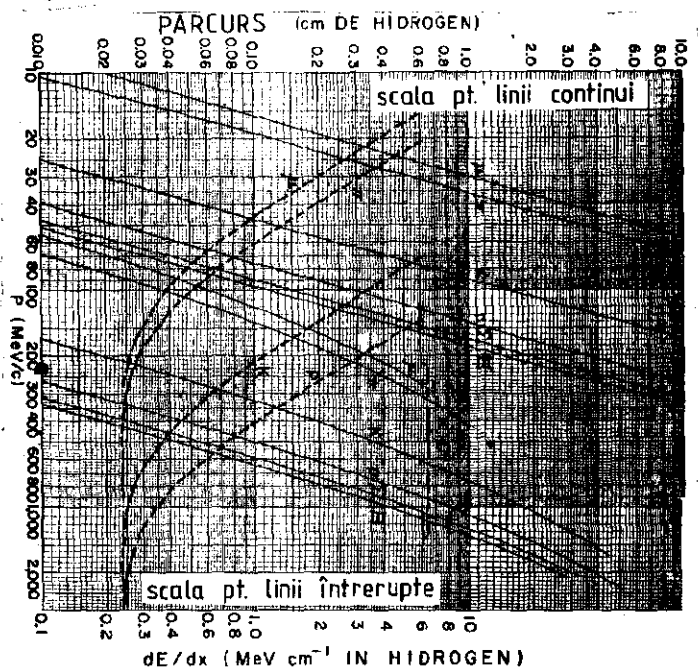


Fig. 2.6

Parcurseuri în camera cu bule umplută cu hidrogen lichid, în condițiile în care parcursul mezonilor μ^+ rezultă din dezintegrarea $\pi^+ \rightarrow \mu^+ \nu$ este de 1.103 ± 0.0003 cm. Parametrii hidrogenului sunt $T = 27.6 \pm 0.1^\circ\text{K}$; $P = 3.37 \pm 0.35$ atm; $\rho = (5.86 \pm 0.06) \cdot 10^{-2} \text{ g/cm}^3$

Bibliografie

- *** - Particle Data Properties, Review of Particle Properties
Review of Modern Physics vol. 52, nr. 2, part. II, April 1980.
- H.S. White - Identification curves for heavy meson and hyperon decays.
U G R L 3514, 1956

$$P(w \in V) = 300 S(w) B(\tau)$$

$$S = \frac{L^2}{8\pi}$$

15. DETERMINAREA SECȚIUNILOR EPIOACE DE INTERACȚIE A PARTICULELOR ELEMENTARE ÎN DETECTOРИ CU VIZUALIZAREA URMEI

15.1. Obiectul lucrării

Se determină secțiunea totală de interacțiune a mezonilor π^- cu impulsul de 7.5 GeV/c cu nucleonii și nucleele intr-o cameră cu bule cu propan.

15.2. Principiul lucrării

În interacțiunile mezonilor π^- de energie mare cu nucleonii și nucleele se produc particule secundare. În aceste interacțiuni trebuie să se conserve: energia, impulsul, sarcina, numărul de barioni, etc. Aplicarea legilor de conservare permite, în multe cazuri, identificarea tipurilor de interacțiuni. De exemplu: interacțiunile mezonilor π^- cu protonii vor avea un număr par de particule încărcate, sarcina totală după interacție trebuie să se conserve, deci să fie zero.

Interacțiunile mezonilor π^- cu neutronii vor avea un număr impar de trase încărcate, sarcina în stare finală va fi -1.

Interacțiunile pe nucleele de carbon pot avea mai multe particule grele (barioni) încărcate pozitiv.

Pentru identificarea particulelor care au lăsat măștere într-o interacție se fac măsurători de impuls și de densitate de ionizare (dS/dX) sau parcurs dacă particula se oprește în cameră. Fiecare detector cu vizualizare de trase îl este specifică o relație impuls-parcurs, funcție de natura mediului. Fig. 2 dă relația parcurs-impuls pentru camera cu bule cu propan pentru cîteva dintre particulele care se identifică mai des în interacțiuni la această energie.

Calculul secțiunii eficace de interacție

Presupunem că într-un mediu dat au loc procese de interacție între particulele din fascicul incident și cele din mediu.

Pentru un strat de grosime Δx numărul de particule care au interacționat ΔN , va fi dat de relația:

$$N(x + \Delta x) - N(x) = -\lambda \Delta x N(x) \quad (1)$$

unde: $N(x)$ este numărul de particule care pătrund în stratul Δx ,

λ este probabilitatea de interacție a unei particule în stratul de grosime unitate, are dimensiune de $1/\text{lungime}$ și se poate scrie ca $\lambda = n_0 \sigma$ unde n_0 este numărul de nuclei de țintă pe cm^3 , iar σ este secțiunea eficace de interacție pentru procesul considerat.

Integrarea relației (1) conduce la relația:

$$N(x) = N_0 e^{-\lambda x} \quad (2)$$

unde: N_0 este numărul de particule incidente.

Probabilitatea ca o particulă să treacă fără să interacționeze prin stratul de grosime x va fi:

$$P = e^{-\lambda x} \quad (3)$$

Mărimea $1/\lambda = L_{\text{int}}$ se mai numește și lungime de interacție și reprezintă lungimea după care numărul incident de particule a scăzut la $1/e$ prin procesul de interacție.

Probabilitatea ca particulele să interacționeze între grosimile x și $x + \Delta x$ va fi dată de

$$P_{x, x + \Delta x} = e^{-\lambda x} (1 - e^{-\lambda \Delta x}) \quad (4)$$

și pentru Δx foarte mic ($\lambda \Delta x \ll 1$)

$$P_{x, x + \Delta x} = e^{-\lambda x} \lambda \cdot \Delta x \quad (4')$$

Să presupunem că într-o experiență urmărим o serie de particule incidente și măsurăm pentru fiecare lungimea pînă la interacție, obținând în acest fel un set de fragmente de trasă de lungimi: $l_1, l_2, \dots, l_{N_{\text{int}}}$ pentru N_{int} evenimente înregistrate.

Distribuția acestor lungimi va fi dată de legea de probabilitate (4').

$$\Delta P = e^{-\lambda l} \lambda \Delta l$$

Probabilitatea de distribuție a lungimilor $\Delta P_l / \Delta l$ este reprezentată grafic în fig.3. Valoarea medie a lungimii intervalului este dată de relația:

$$\frac{\int_0^\infty \lambda e^{-\lambda l} dl}{\lambda \int_0^\infty e^{-\lambda l} dl} = \frac{1}{\lambda} = L_{\text{int}} \quad (5)$$

Dacă numărul de intervale numărat este mare, această valoare este apropiată de media aritmetică a lungimii intervalelor:

$$\bar{l} = \frac{1}{N_{\text{int}}} \sum_i l_i \quad (6)$$

Cind într-o experiență se utilizează o instalație care este în același timp și țintă și detector cum ar fi emulsia nucleară, camera cu bule, camera cu ceață, camera cu streamer, g.a., se poate determina lungimea totală a intervalor pentru un număr de interacții N_{int} găsit. În acest caz secțiunea eficace se poate determina utilizând relația:

$$(7) \quad \sigma = N_{\text{int}} / (n_0 \sum_i l_i)$$

unde n_0 este numărul de particule țintă într-un cm^3 . De exemplu, în cazul experienței din lucrarea de față, numărul de protoni din unitatea de volum de propan (C_3H_8) pe care pot avea loc interacțiile pion-proton este:

$$n_0^p = \frac{N_A}{A} \rho (3 \times 6 + 8)$$

unde N_A este numărul lui Avogadro, A este greutatea moleculară a propanului (44) și ρ densitatea acestuia în camera cu bule ($\approx 41 \text{ g/cm}^3$).

Se presupune la scrierea acestei relații că interacțiunile mesonilor din fascicul arătă loc cu protonii liberi, ceea ce este adevărat pentru

tru energiei incidente suficient de mari și pentru protonii legați în nucleele de carbon.

Dacă se selectează numai interacțiunile pe proton (cu număr par de brațe) atunci se poate calcula secțiunea eficace de interacție pe proton după relația:

$$\sigma_p = \frac{N_{int}^p}{(n_0 \sum l_i)}$$

15.3. Modul de lucru

După familiarizarea cu o serie de evenimente care se observă pe filme, se începe urmărirea sistematică a locu cadre.

In conformitate cu regula de conservare a sarcinii se clasifică interacțiunile în interacțiuni pe proton, neutron și carbon.

Se calculează lungimea medie de interacție utilizând relația (6) și secțiunea eficace pentru interacțiunile pe prorion după relația (7).

Lungimea reală de trasă în cameră se obține numărind pe fiecare cadrul numărul de trase de mezoni care nu au interacționat și utilizând informația că lungimea camerei este de 50 cm.

Observații

De obicei se aleg interacțiunile numai într-o regiune centrală și mai bine luminată a camerei. În acest caz lungimea traselor care nu interacționează este fracționarea corespunzătoare din lungimea camerei. Lungimea reală din cameră cercetată pînă la găsirea a N_{int} va fi:

$N_{trase} \times$ Lungimea efectivă a camerei + $N_{int} \times \frac{1}{2}$ Lung.ef. Aceasta deoarece am făcut ipoteza că probabilitatea ca un eveniment să apară în prima sau a doua jumătate a camerei este aceeași.

Probleme.

1. Mărimea $E = 10^{30} / (n_0 \sum l_i)$ se numește microbarn echivalent al experienței respective și reprezintă secțiunea eficace în μb corespunzătoare

unui eveniment înregistrat. $1/E$ este o măsură a calității unei experiențe sau a preciziei cu care se poate determina în experiență dată, secțiunea eficace a unui anumit proces.

a) Pentru a determina o secțiune eficace de $1 \mu\text{b}$ cu o precizie de 20%, care trebuie să fie microbarnul echivalent al experienței?

b) Într-o experiență în care $1/E = 5$ evenimente / μb , nu a fost găsit nici un eveniment în care să se producă Ω^- .

Ce mărime are secțiunea eficace de producere a hiperonului Ω^- (limită superioară)?

Bibliografie

H.Muirhead - The Physics of elementary particles. Pergamon press, 1965

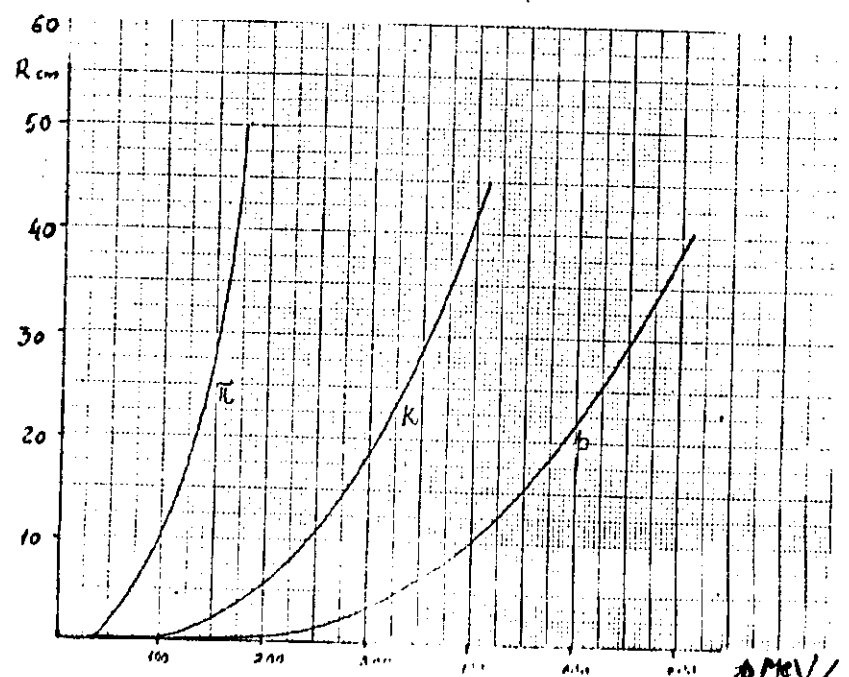


Fig.2

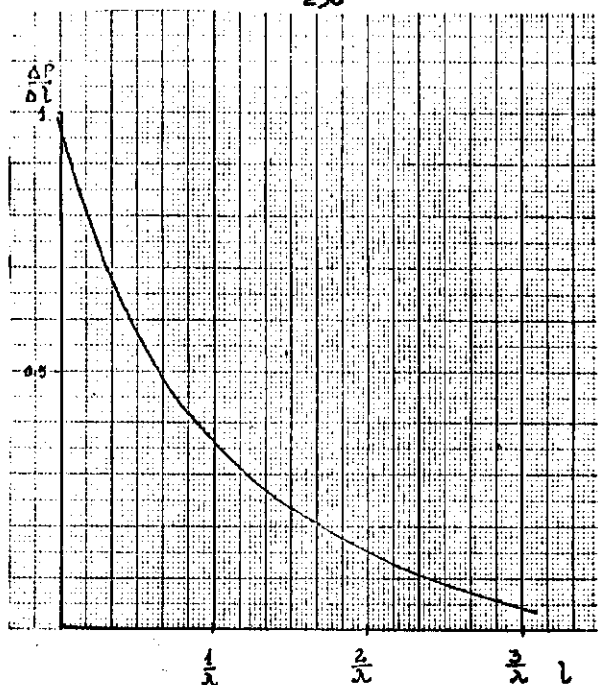


Fig.3

A N N E X E

C U P R I N S

	Pag.
1. Constante fizice	241
2. Sistemul periodic al elementelor	242
3. Tabel de izotopi. Mass atomice	244
4. Proprietățile particulelor elementare	248
5. Familii radioactive	251
6. Radionuclizi naturali ai elementelor ușoare și mijlocii	255
7. Secțiuni eficace de reacție pentru neutroni termici...	256
8. Funcții exponențiale. Tabele $e^{-\lambda t}$ și $(1-e^{-\lambda t})$	258
9. Surse de referință. (Eșaloane energetice pentru surse C)	261
10. Parcursul particulelor α în aer, β -sus, Al, Cu.....	262
11. Valori de referință pentru energia electronilor.....	262
12. Grosimea de oprire a particulelor β în fier, sticlă, P.V.C., plexiglas, aer	263
13. Valori de referință pentru energii γ	264
14. Coeficientii linearii și masicii de absorbție pentru un fascicul monocromatic γ îngust	265
15. Coeficientul linear de atenuare a radiatiilor γ în Pb, Fe, apă și Al.....	266
16. Energiea picului de retroimprăștiere E_R și energia cieștei Compton E_0	266
17. Grosimea de înjunghitare pentru raze γ în aer, apă, beton, sticlă sau Pb, Pb.....	267